

ГОСУДАРСТВЕННЫЙ КОМИТЕТ ПО ИСПОЛЬЗОВАНИЮ  
АТОМНОЙ ЭНЕРГИИ СССР

ГНДС(ССР)-55/6

ЦЕНТР ПО ЯДЕРНЫМ ДАННЫМ

---

# ЯДЕРНЫЕ КОНСТАНТЫ

Выпуск 14

АТОМИЗДАТ  
1974

ГОСУДАРСТВЕННЫЙ КОМИТЕТ ПО ИСПОЛЬЗОВАНИЮ  
АТОМНОЙ ЭНЕРГИИ СССР

ЦЕНТР ПО ЯДЕРНЫМ ДАННЫМ

---

# ЯДЕРНЫЕ КОНСТАНТЫ

Выпуск 14

АТОМИЗДАТ  
1974

УДК 539.167

Выпуск полностью посвящен работе Ю.С.Замятнина, в которой собраны новые данные о радиоактивном распаде изотопов тяжелых элементов, начиная с тория ( $Z \geq 90$ ), опубликованные до 1972 года. Основная таблица содержит сведения о вероятностях распада, энергиях и интенсивностях излучений, квадрупольных и магнитных моментах ядер в основном состоянии и главных способах получения изотопов.

В приложениях приводятся экспериментальные данные о тонкой структуре спектров излучений, схемы распада и схемы уровней ядер с указанием квантовых характеристик уровней и их времени жизни (всего 134 таблицы и 68 схем распада и схем уровней ядер). Библиография - 716 наименований.

Редакционная коллегия:

В.А.Кузнецов (главный научный редактор), Л.Н.Усачев (зам.главного научного редактора), О.Д.Казачковский, [С.М.Фейнберг], В.Г.Заграев, В.В.Орлов, П.Э.Немировский, В.И.Мостовой, В.Г.Золотухин, С.И.Сухоручкин, М.Н.Никифоров, Е.И.Ляшенко, Е.Г.Дубовский, Л.А.Абагян, И.Г.Морозон, Д.А.Кардашев (отв.редактор).

## РАДИОАКТИВНЫЙ РАСПАД И СХЕМЫ УРОВНЕЙ ЯДЕР ТЯЖЕЛЫХ ЭЛЕМЕНТОВ ( $Z \geq 30$ )

Ю.С.Замятин

### ВВЕДЕНИЕ

За последние годы получено много новых данных о свойствах радиоактивном распаде изотопов тяжелых элементов. Прежде всего, это относится к изотопам самых далеких элементов. Так в 1964 году был открыт элемент 104, названный в честь советского физика И.В.Курчатова курчатовием. Существенная ясность внесена в свойства изотопов 102 и 103 элементов. Открыт ряд новых легких изотопов берния, зинкстения и калифорния. Обнаружены изомерные состояния ядер, испытывающие спонтанное деление с относительно короткими периодами полураспада. Большая часть этих данных получена в результате успешной работы советских ученых Объединенного института ядерных исследований.

Кроме этого, повышение разрешающей способности и эффективности приборов ядерной спектроскопии привело к появлению большого объема новой информации о тонкой структуре  $\alpha$ - и  $\gamma$ -спектров. Этому в значительной степени способствовала разработка метода регистрации ядерных излучений с помощью полупроводниковых германиевых и кремниевых детекторов.

Накопление и систематизация данных ядерной спектроскопии имеют важное значение для углубления знаний о структуре ядер и уточнения характеристик излучений, сопровождающих радиоактивный распад.

Представленные в данной работе материалы содержат новые сведения о вероятностях и схемах распада изотопов, энергиях и интенсивностях излучений, электрических квадрупольных и магнитных моментах ядер, квантовых характеристиках энергетических уровней и их времени жизни, опубликованные в нашей стране и за рубежом до 1972 года. За основу при составлении настоящих материалов были взяты данные, обобщенные ранее в работах Б.С.Джелепова, Л.К.Пекера и В.О.Сергеева<sup>x)</sup>, Э.К.Хайда, И.Перлмана и И.Т.Сиборга [443-64], С.М.Ледерера, Дж.И.Холландера и И.Перлмана [496-67]. Ссылки на неопубликованные и труднодоступные работы снабжены указаниями, в какой опубликованной работе приведены использованные данные.

Весь материал делится на три части: основная таблица и два приложения к ней. В основной таблице, построенной по образцу таблиц изотопов Сиборга (1958 г.) и Селинова (1948 г.), сообщаются важнейшие сведения о каждом изотопе и его излучениях для элементов, начиная с тория ( $Z \geq 90$ ). В связи со значительно возросшим объемом экспериментальных данных по тонкой структуре  $\alpha$ - и  $\gamma$ -спектров, в таблице помещены данные только о наиболее интенсивных  $\alpha$ - и  $\gamma$ -переходах. Более подробные сведения о спектрах излучений вынесены в приложение I. В приложении II приводятся схемы уровней ядер и схемы радиоактивного распада изотопов, имеющих данное

<sup>x)</sup> Джелепов Б.С., Пекер Л.К., Сергеев В.О. Схемы распада радиоактивных ядер, 1963 г.

ядро продуктом своего распада. В тех случаях, когда в приложениях приведены подробные сведения о спектрах излучений изотопа или полна схема его распада, в основной таблице имеются соответствующие указания.

Список использованной литературы для употребления составлен в алфавитном порядке, сначала работы, опубликованные на русском языке, затем зарубежные работы. Рядом с номером ссылки через дефис указываются две последние цифры года публикации работы, например [138-64], что позволяет судить о новизне пригодимых данных, не пользуясь списком литературы.

Сомнительные или недостоверные данные приводятся в круглых скобках; на схемах недостоверные или предполагаемые уровни и переходы — пунктирными линиями.

В первой графе таблицы основных характеристик радиоактивного распада изотопов приведены символы изотопов и их изомёров, в том числе открытие за последнее время спонтанно делящиеся изомеры. Под символом некоторых изотопов (где это известно) помещены значения магнитных моментов ядер  $-\mu$  (в единицах ядерного магнетона) и электрических квадрупольных моментов ядер  $q$  (в барнах) в основном состоянии.

во второй графе таблицы указаны способы радиоактивного распада изотопа и их относительная вероятность (в %), если распад может идти несколькими путями. Вероятность распада не указывается, если она равна 100% или близка к 100%, например, при дополнительном распаде путем спонтанного деления с гораздо большим периодом полураспада. Кроме  $\alpha$ ,  $\beta^-$  и  $\beta^+$ -распада используются следующие обозначения:  $E$  — захват ядром электрона оболочки атома ( $e^-$  — захват), И П — изомерный переход, С ІІ — спонтанное деление.

В третьей графе таблицы содержатся данные о периоде полураспада изотопа, определяемом суммарной вероятностью всех способов его распада. Первым, как правило, указана наиболее достоверные сведения. В этой же графе приведены периоды полураспада изотопа путем спонтанного деления и в некоторых случаях парциальные периоды  $\beta^-$ -распада. Последние для отличия заключены в квадратные скобки.

В четвертой графе таблицы приводятся энергии и интенсивности наиболее вероятных  $\alpha$ - и  $\beta$ -переходов. Интенсивности излучений дады в процентах по отношению к данному типу распада. При наличии нескольких путей распада для получения интенсивности излучения на один акт распада изотопа необходимо указанные в таблице интенсивности умножить на относительную вероятность данного типа распада. Если линия сложная или дублет, то это указано в скобках: сложн.или дубл. соответственно.

Энергии  $\alpha$ -излучения приведены к общему эталону, за который приняты значения:  $E_{\alpha}$ ,  $Po^{210}$ , равное  $5304.6 \pm 0.6$  кэв [607-60],  $E_{\alpha}$ ,  $Cm^{242}$ , равное  $6112.9 \pm 0.25$  кэв [367-71] и  $E_{\alpha}$ ,  $Gd^{153}$ , равное  $2632.73 \pm 0.05$  кэв [607-71]. Это не скажет лишь в тех случаях, когда ошибка измерений существенно преосходит величину поправки и когда в работе не указан способ калибровки шкалы энергий. В этих случаях значения энергии отмечены буквой "a".

Приведенные в четвертой и пятой графах данные приводятся либо средними, либо наиболее достоверными. Исходные данные оригинальных работ и более полные сведения о переходах малой интенсивности приведены в соответствующих таблицах приложения I. Если более полных сведений нет, то приведены ссылки на литературу, в противном случае они даются в приложении.

Пятая графа содержит энергию и интенсивности  $\gamma$ -излучений, сопровождающих  $\alpha$ -,  $\beta^\pm$ -распад и  $e^-$ -захват. Если распад изотопа идет несколькими путями, то данные по  $\gamma$ -излучению приводят-

ся раздельно для каждого типа распада и перед ними ставится его обозначение:  $\alpha$ ,  $\beta$  или  $\gamma$ . Интенсивность  $\gamma$ -излучения указана в процентах по отношению к соответствующему типу распада.

В шестой графе приведены главные способы получения изотопа и ссылки на работы, в которых этот способ применялся. Для общезвестных и широко используемых путей получения изотопа, даны ссылки на обзорную работу Э.К.Хайда и др.[443-64]. Для изотопов, встречающихся в природе, в этой графе приведено процентное содержание изотопа в природной смеси изотопов.

В приложении I содержатся данные важнейших оригинальных работ по определению  $\alpha$ ,  $\beta$  и  $\gamma$ -спектров излучений при радиоактивном распаде изотопов. Данные разных авторов для одного и того же перехода приводятся в одной строке. Такое представление материала обладает большой наглядностью и удобством для сопоставления результатов разных работ.

В первой строке таблиц указана работа, данные которых положены в основу таблицы. Если в таблице дополнительно приводятся данные других авторов, то они снабжаются отдельными ссылками.

В таблицах  $\alpha$  и  $\beta$ -спектров приведены экспериментальные значения энергий излучений  $E_\alpha$  и  $E_{\beta\text{макс.}}(\text{кэв})$  их интенсивности и соответствующие энергии возбуждения дочерних ядер  $E^*(\text{кэв})$ , вычисленные для  $\alpha$ -распада по формуле  $E^* = (E_{\alpha_0} - E_{\alpha_1}) \cdot (I + \frac{1}{A})$ .

В таблицах  $\gamma$ -спектров даны энергии  $E_\gamma(\text{кэв})$ , интенсивности излучения  $\gamma$ -квантов  $I_\gamma$  и мультипольности излучения. Полная вероятность переходов –  $I_p$  путем  $\gamma$ -излучения и внутренней конверсии, как правило, приводится на схемах в приложении II.

В приложении II приведены схемы радиоактивного распада изотопов и схемы уровней ядер. Схемы расположены в порядке возрастания порядкового номера элемента  $Z$ , а в пределах одного элемента – в порядке возрастания массового числа  $A$ . Так как некоторые изотопы  $Tl$  и  $Ra$  в результате  $\alpha$ -распада образуют изотопы  $Ra$  и  $Ac$ , в приложении II, в виде исключения, даны схемы уровней этих ядер, хотя для них  $Z < 90$ .

На схемах приведены следующие характеристики уровней: энергия возбуждения уровня (кэв, над уровнем с правой стороны), спин  $I$ , четность  $\pi$ , квантовые числа Нильсена  $K, [Nn_z]L$  и время жизни  $T$  (против уровня с левой стороны) в следующей последовательности  $T[Nn_z]K$  и  $\pi$  причем  $[Nn_z]K$  указаны только у нижнего состояния полосы, а  $I\pi$  для каждого уровня полосы – в виде вертикального столбца.

Одновременно со схемами уровней приведены схемы распада изотопов, имеющих данное ядро продуктом своего распада:  $\beta^-$ -распад показан стрелками с левой стороны от уровней (возрастание  $Z$ ),  $\alpha$ -распад,  $\beta^+$ -распад и  $\gamma^-$ -захват – стрелками с правой стороны (уменьшение  $Z$ ). Для каждого перехода указана энергия излучения (кэв) и интенсивность (%) по отношению к данному типу распада. Вероятность последнего, если она не равна 100%, указывается в верхней части перехода под основным уровнем распадающегося ядра (рядом с обозначением типа распада). Рядом с основным уровнем распадающегося ядра приведены полная энергия распада (кэв) (с правой стороны) и квантовые характеристики уровня (с левой стороны).

$\gamma$ -переходы обозначены вертикальными линиями между уровнями. На  $\gamma$ -переходах указаны энергия перехода (кэв), мультипольность и вероятность перехода (%) по отношению к данному типу распада. Если данное ядро образуется путем распада нескольких изотопов, то  $\gamma$ -переходы, соответствующие каждому типу распада, приводятся отдельно и разделены между собой пунктирными линиями.

На схемах приведены средние или наиболее достоверные данные экспериментальных работ, содержащихся в приложении I.

ТАБЛИЦА ОСНОВНЫХ ХАРАКТЕРИСТИК РАДИОАКТИВНОГО РАСПАДА ИЗОТОПОВ

Изотоп	Тип распада	Период полураспада	Энергия (кэВ) и интенсивность $\alpha$ - излучения	Энергия (кэВ) и интенсивность $\gamma$ - излучения	Главные способы получения
$\text{Th}^{213}$	$\alpha$	$0,150 \pm 0,025 \text{ мсек}/684-68/$	$7690 \pm 10/684-68/$		$\text{Pb}^{206}(0^{16}, 9n)$ $/684-68/$
$\text{Th}^{214}$	$\alpha$	$0,125 \pm 0,025 \text{ мсек}/684-68/$	$7680 \pm 10/684-68/$		$\text{Pb}^{206}(0^{16}, 8n)$ $/684-68/$
$\text{Th}^{215}$	$\alpha$ $E < 1,5\% /684-68/$	$1,2 \pm 0,5 \text{ мсек}/684-68/$	$7522 \pm 8-40\%$ $7393 \pm 8-52\%$ $7331 \pm 10-8\% /684-68/$		$\text{Pb}^{206}(0^{16}, 7n)$ $/684-68/$
$\text{Th}^{216}$	$\alpha$ $E < 0,6\% /684-68/$	$0,028 \pm 0,002 \text{ мсек}/684-68/$	$792 \pm 8/684-68/$		$\text{Pb}^{206}(0^{16}, 6n)$ $/684-68/$
$\text{Th}^{217}$	$\alpha$	$< 0,3 \text{ мсек}/684-68/$	$9250 \pm 10/684-68/$		$\text{Pb}^{206}(0^{16}, 5n)$ $/684-68/$
$\text{Th}^{221}$	$\alpha$	$1,68 \pm 0,06 \text{ мсек}/675-70/$ $1,8 \pm 0,3 \text{ мсек}/685-70/$	$8472 \pm 5^a-31,6\%$ , $8146 \pm 5-62,4\%$ , $7733 \pm 8-6\% /675-70/$ , $8470 \pm 10-30\%$ , $8145-62\%, 7730-8\%$ $/685-70/$		$\text{Pb}^{208}(0^{16}, 3n)$ $/675-70/$
$\text{Th}^{222}$	$\alpha$	$2,8 \pm 0,3 \text{ мсек}/685-70/$ $4 \pm 1 \text{ мсек}/675-70/$	$7980 \pm 10/685-70/$ $7984 \pm 8^a/675-70/$		$\text{Pb}^{208}(0^{16}, 2n)$ $/675-70/$
$\text{Th}^{223}$	$\alpha, (E)$	$0,66 \pm 0,01 \text{ мсек}/685-70/$ $0,9 \pm 0,1 \text{ мсек}/676-58/$	$7315 \pm 10-40\%$ , $7285-60\% /685-70/$ , $7330 \pm 20^a/375-69/$		$\alpha$ -распад $\text{U}^{227}$ $/443-64/$
$\text{Th}^{224}$	$\alpha$	$1,03 \pm 0,05 \text{ мсек}/685-70/$ $1,05 \pm 0,05 \text{ мсек}/676-58/$	$7170 \pm 10^a-79\%$ , $7000-19\%, 6770-1,5\%, 297-0,3\%$ , $6700-0,5\% /604-6I/$ , $410-0,8\% /604-6I/$ См.сх.ур. $\text{Ra}^{220}$		$\alpha$ -распад $\text{U}^{228}$ $/534-5I/$
$\text{Th}^{225}$	$\alpha-90\% /534-5I/$ $E-10\% /534-5I/$	$8,0 \pm 0,5 \text{ мин}/534-5I/$	$6793 \pm 5^a-9\%$ , $6739-7\%, 6496-14\%$ , $6473-43\%, 6436-15\%$ См.табл.П.1 См.сх.ур.	$\alpha: 246-5\%$ , $322-30\%, 362-5\%$ , $450-1\%, 490-1\%$ $/534-5I/$ $\text{Ra}^{221}$	$\alpha$ -распад $\text{U}^{229}$ $/534-5I/$
$\text{Th}^{226}$	$\alpha$	$30,9 \text{ мин}/660-48/$	$6530 \pm 10^a-79\%$ , $6220-19\%, 6095-1,7\%, 242,4-1,2\%$ , $6029-0,6\% /145-56/$ См.табл.П.2 См.сх.ур. $\text{Ra}^{222}$	$III, 2-3,4\%$ , См.табл.П.2 $\text{Ra}^{222}$	$\alpha$ -распад $\text{U}^{230}$ $/443-64/$

Изотоп	Тип распада	Период полураспада	Энергия (кэВ) и интенсивность $\alpha$ -излучения	Энергия (кэВ) и интенсивность $\gamma$ -излучения	Главные способы получения
$\text{Th}^{227}$	$\alpha$	$18,7176 \pm 0,0052$ дн. /462-67/ $18,17 \pm 0,08$ дн./372-54/ $18,6$ дн./582-49/	$6036,6 \pm 1,5-23\%$ , 5976-22%, 5755-23%, $5709-14\%$ (дубл.) См.табл.П.3	$50,2-8,4\%$ , 236,0-10%, 256,3-6,5%, 300-3,7%(олово), 331-3,9%(дубл.) См.табл.П.4 См.сх.ур. $\text{Ra}^{223}$	$\alpha$ -распад $\text{U}^{227}$ /443-64/
$\text{Th}^{228}$	$\alpha$	$1,91313 \pm 0,00088$ лет /463-71/ $1,910 \pm 0,002$ лет/476-56/	$5427 \pm 1-72\%$ , 5344-27% См.табл.П.5	$84,47-1,4\%$ , 216,1-0,3% См.сх.ур. $\text{Ra}^{224}$	$\alpha$ -распад $\text{U}^{232}$ $\beta$ -распад $\text{Ac}^{228}$ /443-64/
$\text{Th}^{229}$	$\alpha$	$7340 \pm 160$ лет/373-50/ $M_{\pi}+0,3$ /503-64/	$5052-7\%$ , 4972-10% (дубл.), 4900-10,7%, 124,5-3,6%, 4844,7 $\pm$ 1,2-56,2%, 4814-10% См.табл.П.7	$31,3-4\%$ , 200-7,7%(дубл.) См.табл.П.8 См.сх.ур. $\text{Ra}^{225}$	$\alpha$ -распад $\text{U}^{233}$ /443-64/
$\text{Th}^{230}$	$\alpha$	$(7,52 \pm 0,16) \cdot 10^4$ лет /166-62/ $(8,0 \pm 0,3) \cdot 10^4$ лет/439-49/	$4684-76\%$ , 4617-24% См.табл.П.9	$67,73-0,59\%$ , 143,6-0,07%, 185,8-0,014%, 253,5-0,017% См.табл.П.10	$\alpha$ -распад $\text{U}^{234}$ /443-64/
$\text{Th}^{230}$	СД	$\geq 1,5 \cdot 10^{17}$ лет/620-52/		См.сх.ур. $\text{Ra}^{226}$	
$\text{Th}^{231}$	$\beta^-$	$25,52 \pm 0,01$ час/234-58/ $25,64 \pm 0,10$ час/450-51/ $25,51 \pm 0,23$ час/479-49/	$300-45\%$ , ~215-27%, 136-21%, ~90-7% См.табл.П.11	$25,6-12\%$ , 81,6-4% (дубл.), 84,2-7,2%, $\text{Th}^{230}(\text{n},\gamma)$ , 100-2,4%(дубл.) См.табл.П.12 См.сх.ур. $\text{Ra}^{231}$	$\alpha$ -распад $\text{U}^{235}$ , $\text{Th}^{230}(\text{n},\gamma)$ , $\text{Th}^{232}(\text{n},2\text{n})$ /443-64/
$\text{Th}^{232}$	$\alpha$	$(1,41 \pm 0,015) \cdot 10^{10}$ лет /288-60/ $(1,39 \pm 0,03) \cdot 10^{10}$ лет /585-56/ $(1,45 \pm 0,05) \cdot 10^{10}$ лет /511-56/ $(1,42 \pm 0,07) \cdot 10^{10}$ лет /622-56/ $> 10^{21}$ лет/102-58/ $(1,4 \cdot 10^{18}$ лет)/620-52/	$4011 \pm 5/389-57/$ 4011 $\pm$ 5-77%, 3952 $\pm$ 8-23%, 3829 $\pm$ 10-0,2% /77-61,75-62/ /77-61,75-62/ /77-61,75-62/ /77-61,75-62/ /77-61,75-62/	$59 \pm 1^6/578-55/$ 60/123-56/	Естественный $\text{Th}(100\%)$
	СД				

Изотоп	Тип распада	Период полураспада	Энергия (кэВ) и интенсивность $\beta^-$ - излучения	Энергия (кэВ) и интенсивность $\gamma$ - излучения	Главные способы получения
$\text{Th}^{233}$	$\beta^-$	$22,12 \pm 0,05 \text{ мин} / 456-55 /$ $22,4 \pm 0,1 \text{ мин} / 270-57 /$ $23,6 \pm 0,6 \text{ мин} / 606-52 /$ $23,5 \text{ мин} / 615-47 /$	$1245 \pm 3 < 87\%$ , $1158; 1073; 880,$ $790; 580 / 318-57 /$ $1230 \pm 10 > 99\%$ $/ 226-50, 270-57 /$	$29,35-1,8\%$ , $86,5-2,7\%$ , $459-1,2\%$ , $669,5-0,7\%$ См.табл.П.13 См.сх.ур. $\text{Ra}^{233}$	$\text{Th}^{232}(\text{n},\gamma)$ $/ 615-47 /$
$\text{Th}^{234}$	$\beta^-$	$24,10 \pm 0,025 \text{ дн.} / 478-48 / (> 200-0,63\%) / 716-54 /$ $\alpha < 10^{-4}\% / 266-55 /$	$63,4-3,5\% (\text{дубл.})$ $\alpha$ -распад $\text{U}^{238}$ $192-80\%, 100-20\%$ См.табл.П.14 См.табл.П.15 См.сх.ур. $\text{Ra}^{234}$	$93,3-4\% (\text{дубл.})$ $/ 443-64 /$	
$\text{Th}^{235}$	$(\beta^-)$	$/ 384-50 /$	$\ll 10 \text{ мин} / 384-50 /$		$\text{Th}^{234}(\text{n},\gamma)$ $/ 384-50 /$
$\text{Ra}^{216}$	$\alpha$	$0,20 \pm 0,04 \text{ сек} / 96-71 /$	$7920^{\text{a}}, 7820, 7720$ $/ 96-71 /$		$\text{Au}^{197}(\text{Mg}^{24}, 5\text{n}),$ $\text{Os}^{190}(\text{P}^{31}, 5\text{n})$ $/ 96-71 /$
$\text{Ra}^{222}$	$\alpha$	$5,7 \pm 0,5 \text{ мсек} / 203-70 /$	$8540 \sim 30\%, 8330 \sim 20\%,$ $8180 \sim 50\% (\text{сложн.})$ $/ 203-70 /$		$\text{Bi}^{209}(\text{O}^{16}, 3\text{n}),$ $\text{Pb}^{206}(\text{F}^{19}, 3\text{n})$ $/ 203-70 /$
$\text{Ra}^{223}$	$\alpha$	$6,5 \pm 1,0 \text{ мсек} / 203-70 /$	$8195 \pm 10-45\%,$ $8005 \pm 10-55\%$ $/ 203-70 /$		$\text{Pb}^{208}(\text{F}^{19}, 4\text{n}),$ $\text{Tl}^{205}(\text{Ne}^{22}, 4\text{n})$ $/ 203-70 /$
$\text{Ra}^{224}$	$\alpha$	$0,95 \pm 0,15 \text{ сек} / 203-70 /$ $0,6 \pm 0,05 \text{ сек} / 676-58 /$	$(7960), (7880),$ $7490 \pm 10 \sim 100\%$ $/ 203-70 /$		$\text{Tl}^{205}(\text{Ne}^{22}, 3\text{n})$ $/ 203-70 /$
$\text{Ra}^{225}$	$\alpha$	$1,8 \pm 0,3 \text{ сек} / 203-70 /$ $0,8 \pm 0,1 \text{ сек} / 676-58 /$ $2,0 \text{ сек} / 472-51 /$	$7245 \pm 10-70\%,$ $(7195 \pm 10)-30\%$ $/ 203-70 /$ $7250 \pm 20^{\text{a}} / 374-68 /$		$\text{Bi}^{209}(\text{Ne}^{22}, \alpha(2\text{n}))$ $/ 203-70 /$ $\text{Th}^{232}(\text{p}, 8\text{n})$ $/ 472-51, 676-58 /$
$\text{Ra}^{226}$	$\alpha-74\% / 528-65 /$ $\text{E}-26\% / 528-65 /$	$1,8 \pm 0,2 \text{ мин} / 534-51 /$	$6858 \pm 10-52\%,$ $6818-46\%, 6723-1\%$ $/ 528-65 /$		$\text{Th}^{232}(\text{p}, 7\text{n}),$ $\text{Th}^{232}(\text{d}, 8\text{n})$ $/ 534-51 /$
$\text{Ra}^{227}$	$\alpha-85\% / 534-51 /$ $\text{E}-15\% / 534-51 /$	$38,3 \pm 0,3 \text{ мин} / 534-51 /$	$6467-50,7\%,$ $6421-27\% (\text{дубл.})$ $6403-9,6\%, 6358-8\%$ См.табл.П.16	$\alpha: (50), 64,7-6,2\%,$ $67,9-1,8\% (1,2\%)^x$ $110,3-3,2\% (2,0\%)^x$ См.сх.ур. $\text{Ac}^{223}$	$\text{Th}^{232}(\text{p}, 6\text{n})$ $/ 394-58 /$

x) Данные, приведенные в работе /496-67/.

Изотоп	Тип распада	Период полураспада	Энергия (кэВ) и интенсивность $\alpha$ и $\beta$ - излучений	Энергия (кэВ) и интенсивность $\gamma$ - излучения	Главные способы получения
$\text{Ra}^{228}$	$E = 98\% / 534-51 /$ $\alpha - 2\% / 534-51 /$	$22 \pm 1 \text{ час} / 534-51 /$	6121-10,8%, 6108-12,3%, 6081-21,2%, 6031-9,2%, 5804-19,1% (дубл.) См.табл.П.17	$E: 333-18\%$ , 463-28%, 913-38%, 970-39%, 1590-6%, 1850-5% (все сложн.) См.табл.П.18, П.19 См.табл.П.17	$\text{Th}^{232} (d, \bar{n})$ $/ 334-48 /$ $\text{Th}^{230} (d, \bar{n})$ $/ 394-58 /$ $e^- \text{- захват } U^{228}$ $/ 534-51 /$
$\text{Ra}^{229}$	$E > 99\%$ $\alpha - 0,25\% / 631-51 /$ $I, 5 \text{ дн.} / 441-49 /$ $I, 4 \text{ дн.} / 440-49 /$		5671-18,5%, 5623-23% (дубл.), 5581-36,5%, 5537-8,8% См.табл.П.20	$\alpha: 40-10\%, 92-16\%$ См.табл.П.21 $E: 42,37^0 / 394-58 /$ См.табл.П.20 См.сх.ур. $\text{Ac}^{225}$	$\text{Th}^{232} (p, \bar{n})$ $/ 665-63 /$ $\text{Th}^{230} (d, \bar{n})$ $/ 440-49 /$ $e^- \text{- захват } U^{229}$ $/ 534-51 /$
$\text{Ra}^{230}$	$E = 89,6\% / 175-65 /$ $90,35\% / 508-70 /$ $91,6\% / 484-70 /$ $\beta^+ \leq 0,03\% / 570-55 /$	$17,7 \pm 0,5 \text{ дн.} / 576-49 /$ $17,0 \pm 0,5 \text{ дн.} / 660-48 /$		$E: 450-14\% (дубл.),$ 510-7% (дубл.), 910-17% (дубл.), 952-35% См.табл.П.23 См.сх.ур. $\text{Th}^{230}$	$\text{Th}^{232} (p, \bar{n}),$ $\text{Th}^{232} (d, \bar{n})$ $/ 536-56 /$ $\text{Th}^{230} (p, \bar{n}),$ $\text{Th}^{230} (d, \bar{n})$ $/ 443-64 /$ $\text{Ra}^{231} (n, 2\bar{n})$ $/ 443-64 /$
	$\beta^- = 10,4\% / 175-65 /$ $9,65\% / 508-70 /$ $8,4\% / 484-70 /$		509-98,5%, 194-1%, 140-0,5% / 508-70 / 405 $\pm$ 20 / 570-55 /	$\beta^-: 51,75-0,3\%$ , (253,5-0,2%), (314,8), 366,55-1% / 508-70, 484-70, 215-69/ См.сх.ур. $U^{230}$	
	$\alpha - 3,2 \cdot 10^{-3\%} / 175-65 /$ $(3,1 \pm 0,5) \cdot 10^{-3\%}$ $/ 213-65 /$ $(4,3 \pm 0,7) \cdot 10^{-3\%}$ $/ 528-65 /$		5343 $\pm$ 5299-86% $/ 175-65 /$ См.табл.П.22		
$\text{Ra}^{231}$	$\alpha$ $M = +1,98$ $/ 503-64 /$ $M = +1,96$ $/ 167-61 /$ СД	$(3,248 \pm 0,026) \cdot 10^4 \text{ лет}$ $/ 477-61 /$ $(3,48 \pm 0,03) \cdot 10^4 \text{ лет}$ $/ 693-49, 277-54 /$ $\geq 10^{16} \text{ лет} / 663-54 /$		5057-11%, 5028-22%, 27,35-7%, 283,6-1,6%, $\beta^-$ - распад $\text{Th}^{231}$ , 5012-25%, 4950-23%, 301-4,6% (дубл.), 4732-10% См.табл.П.24 См.табл.П.25 См.сх.ур. $\text{Ac}^{227}$	$\text{Th}^{232} (d, \bar{n})$ $/ 443-64 /$ $\text{Th}^{230} (p, \bar{n})$ $/ 443-64 /$
$\text{Ra}^{232}$	$\beta^-$ $E < 2\% / 222-52 /$	$I, 31 \text{ дн.} / 223-54 /$ $I, 32 \text{ дн.} / 448-50 /$	1240-1,5%, 310-98% См.табл.П.26	150, I-II%, 390-580-36%, 890-30% (сложн.), 970-42% См.табл.П.27 См.сх.ур. $U^{232}$	$\text{Ra}^{231} (n, \gamma)$ , $\text{Th}^{232} (p, \bar{n})$ , $\text{Th}^{232} (d, \bar{n})$ , $/ 443-64 /$

Изотоп	Тип распада	Период полураспада	Энергия (кэв) и интенсивность $\alpha$ и $\beta$ - излучений	Энергия (кэв) и интенсивность $\gamma$ - излучения	Главные способы получения
$\text{Ra}^{233}$	$\beta^-$	$27,0 \pm 0,1 \text{дн.}/531-56/$ $M=+3$ $/503-64/$ $M=+3,4$ $/524-61/$ $q=-3,0$ $/503-64,$ $524-61/$	$570-6,0, 255-57\%$ , $\sim 150-5\%$ $24,4 \text{дн.}/568-41/$ См.табл.П.28	$310-40\%$ (дубл.), $340,5-3,9\%$ , $410-2,6\%$ (дубл.). См.табл.П.29 См.сх.ур. $\text{U}^{233}$	$\beta$ -распад. $\text{Th}^{233}$ $/368-41/$ $\alpha$ -распад $\text{Nr}^{237}$ $/443-64/$
$\text{Ra}^{234}$	$\beta^-$	$6,058 \pm 0,012 \text{час.}/716-54/$ $6,75 \pm 0,05 \text{час.}/190-62/$ См.табл.П.30	$II160-6\%, 700-19\%,$ $520 \sim 0\%, \sim 260 \sim 25\%$ См.табл.П.30	$131,2-19\%,$ $226,7-11\%,$ $569,3-12\%,$ $733,3-8,5\%,$ $882-53\%(\text{сложн.}),$ $936-42\%(\text{сложн.})$ См.табл.П.31 См.сх.ур. $\text{U}^{234}$	И.П. $\text{Ra}^{234m}$ $/716-54, 443-64/$
$\text{Ra}^{234m}$	$\beta^- > 99\%$	$I, I75 \pm 0,003 \text{мин.}/711-51/$ $III-0,15\%/II16-62/$ $(0,13 \pm 0,03)\%$ $/192-63/$ $(0,18 \pm 0,02)\%$ $/309-60/$	$2290 \pm 20-98\%$ $I, I83 \pm 0,037 \text{мин.}/608-69/$ $I, I4 \pm 0,01 \text{мин.}/192-63/$ $I, 25 \pm 0,10 \text{мин.}/571-56/$ См.сх.ур. $\text{U}^{234}$	$\beta: 766-0,3\%,$ $1001-0,6\%$ См.табл.П.33 И.П.: $70^{\beta}/192-63/$ $69,8/310-62/$	$\beta$ -распад. $\text{Th}^{234}$ $/443-64/$
$\text{Ra}^{235}$	$\beta^-$	$24,2 \pm 0,3 \text{мин.}/677-68/$ $23,7 \pm 0,5 \text{мин.}/533-50/$	$I410 \pm 50-97\%$ $/677-68/$ $I400/533-50/$	$75-0,05\%,$ $(I15-0,25\%),$ $I65-0,3\%, 265-0,35\%,$ $320-1\%, 400+I270 \sim 1\% /677-68/$ $/677-68/$	$\beta$ -распад. $\text{Th}^{235}$ $/443-64/$ $\text{U}^{235}(\text{n}, \text{p})$ $\text{U}^{238}(\text{p}, \text{d})/533-50/$
$\text{Ra}^{236}$	$\beta^-$	$9,1 \pm 0,3 \text{мин.}/677-68/$ $I2,5 \pm 1,0 \text{мин.}/711-63/$ $10,5 \pm 1 \text{мин.}/257-54/$	$3100-10\%, 2000-50\%,$ $I100-40\%/677-68/$ $3350 \pm 100/711-63/$	$(I10-25), 225-3,$ $642-100, 925-50,$ $I090 \sim 40 \text{отн.ед.}$ $/677-68/$	$\text{U}^{236}(\text{n}, \text{p})$ $/677-68/$ $\text{U}^{238}(\text{d}, \text{d})$ $/711-63/$
$\text{Ra}^{237}$	$\beta^-$	$9,1 \pm 0,2 \text{мин.}/677-68/$ $I0,5 \pm 1 \text{мин.}/257-54/$	$2300-10\%, I600-30\%,$ $I100-60\%/677-68/$	$530(\text{дубл.})-66,$ $642-24, 852-100,$ $864-440 \text{отн.ед.}$ См.табл.П.34	$\text{U}^{238}(\gamma, \text{p})$ $/677-68/$
$\text{Ra}^{238}$	$\beta^-$	$2,3 \pm 0,1 \text{мин.}/677-68/$	$2900-5\%, 2200-20\%,$ $I700-40\%, I200-35\%$ $/677-68/$	$448,5-7,6,$ $635,2-8,8,$ $683-12,7(\text{дубл.}),$ $\sim 900-8,7(\text{сложн.}),$ $I015-10; I073-9,5$ отн.ед.(дубл.) См.табл.П.35 См.сх.ур. $\text{U}^{238}$	$\text{U}^{238}(\text{n}, \text{p})$ $/677-68/$

Изотоп	Тип распада	Период полураспада	Энергия (кэв) и интенсивность $\alpha$ $\beta - \gamma$ - излучений	Энергия (кэв) и интенсивность $\gamma$ $\beta - \gamma$ - излучений	Главные способы получения
$U^{227}$	$\alpha$	$1,1 \pm 0,1 \text{ мин.} / 375-69 /$ $1,3 \pm 0,3 \text{ мин.} / 535-52 /$	$6870 \pm 20^a / 375-69 /$ $6800 \pm 100^a / 535-52 /$		$Pa^{231}(p, 5n) / 375-69 /$ $Th^{232}(\alpha, 9n) / 535-52 /$
$U^{228}$	$\alpha: 95\% / 604-61 /$ $80\% / 534-51 /$ $E < 5\% / 604-61 /$ $20\% / 534-51 /$	$9,1 \text{ мин.} / 604-61 /$ $9,3 \pm 0,5 \text{ мин.} / 534-51 /$	$6680 \pm 10^a - 70\%$ , $6590 - 29\%$ , $6440 - 0,7\%$ (пог-изл.), $6400 - 0,5\%$ (пог-изл.)	$\alpha: 152 - 0,2\%$ , $187 - 0,3\%$ , $246 - 0,4\%$ $/ 534-51, 604-61 /$ $/ 604-61 /$ См. сх. ур. $Th^{224}$	$Th^{232}(\alpha, 8n)$
$U^{229}$	$E - 80\% / 534-51 /$ $\alpha - 20\% / 534-51 /$	$58 \pm 3 \text{ мин.} / 534-51 /$	$6358 \pm 3 - 64\%$ , $6330 - 20\%$ , $6295 - 11\% / 604-61 /$ См. табл. II.36	Нет $\gamma$ с $\alpha$ -распадом	$Th^{232}(\alpha, 7n) / 604-61 / / 534-51 /$
$U^{230}$	$\alpha$	$20,8 \text{ дня} / 660-48 /$	$5887 - 67,5\%$ , $5816 - 32\%$ См. табл. II.37	$72,13 - 0,6\%$ , $156 - 0,34\%$ (дубл.), $230,6 - 0,2\%$ См. табл. II.38	$\beta - \text{распад} Pa^{230} / 443-64 /$ $Th^{232}(\alpha, 6n) / 660-48 /$ См. сх. ур. $Th^{226}$
$U^{231}$	$E > 99\%$ $\alpha - 5,5 \cdot 10^{-5}\% / 256-50 /$	$4,3 \text{ дня} / 256-50 /$ $4,2 \text{ дня} / 576-49 /$	$5450^a / 256-50 /$	$E: 25,64 - 12\%$ , $84,18 - 7\%, 220 - 1\%$ См. табл. II.39 См. сх. ур. $Pa^{231} / 576-49 /$	$Th^{232}(\alpha, 5n) / 256-50 /$ $Pa^{231}(d, 2n) / 576-49 /$
$U^{232}$	$\alpha$	$71,7 \pm 0,9 \text{ года} / 244-64 /$	$5320 - 68\%$ ,	$57,6 - 0,21\%$ ,	$\beta - \text{распад} Pa^{232} / 443-64 /$
		$73,6 \pm 1 \text{ года} / 621-54 /$	$5263 - 31,7\%$	$129 - 0,08\%$	
	$\text{СД}$	$\sim 8 \cdot 10^{13} \text{ лет} / 442-56 /$	См. табл. II.40	См. табл. II.41	$Th^{232}(\alpha, 4n) / 557-49 /$
				См. сх. ур. $Th^{228}$	
$U^{233}$	$\alpha$	$(1,593 \pm 0,024) \cdot 10^5 \text{ лет}^x$ $/ 380-69 /$ $(1,588 \pm 0,007) \cdot 10^5 \text{ лет}$ $/ 272-69 /$ $(1,553 \pm 0,010) \cdot 10^5 \text{ лет}$ $/ 470-68 /$ $(1,621 \pm 0,003) \cdot 10^5 \text{ лет}$ $/ 445-67 /$ $(1,626 \pm 0,008) \cdot 10^5 \text{ лет}$ $/ 53-59 /$ $(1,615 \pm 0,009) \cdot 10^5 \text{ лет}$ $/ 589-61 /$ СД $(1,2 \pm 0,3) \cdot 10^{17} \text{ лет} / 4-66 /$	$1824 - 84\%, 4783 - 14\%, 42, + 310, 97, 1 - 100, \beta - \text{распад} Pa^{233}$ $4729 - 1,6\%$ См. табл. II.42 $146 - 35$ (дубл.), $310 - 66$ отн. ед. (сложн.) См. т. бл. II.4. См. сх. ур. $Th^{229}$		$Th^{232}(\alpha, 5n) / 443-64 /$

x) Среднее значение, принятное в /380-69/

Изотоп	Тип распада	Период полураспада	Энергия (кэВ) и интенсивность $\alpha$ - излучения	Энергия (кэВ) и интенсивность $\beta$ - излучения	Главные способы получения
$U^{234}$	$\alpha$	$(2,488 \pm 0,016) \cdot 10^5$ лет <sup>x</sup> /380-69/ $(2,433 \pm 0,005) \cdot 10^5$ лет /639-68/ $(2,47 \pm 0,03) \cdot 10^5$ лет /706-65/ $(2,520 \pm 0,008) \cdot 10^5$ лет /474-52/ $(2,475 \pm 0,016) \cdot 10^5$ лет /305-52/ $(2 \pm 1) \cdot 10^{16}$ лет/337-52/	4777-72,5%, 4724-27,5% См.табл.П.44 См.табл.П.45 См.сх.ур. $Tb^{230}$	53,2-100, 120,9-34 отн.од. • $10^{-2}$ % ат. /507-56/ (5,481 $\pm 0,012$ ) • $10^{-3}$ % вес. /473-49/ $\beta$ -распад $Pb^{234}$ /443-64/	Нестоственный. U (9,73 $\pm 0,78$ ) • $10^{-2}$ % ат. /507-56/ (5,481 $\pm 0,012$ ) • $10^{-3}$ % вес. /473-49/ $\beta$ -распад $Pb^{234}$ /443-64/
$U^{234m}$	СД	$(34,9 \pm 4,5)$ нсек/278-70/ (30,4 $\pm 4,9$ ) нсек/278-70/ < 4 нсек/588-70, 489-69/			$U^{233}(n,\gamma)/278-70/$ $U^{233}(d,p)/588-70/$ Не обнаружено при $U^{235}(n,2n)/42-71/$
$U^{235}$	$\alpha$	$(7,10 \pm 0,10) \cdot 10^8$ лет <sup>x</sup> /380-69/ $(7,0381 \pm 0,0048) \cdot 10^8$ лет /452-71/ $(7,022 \pm 0,029) \cdot 10^8$ лет <sup>xx</sup> /169-66/ $(7,13 \pm 0,09) \cdot 10^8$ лет /706-65/ $(6,92 \pm 0,09) \cdot 10^8$ лет /265-63/ $(6,84 \pm 0,15) \cdot 10^8$ лет /713-57/ $(7,13 \pm 0,16) \cdot 10^8$ лет /305-52/	4396-58%, 4366-18% (дубл.) См.табл.П.46 См.табл.П.47 См.сх.ур. $Tb^{231}$	143-11%, 185-54%, 204-5% /370-61/ (0,7196 $\pm 0,0003$ )% ат (0,7204 $\pm 0,0007$ )% ат /507-56/	Нестоственный U (0,7196 $\pm 0,0003$ )% ат /370-61/ (0,7204 $\pm 0,0007$ )% ат /507-56/
$U^{235}$	СД	$(3,5 \pm 0,9) \cdot 10^{17}$ лет/4-66/ $1,9 \cdot 10^{17}$ лет/620-52/			
$U^{235m}$	А.	$26,17 \pm 0,04$ мин/353-58/ $26,05 \pm 0,05$ мин./526-66/ $26,5 \pm 0,2$ мин./148-57/ $26,6 \pm 0,3$ мин./421-57/		70,5 $\pm 1$ эв <sup>0</sup> /545-57/ $\alpha$ -распад $Pu^{239}$ 73 $\pm 5$ эв/556-70/ /148-57/ 30 $\pm 3$ эв/525-66/ < 23 эв/316-57/	
$U^{235m}$	СД	$(19,7 \pm 4,9)$ нсек/278-70/			$U^{234}(n,\gamma)$ /278-70/

x) Среднее значение, принятое в /380-69/

xx) Дисперсионное значение. см. /452-71/

Изотоп	Тип распада	Период полураспада	Энергия (кэВ) и интенсивность $\alpha$ - излучений	Энергия (кэВ) и интенсивность $\gamma$ - излучения	Главные способы получения
$U^{236}$	$\alpha$	$(2,391 \pm 0,010) \cdot 10^7$ лет $/305-52/$ $(2,457 \pm 0,020) \cdot 10^7$ лет $/451-51/$	4495-74%, 4445-26% См.табл. II.48	49,37; 112,75 $/443-64/$ 163-0,5%; 369-55/ См.сх.ур. $Th^{232}$	$U^{235}(\alpha, \gamma)$ $\alpha$ -распад $Pu^{240}$
	СД	$(3,0 \pm 0,4) \cdot 10^{16}$ лет $X/252-71/$ $(3,7 \pm 0,7) \cdot 10^{16}$ лет $/252-71/$ $2 \cdot 10^{16}$ лет $/442-56/$			
$U^{236m}$	СД	$66,6 \pm 8,7$ нсек $/278-70/$ $70 \pm 20$ нсек $/598-70/$ $80 \pm 20$ нсек $/199-71/$ $130 \pm 15$ нсек $/216-71/$ $105 \pm 20$ нсек $/709-70/$ $130 \pm 30$ нсек $/489-69/$		$U^{235}(d, p)/489-69,$ $598-70, 216-71/$ $U^{235}(\alpha, \gamma)/278-70,$ $199-71/$	
	$\beta^-$	$6,752 \pm 0,002$ дн. $/469-58/$ $6,75 \pm 0,014$ дн. $/698-55/$	248-45%, 234-53% См.табл. II.49	59,5-36%, 208-23,3%, 333-1,4% (сложн.) См.табл. II.50 См.сх.ур. $Np^{237}$	$U^{238}(n, 2n)$ $/443-64/$
$U^{238}$	$\alpha$	$(4,4083 \pm 0,0024) \cdot 10^9$ лет $/452-71/$ $(4,307 \pm 0,009) \cdot 10^9$ лет $/483-52/$	4200-77%, 4150-23%, 48 $^0/715-52/$ 4042-0,23% $/77-61/$ 4200 $\pm 5$ $/389-57/$ См.сх.ур. $Th^{234}$	Естественный $U$ $99,276\%$ $/704-56/$ $(99,274 \pm 0,001)\%$ $/443-64/$	
	СД	$(4,46 \pm 0,01) \cdot 10^9$ лет $/653-60/$ $(4,49 \pm 0,01) \cdot 10^9$ лет $/473-49/$ $(4,56 \pm 0,03) \cdot 10^9$ лет $/490-57/$ $(8,19 \pm 0,06) \cdot 10^{14}$ лет $/330-70/$ $(9,86 \pm 0,15) \cdot 10^{15}$ лет $/600-68/$ $(9,5 \pm 0,2) \cdot 10^{15}$ лет $/500-71/$ $(6,72 \pm 0,52) \cdot 10^{15}$ лет $/114-68/$ $(10,1 \pm 0,3) \cdot 10^{15}$ лет $/304-64/$ $(6,5 \pm 0,3) \cdot 10^{15}$ лет $/82-59/$ $(8,0 \pm 0,3) \cdot 10^{15}$ лет $/620-52/$			
$U^{238m}$	СД	$195 \pm 50$ нсек $/709-70/$ $110 \pm 50$ нсек $/598-70/$ $200 \pm 70$ нсек $/588-70/$		$U^{238}(d, pn)$ $/598-70, 588-70/$	
$U^{239}$	$\beta^-$	$23,40 \pm 0,05$ мин. $/436-69/$ $23,5$ мин. $/537-47, 290-47/$ $23,54$ мин. $/549-43/$	1285-20%, 1211-80% $/197-64/$ 1210-100% $/514-52/$ См.сх.ур. $Np^{239}$	43,53-1,2%, 74,67-62%, 830-0,5% (сложн.) См.табл. II.51	$U^{238}(n, \gamma)$ $/443-64/$

x) относительно среднего значения  $T_f = 9,05 \cdot 10^{15}$  лет  $U^{238}$

Изотоп	Тип распада	Период полураспада	Энергия (кэВ) и интенсивность $\lambda$ $\beta -$ излучений	Энергия (кэВ) и интенсивность $\gamma$ $\beta -$ излучений	Главные способы получения
$U^{240}$	$\beta^-$	$14,1 \pm 0,2$ час/480-53/ $360/480-53/$ См.сх.ур. № $^{240}$	$44^0/160-65,228-59/U^{239}(\alpha,\gamma)/438-48/$		
$Np^{227},228$ $\alpha$	$\alpha$	$60 \pm 0,001/79-66/$			$B1^{209}(Ne^{22},xn)$ /79-66/ $U^{233}(p,5n)$
$Np^{229}$	$\alpha$	$4,0 \pm 0,2$ мин/574-68/	$6890 \pm 30^0/574-68/$		/374-68/ $U^{233}(p,4n)$
$Np^{230}$	$\alpha$	$4,6 \pm 0,3$ мин/574-68/	$6600 \pm 20^0/574-68/$		/374-68/ $U^{233}(d,6n)$
$Np^{231}$	$E \sim 99\%$ $\alpha \sim 1\% / 514-50/$	$\sim 5$ мин/514-50/	$6280^0/514-50/$		$U^{235}(d,6n),$ $U^{238}(d,9n)$
$Np^{232}$	$E$	$14,7 \pm 0,3$ мин/417-70/ $13 \pm 3$ мин/514-50/		$527-24,7; 820-25,8, U^{233}(d,3n),$ $867-34,4$ отн.ед. (дубл.)	$U^{235}(d,5n)$ /514-50, 417-70/ См.табл. II.52 См.сх.ур. № $^{232}$
$Np^{233}$	$E > 99\%$ $\alpha \sim 10^{-3\%}/514-50/$ $< 5 \cdot 10^{-5\%}/501-58/$	$55$ мин/514-50/	$5530^0/514-50/$ См.табл. II.53	$E: 95 \pm 560$ См.табл. II.53	$U^{233}(d,2n),$ $U^{235}(d,4n)$ /514-50/
$Np^{234}$	$E > 99\%$ $\beta^+-(0,046 \pm 0,010)\%$ $/591-55/$ $(0,084 \pm 0,012)\%$ $/583-67/$ $\alpha < 0,01\% / 441-49/$	$4,4 \pm 0,1$ дн/591-55/ $4,40$ дн/441-49/ $/591-55/$ $(0,084 \pm 0,012)\%$ $/583-67/$ $\alpha < 0,01\% / 441-49/$	$790 \pm 10/583-67/$ $800/591-55/$ См.сх.ур. № $^{234}$	$E: 451-1,4\%,$ $743-5\%, 787-5\%,$ $1215-7\% (дубл.),$ $1415-8\% (дубл.),$ $1560-45\% (сложн.)$ См.табл. II.54	$U^{233}(d,n),$ $U^{235}(d,3n)$ /441-49, 453-49/ $e^-$ -захват $Pu^{234}$ /581-49/ См.табл. II.54
$Np^{235}$	$E > 99\%$ $\alpha-(1,25 \pm 0,10).10^{-5\%}$ $/669-57/$ $1,59 \cdot 10^{-3\%}/353-58/$	$596,1 \pm 1,2$ дн/486-70/5099-5-3,8%, $410 \pm 10$ дн./455-52/ $405$ дн/353-58/ См.сх.ур. № $^{231}, U^{235}$	$5019 \pm 8,5,6\%,$ $4929 \pm 11,8\%,$ $4868 \pm 8,0,8\%$ /555-60/	$\text{Нет } \gamma \text{ с } e^-$ -захватом /553-58/ $d: 25,6-15\%,$ 84,2-8,8,8/555-60/	$U^{235}(d,2n),$ $U^{233}(d,pn)$ /453-49, 455-52/
$Np^{236}$	$E-51\% / 354-59/$ $50\% / 497-69/$ $\beta^-49\% / 554-59/$ $50\% / 497-69/$ $E_K/\beta^- = 4^3/57$ $/366-56/$	$22$ часа/453-49/ См.табл. II.55	$E: 45,3^0, 642,4-100,$ $688-26,5$ отн.ед. $537 \pm 8-76\%, 492-24\%$ $/497-69/$ $518/366-56/$ См.сх.ур. № $^{236}, Pu^{236}$	$U^{238}(d,4n),$ $U^{235}(d,n)/453-49/$ $Np^{237}(n,2n)$ $\beta^-44,63/411-56/$ $44,6/329-59/$	
$Np^{236m}$	$\beta^-$	$> 50(10)$ лет/664-55/			$U^{238}(d,4n)$ /664-55/

Изотоп	Тип распада	Период полураспада	Энергия (кэВ) и интенсивность $\alpha$ и $\beta$ - излучений	Энергия (кэВ) и интенсивность $\gamma$ $\gamma$ - излучения	Главные способы получения
$Np^{237}$	$\alpha$	$(2,14 \pm 0,01) \cdot 10^6$ лет $M=2,8$ $/654-68/$	$4789-50\%$ , $/204-60/$ $(2,2 \pm 0,1) \cdot 10^6$ лет/ $515-48/4650-9\%$ (сложн.)	$29,66-13,9\%$ , $4770-53\%$ (дубл.), $86-14\%$ $См.табл. II.57$	$\beta$ -распад $U^{237}$ , $\alpha$ -распад $Am^{241}$ $/443-64/$
$Np^{236}$	$\alpha$	$>4 \cdot 10^{16}$ лет/ $620-52/$ $196-54/$ $2 \pm 4, I \pm$ $\pm 0,7$ $/271-69/$	$>10^{18}$ лет/ $60-61/$	$См.табл. II.56$ $См.сх.ур. Pu^{233}$	
$Np^{238}$	$\beta^-$	$2,117 \pm 0,002$ дня/ $592-66/$ $E < 1\% /595-55/$	$1260-45\%$ , $2,16 \pm 0,15$ дня/ $124-58/$ $\sim 260-55\%$ $См.табл. II.58$	$985-25\%$ , $1028-25,5\%$ (дубл.) $См.табл. II.59$ $См.сх.ур. Pu^{238}$	$Np^{237}(\alpha, \gamma) / 443-64/$ $U^{238}(\alpha, 2n) / 614-46/$ $U^{238}(p, n) / 527-54/$
$Np^{239}$	$\beta^-$	$2,546 \pm 0,004$ дня/ $708-56/$ $M=0,3$ $/115-57/$	$715-5\%, 440-35\%$ , $2,354 \pm 0,008$ дня/ $592-66/$ $390-15\%, 330-42\%$ $2,559 \pm 0,010$ дня/ $251-59/$ $См.табл. II.60$ $2,34 \pm 0,02$ дня/ $253-59/$ $См.сх.ур. Pu^{239}$	$106,13-23\%$ , $228,2-12\%$ , $277,63-14\%$ $См.табл. II.61$	$\beta$ -распад $U^{239}$ , $U^{238}(\alpha, n)$ $/453-49, 614-46/$
$Np^{240}$	$\beta^-$	$67,0 \pm 1,0$ мин/ $592-66/$ $63 \pm 2$ мин/ $502-60/$	$890 \pm 30$ / $575-51/$	$(85), 160; 245; 435,$ $565; 595; 915,$ $1000; 1160/502-60/$ $U^{238}(\alpha, \gamma) / 501-58/$ $См.сх.ур. Pu^{240}$	$Np^{239}(\alpha, \gamma) / 499-56/$ $U^{238}(\alpha, pn) / 502-60/$
$Np^{240m}$	$\beta^-$	$7,50 \pm 0,06$ мин/ $592-66/$ $7,3 \pm 0,3$ мин/ $438-48,$ $480-53/$	$2180-52\%, 1600-31\%$ , $1300-10\%, 650-7\%$ $См.табл. II.62$	$554,6-21,4\%$ , $597-12,6\%$ , $938-2\%$ (дубл.), $1510-3,4\%$ (дубл.) $См.табл. II.63$ $См.сх.ур. Pu^{240}$	$\beta$ -распад $U^{240}$ $/480-53/$
$Np^{241}$	$\beta^-$	$16 \pm 0,2$ мин/ $593-66/$ $16$ мин./ $687-59, 502-60/$	$1250/593-66/$ $1560/687-59/$ $См.сх.ур. Pu^{241}$	$135; 175/593-66/$ $U^{238}(\alpha, p)$ $/687-59, 502-60/$	
$(Np^{241m})$	$\beta^-$	$3,4$ чиса/ $502-60/$ Не обнаружен $/593-66, 687-59/$			$U^{238}(\alpha, p) / 502-60/$ Нет в $U^{238}(\alpha, p)$ $/593-66, 687-59/$
$Pu^{232}$	$E \leq 98\%$ $\alpha > 2\% /575-51/$	$56$ мин./ $575-51/$		$6580^B / 575-51/$	$U^{235}(\alpha, 7n) / 575-51/$ $U^{233}(\alpha, 5n) / 668-57/$
$Pu^{233}$	$E > 99\%$ $\alpha -(U, 12 \pm 0,05), o$ $/668-57/$	$20 \pm 2$ мин./ $668-57/$		$6300 \pm 20^B / 668-57/$	$U^{233}(\alpha, 4n) / 668-57/$

Изотоп	Тип распада	Период полураспада	Энергия (кэВ) и интенсивность $\alpha$ -излучений	Энергия (кэВ) и интенсивность $\gamma$ -излучений	Главные способы получения
Pu <sup>234</sup>	E - 94% $\alpha \sim 6\%$ /398-56, 151-57/	9,0±0,5 час./575-51/ 8,5 час./581-49/	6201-68%, 6150-52%, 6030-0,4%/400-60/	$\gamma < 0,5\% / 595-54 /$ См.сх.ур. U <sup>230</sup>	U <sup>235</sup> ( $\alpha$ , 5n)/575-51/ U <sup>233</sup> ( $\alpha$ , 3n)/441-49/
Pu <sup>235</sup>	E >99% $\alpha - (3,0 \pm 0,6) \cdot 10^{-3} \%$ /668-57/ 2·10 <sup>-3</sup> %/575-51/	24,3±0,1мин./304-71/ 26±2мин./575-51, 668-57/	5850±20 <sup>a</sup> /668-57/ 5850±30 <sup>a</sup> /575-51/	E: 34, I-0,33, 49,0-2,67 отн.ед. /364-71/	U <sup>235</sup> ( $\alpha$ , 4n), U <sup>233</sup> ( $\alpha$ , 2n) /575-51, 668-57/
Pu <sup>235mg</sup>	СД	30±5ноек/250-70, 217-71/ 20±6ноек/538-69/			U <sup>233</sup> ( $\alpha$ , 2n)/230-70/
Pu <sup>236</sup>	$\alpha$ СД	2,851±0,008 лет /404-57/ (3,5±1)·10 <sup>9</sup> лет/337-52/	5769-70%, 5722-30% См.табл. II. 64 См.табл. II. 65	47-0,031%, II0-0,012% См.сх.ур. U <sup>232</sup>	U <sup>235</sup> ( $\alpha$ , 3n)/453-49/ U <sup>233</sup> ( $\alpha$ , n)/441-49/ Np <sup>237</sup> ( $\alpha$ , 3n)/454-49/
Pu <sup>236mg</sup>	СД	34±8ноек/489-69/			Np <sup>237</sup> (p, 2n)/489-69/
Pu <sup>237</sup>	E >99% $\alpha - (3,3 \pm 0,4) \cdot 10^{-3} \%$ /668-57/ (2,5±0,5)·10 <sup>-3</sup> % /405-57/	45,63±0,20дня/405-57/ 44±2дня/668-57/ /668-57/ /405-57/	5650±20 <sup>a</sup> -21%, 5360±20-79% /668-57/ 5600±5650 <sup>a</sup> ≤ 25%, 5340±10, 5200±5250 ≤ 20% /405-57/	E: 59,57-5% См.табл. II. 66 См.сх.ур. Np <sup>237</sup>	U <sup>235</sup> ( $\alpha$ , 2n), U <sup>238</sup> ( $\alpha$ , 5n)/453-49/ Np <sup>237</sup> ( $\alpha$ , 2n) /454-49/
Pu <sup>237m</sup>	ИП	0,18±0,02сек/646-57/		145-2,5%/646-57/	$\alpha$ -распад См <sup>241</sup> /646-57/
Pu <sup>237mg1</sup>	СД	1120±80ноек/605-71/ 900±150ноек/588-70/ 950±300ноек/667-71/			U <sup>235</sup> ( $\alpha$ , 2n)/605-71/ Np <sup>237</sup> ( $\alpha$ , 2n) /588-70, 667-71/
Pu <sup>237mg2</sup>	СД	82±8ноек/605-71/ 114±12ноек/667-71/ 60±18ноек/538-69/ 100±30ноек/489-69/ 120±50ноек/250-70, 217-71/			U <sup>235</sup> ( $\alpha$ , 2n)/538-69,, 230-70, 605-71/ Np <sup>237</sup> ( $\alpha$ , 2n) /489-69, 667-71/
Pu <sup>238</sup>	$\alpha$ СД	86,41±0,30лет/400-57/ 89,59±0,37лет/449-50/ (5,0±0,0)·10 <sup>10</sup> лет/60-61/ (4,9±0,4)·10 <sup>10</sup> лет /447-49/ 3,7·10 <sup>10</sup> лет/620-52/	5490,8±0,8-71,5%, 5455,8-28,4% См.табл. II. 67 (сложн.) См.табл. II. 68	45,5-0,038%, 99,8-0,008%, 153-0,003%, 765-5·10 <sup>-5</sup> % См.сх.ур. U <sup>234</sup>	$\beta$ -распад Np <sup>238</sup> , $\alpha$ -распад См <sup>242</sup> /443-64/ U <sup>235</sup> ( $\alpha$ , n), U <sup>238</sup> ( $\alpha$ , 4n) /453-49/

Изотоп	Тип распада	Период полураспада	Энергия (кэВ) и интенсивность $\alpha$ и $\beta$ - излучений	Энергия (кэВ) и интенсивность $\gamma$ - излучений	Главные способы получения
$Pu^{238}m^f$	СД	$6,5 \pm 1,5$ нисек/230-70, 217-71/ 7нисек/605-71/			$U^{236}(\alpha, 2n)$ /230-70, 605-71/ Не обнаружен при $Pu^{239}(n, 2n)/42-71/$
$Pu^{239}$	$\alpha$	$24380 \pm 50$ лет/380-69/ $M=+0,20$ /289-65/ $M=0,4 \pm$ $\pm 0,2$ /196-54/	$5155,7 \pm 0,6-72\%$ , $24390 \pm 30$ лет/54-59/ $24413 \pm 30$ лет/523-59/ $24310 \pm 50$ лет/567-67/ $24350 \pm 60$ лет/444-66/ $24360 \pm 100$ лет/699-51/	$38,6-0,02\%$ ; $5143-16,8\%$ , $5105-II,2\%$ См.табл.П.69	$\beta$ -распад $Np^{239}$ /443-64/
		$5,5 \cdot 10^{15}$ лет/620-52/			$129,3-4 \cdot 10^{-3}\%$ , $380-2 \cdot 10^{-3}\%$ (сложн.), $650-8 \cdot 10^{-5}\%$ (сложн.). См.табл.П.70
	СД			См.сх.ур. $U^{235}$	
$Pu^{239}m^f$	СД	$8 \pm 1$ нисек/588-70/ ( $30 \pm 9$ нисек)/538-69/			$Pu^{238}(\alpha, p)$ , $Pu^{239}(\alpha, pn)/588-70$ $U^{236}(\alpha, n)/538-69/$
$Pu^{240}$	$\alpha$	$6620 \pm 50$ лет/54-59/ $6580 \pm 40$ лет/446-51/ $6600 \pm 100$ лет/232-56/ СД ( $1,340 \pm 0,015$ ). $10^{11}$ лет /703-62/ ( $1,45 \pm 0,02$ ). $10^{11}$ лет /84-63/ ( $1,170 \pm 0,025$ ). $10^{11}$ лет /291-67/ ( $1,314 \pm 0,026$ ). $10^{11}$ лет /475-53/ ( $1,22 \pm 0,03$ ). $10^{11}$ лет /170-54/ $1,2 \cdot 10^{11}$ лет/86-59/	$5167,7 \pm 0,7-75,5\%$ , $5123,3-24,4\%$ См.табл.П.71	$45,2-0,036\%$ , $104-0,009\%$ , $160-0,002\%$ , $650-1,8 \cdot 10^{-5}\%$ (дубл.) См.табл.П.72	$Pu^{239}(n, \gamma)$ $\beta$ -распад $Np^{240}$ /443-64/
				См.сх.ур. $U^{236}$	
$Pu^{240}m^f$	СД	$3,8 \pm 0,3$ нисек/230-70, 217-71/ $4,4 \pm 0,8$ нисек/689-69/ $4,5 \pm 1,5$ нисек/599-71/ $9 \pm 4$ нисек/489-69/ $4,1 \pm 5,2$ нисек/278-70/			$U^{238}(\alpha, 2n)/689-69,$ 230-70, 538-69/ $Pu^{239}(\alpha, p)/489-69/$
$Pu^{240}m^f$	СД	$29,0 \pm 3,8$ нисек /278-70/			$Pu^{239}(n, \gamma)/278-70/$

Изотоп	Тип распада	Период полураспада	Энергия (кэВ) и интенсивность $\alpha$ -излучений	Энергия (кэВ) и интенсивность $\gamma$ -излучения	Главные способы получения
$Pu^{241}$ $\lambda=0,718 \pm 0,017$ $/275-70/$ $\lambda=0,673 \pm 0,015$ $/333-69/$ $\lambda=+0,7$ $/503-64/$ $q=+6$ $/239-64/$	$\beta^- > 99\%$	$14,5 \pm 0,5 \text{ лет}^x / 380-69 /$ $15,16 \pm 0,19 \text{ лет} / 236-71 /$ $14,4 \pm 0,2 \text{ лет} / 623-67 /$ $14,63 \pm 0,27 \text{ лет} / 562-70 /$ $14,05 \pm 0,30 \text{ лет} / 566-67 /$ $13,63 \pm 0,36 \text{ лет} / 641-66 /$ $\alpha - (2,31 \pm 0,06) \cdot (5,8 \pm 0,1) \cdot 10^5 \text{ лет} /$ $\cdot 10^{-5\%} / 207-66 /$ $(2,45 \pm 0,08) \cdot (5,72 \pm 0,1) \cdot 10^5 \text{ лет} /$ $\cdot 10^{-5\%} / 119-68 /$ $(5,62 \pm 0,2) \cdot 10^5 \text{ лет} /$ $/ 633-61 /$	$4896-85,4\%$ , $4853-12,5\%$ См.табл.П.73 См.сх.ур.	$\alpha: 103,5-4,5\%$ , $148,5-9\%$ См.табл.П.74 $U^{237}$	$Pu^{240}(n,\gamma)/443-64/$
$Pu^{241m}$		$(0,34 \pm 0,11 \text{ года}) / 562-70 /$ Изомера нет / 236-71 /			
$Pu^{241mf}$	СД	$231\text{-мисек} / 331-70 /$ $27\pm 3\text{-мисек} / 588-70 /$			$Pu^{240}(d,p)$ , $Pu^{241}(d,pn) / 588-70 /$ $Pu^{242}(\gamma,n) / 331-70 /$
$Pu^{242}$	$\alpha$	$(3,869 \pm 0,016) \cdot 10^5 \text{ лет}$ $/ 181-69 /$ $(3,79 \pm 0,05) \cdot 10^5 \text{ лет}$ $/ 232-56 /$ $(3,73 \pm 0,05) \cdot 10^5 \text{ лет}$ $/ 231-56 /$ $(3,88 \pm 0,10) \cdot 10^5 \text{ лет}$ $/ 532-56 /$	$4900,0 \pm 1,2,$ $4855,7 \pm 1,2 / 24-68 /$ $4904 \pm 3-75\%$ , $4859-25\% / 52-64 /$ $4903-76\%$ , $4859-24\% / 435-56 /$	$44,915; 103,5,$ $158,8 / 511-71 /$	$Pu^{241}(n,\gamma)$ $\beta^- - \text{захват } Am^{242}$ $/ 443-64 /$
	СД	$(6,64 \pm 0,10) \cdot 10^{10} \text{ лет}$ $/ 231-57 /$ $(7,45 \pm 0,17) \cdot 10^{10} \text{ лет}$ $/ 84-63 /$ $(7,06 \pm 0,19) \cdot 10^{10} \text{ лет}$ $/ 532-56 /$			
$Pu^{242mf}$	СД	$28\text{-мисек} / 588-70, 489-69 /$			$Pu^{241}(d,p) / 489-69 /$
$Pu^{243}$	$\beta^-$	$4,955 \pm 0,003 \text{ часа} / 268-68 /$ $578 \pm 10-60\%$ , $4,958 \pm 0,005 \text{ часа} / 408-69 /$ $485 \pm 10-40\%$ , $4,98 \pm 0,02 \text{ часа} / 279-53 /$ См.табл.П.75 См.сх.ур. $Am^{243}$	$41,9-0,8\%$ , $581,6-0,6\%$ См.табл.П.76		$Pu^{242}(\gamma,n) / 443-64 /$
$Pu^{243mf}$	СД	$33\text{-мисек} / 588-70, 489-69 /$			$Pu^{242}(d,p) / 489-69 /$

**2) Среднее значение принятое в /380-69/**

ix) Среднее значение из работ /219-60, 509-53, 601-56/, исправленное относительно  
 $T_4=432,7$  лет  $A_{\text{exp}}^{241}$

Изотоп	Тип распада	Период полураспада	Энергия (кэВ) и интенсивность $\lambda$ и $\beta$ - излучений	Энергия (кэВ) и интенсивность $\gamma$ -излучения	Главные способы получения
$Pu^{244}$	$\alpha$	$(8,28 \pm 0,10) \cdot 10^7$ лет $/181-69/$ $(8,18 \pm 0,26) \cdot 10^7$ лет $/298-66/$ $(6,55 \pm 0,52) \cdot 10^{10}$ лет $/298-66/$ $(2,5 \pm 0,8) \cdot 10^{10}$ лет $/295-55/$	$4589 \pm 1-80,6\%$ , $4546 \pm 1-19,4\%$ $/181-69/$ $4589 \pm 10; 4545 \sim 20\%$ $/298-66/$ $(4580)/496-67/$		$\bar{\nu}$ -захват $Am^{244}$ $/295-55/$ $\beta$ -распад $Np^{244x}$ $/390-55/$ $Pu^{243}(n,\gamma)$ $/662-54/$
	СД	$(6,55 \pm 0,52) \cdot 10^{10}$ лет			
		$(2,5 \pm 0,8) \cdot 10^{10}$ лет			
	$\beta^-$	$10,59 \pm 0,02$ часа/229-67/ $10,48 \pm 0,05$ часа/259-68/ $10,6 \pm 0,4$ часа/232-56/ $10,1 \pm 0,5$ часа/294-55/	$1210 \pm 40 \sim 10\%$ , $930 \pm 30 \sim 50\%$ , $\sim 400 \sim 30\%$ /259-68/ $330-10\%, 150-90\%$	$330-155; 560-67$ , $80-37; 960-44$ отн. $\beta$ -распад $Np^{245x}$ ед.(все слож.) /294-55, 224-55/ $/259-68/$	$Pu^{244}(n,\gamma)$ $/294-55, 224-55/$
		$10,85 \pm 0,02$ дня/403-56/ $11,2 \pm 0,2$ дня/282-55/	$330-27\%, 150-73\%$ $/403-56/$ $330-10\%, 150-90\%$ $/496-67/$	$43,8-30\%, 180,0-11\%$ $\beta$ -распад $Np^{245x}$ $223,75-28\%$ $См.табл.П.77$	$/282-55/$
					См.сх.ур. $Am^{246}$
$Am^{232mf}$	СД	$1,4 \pm 0,25$ мин/80-67, 81-67/			$Th^{230}(B^{10}, 8n)$ $/80-67, 81-67/$
$Am^{234mf}$	СД	$2,6 \pm 0,2$ мин/78-66, 80-67/			$Th^{230}(B, m)$ /80-67/ $U^{233}(B, 4m)$ /78-66/
$Am^{235mf}$	СД				$Np^{237}(\alpha, 6n)$ $/554-69/$
$Am^{236mf}$	СД				$Np^{237}(\alpha, 5n)$ $/554-69/$
$Am^{237}$	$E > 99\%$ $\alpha - 5 \cdot 10^{-3}\%$ $/392-52/$	$\sim 1,3$ часа/392-52/	$6010^8/392-52/$		$Pu^{239}(p, 3n)$ , $Pu^{239}(d, 4n)$ $/392-52/$
$Am^{237mf}$	СД	$5 \pm 2$ мсек/588-70/			$Pu^{238}(p, 2n)$ $/588-70/$
$Am^{238}$	$E$ $\alpha - 3 \cdot 10^{-4}\%$ $/392-52/$	$1,86 \pm 0,09$ часа/358-60/ $2,1$ часа/392-52/		$370-12\%, 580-29\%$ , $Pu^{239}(p, 2n)$ $\sim 950-2\%, 980-76\%$ , /358-60/ $\sim 1350-17\% /358-60/$ , $Pu^{239}(d, 3n)$ См.сх.ур. $Pu^{238}$ /657-50/	
$Am^{238mf}$	СД	$60 \pm 15$ мксек/202-67/ 35 мксек/464-69/			$Pu^{239}(p, 2n)$ $/202-67/$

x)  $\beta$ -распад после мгновенного многократного захвата нейтронов.

Изотоп	Тип распада	Период полураспада	Энергия (кэВ) и интенсивность $\lambda$ $\gamma$ - излучений	Энергия (кэВ) и интенсивность $\gamma$ $\beta$ - излучения	Главные способы получения
$\text{Am}^{239}$	E >99% $\alpha-(5,0 \pm 1,0) \cdot 10^{-3}$ /358-60/ 3. $10^{-3}$ %/392-52/	$12,1 \pm 0,4$ часа/358-60/ 12 час./616-49/ /358-60/ 3. $10^{-3}$ %/392-52/	5825-0,33%, 5776-83,7%, 5754-13,8%, 5680-1,98%/364-71/ 5770 <sup>a</sup> /358-60/ 5780 <sup>b</sup> /352-56/	E:225-30%, 275-20%/358-60/ См.табл.П.78 5:48,3±1,5-1,5 .10 <sup>-3</sup> %/143-55/ /616-49/	$\text{Pu}^{239}(\text{p},\text{n})$ /657-50/ $\text{Pu}^{239}(\text{d},2\text{n}),$ $\text{Np}^{237}(\alpha,2\text{n})$ См.сх.ур. $\text{Pu}^{239}$ , $\text{Np}^{235}$
$\text{Am}^{239m^f}$	СД	$160 \pm 40$ мсек/489-69/ $110 \pm 33$ мсек/538-69/			$\text{Pu}^{240}(\text{p},2\text{n})$ /489-69/ $\text{Np}^{237}(\alpha,2\text{n})/538-69/$
$\text{Am}^{240}$	E $\alpha-1,9 \cdot 10^{-4}$ % /363-70/ $\beta-6 \cdot 10^{-6}$ % /358-60/	$51,0 \pm 0,5$ час/358-60/ 53 часа/392-52/ 50 час. /616-49/ /363-70/	5378 $\pm 1$ -86,8%, 5337 $\pm 2$ -12,0%, 5286 $\pm 3$ -1,23% /363-70/	E:889-26%, 988-74% См.табл.П.79 См.сх.ур. $\text{Pu}^{240}$	$\text{Pu}^{239}(\text{d},\text{n})$ /657-50, 363-70/ $\text{Np}^{237}(\alpha,\text{n})$ /616-49/
$\text{Am}^{240m^f}$	СД	$0,91 \pm 0,07$ мсек/194-67/ 0,8 мсек/94-66/			$\text{Am}^{241}(\text{n},2\text{n})$ /93-65/
$\text{Am}^{241}$	$\alpha$ $M=+1,58$ /132-66/ $M=+1,4$ $q=+4,9$ /522-56/	$432,7 \pm 0,7$ года/566-67/ 436,6 $\pm 3,0$ года/655-68/ 458,1 $\pm 0,5$ года/570-57/ 457,7 $\pm 1,8$ года/700-58/ (1,147 $\pm 0,024$ ). $10^{14}$ лет /361-70/ (9,0 $\pm 0,4$ ). $10^{13}$ лет /330-70/ (2,3 $\pm 0,8$ ). $10^{14}$ лет /59-61/	5486-85,5%; 5443-12,5%; 5589-1,5%; См.табл.П.80 (сложн.), 663-4. $10^{-4}$ %, 722-3. $10^{-4}$ % См.табл.П.81 $\text{Np}^{237}$	26,36-2,5%; 59,57-37%; 101-0,04% (дубл.); 340-1. $10^{-3}$ % /443-64/	$\beta$ - распад $\text{Pu}^{241}$
$\text{Am}^{241m^f}$	СД	$1,5 \pm 0,6$ мсек/489-69/			$\text{Pu}^{241}(\text{d},2\text{n}),$ $\text{Pu}^{242}(\text{p},2\text{n})/489-69/$
$\text{Am}^{242}$	$\beta-83,6\%/399-59/$ $M=+0,3808$ 84%/172-59/ /132-66/ $q=-2,76$ E-(16,4 $\pm 0,3$ )% /503-64/ 16%/172-59/ (18 $\pm 1$ )%/9-55, 5-69/ $\alpha-10^{-5}$ %/5-69/	$16,01 \pm 0,02$ часа/468-53/ 16,07 $\pm 0,04$ часа/5-69/ /9-55,153-60/	667-40%, 625-60% /9-55,153-60/	$\beta-42,12^6/4II-56$ , $\text{Am}^{241}(\text{n},\gamma)$ 42,18/9-55/, 42,20/443-64/ /153-60/, 42,2 /249-57/ 42,3/396-55/ E:44,50 $^0/4II-56$ / 44,52/9-55/, 44,55/153-60/ 44,6/249-57/ 44,8/396-55/ См.сх.ур. $\text{Pu}^{242}$ , $\text{Cm}^{242}$	

Изотоп	Тип распада	Период полураспада	Энергия (кэв) и интенсивность $\alpha$ - излучений	Энергия (кэв) и интенсивность $\beta^-$ - излучений	Главные способы получения
$\text{Am}^{242m}$	ИП>99%/153-60/ $\alpha$ - $(0,476\pm 0,014)\%$ % $\beta^-$ <2%/153-60/ СД	$152\pm 7$ лет <sup>x)</sup> /172-59/ $141\pm 7$ лет /172-59/ $(9,5\pm 3,5).10^{11}$ лет /237-67/	5207-89%; 5142-6% См.табл.II.82	$\overset{\delta}{\text{ИП}}: 48,63 /153-60 / \text{Am}^{241}(n,\gamma)$ $\alpha: 49,3-41\%, /443-64/$ 86,7-8%, 109,6=5,3%, 163,4-5,2% См.табл.П.83 См.сх.ур. № <sup>238</sup>	
$\text{Am}^{242mf}$	СД	$13,1\pm 0,1$ мсек/504-65/ $14,0\pm 0,4$ мсек/306-65/ $13,5\pm 1,2$ мсек/91-63/ $16,7\pm 1,5$ мсек/205-66/			$\text{U}^{238}(\text{B}^{II}, \alpha, 3n)$ $\text{U}^{238}+0^{16}/91-63/$ $\text{Am}^{243}(n,2n)$ /504-65/ $\text{Am}^{241}(n,\gamma)/41-69/$
$\text{Am}^{243}$ $\mu=+1,4$ $q=+4,9$ /522-56, 503-64/	$\alpha$	$7370\pm 40$ лет/220-68/ $7650\pm 50$ лет/176-60/ $7951\pm 48$ лет/700-58/ $7720\pm 160$ лет <sup>xx)</sup> /172-59/	5276-87,5%, 5234-II%, 5180-I, I% См.табл.П.84	43,5-4%, 44,7-70%, 117,8-0,6%, 650-I. $10^{-3}\%$ См.табл.П.85	$\beta^-$ - распад $\text{Pu}^{243}$ , $\text{Am}^{242}(n,\gamma)$ /657-50, 443-64/
$\text{Am}^{243mf}$	СД	$6,5\pm 1,0$ мсек/588-70/			$\text{Pu}^{244}(\text{p},2n)$ , $\text{Am}^{243}(\text{d},pn)$ /588-70/
$\text{Am}^{244}$	$\beta^-$	$10,1$ часа/691-62/	$387\pm 1/691-62/$	99,4-5%, 154-19%, 746-66%, 900-25% См.табл.П.86	$\text{Am}^{243}(n,\gamma)/691-62/$
				См.сх.ур.	$\text{Cm}^{244}$
$\text{Am}^{244m}$	$\beta^-$ >99% $E=0,039\%$ /295-55/ ~25мин. /657-50/	26мин./339-54/ ~25мин. /657-50/	$1498\pm 10/691-62/$	$\beta: 42,9, (980), (1050) \text{Am}^{243}(n,\gamma)$ $\gamma < 1\% /691-62/$	/657-50, 691-62/
$\text{Am}^{244mf}$	СД	$0,60\pm 0,15$ мсек/198-69/ $1,10\pm 0,15$ мсек/35-68/ $0,9\pm 0,3$ мсек/307-67/			$\text{Pu}^{242}+\text{B}^{II}/94-66/$ $\text{Am}^{243}(n,\gamma)/198-69/$ $\text{Am}^{243}(\text{d},p)/35-68/$
$\text{Am}^{245}$	$\beta^-$	$123,0\pm 0,6$ мин/259-68/ $124\pm 1$ мин/232-56/ $119\pm 1$ мин/294-55/ $125\pm 5$ мин/224-55/	905-78%, 650-I7%, 600-5%/229-67/ 905±5/224-55/ См.сх.ур. № <sup>245</sup>	252,3-6,1% См.табл.П.87	$\beta$ -распад $\text{Pu}^{245}$ /443-64/
$\text{Am}^{246}$	$\beta^-$	$39\pm 3$ мин./301-68/ $40\pm 7$ мин./574-67/		153,5-48; 205-68, $\text{Pu}^{244}(\text{d},pn)$ 679-1000 отн. ед. /574-67/ См.табл.П.88	$\text{Pu}^{244}(\text{d},p)/301-68/$

x) Относительно  $T_{1/2}=7951$  год  $\text{Am}^{243}$   
xx) Относительно  $T_{1/2}=458,1$  года  $\text{Am}^{241}$

Изотоп	Тип распада	Период полураспада	Энергия (кэВ) и интенсивность $\beta^-$ -излучений	Энергия (кэВ) и интенсивность $\gamma$ -излучения	Главные способы получения
$\text{Am}^{246}$	$\beta^-$	$25 \pm 0,2 \text{мин.}/282-55/$ $25 \text{мин.}/224-55/$	$2250-7\%, 1450-23\%$ , $1200-60\%$ См.табл.П.89	$799-28,6\%$ , $1070-67\%(\text{сложн.})$ См.табл.П.90 См.сх.ур. $\text{Os}^{245}$	$\beta^-$ -распад $\text{Pu}^{246}$ $/443-64/$
$\text{Am}^{247}$	$\beta^-$	$24 \pm 3 \text{мин.}/574-67/$ $20 \pm 4 \text{мин.}/301-68/$		$227-0,23; 285-I,0$ отн.вд./ $301-68/$ $226-0,25; 285-I,0$ отн.вд./ $574-67/$	$\text{Pu}^{244}(d,p)$ $/574-67, 301-68/$
$\text{Os}^{238}$	E $\alpha > 0,4\% /392-52/$	$2,5 \text{часа}/656-48/$	$6520^8 / 656-48/$		$\text{Pu}^{239}(d,5n)$ $/656-48/$
$\text{Os}^{239}$	E $\alpha < 0,1\% /392-52/$	$2,9 \text{часа}/686-58/$ $\sim 3 \text{часа}/392-52/$		$188 / 686-58/$	$\text{Pu}^{238}(d,4n) / 357-56/$ $\text{Pu}^{239}(d,4n)$ $/392-52/$
$\text{Os}^{240}$	$\alpha$ $E < 0,5\% /391-52/$ СД ( $1,9 \pm 0,4 \cdot 10^6 \text{лет}$ $/337-52/$ )	$26,8 \text{дня}/617-49/$ $28 \text{дн.}/22-67/$ СД ( $1,9 \pm 0,4 \cdot 10^6 \text{лет}$ $/337-52/$ )	$6290,1 \pm 0,6-71,5\%$ , $6247,3 \pm 0,8-28,5\%$ См.табл.П.91		$\text{Pu}^{239}(d,3n)$ $/617-49, 357-56/$
$\text{Os}^{241}$	E - 99% $\alpha - (0,96 \pm 0,07)\%$	$35 \pm 2 \text{дн.}/391-52/$ $37 \text{дн.}/22-67/$ $/357-56/$	$5938,6 \pm 0,6-71\%$ , $5926-16,5\%$ , $5884,3 \pm 0,6-12\%$ См.табл.П.92	$E: 478-97\% / 358-60/$ $470; 600(\text{слабая})$ $/150-57/$ См.сх.ур. $\text{Pu}^{237}$	$\text{Pu}^{239}(d,2n)$ $/617-49, 357-56/$
$\text{Os}^{241m^{\star}}$	СД	$15,3 \pm 1 \text{мес}/217-71/$ $20 \pm 6 \text{мес}/538-69/$ $19 \pm 8 \text{мес}/588-70/$ $25 \pm 15 \text{мес}/599-71/$			$\text{Pu}^{239}(d,2n)$ $/538-69/$ $\text{Am}^{241}(d,2n)$ $/588-70/$
$\text{Os}^{242}$	$\alpha$	$162,7 \pm 0,1 \text{дня}/580-57/$ $162,4 \pm 0,27 \text{дня}/359-54/$ $164,4 \pm 0,4 \text{дня}/308-65/$	$6112,9 \pm 0,3-73,8\%$ , $6069,5 \pm 0,5-26,2\%$ См.табл.П.93 ( $6,09 \pm 0,18 \cdot 10^6 \text{лет}$ $/131-66/$ $(7,2 \pm 0,2) \cdot 10^6 \text{лет}/379-51/$ )	$44,1-0,04\%$ , $101,9-5 \cdot 10^{-3}\%$ , $157,7-2 \cdot 10^{-3}\%$ , $580-3 \cdot 10^{-4}\%$ (дубл.), $920-5 \cdot 10^{-5}\%$ (дубл.) См.табл.П.94	$\beta^-$ -распад $\text{Am}^{242}$ , $\text{Pu}^{239}(d,n)$ $/617-49, 443-64/$
$\text{Os}^{242m^{\star}}$	СД	$180 \pm 70 \text{мес}/599-71/$			$\text{Am}^{243}(p,2n)$ $/599-71/$

Изотоп	Тип распада	Период полураспада	Энергия (кэВ) и интенсивность $\alpha$ и $\beta$ - излучений	Энергия (кэВ) и интенсивность $\gamma$ - излучения	Главные способы получения
$\text{Сm}^{243}$	$\alpha > 99\%$ $E=0,32\% / 247-58/$	$29,0 \pm 0,8 \text{ лет} / 247-58 /$ $32^x) \text{ года} / 137-53 /$	$6060-6\% (\text{дубл.}),$ $6000-6,7\% (\text{дубл.}),$ $5786-73\%,$ $5742-11,5\%$ См.табл.П.95	$\alpha: 209,8-4\%,$ $228,2-9\%,$ $277,6-12\%$ См.табл.П.96	$\text{Сm}^{242}(\alpha, \gamma) / 443-64 /$ См.сх.ур. $\text{Pu}^{239}$
$\text{Сm}^{243m\beta}$	СД	$38 \pm 10 \text{ нисек} / 588-70 /$ $45 \pm 20 \text{ нисек} / 599-71 /$			$\text{Am}^{243}(\alpha, 2\alpha)$ $/ 588-70, 599-71 /$
$\text{Сm}^{244}$	$\alpha$	$18,099 \pm 0,015 \text{ лет} / 186-68 /$ $5805-76,5\%,$ $17,59 \pm 0,06 \text{ лет} / 238-61 /$ $5763-23,5\%,$ $18,11 \pm 0,07 \text{ лет} / 185-64 /$ См.табл.П.97	$42,82-0,02\%$ $98,9-1,4 \cdot 10^{-3}\%$ $152,6-1,4 \cdot 10^{-3}\%,$ $590-2 \cdot 10^{-4}\%$	$\beta$ -распад $\text{Am}^{244m}$ , $\text{Сm}^{243}(\alpha, \gamma) / 443-64 /$	
	СД	$17,9 \pm 0,5 \text{ лет} / 320-54 /$ $19,2 \pm 0,6 \text{ лет} / 652-54 /$ $(1,250 \pm 0,007) \cdot 10^7 \text{ лет}$ $/ 173-70 /$ $(1,346 \pm 0,006) \cdot 10^7 \text{ лет}$ $/ 540-65 /$ $(1,33 \pm 0,03) \cdot 10^7 \text{ лет}$ $/ 131-66 /$ $(1,46 \pm 0,05) \cdot 10^7 \text{ лет}$ $/ 85-63 /$ $(1,4 \pm 0,2) \cdot 10^7 \text{ лет} / 557-52 /$	$825-6,5 \cdot 10^{-5}\%$ См.табл.П.98 См.сх.ур. $\text{Pu}^{240}$		
$\text{Сm}^{244m}$	III СД	$34 \pm 2 \text{ нисек} / 381-63 /$ $\geq 140 \text{ лет} / 688-64 /$		$99,4-5\%, 154-19\%, \beta$ -распад $\text{Am}^{244}$ $746-66\%, 900-25\% / 691-62 /$ См.табл.П.86 См.сх.ур. $\text{Сm}^{244}$	
$\text{Сm}^{245}$	$\alpha$	$85,32 \pm 5 \text{ года} / 512-71 /$ $82,65 \pm 18 \text{ лет} / 542-69 /$ $9,320 \pm 280 \text{ лет} ^{xx) / 238-61 /}$ См.табл.П.99	$5466-4,7\% (\text{дубл.}),$ $5360-88\%, 5306-5\%$ $/ 151-57 /$	$\sim 130-5\%, 173-14\%$ $e^-$ -захват $\text{Bk}^{245}$ $/ 425-54, 443-64 /$	$\text{Сm}^{244}(\alpha, \gamma),$ $\text{Pu}^{242}$
$\text{Сm}^{245m\beta}$	СД	$23 \pm 5 \text{ нисек} / 217-71 /$ $12 \pm 4 \text{ нисек} / 539-69 /$			$\text{Pu}^{242}(\alpha, n) / 539-69 /$ $\text{Pu}^{244}(\alpha, 3n) / 217-71 /$

x) Исправленное значение с учетом данных работы / 149-57 /

xx) Относительно  $T_{1/2} = 17,6 \text{ лет} \text{ Сm}^{244}$

Изотоп	Тип распада	Период полураспада	Энергия (кэВ) и интенсивность $\lambda$ - излучения	Энергия (кэВ) и интенсивность $\gamma$ - излучения	Главные способы получения
$\text{Cs}^{246}$	$\alpha$	4820±20 лет /512-71/ 4711±22 лет /542-69/ 5480±170 лет <sup>x</sup> /238-61/ 6620±320 лет <sup>xx</sup> /233-56/	5386-79%, 5342-21% См.табл.II.100	44,545/611-71/ 44,9±0,3 <sup>y</sup> /156-61/ 45,1-19%(I <sub>II</sub> ) /428-61/	$\text{Cs}^{245}(n,\gamma)/652-54/$ $\text{Am}^{246}$ $\text{Cs}^{242}$
	СД	(1,80±0,01).10 <sup>7</sup> лет /542-69/ (1,85±0,02).10 <sup>7</sup> лет /512-71/ (1,66±0,10).10 <sup>7</sup> лет /540-65/ (2,0±0,8).10 <sup>7</sup> лет /319-56/	См.сх.ур. $\text{Pu}^{242}$		
$\text{Cs}^{247}$	$\alpha$	(1,56±0,05).10 <sup>7</sup> лет /303-71/ (1,64±0,24).10 <sup>7</sup> лет /297-63/	5265-13,8%, 5210-5,7%, 4868-71%, 287,5-2%, 4818-4,7% См.табл.Ш.101	278,0-3,4%, 346,0~1,3%, 402,4-72% /303-71/ См.сх.ур. $\text{Pu}^{243}$	$\text{Cs}^{246}(n,\gamma)$ /652-54/
	$\alpha$ -91,4%/512-71/ 91,7%/542-69/ 89%/233-56/	(3,61±0,06).10 <sup>5</sup> лет /512-71/ (3,52±0,14).10 <sup>5</sup> лет /542-69/ (4,7±0,4).10 <sup>5</sup> лет <sup>x</sup> /233-56/	5078-82%, 5034-18% /428-61/		$\text{Cs}^{247}(n,\gamma)/233-56/$ $\alpha$ -распад $\text{Sr}^{252}$ /443-64/
$\text{Cs}^{248}$	СД-8,6%/512-71/ 8,3%/542-69/ 11%/233-56/	(4,20±0,05).10 <sup>6</sup> лет /512-71/ (4,22±0,12).10 <sup>6</sup> лет /542-69/ (4,6±0,5).10 <sup>6</sup> лет /233-56/			
	$\beta^-$	64±3мин/274-58/ 65мин/296-56/	860±100/274-58/ 900/296-56/		$\text{Cs}^{248}(n,\gamma)$ /672-54, 274-58/
$\text{Cs}^{250}$	СД	(1,13±0,05).10 <sup>4</sup> лет /541-67/ (1,74±0,24).10 <sup>4</sup> лет /168-66/ $\beta^-$ >130 лет./296-56/			Многократный быстрый $\pi$ -захват
	$\beta^-$	<2дн./168-66/			
$\text{Cs}^{252}$	$\beta^-$	<2дн./168-66/			
$\text{Br}^{242m}$	СД	3,5±0,7сек/62-64, 94-66/			$\text{U}^{238+0^{16}}, \text{U}^{238+\text{Ne}^{20}}$ /62-64, 94-66/
-----					
x) Относительно $T_{1/2} = 17,6$ лет $\text{Cs}^{244}$					
xx) Относительно $T_{1/2} = 9,3$ года $\text{Cs}^{250}$					
xxx) Относительно $T_{1/2} = 2,2$ года $\text{Cs}^{252}$					

Изотоп	Тип распада	Период полураспада	Энергия (кэВ) и интенсивность $\lambda$ и $\beta$ - излучений	Энергия (кэВ) и интенсивность $\gamma$ - излучения	Главные способы получения
Bk <sup>243</sup>	$\beta > 99\%$ $\alpha - 0,15\% / 424-53 /$ $0,1\% / 670-50 /$	$4,5 \pm 0,1$ часа / 242-56 / $4,6 \pm 0,2$ часа / 670-50 /	$6758^{\pm}15\%$ , $6718-12\%$ , $\beta: 755; 840; 946$ $6574-26\%$ , $6542-19\%$ , $\alpha: 187-40\%$ , $6210-14\%$ См.табл. II.102	$E: 755; 840; 946$ $558-12\%$ См.табл. II.103	$\text{Am}^{241}(\alpha, 2n)$ $/ 670-50 /$ $\text{Am}^{243}(\alpha, 4n)$ $/ 242-56 /$ См.сх.ур. $\text{Am}^{239}$
Bk <sup>244</sup>	$\beta > 99\%$ $\alpha - 6 \cdot 10^{-3}\%$ $/ 242-56 /$	$4,4$ часа / 242-56 / $\sim 4,5$ часа / 424-53 /	$6666^{\pm}50\%$ , $6624-50\%$ $6670^{\pm}242-56 /$	$E: 187, 6-16,$ $217, 6-100,$ $333, 5-10; 490-14, \text{Am}^{243}(\alpha, 3n)$ $892-88; 922-17,$ $II160-II\text{отн.ед.}$ (дубл.) См.табл. II.104	$\text{Am}^{241}(\alpha, n)$ $/ 424-53 /$ $/ 242-56 /$
Bk <sup>245</sup>	$\beta > 99\%$ $\alpha - 0,105\%$ $/ > 17-56 /$ $0,1\% / 422-51 /$	$4,98 \pm 0,02$ дня / 517-56 / $4,95 \pm 0,1$ дня / 422-51 /	$6358-16\%$ , $6317-15\%$ , $6153-19\%$ , $6124-15\%$ , $5889-22\%$ См.табл. II.105	$E: 252, 7-31\%$ , $382-4\%$ (дубл.) $\alpha: 207-30\%$ , $474-20\%$ См.табл. II.106	$\text{Am}^{243}(\alpha, 2n)$ $/ 242-56 /$ $\text{Cm}^{244}(\alpha, n)$ $/ 422-51 /$ См.сх.ур. $\text{Am}^{241}$ , $\text{Cm}^{245}$
Bk <sup>245m</sup>	СД	$2 \pm 1$ сек / 599-71 /			$\text{Am}^{243}(\alpha, 2n)$ $/ 599-71 /$
Bk <sup>246</sup>	$\beta$	$1,83 \pm 0,15$ дня / 573-66 / $1,8$ дня / 425-54 /		$800-100,$ $1080-15$ отн.ед. (дубл.) См.табл. II.107 См.сх.ур. $\text{Cm}^{246}$	$\text{Am}^{243}(\alpha, n) / 425-54 /$
Bk <sup>247</sup>	$\alpha$	$1380 \pm 25$ лет / 547-65 /	$5710-17\%$ , $5688-13\%$ , $5530-45\%$ См.табл. II.108	$84 \pm 3-40\%$ , $265 \pm 10-30\%$ $/ 242-56 /$ См.сх.ур. $\text{Am}^{243}$	$\text{Cm}^{244}(\alpha, p) / 242-56 /$
Bk <sup>248</sup>	$\beta^- - 70\% / 242-56 /$ $E-30\% / 242-56 /$	$10 \pm 3$ час. / 242-56 / $25 \pm 5$ час. / 426-56 /	$650 \pm 50 / 242-56 /$	$\gamma \leq 10\% / 242-56 /$	$\text{Cm}^{245}(\alpha, p) / 426-56 /$ $\text{Bk}^{247}(\alpha, \gamma) / 242-56 /$
Bk <sup>248m</sup>		$> 9$ лет / 547-65 /			$\text{Cm}^{246}(\alpha, pn)$ $/ 547-65 /$
Bk <sup>249</sup>	$\beta^- > 99\%$ $\alpha - (1,45 \pm 0,08) \cdot 10^{-3} / 548-69 /$ $(2,2 \pm 0,5) \cdot 10^{-3} / 273-57 /$ СД	$314 \pm 8$ дн. / 273-57 / $290 \pm 20$ дн. / 515-54 / $(1,87 \pm 0,09) \cdot 10^9$ лет $/ 548-69 /$ $(1,65 \pm 0,17) \cdot 10^9$ лет $/ 37-69 /$ $6 \cdot 10^8$ лет / 442-56 /	$125 \pm 2 / 690-59 /$ $114 \pm 15 / 273-57 /$ $5417-68\%, 5390-18\%$ См.табл. II.109	$\beta: \gamma < 1\% / 242-56 /$ $\alpha: 307-0,22\%, / 443-64 /$ $327,2-1,2\% / 117-66 /$ См.сх.ур. $\text{Am}^{245}$	$\beta$ -распад $\text{Cm}^{249}$

Изотоп	Тип распада	Период полураспада	Энергия (кэВ) и интенсивность $\beta^-$ -излучения	Энергия (кэВ) и интенсивность $\gamma$ -излучения	Главные способы получения
$Bk^{250}$	$\beta^-$ $E \sim 6,5\% / 690-59 /$	$3,22 \pm 0,005$ часа / 690-59 / $3,15$ часа / 339-54 /	$1760 \pm 50-11\%$ , $725 \pm 5-89\%$ $/ 690-59 /$	$989-46\%$ , $1031-40\%$ (дубл.) $/ 339-54 /$ См.табл.П.110 См.ох.упр. $Og^{250}$	$Bk^{249}(n,\gamma)$ $/ 267-67 /$
$Bk^{251}$	$\beta^-$	$57,0 \pm 1,7$ мин. / 267-67 /		$34, (94), 140, (184)$ $\alpha$ -распад $E_{\alpha}^{255}$ $/ 267-67 /$	$/ 267-67 /$
$Og^{240}$		$1,06 \pm 0,15$ мин / 629-70 /	$7590 \pm 10^8 / 629-70 /$		$U^{233}(O^{12}, 5n)$ $/ 629-70 /$
$Og^{241}$	$\alpha, (\beta)$	$3,78 \pm 0,7$ мин / 629-70 /	$7335 \pm 5^8 / 629-70 /$ $(7310)^8 / 299-67 /$		$U^{233}(O^{12}, 4n) / 629-70 /$ $Cm^{242}(He^3, 4n) / 299-67 /$
$Og^{242}$	$\alpha$	$3,4 \pm 0,2$ мин / 627-67 / $3,68 \pm 0,44$ мин / 629-70 / $3,7 \pm 0,3$ мин / 71-67 / $3,2 \pm 0,5$ мин / 299-67 /	$7385 \pm 4^8-80\%$ , $7351 \pm 6^8-20\%$ $/ 629-70 /$ $7350 \pm 10^8 / 299-67 /$ $7390 \pm 20^8 / 627-67 /$ $7370 \pm 30^8 / 71-67 /$		$U^{235}(O^{12}, 5n)$ $/ 71-67, 627-67 /$ $Cm^{242}, ^{244}_{+He^3}$ $/ 299-67 /$
$Og^{243}$	$E \sim 90\%$ $\alpha - 9\% / 628-67 /$	$10,3 \pm 0,5$ мин. / 628-67 / $12,5 \pm 1,0$ мин. / 299-67 /	$7170 \pm 10^8, 7060 \pm 10$ $/ 299-67 /$ $7050 \pm 20^8 / 628-67 /$		$U^{235}238 + O^{12}$ $/ 628-67 /$ $Cm^{242}, ^{244}_{+He^3}$ $/ 299-67 /$
$Og^{244}$	$\alpha$	$19,4 \pm 0,6$ мин / 628-67 / $20,4 \pm 1,6$ мин / 299-67 / $25 \pm 3$ мин / 240-56 /	$7214 \pm 21^8-75\%$ , $7174-25\% / 628-67 /$ $7207 \pm 2^8 / 299-67 /$ $7170 \pm 20^8 / 240-56 /$		$Cm^{244}(\alpha, 4n)$ , $Cm^{242}(\alpha, 2n)$ $/ 240-56 /$ $U^{238}(O^{12}, 6n)$ $/ 624-58, 627-67 /$
$Og^{245}$	$E-70\% / 240-56 /$ $\alpha-30\% / 240-56 /$	$43,6 \pm 0,8$ мин / 299-67 / $44$ мин / 671-50, 240-56 /	$7137 \pm 2^8 / 299-67 /$ $7110 \pm 20^8 / 240-56 /$ $E_{\alpha}, \alpha_{2,6}, \alpha_{101},$ $\alpha_{154}, \alpha_{251} / 485-68 /$		$Cm^{244}(\alpha, 3n)$ $Cm^{242}(\alpha, n) / 240-56 /$ $U^{238}(O^{12}, 5n)$ $/ 335-51, 338-54 /$
$Og^{246}$	$\alpha$ СД	$55,7$ час / 422-51, 335-51 / $2000 \pm 200$ лет / 95-68, $431-68 /$ $1340 \pm 160$ лет / 522-63 / $2100 \pm 300$ лет / 423-53 /	$6760^8-78\%, 6719-22\%$ $97-0, 012\%$ , $150-5, 5 \cdot 10^{-3}\%$ $/ 422-56, 433-55 /$ См.ох.упр. $Cm^{242}$		$Cm^{244}(\alpha, 2n)$ $/ 422-51 /$ $U^{238}(O^{12}, 4n)$ $/ 335-51 /$
$Og^{246mf}$	СД	$45 \pm 15$ мсек / 40-68 / $80 \pm 30$ мсек / 39-66 /			$U^{238}(O^{12}, 4n)$ $/ 39-66 /$
$Og^{247}$	$E$	$2,45 \pm 0,15$ часа / 242-56 / $2,5$ часа / 425-54 /	$295 \pm 15-20,$ $417 \pm 8-13,$ $460 \pm 10-90$ н.ед. См.ох.упр. $Bk^{247}$		$Cm^{244}(\alpha, n) / 425-54 /$ $U^{238}(N^{14}, p^4n)$ $/ 338-54 /$ $/ 242-56 /$

Изотоп	Тип распада	Период полураспада	Энергия (кэв) и интенсивность $\alpha$ - излучений	Энергия (кэв) и интенсивность $\beta$ - излучения	Главные способы получения
$\text{Cr}^{248}$	$\alpha$	$345 \pm 15$ дней/95-68/ 350 дней/427-57/ 225 дней/338-54/ (4,1±0,4). $10^4$ лет/95-68/ (3,4±1,5). $10^4$ лет/92-64/	$6260 \pm 50$ кэв-82%, 6215-18%		
	СД		/427-57, 338-54/ (4,1±0,4). $10^4$ лет/95-68/ (3,4±1,5). $10^4$ лет/92-64/		$\text{Ca}^{245+248}(\alpha, xn)$ /425-54/ $\text{U}^{238}(\text{N}^{14}, p\gamma n)$ /338-54/
$\text{Cr}^{249}$	$\alpha$	$352 \pm 6$ лет/542-69/ 345 ± 15 лет/548-69/ 360 ± 40 лет/273-57/ 470 ± 100 лет/515-54/ (6,87±0,33). $10^{10}$ лет /548-69/ $1,5 \cdot 10^9$ лет/442-56/	5813-83% См.табл. II. II2	252,7-3%, 333,5-1%, $\beta$ -распад $\text{V}^{249}$ 388,4-70% См.табл. II. II3	
	СД			См.сх.ур. $\text{Cr}^{245}$	/443-64/
$\text{Cr}^{250}$	$\alpha$	$13,08 \pm 0,09$ лет/542-69/ 13,2 ± 0,5 лет/540-65/ 10,9 ± 0,8 лет/273-57/ (1,66±0,08). $10^4$ лет /540-65/ (1,73±0,06). $10^4$ лет /584-63/	6031-84%, 5989-16% См.табл. II. II4	42,85/611-71/ 42,9/388-56/ См.сх.ур. $\text{Cr}^{246}$	$\beta$ -распад $\text{V}^{250}$ , $\text{Cr}^{249}(\alpha, \gamma)$ /443-64/
	СД				
$\text{Cr}^{251}$	$\alpha$	$900 \pm 50$ лет/542-69/ 892 ± 88 лет/565-65/ 1600 лет/159-61/ ~800 лет/273-57/	6018-12,3%, 5854-27,8%, 5679-34,7% См.табл. II. II5	177±2-18,7%, 224±2-7,4%/243-68/ 180/168-66/ См.сх.ур. $\text{Cr}^{247}$	$\text{Cr}^{250}(\alpha, \gamma)$ /273-57/
$\text{Cr}^{252}$	$\alpha$ -90,9%/540-65/	$2,646 \pm 0,004$ года /540-65/	6118-84,2%, 6076-15,6%	43,4-0,014%, 100,2-0,013%,	$\text{Cr}^{251}(\alpha, \gamma)$ /443-64/
		$2,55 \pm 0,15$ года/273-57/ 2,2±0,2 года/515-54/ СД-(3,10±0,02)% /540-65/	См.табл. II. II6	160-0,002% См.табл. II. II7 См.сх.ур. $\text{Cr}^{248}$	
$\text{Cr}^{253}$	$\beta^-$ >99%	$17,6 \pm 0,2$ дня/540-65/ $\alpha$ -(0,51±0,04)% /168-66/	270, (I70)/328-57/ 5979±5-94,7%, 5921-5,3%/180-68/ 5985±5/168-66/ См.сх.ур.	$\gamma$ <1% (100<E, <700) /151-57/ /180-68/ $\text{Cr}^{252}(\alpha, \gamma)$ /443-64/	
$\text{Cr}^{254}$	СД>99%	$60,5 \pm 0,2$ дня/584-63/	5834±5-83%,		$\text{Cr}^{253}(\alpha, \gamma)$ ,
	$\alpha$ -(0,51±0,04)% /180-68/ 0,2%/168-67/	$60,5 \pm 1$ , 1дня/540-65/ 61,9±1, 1дня/540-65/	5792-17%/180-68/ 5833/165-67/		$\bar{\alpha}$ - захват $\text{Ba}^{254}$ /385-55, 443-64/

Изотоп	Тип распада	Период полураспада	Энергия (кэВ) и интенсивность и $\beta$ - излучений	Энергия (кэВ) и интенсивность $\gamma$ - излучения	Главные способы получения
$\text{Cs}^{256}$	СД	<5 час./255-66/			
$\text{Ba}^{245}$	$E=83,5\%/87-67/$ $\alpha-(16,5 \pm 3,5)\%$ $/87-67/$	$1,33 \pm 0,15 \text{ мин.}/87-67/$ $1,25 \text{ мин.}/344-61/$	$7700 \pm 30^{\text{a}}/87-67/$ $7650^{\text{a}}/344-61/$		$\text{U}^{238}(\text{N}^{14}, \text{n})$ $/87-67/$ $\text{Np}^{237}(\text{O}^{12}, \text{n})$ , $\text{Pu}^{240}(\text{B}^{10}, \text{n})/344-61/$ $\text{U}^{238}(\text{N}^{14}, \text{n})$ $/338-54, 87-67/$
$\text{Ba}^{246}$	$E=90\%/87-67/$ $\alpha-(10 \pm 1,5)\%$ $/87-67/$	$7,7 \pm 0,5 \text{ мин.}/87-67/$ $7,3 \text{ мин.}/338-54/\text{x})$	$7330 \pm 30^{\text{a}}/87-67/$ $7350^{\text{a}}/338-54/\text{x})$		
$\text{Ba}^{247}$	$E=93\%/87-67/$ $\alpha-7\%/87-67/$	$5,0 \pm 0,3 \text{ мин.}/87-67/$	$7330 \pm 30^{\text{a}}/87-67/$		$\text{U}^{238}(\text{N}^{14}, \text{n})$ $/87-67/$
$\text{Ba}^{248}$	$E > 99\%$ $\alpha-0,25\%/241-56/$	$28 \pm 5 \text{ мин.}/120-70/$ $25 \pm 5 \text{ мин.}/241-56/$	$6870 \pm 10/120-70/$ $6870 \pm 20^{\text{a}}/241-56/$		$\text{ Cf}^{249}(\alpha, 3n)/241-56/$ $\text{Bk}^{249}(\text{He}^3, 4n)$ $/120-70/$
$\text{Ba}^{249}$	$E > 99\%$ $\alpha-0,7\%/120-70/$ $0,13\%/387-56/$	$1,7 \pm 0,1 \text{ часа}/120-70/$ $2 \text{ часа}/387-56/$	$6770 \pm 5/120-70/$ $6760^{\text{a}}/387-56/$	$E: 375,0 \pm 0,5-0,II, \text{ Cf}^{249}(\alpha, 2n)$ $379,4 \pm 0,5-1,0, /241-56/$ $812 \pm 1-0, I90 \text{ отн.ед.} \text{ Bk}^{249}(\alpha, 4n)$ $/120-70/$ См.сх.ур. $\text{Cf}^{249}$	
$\text{Ba}^{250}$	$E$	$8,3 \pm 0,2 \text{ часа}/120-70/$ $8 \text{ час.}/387-56/$		$303,2-I,0,$ $349,4-0,92,$ $828,8-3,4 \text{ отн.ед.}$ См.табл.П.II8	$\text{Bk}^{249}(\alpha, 3n)$ $/387-56/$
$\text{Ba}^{250m}$	$E$	$2,1 \pm 0,2 \text{ часа}/120-70/$		$989,0 \pm 0,6-I,2,$ $1032,0 \pm 0,6-\text{1отн.ед.} \text{ Bk}^{249}(\text{He}^3, 2n)$ $/120-70/$ См.сх.ур. $\text{Cf}^{250}$	$\text{Bk}^{249}(\alpha, 3n),$ $\text{Bk}^{249}(\text{He}^3, 2n)$ $/120-70/$
$\text{Ba}^{251}$	$E > 99\%$ $\alpha-0,8\%/120-70/$ $0,53\%/387-56/$	$33 \pm 1 \text{ часа}/120-70/$ $1,5 \text{ дня}/387-56/$	$6488 \pm 5-80\%,$ $6458-14\%, 6414-6\%$ $/120-70/$ $6480^{\text{a}}/387-56/$ См.сх.ур. $\text{Bk}^{247}, \text{ Cf}^{251}$	$E: 152,7 \pm 0,3-0,38, \text{ Bk}^{249}(\alpha, 2n)$ $163,5 \pm 0,5 \sim 0,04, /387-56/$ $177,6 \pm 0,3-1 \text{ отн.ед.}$ $/120-70/$	
$\text{Ba}^{252}$	$\alpha$ $\beta^- < 2\%/387-56/$	$\sim 140 \text{ дн.}/387-56/$	$6639-82\%, 6580-13\%$ См.табл.П.II9	$74-0,3\%, 228-0,23\% \text{ Bk}^{249}(\alpha, n)$ $278-0,21\%, 400-I,1\% /387-56/$ $(сложн.), 550-0,3\% \text{ Cf}^{252}(\alpha, 2n)$ $(дубл.) /529-65/$ См.табл.П.II20 См.сх.ур. $\text{Bk}^{248}$	

x)  
Эти данные ошибочно относились к  $\text{Ba}^{247}$ .

Изотоп	Тип распада	Период полураспада	Энергия (кэВ) и интенсивность $\alpha$ ■ $\beta^-$ - излучений	Энергия (кэВ) и интенсивность $\gamma$ -излучений	Главные способы получения
$Ea^{253}$	$\alpha$	$20,03 \pm 0,01$ дня/46I-56/ $20,47 \pm 0,02$ дня/377-66/ $20,7 \pm 0,3$ дня/168-66/ $19,3 \pm 0,3$ дня/293-54/ СД ( $6,3 \pm 0,2$ ). $10^3$ лет/540-65/ ( $7 \pm 3$ ). $10^3$ лет/46I-56/	$6632,73 \pm 0,05-91\%$ , $38I-0,005\%$ , $6592-6,6\%$ См.табл.П.I2I См.табл.П.I22 См.сх.ур.	$\beta^-$ -распад $Cr^{253}$ $388-0,045\%$ (дубл.), /443-64/ $430-0,008\%$ (дубл.) $V^{249}$	
$Ea^{254}$	$\alpha$ $\beta^- < 3 \cdot 10^{-4}\%$ /530-66/	$276$ дн./682-66/ $272$ дн./386-55/ $480 \pm 70$ дн./613-58/ $\sim 320$ дн./46I-56/ СД $> 2,5 \cdot 10^3$ лет/300-67/	$6429-93\%, 64I-2\%$ , $63-2\%, 264-0,05\%$ $6359-2,5\%$ См.табл.П.I23 См.табл.П.I24 См.сх.ур.	$Ea^{253}(n,\gamma)$ /385-55, 46I-56/ $310-0,22\%$ (дубл.) $380-0,07\%$ (дубл.) $V^{250}$	
$Ea^{254m}$	$\beta^- > 99\%$ $E-(0,078 \pm 0,006)\%$ /584-63/ 0,1%/385-55/ $\alpha - 0,29\%$ /300-67/ СД $> 10$ лет/293-54/	$59,3 \pm 0,2$ часа/68I-62/ $38,5 \pm 1,0$ часа./46I-56/ /168-66/ $(7,9 \pm 0,4)\%$ /300-67/ СД $> 10$ лет/293-54/	$1127 \pm 2-25\%$ , $475 \pm 5-75\%$ /68I-62/ См.табл.П.I25 6387/300-67/	$\beta^- : 648, I-100,$ $690-II8$ отн.ед.(дубл.)/293-54, /245-54, 46I-56/ $V^{254}$	$Ea^{253}(n,\gamma)$
$Ea^{255}$	$\beta^- - 91,5\% / 168-66 / 39,8 \pm 1,2$ дня/168-66/ $\alpha - (8,5 \pm 0,3)\% / 38,3$ дня/377-66/ /168-66/ $(7,9 \pm 0,4)\% / 300-67 /$ СД $2440 \pm 140$ лет/300-67/		$380$ (оценка)/443-64/ $6299,5 \pm 1,5 / 3I-7I /$ $6306-87,7\%, 6297-9,8\%$ , $6219-2,5\% / 300-67 /$ $6307 \pm 3 / 168-66 /$		$Ea^{254}(n,\gamma)$ /443-64/ $\beta$ -распад $Cr^{255m}$ /34I-55/
$Ea^{256}$	$\beta^-$	$22 \pm 3$ мин/506-68/ $< 1$ часа/246-55/			$Ea^{255}(n,\gamma)$ /246-55/
$Fm^{244}$	СД	$3,3 \pm 0,5$ мсек/564-67/			$U^{233}(0^{16}, 5n)$ /564-67/
$Fm^{245}$	$\alpha$	$4,2 \pm 1,3$ сек/564-67/	$8150 \pm 20^a / 564-67 /$		$U^{233}(0^{16}, 4n)$ /564-67/
$Fm^{246}$	$\alpha - 92\% / 564-67 /$	$I,2 \pm 0,2$ сек/564-67/ $I,6 \pm 0,4$ сек/105-67/ $I,4 \pm 0,6$ сек/2-66/ СД-8%/564-67/ $15 \pm 5$ сек/564-67/ $\sim 20$ сек/ 65-70/	$8240 \pm 20^a / 564-67 /$ $8230 \pm 20^a / 2-66 /$ $8250 \pm 30^a / 105-67 /$		$U^{235}(0^{16}, 5n)$ /2-66/ $Pu^{239}(0^{12}, 5n)$ /105-67/
$Fm^{247}$	$\alpha$	$35 \pm 4$ сек/105-67/ $\sim 30$ сек/564-67/	$7930 \pm 50^a \sim 30\%$ , $7870 \pm 50 \sim 70\%$ /105-67/		$Pu^{239}(0^{12}, 4n)$ /105-67/
$Fm^{247m}$	$\alpha$	$9,2 \pm 2,3$ сек/105-67/ $\sim 5$ сек/564-67/	$8180 \pm 30^a / 105-67 /$		$Pu^{239}(0^{12}, 4n)$ /105-67/

\*)  $\beta^-$  - распад после многошарового многократного захвата нейтронов.

Изотоп	Тип распада	Период полураспада	Видимая (кав) и интенсивность $\alpha$ $\beta$ - излучений	Видимая (кав) и интенсивность $\gamma$ - излучений	Главные способы получения
$\text{Pu}^{248}$	$\alpha$	$36\pm 4$ сек/2-66/ $38\pm 4$ сек/564-67/ $32\pm 6$ сек/ 65-70/ 36 сек /342-58/	$7870\pm 20^a$ -80%, $7830\pm 20$ -20% $/564-67/$ $7880\pm 30^a/2-66/$		$\text{U}^{238}(0^{16}, 6n)$ $/48-56, 2-66/$ $\text{Pu}^{240}(0^{12}, 4n)$ $/342-58/$
	СД	$10\pm 5$ час./564-67/ $\sim 60$ час./ 65-70/			
$\text{Pu}^{249}$	$E \sim 60\%$ /2-66/ $\alpha \sim 40\%$ /2-66/	$2,6\pm 0,7$ мин/2-66/ $2,5$ мин/90-59/	$7530\pm 20^a/2-66/$		$\text{U}^{238}(0^{16}, 5n)$ $/90-59, 2-66/$
	$\alpha$ ( $E < 90\%$ )/I28-57/	$30\pm 3$ мин/2-66, I28-57/	$7420\pm 30^a/2-66/$		$\text{U}^{238}(0^{16}, 4n)$ $/2-66/$
$\text{Pu}^{250}$	СД	$\sim 10$ лет/65-70/ $\geq 200$ дней/64-68/	$7430\pm 50^a/I28-57/$		$\alpha\text{Pu}^{249}(\alpha, 3n)$ $/I28-57/$
	$E \sim 99\%$ $\alpha - 1\%$ /I28-57/	$7,0\pm 0,7$ часа/I28-57/	$6890\pm 50^a/I28-57/$ $6830\pm 10^a/250-67/$ См.сх.ур.	$410/250-67/$ $\alpha\text{Pu}^{247}$	$\alpha\text{Pu}^{249}(\alpha, 2n)$ $/I28-57/$ $\text{U}^{238}(0^{18}, 5n)$ $/250-67/$
$\text{Pu}^{252}$	$\alpha$	$22,7\pm 0,7$ часа/32I-56/ $23,0\pm 1,3$ часа/250-67/	$7040\pm 85\%$ , $\sim 7000-10^3$ $/250-67/$		$\alpha\text{Pu}^{249}(\alpha, n)$ $/I28-57/$
	СД	$30\pm 3$ часа/I28-57/ $140\pm 60$ лет/ 6I-62/	$7040\pm 20^a/32I-56/$ $7050\pm 50^a/I28-57/$		$\text{U}^{238}(0^{18}, 4n)$ $/250-67/$
$\text{Pu}^{253}$	$E=89,5\%$ /I27-57/	$3,0\pm 0,1$ дня/I18-67/	$6945-42,7\%$ ,	$\alpha: 144,8\pm 0,4-1,6\%$ ,	$\alpha\text{Pu}^{252}(\alpha, 3n)$
	$\alpha - (10,5\pm 1,0)\%$	$3,0\pm 0,2$ дня/625-59/	$6675-23,2\%$	$271,8\pm 0,4-22\%$	$/32I-56, I27-57/$
	$/127-57, 625-59/$	$3,0\pm 1,0$ дня/345-63/	См.табл.П.126	$/I18-67/$	
	$(12\pm 1)\%$ /I18-67/	$4,5\pm 1,0$ дня/I27-57/	См.сх.ур.	$\alpha\text{Pu}^{249}$	
$\text{Pu}^{254}$	$\alpha > 99\%$	$3,240\pm 0,002$ часа/300-67/7192±5-85%, $3,24\pm 0,01$ часа/46I-56/	$42\pm 2-0,02\%$ , $7150-14\%, 7053-0,9\%$ $9642-0,028\%$		$\beta$ - распад $\text{Ba}^{254m}$ $/443-64/$
		$3,3\pm 0,2$ часа/293-54/	$/147-56, 16I-64/$	$/140-55, 147-56/$	
		$3,2$ часа/245-54/	$7200\pm 10^a/46I-56/$	$151-1,10^{-3}\%$	
	$\text{СД}-0,059\%$	$228\pm 1$ дня/300-67/	$7170\pm 10^a/293-54/$	$/493-63/$	
	$/300-67/$	$246$ дней/46I-56/	См.сх.ур.	$\alpha\text{Pu}^{250}$	
	$0,055\%$ /46I-56/	$220\pm 40$ дней/293-54/			
$\text{Pu}^{255}$	$\alpha$	$20,07\pm 0,07$ часа/16I-64/	$7019-93,4\%$	$59-0,9\%$ (дубл.),	$\beta$ - распад $\text{Ba}^{255}$ ,
		$21,5\pm 0,1$ часа/46I-56/	См.табл.П.127	$81,3-1,1\%$ ,	$\text{Pu}^{254}(\alpha, \gamma)$
		$19,9\pm 0,3$ часа/584-63/		$132-0,036\%$ (дубл),	$/443-64/$
	СД	$(1,0\pm 0,6)\cdot 10^4$ лет/584-63/		$204-0,024\%$ , См.табл.П.128 $\alpha\text{Pu}^{251}$	

Изотоп	Тип распада	Период полураспада	Энергия (кэВ) и интенсивность $\alpha$ $\beta$ - излучений	Энергия (кэВ) и интенсивность $\gamma$ - излучения	Главные способы получения
$Fm^{256}$	Сд-91,9%/401-68/ $\alpha$ -(8,1±0,3)% /401-68/ (2,8±0,9)%/626-65/	$157\pm 2$ мин./401-68/ $162\pm 6$ мин./626-65/ $160\pm 10$ мин./583-58/ $\sim 94$ года/165-67/	$6911\pm 5$ -86%, $6868\pm 14$ %/302-70/ $6917\pm 5$ /401-68/		$\beta$ - распад $Ea^{256}$ /246-55/ $Ea^{253}(\alpha, p)$ /401-68/
$Fm^{257}$	$\alpha$ Сд	$80\pm 5$ дн./626-65/ $79\pm 8$ дн./429-64/ $94\pm 10$ дн./168-66/ $97\pm 10$ дн./430-66/ 100±20 лет/429-64/ 150±40 лет/626-65/ $\sim 94$ года/165-67/	$6519\pm 2$ -94% См.табл.П.129 См.табл.П.130 См.ох.ур. $of^{253}$	103-1%, 180-8%, 242-10% См.табл.П.130	$Fm^{256}(\alpha, \gamma)$ /429-64/ $of^{252}+B^{II}/626-65/$
$Fm^{258}$	Сд	$380\pm 60$ мсек/432-71/			$Fm^{257}(\alpha, p)/432-71/$
$Md^{252}$	Е	$\sim 8$ мин./57-65/			$U^{238}(F^{19}, 5n)/57-65/$
$Md^{254}$	Б	$10\pm 3$ мин./302-70/ $> 2$ мин./56-65/			$Ea^{253}(\alpha, 3n)/302-70/$ $Aa^{243}(0^{18}, \alpha, 3n)$ /56-65/
$Md^{254m}$	Е	$28\pm 8$ мин/302-70/			$Ea^{253}(\alpha, 3n)$ /302-71/
$Md^{255}$	Е~90% $\alpha$ -(7±1)%/302-70/ (10,0±1,4)%/402-71/ (10±2)%/626-65/ Сд	$27\pm 2$ мин/302-70/ $27\pm 3$ мин/402-71/ $35\pm 10$ мин/626-65/ $\sim 30$ мин/583-58/ $> 12$ дн./402-71/	$7322\pm 5$ /302-70/ $7332\pm 5$ /402-71/ $7340^a/583-58, 626-65/$	$\alpha : 430\pm 40$ /302-70/ $\alpha : 400\pm 20$ /302-70/ См.табл.П.131	$Ea^{253}(\alpha, 2n)$ /583-58/ $of^{252}+B^{II}, C^{I2}$ /626-65/
$Md^{256}$	Е~90% $\alpha$ -(9,9±0,5)% /402-71/ (8,5±0,8)%/302-70/ (3,2±0,5)%/626-65/ Сд	$75\pm 4$ мин/302-70/ $77\pm 5$ мин/402-71/ $90\pm 12$ мин./626-65/ $\sim 90$ мин./583-58/ $> 2$ дн./402-71/	$7202-66\%$ , 7136-19% См.табл.П.131	$\alpha : 400\pm 20$ /302-70/ $of^{253}(\alpha, n)$ /340-55, 583-58/ $of^{252}+B^{II}, C^{I2}$ /626-65/	
$Md^{257}$	Е~90% $\alpha$ -(10±3)% /302-70/ $\sim 8$ %/626-65/ Сд	$5,0\pm 0,3$ часа/402-71/ $5,4\pm 0,5$ часа/302-70/ $3,0\pm 0,5$ часа/626-65/ $\sim 3$ час/346-64/ $> 6$ дн./402-71/ $> 30$ час./626-65/	$7064\pm 5$ /302-70/ $7067\pm 20$ /402-71/ (7270), 7070 <sup>a</sup> /626-65/ 7100 <sup>a</sup> /346-64/	$of^{252}+B^{II}, C^{I3}$ /346-64, 626-65/	
$Md^{258}$	$\alpha$	$54\pm 5$ дн./431-68/ $56\pm 7$ дн./302-70/	$6790\pm 10$ -28%, $6716\pm 5$ -72% /302-70/ $6780\pm 20^a, 6730\pm 10$ /431-68/		$Ea^{255}(\alpha, n)/431-68/$

Изотоп	Тип распада	Период полураспада	Энергия (кэВ) и интенсивность $\alpha$ и $\beta$ - излучения	Энергия (кэВ) и интенсивность $\gamma$ -излучения	Главные способы получения
$\text{I}^{102}\text{^{251}}$	$\alpha$	$0,8 \pm 0,3 \text{ сек}/347-67/$ $0,5 \pm 1,0 \text{ сек}/3-67/$	$8680 \pm 20^{\text{a}}-20\%$ , $8600 \pm 20-80\%$ $/347-67/$ $8600^{\text{a}}/3-67/$		$\text{Cm}^{244}(\text{O}^{12}, 5n)$ $/347-67/$ $\text{Pu}^{239}(\text{O}^{16}, 4n)$ $/3-67/$
$\text{I}^{102}\text{^{252}}$	$\alpha$ (~70%) /342-58, 44-59/  СД (~30%) /342-58, 44-59/	$2,4 \pm 0,2 \text{ сек}/89-70/$ $2,3 \pm 0,3 \text{ сек}/347-67/$ $4,5 \pm 1,5 \text{ сек}/88-67/$ $\sim 3 \text{ сек}/110-68/$ $\geq 7 \text{ сек}/347-67, 110-68/$	$8410 \pm 20^{\text{a}}/347-67/$ $8410 \pm 30^{\text{a}}/88-67,$ $110-68/$		$\text{Pu}^{239}(\text{O}^{18}, 5n)$ $/88-67/$ $\text{Cm}^{244}(\text{O}^{12}, 4n)$ $/347-67/$
$\text{I}^{102}\text{^{253}}$	$\alpha$	$95 \pm 10 \text{ сек}/88-67/$ $105 \pm 20 \text{ сек}/347-67/$	$8010 \pm 20^{\text{a}}/347-67/$ $8010 \pm 30^{\text{a}}/88-67/$		$\text{Pu}^{241}(\text{O}^{16}, 4n)/103-60/$ $\text{Pu}^{242}(\text{O}^{16}, 5n)/88-67/$ $\text{Cm}^{244}(\text{O}^{13}, 4n)/347-67/$
$\text{I}^{102}\text{^{254}}$	$\alpha$  СД	$55 \pm 5 \text{ сек}/347-67/$ $50 \pm 10 \text{ сек}/58-66/$ $75 \pm 15 \text{ сек}/88-67/$ $\geq 25 \text{ час.}/106-67/$	$8100 \pm 20^{\text{a}}/347-67/$ $8110 \pm 30^{\text{a}}/88-67/$ $8100 \pm 50^{\text{a}}/68-66/$		$\text{U}^{238}(\text{Ne}^{22}, 6n)/58-66/$ $\text{Pu}^{242}(\text{O}^{16}, 4n)/87-67/$ $\text{Am}^{243}(\text{K}^{45}, 4n)/58-66/$ $\text{Cm}^{246}(\text{O}^{12}, 4n)/347-67/$
$\text{I}^{102}\text{^{255}}$	$\alpha$	$200 \pm 10 \text{ сек}/286-70/$ $180 \pm 12 \text{ сек}/110-68/$ $185 \pm 20 \text{ сек}/347-67/$ $180 \pm 40 \text{ сек}/107-67/$	$8115-46\%, 8070-12\%, 187, 2-5, 5\%$ $7920-12\%, 7765-9\% /182-71/$ $\text{Cm.табл.П.132}$ $\text{Cm.ох.уп. } \text{I}^{251}$		$\text{U}^{238}(\text{Ne}^{22}, 5n)/63-67/$ $\text{Pu}^{242}(\text{O}^{18}, 5n)/107-67/$ $\text{Cm}^{246}(\text{O}^{13}, 4n)/347-67/$
$\text{I}^{102}\text{^{256}}$	$\alpha$  СД	$3,2 \pm 0,2 \text{ сек}/347-67/$ $3,7 \pm 0,5 \text{ сек}/109-67/$ $6 \pm 2 \text{ сек}/63-67/$ $\sim 8 \text{ сек}/55-63/$ $\sim 20 \text{ мин}/347-67/$ $\geq 25 \text{ мин}/109-67/$	$8430 \pm 20^{\text{a}}/347-67/$ $8420 \pm 30^{\text{a}}/107-67/$ $8410 \pm 30^{\text{a}}/63-67/$		$\text{U}^{238}(\text{Ne}^{22}, 4n)$ $/55-63, 63-67/$ $\text{Pu}^{242}(\text{O}^{18}, 4n)/109-67/$ $\text{Cm}^{248}(\text{O}^{13}, 5n)/347-67/$
$\text{I}^{102}\text{^{257}}$	$\alpha$	$26 \pm 2 \text{ сек}/286-70/$ $23 \pm 2 \text{ сек}/347-67/$	$8320^{\text{a}}-19\%, 8270-26\%,$ $8220-55\%/286-70/$ $8270 \pm 20^{\text{a}}-50\%,$ $8230 \pm 20-50\%$ $/347-67/$		$\text{Cm}^{248}(\text{O}^{13}, 4n)$ $/347-67, 286-70/$
$\text{I}^{103}\text{^{255}}$	$\alpha$  Б < 30% / 285-71 /	$22 \pm 5 \text{ сек}/285-71/$ $\sim 20 \text{ сек}/66-70/$	$8370 \pm 20^{\text{a}}-50\%,$ $8350 \pm 20^{\text{a}}-50\%$ $/285-71/$ $8380^{\text{a}}/66-70/$		$\text{Am}^{243}(\text{O}^{16}, 4n)$ $/66-70/$ $\text{Cr}^{249}_{+Y}^{10, II}$ $/285-71/$

x) Данные ошибочно относились к  $\text{I}^{102}\text{^{254}}$

Изотоп	Тип распада	Период полураспада	Энергия (кэВ) и интенсивность $\alpha$ - излучения	Энергия (кэВ) и интенсивность $\beta$ - излучения	Главные способы получения
$^{103}_{\Lambda}$ <sup>256</sup>	$\alpha$ $E < 20\% / 285-71 /$ СД	$51 \pm 3$ сек / 285-71 / $25$ сек / II0-68 / $45 \pm 10$ сек / 56-65 / $\sim 55$ сек / 108-67 / $> 10^5$ сек / II2-70 /	$8520^a - 19\%, 8480 - 13\%$ , $8430 - 34\%, 8390 - 23\%$ См. табл. П.133		$\text{Am}^{243}(O^{18}, 5n)$ $/ ^{16-65}, I08-67 /$ $\text{Cr}^{249} + B^{10, II}$ $/ 285-71 /$
$^{103}_{\Lambda}$ <sup>257</sup>	$\alpha$ $E < 15\% / 285-71 /$ СД	$0,6 \pm 0,1$ сек / 285-71 / $(\sim 35$ сек) / 108-67 / $> 10^5$ сек / II2-70 /	$8870 \pm 20^a - 81\%$ , $8810 \pm 20 - 19\%$ $/ 285-71 /$ (8500 ± 8600 <sup>a</sup> ) $/ 108-67 /$		$\text{Am}^{243}(O^{18}, 4n)$ $/ I08-67 /$ $\text{Cr}^{249}(C^{II}, 3n)$ $/ 285-71 /$
$^{103}_{\Lambda}$ <sup>258</sup>	$\alpha$ $E < 5\% / 285-71 /$	$4,2 \pm 0,6$ сек / 285-71 / $8 \pm 2$ сек / 343-61 / <sup>x)</sup>	$8680 \pm 20^a - 7\%$ , $8650 \pm 20 - 16\%$ , $8620 \pm 20 - 47\%$ , $8590 \pm 20 - 30\%$ $/ 285-71 /$ $8600^a / 343-61 /$ <sup>x)</sup>		$\text{Cr}^{249}(N^{15}, \alpha 2n)$ , $\text{Ca}^{248}(N^{15}, 5n)$ $/ 285-71 /$
$^{103}_{\Lambda}$ <sup>259</sup>	$\alpha$	$5,4 \pm 0,8$ сек / 285-71 /	$8450 \pm 20^a / 285-71 /$		$\text{Ca}^{248}(N^{15}, 4n)$ $/ 285-71 /$
$^{103}_{\Lambda}$ <sup>260</sup>	$\alpha$ $E < 40\% / 285-71 /$	$180 \pm 30$ сек / 285-71 /	$8030 \pm 20^a / 285-71 /$		$\text{Ca}^{248}(N^{15}, 3n)$ $/ 285-71 /$
$^{Ku}_{\Lambda}$ <sup>257</sup>	$\alpha$	$4,5 \pm 1,0$ сек / 348-69 /	$9000 \pm 20^a - 35\%$ , $8950 - 30\%, 8780 - 20\%$ , $8700 - 15\% / 348-69 /$		$\text{Cr}^{249}(C^{I2}, 4n)$ $/ 348-69 /$
$^{Ku}_{\Lambda}$ <sup>258</sup>	СД	$11 \pm 2$ месек / 348-69 /			$\text{Cr}^{249}(C^{I2}, xn)$ $/ 348-69 /$
$^{Ku}_{\Lambda}$ <sup>259</sup>	$\alpha$	$4,5 \pm 1,5$ сек / II3-71 / $\sim 3$ сек / 348-69 /	$8860^a - 40\%, 8770 - 60\%$ $/ 348-69 /$		$\text{Cr}^{249}(C^{I3}, 3n)$ , $\text{Ca}^{248}(O^{16}, 5n)$ $/ 348-69 /$
$^{Ku}_{\Lambda}$ <sup>260</sup>	СД	$0,10 \pm 0,05$ сек / II3-71 / $0,3 \pm 0,1$ сек / I04-64, $69-68 /$ $\sim 0,1$ сек / 89-70 /			$\text{Pu}^{242}(Ne^{22}, 4n)$ $/ I04-64 /$
$^{Ku}_{\Lambda}$ <sup>261</sup>	$\alpha$	$65 \pm 10$ сек / 349-70 / $> 10$ мин / 349-70 /	$8280 \pm 20^a$ , $8200 \pm 8300 / 349-70 /$		$\text{Ca}^{248}(O^{18}, 5n)$ $/ 349-70 /$

x) Данные ошибочно относились к  $^{103}_{\Lambda}$ <sup>257</sup>.

Изотоп	Тип распада	Период полураспада	Энергия (кэВ) и интенсивность $\lambda$ $\beta$ - излучений	Энергия (кэВ) и интенсивность $\gamma$ $\gamma$ - излучения	Главные способы получения
$^{105}\text{Ru}$	$\alpha$	$1,6 \pm 0,3$ сек /350-70/ $1,4^{+0,6}_{-0,3}$ сек /688-70/ $>0,01$ сек /587-68/ $>8$ сек /350-70/	$9140^{\text{a}}\text{-}20\%$ , $9100\text{-}25\%$ , 9060-55% /350-70/ $9100^{\text{a}}, 8900/688-70/$ $9700^{\text{a}}/587-68/$		$\Delta\text{n}^{243}(\text{Ne}^{22}, 5n)$ /III-68/ $\text{Cr}^{249}(\text{N}^{15}, 4n)$ /350-70/
	СД				
$^{105}\text{Ru}$	$\alpha$	$1,8 \pm 0,6$ сек /112-70/ $1,8 \pm 0,6$ сек /351-71/ $0,1+3$ сек /III-68/	$8930/351-71/$ $9400^{\text{a}}/\text{III-68/}$		$\Delta\text{n}^{243}(\text{Ne}^{22}, 4n)$ /III-68, 112-70/ $\text{Bk}^{249}(\text{o}^{16}, 4n)/351-71/$
$^{105}\text{Ru}$	$\alpha$	$40 \pm 10$ сек /351-71/	$8660\text{-}20\%$ , $8450\text{-}80\%$ /351-71/		$\text{Bk}^{249}(\text{o}^{18}, 5n)/351-71/$

а) Не приведены к общему эталону.

б) Излучение конвертировано.

ПРИЛОЖЕНИЕ I,

ЭНЕРГИИ И ИНТЕНСИВНОСТИ ИЗЛУЧЕНИЙ ПРИ РАДИОАКТИВНОМ РАСПАДЕ  
(ЭКСПЕРИМЕНТАЛЬНЫЕ ДАННЫЕ)

Таблица П.1  
 $\alpha$ -распад  $\text{Th}^{225}$  [604-61]

$E_{\alpha}$ , кэВ	$E^*$ , кэВ	$I_{\alpha}$ , %
6793±5	0	9
6739	55	7
6695	99	2
6645	151	3
6622	174	3
6496	301	14
6473	324	43
6436	362	15
6340	460	2
6307	494	2

$\gamma$ -излучение  $\text{Th}^{226}$

Таблица П.2

Lederer [493-61, 494-65]		Brilliant [214-69]			Лопто [145-56]	
$E_{\gamma}$ , кэВ	$I_{\gamma}$ , %	$E_{\gamma}$ , кэВ	отн. ед.	Мульти- поль. ности	$E_{\gamma}$ , кэВ	$I_{\gamma}$ , %
III, I±0,3	3,3±0,2	3,8±0,4				
(635-56)	[579-69]	(604-61)				
III, 3	3,4	III	100	E2	II2	4,8
131,3	0,34	131	11	E1	131	0,4
190,6	0,15	188	3,3	E2		
206,5	0,26	207	5,5	E1	197	0,4
242,4	1,2	242	29	E1	242	1,2

Таблица П.3

$\alpha$ -распад  $\text{Th}^{227}$

Vieu, Bastin /38-67; 174-64/				Pilger /586-57/				Frilley /325-54/	
$E_{\alpha}$ , кэВ	$E^*$ , кэВ	$I_{\alpha}$ , % /38-67/	$I_{\alpha}$ , % /174-64/	$E_{\alpha}$ , кэВ	$E^*$ , кэВ	$I_{\alpha}$ , %		$E_{\alpha}$ , кэВ	$I_{\alpha}$ , %
6036,6±1,5	0	23	24,5	6036	0	23		6036	19
6007	30	3	2,9	6007	30,0	2,8		6007	5
5988	50	$2,5 \cdot 10^{-3}$	$2 \cdot 10^{-3}$						
5976,3±1,5	61,4	20	23,4	5976	61,5	20		5978	21
5958	80	3	3,0	5958	79,9	3,5		5958	13
5914	124,5	0,8	0,77	5914	124,2	0,9	(5928)	~2	
5908	131	0,2	0,17						
5865	175	2,3	2,4	5865	174,4	3,0		5866	4
5806	235	1,2	1,27	5805	234,9	1,0		5802	2
5794	247	0,3	0,31	5793	247,1	0,3			
5761	281	0,25	0,23	5761	280,0	0,3			
5755,2	286,4	25	20,3	5755	286,1	21		5755	17
5726	316	0,03	0,034					5734	~1
5712	331	6	4,9	5712	329,8	5,0		5710	15
5707	335	8	8,2	5708	334,7	8,7			
5699	343,5	4	3,6	5699	342,6	4,0			
5691	351,5	2	1,5	5692	350,4	1,5			
5673	370,5	0,07	0,057						
5666	377	2,3	2,1	5667	376,0	1,9		5657	~2
5639	405	$0,025 \cdot 10^{-3}$	$0,018 \cdot 10^{-3}$						
5620	424	$8 \cdot 10^{-3}$	$7 \cdot 10^{-3}$						
Vieu, Bastin /38-67; 174-64/									
$E_{\alpha}$ , кэВ	$E^*$ , кэВ	$I_{\alpha}$ , % /38-67/	$I_{\alpha}$ , % /174-64/						
5612	433	0,3	0,22						
5599	445,5	0,25	0,17						
5584	460,5	0,23	0,18	5227	824	0,01	$9,8 \cdot 10^{-3}$		
5531	514	$0,025 \cdot 10^{-3}$	$0,021 \cdot 10^{-3}$	5208	843	$5,5 \cdot 10^{-3}$	$7 \cdot 10^{-3}$		
5508	538	$0,02 \cdot 10^{-3}$	$0,0166 \cdot 10^{-3}$	5192	860	$4 \cdot 10^{-3}$	$3,8 \cdot 10^{-3}$		
5479	568	$1,8 \cdot 10^{-3}$	$1,2 \cdot 10^{-3}$	5179	873	$1,4 \cdot 10^{-3}$	$1,2 \cdot 10^{-3}$		
5457	590	$3,5 \cdot 10^{-3}$	$2,7 \cdot 10^{-3}$	5169	883	$2 \cdot 10^{-3}$	$1,7 \cdot 10^{-3}$		
5407	641	$5 \cdot 10^{-4}$	$4,4 \cdot 10^{-4}$	5145	908	$4 \cdot 10^{-3}$	$4,1 \cdot 10^{-3}$		
5363	685	$6 \cdot 10^{-4}$	$6,6 \cdot 10^{-4}$	5127	926	$6 \cdot 10^{-4}$	$6,2 \cdot 10^{-4}$		
5334	715	$2,5 \cdot 10^{-4}$	$2 \cdot 10^{-4}$	5109	944	$3 \cdot 10^{-4}$	$2,8 \cdot 10^{-4}$		
5320	729	$3 \cdot 10^{-4}$	$2 \cdot 10^{-4}$	5082	972	$2 \cdot 10^{-4}$	$1,5 \cdot 10^{-4}$		
5263	788	$2,5 \cdot 10^{-3}$	$2,6 \cdot 10^{-3}$	5054	1000	$2,5 \cdot 10^{-4}$	$2,3 \cdot 10^{-4}$		
5247	804	$3,5 \cdot 10^{-3}$	$3,2 \cdot 10^{-3}$	5032	1023	$3 \cdot 10^{-4}$	$3,1 \cdot 10^{-4}$		

Таблица П.4

 $\gamma$  - излучение  $T_{227}$ 

Briandcon Walen [210-69]				Briandcon, Vieu [209-68, 211-71]				Davidson [260-68]				Vieu [38-67]				Trehorn [678-65]				Pilger [586-57]							
$E_\gamma, \text{кэВ}$	$I_\gamma, \%$	$E_\gamma, \text{кэВ}$	$I_\gamma, \%$	Мульти- поль- ность				$E_\gamma, \text{кэВ}$	$I_\gamma, \%$	$E_\gamma, \text{кэВ}$	$I_\gamma, \%$	Мульти- поль- ность				$E_\gamma, \text{кэВ}$	$I_\gamma, \%$	Мульти- поль- ность									
6								6,3±0,3	≤0,01																		
8 ±0,2								8,3±0,1	≤0,14																		
								14,8±0,1	≤0,18																		
20,3±0,2	0,2	20,27	1,5	EI																							
		(20,9)		(MI+E2)																							
		29,58	~2	MI+E2																							
29,9±0,2	0,1	29,91	50	MI+E2				29,9±0,2	~0,006	29,9		MI+E2															
31,6±0,2	0,08	31,61	26	MI+E2				31,6±0,2	~0,006	31,6		MI+E2															
								40,2±0,3	~0,01	39	0,9																
42,1±0,3	0,04																										
43,8±0,2	0,23	43,80	0,36	EI				43,7±0,2	~0,08																		
44,1		44,II	~0,4	MI+E2																							
44,4	0,02	44,42	~0,5	MI(+E2)																							
		(46,47)		(E2)																							
48,3	0,01	48,31	3,2	E2																							
49,9	0,6	49,88	1,0	EI				49,9±0,1																			
50,2	8,4	50,20	15	EI				50,1±0,1	4,4	50,2	9,0	EI															
		8,4±0,6																									
[579-69]																											
		50,88	~0,3	MI																							
		51,20	~0,1	MI(+E2)																							
		54,20	~0,1	MI																							
56,I	0,01	56,10	~0,2	MI																							
56,6	0,017	56,55	0,7	MI+E2				56,5																			
61,5±0,2	0,09	61,51	10	E2																							
62,5±0,2	0,2	62,72	0,20	MI(+E2)				62,2±0,1	0,28	61,5	0,5	E2															
68,8±0,2	0,057	68,80	1,1	MI+E2				68,7±0,1	0,033	68,8	0,5	MI+E2															
72,9±0,1	0,028	72,90	0,035	EI				72,9±0,1	0,029																		
73,7±0,1	0,02	73,70	0,60	E2+MI																							
75,1±0,3	0,023	75,10	~0,04	EI																							
77,4±0,4	~0,01																										
79,8±0,2	2	79,77	2,4	EI				79,8±0,1	2,2	79,8	2,0	EI															
		(83,9)						84,0																			
94,0±0,2	I,4	94,00	I,6	EI				94,0±0,1	I,4	94,0	I,4	EI															
95,0	0,012	95,00	0,20	E2				95,2±0,2	0,18	95,0		(E2)															
96,I±0,2	0,07	96,10	~0,06	EI																							
I00,3	0,08	I00,3	0,8	E2				I00,0	~0,11	I00,3		E2															
I07,5±0,5	0,009	I07,9		MI(+E2)				I08,4±0,2	0,008																		
		I10,7	~0,013	E2																							
I13,I±0,2	0,71	I13,2	I,0	E2, EI				I13,I±0,1	0,77	I13,I	0,51	E2															
I17,2±0,2	0,18	I17,2	0,23	EI				I17,2±0,1	0,18																		
I23,6	~0,01																										
I24,4	~0,002																										
I34,6±0,2	0,03	I34,5		EI				I34,6±0,1	0,025																		
I41,4±0,2	0,13	I41,4		EI				I41,2±0,1	0,14																		

Продолжение таблицы II.4

$\gamma$  - излучение  $^{227}\text{Th}$

Briancon, Walen (210-69)	Briancon, Vieu (209-68, 211-71)	Davidson (260-68)	Vieu (38-67)	Treherne (678-65)	Filger (586-57)									
$E_{\gamma}$ , кэВ	$I_{\gamma}, \%$	$E_{\gamma}$ , кэВ	$I_{\pi}, \%$	Мульти- поль- ность	$E_{\gamma}$ , кэВ	$I_{\gamma}, \%$	$E_{\gamma}$ , кэВ	$I_{\gamma}, \%$	Мульти- поль- ность	$E_{\gamma}$ , кэВ	$I_{\gamma}, \%$	$E_{\gamma}$ , кэВ	$I_{\pi}, \%$	Мульти- поль- ность
150,3 $\pm$ 0,5	0,000				162,2 $\pm$ 0,3	0,006								
(162,1 $\pm$ 0,5)~0,009					164,8 $\pm$ 0,3	0,008								
164,9 $\pm$ 0,5	0,015				168,6 $\pm$ 0,3	0,006								
168,7 $\pm$ 0,5	0,015				173,5 $\pm$ 0,3	0,016								
173,5 $\pm$ 0,3	0,016	173,5 ~0,05	MI+E2	173,4 $\pm$ 0,2	0,10	173,5		(MI)		173,3 ~I	E2			
184,7 $\pm$ 0,3	0,04	184,7 0,020	EI	184,8 $\pm$ 0,2	0,29									
197,8 $\pm$ 0,5	0,015													
201,0 $\pm$ 0,4	0,033				201,4 $\pm$ 0,3	0,028								
204,3 $\pm$ 0,2	0,2I	204,3 0,35	E2	204,3 $\pm$ 0,2	0,25									
205,0 $\pm$ 0,2	0,15	205,0 0,50	MI			205 0,12	(MI)	205 0,34	205,0 0,4	MI				
206,2 $\pm$ 0,2	0,22	206,I 0,30	E2	206,0 $\pm$ 0,2	0,22	206,I 0,22	E2							
210,7 $\pm$ 0,2	I,I	210,6 I,I	EI	210,6 $\pm$ 0,1	0,99	210,7 0,8	EI	210 0,8						
212,2	0,05	212,2 0,09	E2			212	E2							
213,0	0,06	212,7 0,20	MI+E2	212,7 $\pm$ 0,2	0,064									
219,0 $\pm$ 0,2	0,II	219,0 ~0,3		218,9 $\pm$ 0,1	0,084	219 0,2								
225,5 $\pm$ I	~0,004	226,2 ~0,03	(MI)											
234,9	0,4	234,9 0,9	MI	234,9		234,9	MI		234,9 2,0	MI				
236,0 $\pm$ 0,2	I3	236,0 I4	EI	236,0 $\pm$ 0,1	10,35	236,0 9,7	EI	236 I0	236,I 10,6	EI				
246,2 $\pm$ 0,3	0,0I					245 0,13	(EI)	245 I,3	247,7	сля- (E2)				
250,2	0,4	250,2 ~0,6	E2+MI	250,1 $\pm$ 0,1	0,49	250,2 0,48	MI+E2	250 0,6	250,3	MI(EI)				
250,4		250,4 0,52	MI			250,4 0,12								
252,6	0,..	252,6 ~0,2	MI	252,5 $\pm$ 0,2	0,II									
254,7	0,5	254,7 0,50	EI	254,2 $\pm$ 0,2	0,46									
256,3 $\pm$ 0,2	7,4	256,3 9,5	E2	256,2 $\pm$ 0,1	6,03	256,2 5,8	E2	256 5,7	256,4 7,I	E2				
263,0 $\pm$ 0,2	0,I	263,0 0,10	EI	262,9 $\pm$ 0,2	0,10	263 0,19	(EI)							
(268,0 $\pm$ 0,5)	0,006	(268,0)				~269	(EI)							
273,0 $\pm$ 0,2	0,5	273,0 ~0,7	(MI+E2)	272,5 $\pm$ 0,2	0,48	273,0 0,50	MT+EP							
279,8 $\pm$ 0,2	0,05	279,7 0,18	MI	279,5 $\pm$ 0,2	0,039	279,8 0,II	MI+E2		280,0	MI(EI)				
281,4 $\pm$ 0,2	0,17	281,4 0,40	MI+E2	281,3 $\pm$ 0,1	0,17	281,5 0,18	MI+E2	281 0,30	281,3 ~2	(MI+E2)				
285,4 $\pm$ 0,3	0,05			283,8 $\pm$ 0,3	0,066									
286,2 $\pm$ 0,2	I,6	286,2 2,9	MI+E2	286,1 $\pm$ 0,1	I,5	286,2 I,7	(MI)	286 I,8	286,I I,5	MI				
292,5 $\pm$ 0,3	0,07	(292,7) ~0,I	(EI)	292,4 $\pm$ 0,2	0,039					289,7 ~0,9	(E2)			
296,6 $\pm$ 0,2	0,48	296,6 0,9	MI	296,4 $\pm$ 0,2	0,42	296,6 0,4	MI	296 0,4	296,8 ~2,5	P2				
300,0 $\pm$ 0,2	2,2	300,0 2,7	EI	299,8 $\pm$ 0,1	I,86	300,0 2,4	EI	300 2,4	300,0 ~I	(E2)				
		300,3 ~0,I	MI											
304,5 $\pm$ 0,2	I,0	304,5 2,2	MI	304,4 $\pm$ 0,2	0,89	304,5 I,0	MI	304 I,0	304,5 ~2	MI(E2)				
308,4 $\pm$ 0,3	0,0I4	308,5 ~0,03	MI											
312,7 $\pm$ 0,2	0,5	312,7 0,9	MI+E2	312,6 $\pm$ 0,2	0,43	312,7 0,5	MI+E2	313 0,8	312,7 3,5	E2				
314,9 $\pm$ 0,2	0,47	314,9 0,5	EI	314,8 $\pm$ 0,2	0,39	316 0,55	EI+M2	316 0,3						
319,2 $\pm$ 0,2	0,034	319,3 ~0,06	(MI+E2)	319,4 $\pm$ 0,2	0,02	321 0,1		324 0,I						
(326,4 $\pm$ 0,5)~0,03	~325	~0,02	MI			327								
329,9 $\pm$ 0,2	2,8	329,9 2,8	EI	329,7 $\pm$ 0,1	2,37	329,7 2,9	(EI)	331 2,9	329,7 I,6	E2				
334,5 $\pm$ 0,2	I,I	334,5 I,5	MI+E2	334,2 $\pm$ 0,1	0,865	334,4 I,I	MI+E2	335 I,I	334,3 5,2	E2				
342,5 $\pm$ 0,2	0,42	342,5 0,5	E2+MI	342,4 $\pm$ 0,1	0,33	342,4 0,5	E2+M3	343 0,48						

Продолжение таблицы II.4

$\gamma$ -излучение  $T_{\text{h}}^{227}$

Briancon, Walen [210-69]				Briancon, Vieu [209-68, 211-71]				Davidson [260-68]				Vieu [38-67]				Treherne [678-65]				Piller [586-57]			
$E_{\gamma}$ , кэВ.	$I_{\gamma}$ , %	$E_{\delta}$ , кэВ.	$I_{\delta}$ , %	Мульти- поль- ность	$E_{\gamma}$ , кэВ.	$I_{\gamma}$ , %	$E_{\delta}$ , кэВ.	$I_{\delta}$ , %	Мульти- поль- ность	$E_{\gamma}$ , кэВ.	$I_{\gamma}$ , %	$E_{\delta}$ , кэВ.	$I_{\delta}$ , %	Мульти- поль- ность	$E_{\gamma}$ , кэВ.	$I_{\gamma}$ , %	$E_{\delta}$ , кэВ.	$I_{\delta}$ , %	Мульти- поль- ность				
346,5 $\pm$ 0,5	0,01				346,5 $\pm$ 0,2	0,005																	
350,5 $\pm$ 0,2	0,12	350,5	0,15	MI	350,6 $\pm$ 0,2	0,118	351	0,19	{ MI+E2 MI+M2 }	351	0,18												
352,7 $\pm$ 0,3	0,013	352,6		MI																			
362,6 $\pm$ 0,2	0,005				362,3 $\pm$ 0,3	0,005																	
369,4	$\sim$ 0,006				369,4 $\pm$ 0,3	0,006																	
370,9	$\sim$ 0,007							371	0,04		371	0,04											
374,5 $\pm$ 1	$1,4 \cdot 10^{-3}$				376,0 $\pm$ 0,3	0,006																	
(382,5 $\pm$ 1)	$\sim 6 \cdot 10^{-3}$				382,2 $\pm$ 0,3	0,006																	
383,6 $\pm$ 0,2	0,05	383,6	$\sim 0,07$	MI+E2	383,3 $\pm$ 0,2	0,044	383	0,09		384	0,07												
(399 $\pm$ 1,5)	$\sim 2 \cdot 10^{-3}$				398,9 $\pm$ 0,4	0,009	396	0,011															
402,6 $\pm$ 0,3	0,012							403	0,040		404	0,04											
415,2 $\pm$ 0,3	$1,7 \cdot 10^{-3}$								$\sim 415$	0,010													
432,4 $\pm$ 0,2	$5 \cdot 10^{-3}$				432,4 $\pm$ 0,3	0,007	433	0,010	(M3)														
					438,0 $\pm$ 0,3	0,007																	
442,5 $\pm$ 1	$6 \cdot 10^{-5}$				442,8 $\pm$ 0,3	0,004																	
445	$< 1 \cdot 10^{-3}$								$\sim 445$	0,060													
448 $\pm$ 0,6	$\sim 1,5 \cdot 10^{-4}$																						
452,7 $\pm$ 0,6	$\sim 1 \cdot 10^{-4}$																						

Briancon, Walen [210-69]

$E_{\gamma}$ , кэВ.	$I_{\gamma}$ , %	$E_{\delta}$ , кэВ.	$I_{\delta}$ , %	$E_{\gamma}$ , кэВ.	$I_{\gamma}$ , %	$E_{\delta}$ , кэВ.	$I_{\delta}$ , %
457,5 $\pm$ 1	$\sim 7 \cdot 10^{-5}$	641,0 $\pm$ 0,5	$2 \cdot 10^{-5}$	784,2 $\pm$ 0,5	$1 \cdot 10^{-4}$	891 $\pm$ 1	$2 \cdot 10^{-5}$
(462 $\pm$ 1)	$\sim 5 \cdot 10^{-5}$	644,2 $\pm$ 0,5	$5 \cdot 10^{-5}$	787,4 $\pm$ 0,5	$\sim 1 \cdot 10^{-4}$	893 $\pm$ 1	$1,3 \cdot 10^{-5}$
(466,5 $\pm$ 1)	$\sim 5 \cdot 10^{-5}$	(649,5 $\pm$ 0,5)	$2 \cdot 10^{-5}$	792,6 $\pm$ 0,6	$7 \cdot 10^{-5}$	896,1 $\pm$ 0,5	$1,1 \cdot 10^{-4}$
480 $\pm$ 1	$\sim 3 \cdot 10^{-4}$	663,1 $\pm$ 0,5	$6 \cdot 10^{-5}$	796,8 $\pm$ 0,2	$8 \cdot 10^{-4}$	908,2 $\pm$ 0,2	$2,1 \cdot 10^{-3}$
.82 $\pm$ 1	$1,4 \cdot 10^{-4}$	692,0 $\pm$ 0,7	$4 \cdot 10^{-5}$	803,5 $\pm$ 0,2	$9,7 \cdot 10^{-4}$	910 $\pm$ 1	$1,5 \cdot 10^{-5}$
493,1 $\pm$ 0,2	$5,5 \cdot 10^{-4}$	(704,3 $\pm$ 0,5)	$8 \cdot 10^{-5}$	(807,5)	$\sim 5 \cdot 10^{-5}$	920 $\pm$ 0,5	$1,2 \cdot 10^{-5}$
507,4 $\pm$ 0,3	$4 \cdot 10^{-4}$	707,2 $\pm$ 0,7	$4 \cdot 10^{-5}$	812,2 $\pm$ 0,2	$2,7 \cdot 10^{-3}$	927 $\pm$ 1	$7 \cdot 10^{-6}$
516,4 $\pm$ 0,3	$1,8 \cdot 10^{-4}$	(718,5 $\pm$ 1)	$3 \cdot 10^{-5}$	818,0 $\pm$ 1	$\sim 1 \cdot 10^{-4}$	938 $\pm$ 0,8	$\sim 1 \cdot 10^{-5}$
524,3 $\pm$ 0,4	$1,5 \cdot 10^{-4}$	722,1 $\pm$ 0,6	$3,8 \cdot 10^{-4}$	823,1 $\pm$ 0,2	$2,5 \cdot 10^{-3}$	941,6 $\pm$ 0,3	$7,2 \cdot 10^{-5}$
535 $\pm$ 1,2	$1 \cdot 10^{-4}$	723,6 $\pm$ 0,6	$2,7 \cdot 10^{-4}$	826,0 $\pm$ 1	$2 \cdot 10^{-4}$	958,7 $\pm$ 0,3	$6,2 \cdot 10^{-5}$
537,0 $\pm$ 0,3	$1,1 \cdot 10^{-3}$	734,4 $\pm$ 0,5	$1 \cdot 10^{-4}$	828,5 $\pm$ 0,5	$2 \cdot 10^{-4}$	970,0 $\pm$ 0,4	$3 \cdot 10^{-5}$
552,4 $\pm$ 0,5	$2,3 \cdot 10^{-4}$	735,5 $\pm$ 0,5	$1,6 \cdot 10^{-4}$	837,3 $\pm$ 0,3	$4 \cdot 10^{-4}$	(971,7 $\pm$ 1)	$\sim 1 \cdot 10^{-5}$
556,5 $\pm$ 0,5	$2,2 \cdot 10^{-4}$	738,4 $\pm$ 1	$7 \cdot 10^{-5}$	842,2 $\pm$ 0,3	$6 \cdot 10^{-4}$	(988 $\pm$ 1)	
569,0 $\pm$ 0,3	$6 \cdot 10^{-4}$	746,4 $\pm$ 0,7	$1 \cdot 10^{-4}$	846,7 $\pm$ 0,5	$1,5 \cdot 10^{-4}$	990 $\pm$ 0,7	$3,5 \cdot 10^{-5}$
575,7 $\pm$ 0,7	$1,3 \cdot 10^{-4}$	748,5 $\pm$ 0,5	$3 \cdot 10^{-4}$	848,7 $\pm$ 0,5	$6 \cdot 10^{-5}$	995 $\pm$ 1	$\sim 7 \cdot 10^{-6}$
578,5 $\pm$ 0,7	$1,3 \cdot 10^{-4}$	754,0 $\pm$ 0,6	$\sim 1 \cdot 10^{-4}$	854,3 $\pm$ 0,5	$7 \cdot 10^{-5}$	999,8 $\pm$ 0,5	$3 \cdot 10^{-5}$
589 $\pm$ 0,6	$6 \cdot 10^{-5}$	756,9 $\pm$ 0,2	$\sim 1 \cdot 10^{-3}$	857,3 $\pm$ 0,7	$6 \cdot 10^{-5}$	1015,2 $\pm$ 0,7	$1,5 \cdot 10^{-5}$
(596 $\pm$ 1)	$\sim 1 \cdot 10^{-5}$	767,2 $\pm$ 0,5	$2,6 \cdot 10^{-4}$	858,8 $\pm$ 0,3	$2,4 \cdot 10^{-4}$	1020 $\pm$ 1	$2 \cdot 10^{-5}$
607,5 $\pm$ 0,4	$1,8 \cdot 10^{-4}$	766,3 $\pm$ 0,5	$3 \cdot 10^{-4}$	(863 $\pm$ 1)	$2 \cdot 10^{-5}$	1025 $\pm$ 1	$1,5 \cdot 10^{-5}$
621,4 $\pm$ 0,5	$6 \cdot 10^{-5}$	773 $\pm$ 0,8	$1,3 \cdot 10^{-4}$	867,5 $\pm$ 0,5	$7 \cdot 10^{-5}$		
623,8 $\pm$ 0,5	$1,6 \cdot 10^{-4}$	775,3 $\pm$ 0,2	$1,5 \cdot 10^{-3}$	876,2 $\pm$ 0,4	$1,6 \cdot 10^{-4}$		
632,3 $\pm$ 0,7	$1,4 \cdot 10^{-4}$	780,5 $\pm$ 0,3	$3,2 \cdot 10^{-4}$	878,2 $\pm$ 0,4	$1,2 \cdot 10^{-4}$		

Таблица П.5  
 $\alpha$ -распад  $Th^{228}$

Баранов [136-53, 645-57]			Баранов [28 - 70]		
$E_{\alpha}$ , кэВ	$E^{\text{н}}$ , кэВ	$I_{\alpha}, \%$	$E_{\alpha}$ , кэВ	$E^{\text{н}}$ , кэВ	$I_{\alpha}, \%$
5427±1	0	71	5420	0	72,7
5344	84,5	28	5338,6	83	26,7
5214	218,5	0,4	5209	215	0,36
5179	262	0,2	5171,5	253	0,18
5143	289	0,03	5136	289	~0,05

Таблица П.6  
 $\gamma$ -излучение  $Th^{228}$

Stephens [645-57, 648-57]		Newton [558-54]		Dalmasso [258-60]	
$E_{\gamma}$ , кэВ	$I_{\gamma}, \%$	$E_{\gamma}$ , кэВ	$I_{\gamma}, \%$	$E_{\gamma}$ , кэВ	$I_{\gamma}, \%$
84,47	1,6	84,4	100	84,47 E2	$I, 21 \pm 0,06\%$
				[603-54]	[579-69]
I37	0,16	I32	10,5	I31,6±0,8	0,5
I69	0,13	I67	6	I66,5±0,8	0,5
205	0,03				
217	0,30	214	18	216,1±0,6	I, I
(234)	$7 \cdot 10^{-5}$				

Таблица П.7

$\alpha$ -распад  $Th^{229}$

Баранов [28-70, 3I-7I]			Engelkemeir [28I-60]			Гольдин [47-59]			Кочаров [76-59]		
$E_{\alpha}$ , кэВ	$E^{\text{н}}$ , кэВ	$I_{\alpha}, \%$	$E_{\alpha}$ , кэВ	$E^{\text{н}}$ , кэВ	$I_{\alpha}, \%$	$E_{\alpha}$ , кэВ	$E^{\text{н}}$ , кэВ	$I_{\alpha}, \%$	$E_{\alpha}$ , кэВ	$E^{\text{н}}$ , кэВ	$I_{\alpha}, \%$
5077	0	0,01	>5070	<6	<0,2						
5062	25	1,6									
~5050	(~27)	5,2	5051	25	8,0	5054	22	6,7	5046±5	26	8
~5033	~43	0,24				5034	42	~0,2			
						5009	68	~0,1			
4977,9±1,2	I0I	3,2	4975	I02	5,6	4977	I00	3,4	497I±IO	I02	IO
4966,9±1,2	II2	6,4	4966	II2	5,7	4967	III	6,0			
4929	I50	0,II				4930	I48	0,25			
4900,4±1,2	I80	IO,8	490I	I78	I0,6	4899	I80	I0,7	4896±IO	I79	I2
~4878	(~203)	~0,03									
~4865	(~2I6)	~0,03									
~486I	~220	0,18									
~4852	(~230)	~0,03									
4844,7±1,2	236	56,2	4845	235	56,I	4842	238	58,2	484I±5	235	60
~4837	~244	4,8									
~4833	(~249)	~0,29									
48I4,0±I,2	268	8,4	48I4	266	I0,I	48II	269	II,4	48II±IO	265	IO
~4809	~273	~0,22									
4797,2±I,2	285	I,27	4797	284	2,0	4793	288	I,0			
476I	32I	0,63	4763	3I8	I,5	4756	325	I,5			
~4754	~328	~0,05									
~4748	(~335)	$5 \cdot 10^{-3}$									
~4737	(~347)	~0,0I									
4692	392	~0,08	4695	388	0,4	4683	399	0,4			
~4688	~396	0,15									
~4667	(~4I7)	~ $10^{-3}$									
4598	427	$\sim 7 \cdot 10^{-3}$	4608	476	0,05						
4484	603	$\sim 9 \cdot 10^{-3}$	4480	606	0,03						
4478	609	$\sim 5 \cdot 10^{-3}$									

Таблица П.8

 $\beta^-$ -излучение  $T_{\text{h}}^{229}$ 

Третылков [100-70]				Гольдин [47-59]		Engelke-meir [283-60]		Третылков [100-70]				Гольдин [47-59]		Engelke-meir [283-60]	
$E_{\gamma}$ , кэВ	$I_{\gamma}, \%$	$I_n, \%$	Мульти-поль-ность	$E_{\gamma}$ , кэВ	$E_{\gamma}$ , кэВ	$E_{\gamma}$ , кэВ	$I_{\gamma}, \%$	$I_n, \%$	Мульти-поль-ность	$E_{\gamma}$ , кэВ	$E_{\gamma}, \%$	$E_{\gamma}, \%$	$E_{\gamma}, \%$		
II, I $\pm$ 0,1	10									140,3 $\pm$ 0,2					
17,36 $\pm$ 0,03	23	MI		17,2			142,95 $\pm$ 0,10		3,0	MI					
25,39 $\pm$ 0,02	60	MI+E2			25,3		147,8 $\pm$ 0,1								
30,3 $\pm$ 0,1	$\sim$ 10	(MI+E2)		(29,1)	27,9		148,3 $\pm$ 0,2		I, I	EI					
31,3 $\pm$ 0,2	4,0	I2	EI	(31,6)	31,5		150,2 $\pm$ 0,3								
37,8 $\pm$ 0,1	3	(E2)					151,6 $\pm$ 0,3								
42,76 $\pm$ 0,03	10	MI+E2		42,8	44,3		154,40 $\pm$ 0,07		4,I	MI	(154,4)	152,4			
53,2 $\pm$ 0,1	0,8	MI+E2					156,48 $\pm$ 0,04	2,2	6,I	MI	156,6				
56,60 $\pm$ 0,03	5,5	MI+E2		(56,8)			158,5 $\pm$ 0,07								
				(58,9)			161,6 $\pm$ 0,3								
68,18 $\pm$ 0,07	I,3	MI+E2					165,7 $\pm$ 0,3								
68,90 $\pm$ 0,04	6,3	E2		69,9			172,9 $\pm$ 0,1		I,0	MI					
75,20 $\pm$ 0,07	20	E2		75,5	75,1		179,8 $\pm$ 0,2		0,5		(179,6)				
75,3 $\pm$ 0,1	$\sim$ 3						184,0 $\pm$ 0,1		0,8						
86,3 $\pm$ 0,1	5	(MI+E2)					190,2 $\pm$ 0,2								
86,44 $\pm$ 0,05	I8	MI		(85,0)	86,2		193,63 $\pm$ 0,06	4,5	I5,2	MI	I93,4	I93,7			
I07,17 $\pm$ 0,05	II	MI+E2					204,9 $\pm$ 0,3								
I24,5 $\pm$ 0,1	$\sim$ 10						210,97 $\pm$ 0,10	3,2	I0,0	MI	210,5	210,2			
I24,7 $\pm$ 0,1	3,6 ~ 5	MI					218,1 $\pm$ 0,2								
I31,97 $\pm$ 0,05	2,7	MI		(I32,1)			236,2 $\pm$ 0,2								
I32,6 $\pm$ 0,1							242,6 $\pm$ 0,3					(242,0)			
I34,8 $\pm$ 0,1							243,5 $\pm$ 0,3								
I35,71 $\pm$ 0,07	0,4	MI(+E2)					261,0 $\pm$ 0,5								
I37,03 $\pm$ 0,06	I,6	9,2	MI		I37,2	I36,7	290,0 $\pm$ 0,5								

Таблица П.9

 $\alpha$ -распад  $T_{\text{h}}^{230}$ 

Bastin /175-65/		Hummel /435-56/		Valladas /683-53/			Hyde /443-64/		
$E_{\alpha}$ , кэВ	$E^{\alpha}$ , кэВ	$E_{\alpha}$ , кэВ	$I_{\alpha}, \%$	$E_{\alpha}$ , кэВ <sup>a)</sup>	$E^{\alpha}$ , кэВ	$I_{\alpha}, \%$	$E_{\alpha}$ , кэВ <sup>a)</sup>	$E^{\alpha}$ , кэВ	$I_{\alpha}, \%$
4684	0	4687	76	4682	0	75	4682	0	76
4617	68	4620	24	4612	71	25	4615	68	24
				4470	216	0,12	4476	210	0,12
				4440	246	0,03	4437	249	0,03
							(4368) <sup>x)</sup>	320	$10^{-3}$
							(4273) <sup>x)</sup>	416	$\sim 5 \cdot 10^{-6}$
							(4245) <sup>x)</sup>	445	$\sim 5 \cdot 10^{-6}$

x) Установлены по  $\beta$ -излучению.

Таблица П.10

 $\gamma$ -излучение  $T_{\text{h}}^{230}$ 

Stephens [645-57]			Третьяков [101-71]			Booth [200-56]		Rosenblum [602-54]
$E_{\gamma}$ , кэВ	$I_{\gamma}$ , %	Мульти-помощь	$E_{\gamma}$ , кэВ	$I_{\gamma}$ , %	Мульти-помощь	$E_{\gamma}$ , кэВ	$I_{\gamma}$ , отн.ед.	$E_{\gamma}$ , кэВ
68	0,59	E2	67,73±0,03	23,4	E2	68	64	67,76
110	$1 \cdot 10^{-4}$							
142	0,07	(E2)	143,6±0,2	0,14	E2	142	8	141
184	0,014	E1	185,8±0,4	0,010	E1	195	0,5	
206	$\sim 5 \cdot 10^{-6}$							203
235	$\sim 5 \cdot 10^{-6}$							
253	0,016	E1	253,5±0,5	0,026	E1	255	0,3	257
~253	$\sim 8 \cdot 10^{-4}$							

Таблица П.11

 $\beta$  - распад  $T_{\text{h}}^{231}$ 

Баранов /12-60/		Juliano /465-57/		Freedman /315-53/	
$E_{\beta}$ макс., кэВ	$I_{\beta}$ , %	$E_{\beta}$ макс., кэВ	$I_{\beta}$ , %	$E_{\beta}$ макс., кэВ	$I_{\beta}$ , %
~90	6	90	8	94	45
138	22	134	20		
218	20	218	33	216	11
302	52	299	39	302	44

Таблица П.12

 $\gamma$ -излучение  $T_{\text{h}}^{231}$ 

Hollander /418-66; 412-56/			Баранов /12-60/			Mize /550-56/	Freedman /315-53/	
$E_{\gamma}$ , кэВ	$I_{\gamma}$ , отн.ед.	$I_{\gamma}$ , %	Мульти-помощь	$E_{\gamma}$ , кэВ	$E_{\gamma}$ , кэВ	Мульти-помощь	$E_{\gamma}$ , кэВ	$I_{\gamma}$ , отн.ед.
I7,2I				(II,03)	II,0			
I8,07				(I7,I2)	I7			
				(I8,05)				
				I9,85	I9,8			
25,65	12,5	E1		25,64	25,6	25	E1	25,5
				30,64	(30,6)			
42,8	6,7			52,14	52	~51		
58,54	6	E2		58,53	58,5		E2	58,5
				59,0I			E2	59
				62,05				
63,79				63,33	(63)			
				(66,3)	(66)			
68,50				68,5	(68)			
72,7	3,4			73,23				71,9
76,04				76,0				

Продолжение таблицы П.И2

 $\gamma$ -излучение Th 231

Hollander [418-66, 412-56]				Баранов [12-60]				Mize [550-56]		Freedman [315-53]	
E <sub>γ</sub> , кэВ	I <sub>γ</sub> , отн.ед.	I <sub>γ</sub> , %	Мульти- польность	E <sub>γ</sub> , кэВ	E <sub>γ</sub> , кэВ	Мульти- польность	E <sub>γ</sub> , кэВ	Мульти- польность	E <sub>γ</sub> , кэВ	I <sub>γ</sub> , отн.ед.	
81,22	I3	4	MI	81,16	81,0	EI	81,2	MI+E2			
82,07	7		MI	82,03	(82)						
84,20	I00	7,2	EI	84,16	84,1	~ 84	EI	84,I	MI+E2	85	I00
				85,I							
89,94	I5			89,84	92						
				95,24							
99,27	2,I	2,4		99,07	99	95+99		97,4			
I02,2	7										
I06,8	0,34			I06,5	I06,5				I07		6,5
II2,6	0,29										
(II5,4)	0,03										
II6,8	0,38										
I24,9	I,0								I22		2
I34,0	0,42										
I35,66	I,3			I35,8		(I36)		I40			
I45,90	0,5	0,2		I45,6		I45					
				(I53,8)							
I63,10	2,4	0,2	MI	I63,28		I63					
I64,7	0,I3			I69,2			I65,2		I67		I,8
I74,I	0,29			I77,I		I80					
I83,4	0,5	~ 0,06									
I88,7	0,05										
2I8,0	0,6	0,05			2I8		223		208		0,3
236,1	0,I3								230		0,I
249,8	0,0I7				250						
267,8	0,02										
~3I0		0,004			~3I0						

Таблица П.И3

 $\gamma$ -излучение Th 233

Sebille [618-68, 619-68]			Vara [694-69]		Freedman [318-57]		Sebille [618-68, 619-68]			Vara [694-69]		Freedman [318-57]		
E <sub>γ</sub> , кэВ	I <sub>γ</sub> , отн.ед.	E <sub>γ</sub> , кэВ	E <sub>γ</sub> , кэВ	E <sub>γ</sub> , кэВ	I <sub>γ</sub> , %	E <sub>γ</sub> , кэВ	I <sub>γ</sub> , отн.ед.	E <sub>γ</sub> , кэВ	I <sub>γ</sub> , %					
		6,68±0,05				517,0±0,5	2,9							
		8,22±0,05				526,5±0,4	27							528,0
29,35±0,03	690	29,36±0,04		29,2	2,I	531,8±0,6	I,8							
57,15±0,03	23	57,14±0,04		56,7	0(e <sup>-</sup> )	552,1±0,4	I0							553,5
		63,93±0,06				554,9±0,6	I,5							
74,7 ±0,I	22		76,I			562,7±0,4	30							564,0
		80,0 ±0,I				573,5±0,5	I8							576,9
86,50±0,05	II50	86,50±0,05	88,2	86,9	2,7									583,6
		94,7 ±0,I	94,5			595,2±0,4	69	595,I±0,3	596,0	590				
			I06,8			599,I±0,5	20							
131,I ±0,I	24					609,9±0,4	36							609,8

Продолжение таблицы П.13

$\gamma$ -излучение  $^{233}\text{Th}$

Sebille [618-68, 619-68]				Vara [694-69] Freedman [318-57]				Sebille [618-68, 619-68]				Vara [694-69] Freedman [318-57]			
$E_{\gamma}$ , кэВ	$I_{\gamma}$ , отн.ед.	$E_{\delta}$ , кэВ	$E_{\gamma}$ , кэВ	$E_{\delta}$ , кэВ	$I_{\gamma}$ , %	$E_{\gamma}$ , кэВ	$I_{\gamma}$ , отн.ед.	$E_{\delta}$ , кэВ	$E_{\gamma}$ , кэВ	$I_{\gamma}$ , %	$E_{\delta}$ , кэВ	$E_{\gamma}$ , кэВ	$I_{\gamma}$ , %		
143,2 $\pm$ 0,1	6		138,9 $\pm$ 0,1			642,3 $\pm$ 0,6	I2				641,9				
151,5 $\pm$ 0,2	4					663,4 $\pm$ 0,7	I				659,5				
153,6 $\pm$ 0,1	28					669,7 $\pm$ 0,5	290		669,3 $\pm$ 0,4		670,5	670	0,25		
162,5 $\pm$ 0,1	96	162,52 $\pm$ 0,08	161,9			677,6 $\pm$ 0,5	37				680,1				
169,1 $\pm$ 0,2	120			170,3	I7I 0,7	698,4 $\pm$ 0,6	5								
179,0 $\pm$ 0,2	I6	179,0 $\pm$ 0,2				703,6 $\pm$ 0,6	4,5								
186,8 $\pm$ 0,2	I4	186,8 $\pm$ 0,1				707,8 $\pm$ 0,6	5				707,9				
193,54 $\pm$ 0,08	55	190,54 $\pm$ 0,08	191,2			716,8 $\pm$ 0,5	24				718,1				
195,0 $\pm$ 0,2	70				I95 0,3	724,9 $\pm$ 0,5	37				724,0				
201,6 $\pm$ 0,2	I3	201,6 $\pm$ 0,2				740,9 $\pm$ 0,6	I3				740,5				
210,1 $\pm$ 0,4	I5	210,6 $\pm$ 0,2				744,9 $\pm$ 0,7	2,9								
211,3 $\pm$ 0,4	8	211,3 $\pm$ 0,2				751,6 $\pm$ 0,8	I				751,0				
216,6 $\pm$ 0,3	6,3	216,2 $\pm$ 0,2				757,6 $\pm$ 0,6	I8				757,0	751			
226,1 $\pm$ 0,2	9,6	226,1 $\pm$ 0,1				764,3 $\pm$ 0,6	49				763,1				
			239,6			774,0 $\pm$ 0,6	5,9				775,7				
250,5 $\pm$ 0,5	2					782,7 $\pm$ 0,8	2,6								
252,9 $\pm$ 0,3	5					784,2 $\pm$ 0,8	2,I				785,0				
257,3 $\pm$ 0,15	29	257,3 $\pm$ 0,1	258,0	253		804,8 $\pm$ 0,8	I3				792,2				
278,7 $\pm$ 0,5	3,3		278,0			806,4 $\pm$ 0,8	5,7				801,0				
285,5 $\pm$ 0,3	9	285,3 $\pm$ 0,2			328,6	811,4 $\pm$ 0,7	3,3				811,9				
346,6 $\pm$ 0,3	5					815,9 $\pm$ 0,7	I2								
359,9 $\pm$ 0,2	50	359,9 $\pm$ 0,2	359,3	359		817,0 $\pm$ 0,8	6,7								
361,4 $\pm$ 0,3	I6		362,9			846,8 $\pm$ 0,9	0,6								
368,0 $\pm$ 0,4	2					849,3 $\pm$ 0,8	2								
377,2 $\pm$ 0,3	I6		377,2			871,0 $\pm$ 0,8	0,9								
399,0 $\pm$ 1	6					873,8 $\pm$ 0,8	3,5				873,0				
408,8 $\pm$ 0,5	I,6					880,7 $\pm$ 0,7	3,3				879,5				
412,5 $\pm$ 0,5	5,7	412,5 $\pm$ 0,3	413,8			890,6 $\pm$ 0,7	6I				887,2	895	0,14		
418,4 $\pm$ 0,5	5					898,4 $\pm$ 0,9	1,4								
431,0 $\pm$ 0,4	9,8	430,8 $\pm$ 0,3				935,9 $\pm$ 0,7	21				931,0	>900			
433,0 $\pm$ 0,5	6					942,0 $\pm$ 0,9	3,3				(939,5)				
441,0 $\pm$ 0,3	I03	441,0 $\pm$ 0,3	441,5			948,0 $\pm$ 0,9	3,2								
447,7 $\pm$ 0,3	62	447,8 $\pm$ 0,3	445,3			960,8 $\pm$ 0,9	2,9								
459,2 $\pm$ 0,2	600	459,2 $\pm$ 0,2	460,5	453	I	962,8 $\pm$ 0,9	0,6								
467,5 $\pm$ 0,4	7,8					969,1 $\pm$ 0,8	4,9				(966,5)				
473,9 $\pm$ 0,5	I,5					978,1 $\pm$ 0,8	3,2				976,8				
490,8 $\pm$ 0,3	74	490,7 $\pm$ 0,2	492,0			984,8 $\pm$ 0,8	6,2								
497,1 $\pm$ 0,5	9		(496,5)			995 ± I	0,4								
499,0 $\pm$ 0,3	9I	498,8 $\pm$ 0,3	500,0			1001 ± I	0,5								
505,5 $\pm$ 0,6	2,I					1008 ± I	I,2								
513,6 $\pm$ 0,4	8,6			512,3		1012 ± I	I,7								
						1146 ± I	I,2								

Таблица П.14

 $\beta$  - распад  $\text{Th}^{234}$ 

Poucher /310-62/		Ong Ping Hok /57I-56/		Johansson /458-54/		De Haan /263-55/	
$E_{\beta}$ , кэВ	$I_{\beta}, \%$	$E_{\beta}$ , кэВ	$I_{\beta}, \%$	$E_{\beta}$ , кэВ	$I_{\beta}, \%$	$E_{\beta}$ , кэВ	$I_{\beta}, \%$
191	81	193	79	193	72	191	65
97,9	12,5	103	21	101	28	100	35
97,5	6,5						

Таблица П.15

 $\gamma$  - излучение  $\text{Th}^{234}$ 

Poucher /310-62/			Мульти- польность	Ong Ping Hok /57I-56/		Johansson /458-54/	
$E_{\gamma}$ , кэВ	$I_{\gamma}, \%$	$I_{\gamma}, \%$		$E_{\gamma}$ , кэВ	$I_{\gamma}, \%$	$E_{\gamma}$ , кэВ	$I_{\gamma}, \%$
29,88	4,5		E2	29,0	5	29	6,5
63,21	0,3	3,5	MI(+E2)	62,8	5	64	6,5
63,64	4,8		E1				
93,08	12,1	4	MI	91,4	16	93	14,8
93,52	2,7		E1				
Poucher /311-65/ I <sub>γ</sub> , отн.ед.							
I15		I2	E1				
I36		I,0	MI				
I55		0,75	MI				
I67		0,7	MI				
I84		0,4	MI				

Таблица П.16

 $\lambda$ -распад  $\text{Ra}^{227}$   
[394-58; 665-63]

$E_{\lambda}$ , кэВ	$E_{\lambda}$ , кэВ	$I_{\lambda}, \%$
6467	0	50,7
6425	42,4	11,8
6417	50,5	15,2
6403	64,7	9,6
6378	90,6	2,6
6358	110,3	8,0
6338	131,3	0,7
6328	141,3	0,4
6301	168,3	0,8

Таблица П.17

 $\lambda$ -распад  $\text{Ra}^{228}$  [394-58; 526-65]

$E_{\lambda}$ , кэВ	$E_{\lambda}$ , кэВ	$I_{\lambda}, \%$	$E_{\lambda}$ , кэВ	$E_{\lambda}$ , кэВ	$I_{\lambda}, \%$
6121	0	10,8	5944	180,6	0,5
6108	14,1	12,3	5925	200,4	0,8
6094	28,1	2,4	5910	215,5	1,1
6081	42,3	21,2	5877	248,6	1,4
6069	53,2	1,0	5861	265,6	0,3
6044	78,8	2,4	5845	280,3	0,4
6031	92,4	9,2	5807	319,2	7,5
6014	103,6	0,8	5801	325,4	11,6
6001	122,2	0,3	5781	345,9	1,4
5992	131,8	1,1	5767	359,7	2,1
5985	139,3	2,9	5762	364,4	1,4
5978	146,0	2,7	5758	369,5	2,6
5950	174,8	0,6	5713	415,4	1,0

Таблица П.18

 $\gamma$ -излучение  $\text{Ra}^{228}$   
(сопровождает  $\lambda$ -распад)  
[394-58]

$E_{\gamma}$ , кэВ	$I_{\gamma}$ , отн.ед.
130	27
150	34
170	11
200	14
220	10
240	55
280	49
310	100
345	21

Таблица П.19

 $\beta^-$ -излучение Ra<sup>228</sup> (сопровождает  $e^-$ -захват)

Arbman [130-60]			Ong Ping Hok [572-56]			Arbman [130-60]			Ong Ping Hok [572-56]			Amov [129-71]	
E <sub>f</sub> , кэВ	I <sub>f</sub> , %	Мульти-поль-ность	E <sub>f</sub> , кэВ	I <sub>f</sub> , отн. ед.	Мульти-поль-ность	E <sub>f</sub> , кэВ	I <sub>f</sub> , %	Мульти-поль-ность	E <sub>f</sub> , кэВ	I <sub>f</sub> , отн. ед.	Мульти-поль-ность	E <sub>f</sub> , кэВ	I <sub>f</sub> , отн. ед.
57,5	0,4	E2	57,48		E2	782,6	1,2	(E2)					
			77,7		E2+MI	792,2	0,6	MI					
99,4	0,12	MI	96,6		EI	795,8	4,5	(E2)	793				
129,1	3,9	E2	128,64		E2	817,4							
137,8	0,7	MI				831,4	3,5	E2					
			156		EI	835,8							
178,0	0,15	MI				836,4	5,9	E2					
184,5	0,50	MI	184,5	4	MI	841,0	1,9	E2					
(191,3)~0,5	(E2)					853,8	0,5	(E2)					
209,0~3,5		EI				871,0	8,0	(E2)					
224,0	1,2	MI	224		I8	889,0							
270,0	3,0	EI				905,2	3,0	E2				904,4±0,4	8,8
(278)	0,7	(E2)				912,2	27	E2	914			911,2	100
282,2	2,3	(MI+E2)	283,2		E2+MI	923	5	(E2)				921,7±0,3	24,I
327,5	3,2	EI				924	3	(E2)				923,8±0,5	10,8
327,5	2,2	(E2)	328,5			966	17,5	E2					
327,5	3,2	EI			I0	970	15,5	E2	968	40	E2(+MI)		
338,5	7,5	EI	337			976,8	6	E2					
341,1	2,5	E2				1034,1	0,8	(E2)					
(397)	2,0								I094				
409,7	I3,0	E2	4II,0	8	E2(+MI)(II23)	0,3	(E2)						
			445,4		II68								
(462)	2,8	(E2)										I247,6±0,6	2,9
463,3 25		E2	465,6	20	E2	I253		MI				I253,8±0,9	0,29
(469,2)						(I293)							
(617)						(I423)							
(622)						I464	0,6	(E2)				I459,1±0,6	I,73
641						(I489)							
662						(I503)	0,2	(E2)					
666						I563	0,9	(E2)					
(670)									I572	6			
680						I593	4	(E2)				I587,2±0,8	4,I
694						I624	1,4	(E2)					
704	0,35	(MI)				I678						I666,1±I,0	I,2
713	I,2	E2				I708	0,7	(E2)					
732						I744	2,0	(E2)				I737,6±0,7	2,60
739,6	0,12	(MI)				I758	0,5	(E2)				I757,3±0,8	I,50
745,6<5						I838	2,5	(E2)				I834,4±0,7	I,56
756,2	2,I	MI										I841,5±I,0	0,60
773,4	3,4	E2				I886	2,5	(E2)				I886,8±0,6	2,97

Таблица П.20  
 $\alpha$ -распад Ra<sup>229</sup> [394-58; 665-63]

$E_{\alpha}$ , кэВ	$E^X$ , кэВ	$I_{\alpha}$ , %	$E_{\alpha}$ , кэВ	$E^X$ , кэВ	$I_{\alpha}$ , %
5735	0	0,5	5537	202	8,8
5696	40	1,5	5518	221	0,6
5671	65	18,5	5502	237	0,73
5631	106	9,7	5480	259	1,72
5616	121	13,3	5423	317	0,07
5592	146	4,6	5414	329	0,15
5581	157	36,5	5321	421	0,05
5566	172	3,9			

Таблица П.21  
 $\gamma$ -излучение Ra<sup>229</sup> (сопровождает  $\alpha$ -распад)

H111 [394-58]			Subrahmanyam [665-63]	
$E_{\gamma}$ , кэВ	$I_{\gamma}$ , %	Мульти- польность	$E_{\gamma}$ , кэВ	Мульти- польность
40	10	EI	26	(M1)
			40	EI
			51	(M1+E2)
			52	
			64	
69	5		65	EI
81	2		71	EI
92	16	EI		
107	5			
120	2			

Таблица П.22  
 $\alpha$ -распад Ra<sup>230</sup> [175-65]

$E_{\alpha}$ , кэВ	$E^X$ , кэВ	$I_{\alpha}$ , %
5343	0	23
5338	5	15
5325	18	18
5310	33	13
5299	45	17
5286	58	3
5274	70	3
5267	77	3,5
5215	130	0,5
5181	165	0,5
5151	195	0,4
5117	230	0,6
5082	266	0,7
5058	290	0,4
4971	379	0,7
4932	418	0,4
4796	556	~0,03
4764	589	0,2

Таблица П.23

 $\gamma$  - излучение  $\text{Ra}^{230}$  (сопровождает  $e^-$  - захват)

Lourens [508-70]				Kurcewicz [484-70]				Briand [215-69]				Nielsen [561-61]			
$E_\gamma, \text{кэВ}$	$I_\gamma, \text{отн.ед.}$	$I_\gamma, \%$	Мульти-поль-ность	$E_\gamma, \text{кэВ}$	$I_\gamma, \text{отн.ед.}$	Мульти-поль-ность	$E_\gamma, \text{кэВ}$	$I_\gamma, \text{отн.ед.}$	Мульти-поль-ность	$E_\gamma, \text{кэВ}$	$I_\gamma, \%$	$I_\gamma, \%$	Мульти-поль-ность		
53,23±0,05	4,42	62		53,19±0,02	4,9	E2	53,15	~1,7		53	53	E2			
105,55±0,05															
120,52±0,05	5,9	2,3		120,93±0,02	7,8	E2	120,82	4,2	E2	122	2,0	E2			
228,0 ±0,5	10,1	0,17	E0+E2	228,8 ±0,6	≤0,4	E0	228		E0	230	≤0,06	0,4	E0		
(253,9 ±0,2)*	(0,3)	(0,02)		253,6 ±0,9	~0,35		253,30	0,4							
266,0 ±0,5	0,13														
274,24±0,10	I,4	0,09		274,6 ±0,9	2,0		274,25	I,5		280					
293,8 ±0,2	0,7	0,04		294,2 ±0,9	I,6		294								
298,3 ±0,5	0,4	0,02													
316,82±0,12	3,5	0,22		317,1 ±0,3	2,8		316,9	3,I		320					
332,25±0,10	I,I	0,06		332,2 ±0,4	I,5		331,9	0,8		340					
				(346,9)	≤0,5		346,5								
375,8 ±0,2	(I,3)	(0,07)		375±I	0,55		374,7	I,I	EI						
380,23±0,05	5,7	0,33		380,13±0,20	5,0	(E2)	380,15	6,4	E2,EI	379	0,45	(E2)			
398,05±0,05	32	I,82	EI	397,58±0,20	37		397,71	32,8	EI	398	I,35	I,35	(EI)		
400,10±0,10	II,5	0,83	E2+MI	399,8 ±0,6	II,7	E2+MI	399,95	II,7	MI	401	I,0	I,25	MI+E2		
				401,0 ±0,8	0,55										
				441 ±I	2,6	E2+MI	440,8	I,4	(MI)						
443,75±0,05	100	7,3	MI+E2	443,80±0,10	100	E2+MI	443,77	100	MJ	444	(9,0)	9,0	MI+E2		
				450±I	~0,2										
454,95±0,05	II5	6,85	EI	455,02±0,02	III	EI	454,90	II5	EI	456	5,0	7,0	EI		
463,65±0,05	I5,0	I,05	MI+E2	463,54±0,10	I5,9	E2+MI	463,57	I4,4	MI	464	2,0	MT+E2			
				503,0 ±I,0	I,2		504								
508,20±0,05	70	4,2	EI	508,20±0,08	65,3	EI	508,17	68,3	EI	508	4,2	4,9	EI		
518,58±0,05	37,0	2,2I	EI	518,48±0,08	36,8	EI	518,50	30,5	EI	520	I,5	I,6	EI		
556,05±0,10	3,7	0,22		556,18±0,10	3,8	E2+MI	555,8	3,9	E2						
571,08±0,05	20,0	I,22	E2	571,03±0,10	20,4	E2	571,26	I9,4	E2	572	I,0	I,0	E2		
581,85±0,10	2,4	0,14		581,1 ±0,4	2,I	E2	581,45	2,2	E2						
607,7 ±0,2	0,9	0,06		607,9 ±0,9	I,3		607								
619,69±0,05	2,7	0,17		620,0 ±0,4	3,7	E2	619,69	5,3	EI,E2						
624,5 ±0,3	0,9	0,22	E0+E2	624,6 ±0,4	0,83	E0+E2	624		E0	624	≤0,2		E0		
(634,9 ±0,2)	<0,1	0,09	E0	635,0	≤0,2	E0	634		E0	634	≤0,5		E0		
651,7 ±0,5	0,25	0,01		(651)	≤0,4										
677,5 ±0,2	I,0	0,06		678,0 ±I,0	~0,5										
728,16±0,05	36,0	2,2I	E2	728,29±0,12	3I,5	E2	728,17	34,4	(E2)	730	2,0	2,0	E2		
772,6 ±0,2	2,0	0,13		772,2 ±0,7	I,4	E2	772,20	2,6	E2						
781,3I±0,05	28,0	I,7	E2	781,32±0,12	25,5	E2	781,38	26,7	E2	783	I,6	I,75	E2		
836,12±0,10	{ I,1	0,07		835,4 ±0,7	I,2										
(839,52)		0,01													
898,7I±0,05	I08	6,4	EI	898,67±0,06	IOI	EI	898,53	IIO,6	EI	901	8,2	EI			
918,56±0,05	I56	9,3	EI	918,47±0,06	I45	EI	918,43	I6I,7	EI	920	I0,2	EI			

Продолжение таблицы П.23

$\gamma$ -излучение  $\text{Ra}^{230}$  (сопровождает  $e^-$ -захват)

Lourens [508-70]				Kuroewicz [484-70]				Briand [215-69]				Nielsen [561-61]			
$E_\gamma$ , кэВ	$I_\gamma$ , отн.ед.	$I_\gamma$ , %	Мульти-поль-ность	$E_\gamma$ , кэВ	$I_\gamma$ , отн.ед.	Мульти-поль-ность	$E_\gamma$ , кэВ	$I_\gamma$ , отн.ед.	Мульти-поль-ность	$E_\gamma$ , кэВ	$I_\gamma$ , %	$I_\gamma$ , %	Мульти-поль-ность		
951,99±0,06	525	31,3	EI	951,96±0,06	523	EI	951,90	556	EI	954	~35	38	EI		
				954±1	3										
956,6 ±0,2	27,5	1,7		956,2 ±0,5	31	(E2)	956,34	35,6	E2						
959,6 ±0,2	6,5	0,27		959,0 ±0,8	I3		959,50	9,4	EI						
				970±1	0,25										
				999,4 ±1,0	0,22										
1009,68±0,05	20,0	1,2	E2	1009,61±0,20	I9,2	E2	1009,44	21,1	(E2)	1012		I,5	(E2)		
1026,II±0,10	27,5	1,7	EI	1025,99±0,20	25,4	EI	1026,06	27,8	EI	1027	2,4	2,5	EI		
1074,66±0,05	14,5	0,9	EI	1074,64±0,20	I2,7	EI	1074,75	I3,9	EI						

\* Вероятно сопутствует  $\beta^-$ -распаду  $\text{Ra}^{230}$ .

Таблица П.24  
 $\alpha$ -распад  $\text{Ra}^{231}$

Баранов [24-68]		Баранов [14-61]			Hummel [434-55, 435-56]			Гольдин [45-55]		
$E_\alpha$ , кэВ	$E^*$ , кэВ	$E_\alpha$ , кэВ	$E^*$ , кэВ	$I_\alpha$ , %	$E_\alpha$ , кэВ	$E^*$ , кэВ	$I_\alpha$ , %	$E_\alpha$ , кэВ	$E^*$ , кэВ	$I_\alpha$ , %
5057,5±1	0	5051	0	II	5052	0	IO	5049	0	I2
5030,8	27	(5024)	27,4	~2,5						
5028,3	29	5022	29,4	≤20	5023	29,4	23	5020,5	29	23
5026,6	32	(5017)	~34							
5012,7	46	5005	46,5	25,4	5007	46,I	24	5006	44	26
5009,0	49									
4985,8±1	73	4977	75	I,4	4977	76,3	2,3	4974	76	I,5
		4967	85	0,4						
4950,3±1	I09	4943	II0	22,8	4943	III	22	4942	I09	24
		4926	I26,8	3,0	4926	I28	2,8			
		4892	~I60	0,002						
		4845	209,5	I,4	4844	2II	I,4	4847,6	205	I,5
		4787	268,2	0,04						
		4729	327	8,4	4727	330	II	4727	327	IO
		4705	35I,7	~I	470I	356	I,4	4704	35I	0,8
		4673	384,5	I,5	467I	387	2,I	467I	384	I,3
		4635	422,4	~0,I	(4632)	427	0,3			
		4624	434	~0,I						
		459I	467,4	0,015						
		4558	50I	0,008						
		4500	560	0,003						

Таблица II.25

 $\gamma$ -излучение  $\text{Ra}^{231}$ 

De Pinho [264-70]				Leang [492-70]				Lange [488-69]		Баранов [14-61]		Stephens [649-57]
$E_\gamma$ , кэВ	$I_\gamma$ , отн.ед.	$I_\gamma$ , %	Мультипольность	$E_\gamma$ , кэВ	$I_\gamma$ , %	Мультипольность	$E_\gamma$ , кэВ	$I_\gamma$ , отн.ед.	$E_\gamma$ , кэВ	$I_\gamma$ , %	Мультипольность	$E_\gamma$ , кэВ
14,1±0,1							15,5		16,5 ~20	MI		
16,5±0,1							18,2		19,6 ~2			18,88
~19							22,7		22,7 ~2			
24,5±0,1	~1											
25,54±0,06	~10			25,2±0,2~0,3		MI	25,3		25,4 <II	MI		25,3I
27,35±0,02	1000	46	EI	27,3±0,2	7	EI	27,3		27,4 ~50	EI		27,28
29,95±0,02	9,9	28	MI+E2	29,9±0,2	0,1	(MI+E2)	29,8		29,4	MI+E2		29,88
31,00±0,05	I,0						30,7					
31,54±0,05	0,7								40			
35,82±0,03	1,7			35,8±0,3	0,015	(EI)	35,6		34,0	MI		
38,20±0,02	16,0	I4	MI+E2	38,1±0,2	0,1	(MI+E2)	38,0		38,2 ~15	EI(+M2)		38,12
39,57±0,04	0,15						39,6					
39,97±0,02	I,3											
42,48±0,05	0,6											
43,05±0,05	0,7											
44,16±0,02	6,5			44,1±0,2	0,045	(MI)	43,9					(44,04)
46,37±0,02	22,4	0,4		46,2±0,2	0,13	(EI)	46,I					
50,98±0,05	0,15											
52,74±0,02	9,I			52,6±0,2	0,06	(MI+E2)	52,4					52,60
54,6I±0,02	8,7			54,5±0,2	0,06	(EI)	54,8					
56,76±0,04	0,6											
57,19±0,03	4,2	.7	E2	57,0±0,2	0,03	E2			57,0	E2		57,08
60,50±0,03	0,7			60,2±0,3	0,003	(EI)	59,4					
63,67±0,03	5,4	6	E2	63,5±0,2	0,03	E2	63,3		63,3	EI		63,5I
70,50±0,05	0,7											
71,9 ±0,1	0,2											
72,5 ±0,1	0,4											
74,18±0,04	2,7			74,1±0,3	0,02	E2						74,04
77,36±0,03	7,3			77,2±0,2	0,04	MI	77,I					77,22
96,88±0,03	9,5	I,3	E2	96,7±0,2	0,065	E2			96,C	(E2)		
100,92±0,04	3,4			100,5±0,5	0,012	E2			97,I	~1,5		96,68
~102,6	~2			102,5±0,4	0,044	E2	102,5		IC2,5 ~1,5	E2		100,66
							106,0					102,55
124,6 ±0,1	0,5			124,4±0,5	0,002							
144,5 ±0,1	I,3			144,4±0,5	0,004							
199±I	0,6			198,7±0,6	0,001							
242,2 ±0,1	0,9											
243,0 ±0,1	3,7			242,9±0,4	0,04		243,0	2,46				
245,4 ±0,1	0,8											
246,0 ±0,2	<0,1											
255,78±0,07	10,9			255,9±0,3	0,13		256,I	2,7I				
258,4 ±0,1	0,25											
260,14±0,08	I8,6	0,3	MI	260,2±0,3	0,18	E2+MI	260,2	8,I7	260,5			259,8

Продолжение таблицы П.25

$\gamma$ -излучение  $\text{Ra}^{231}$

De Pinho [264-70]				Leang [492-70]			Lange [488-69]			Баранов [I4-61]			Stephens [649-57.]
$E_\gamma$ , кэВ	$I_\gamma$ , отн.ед.	$I_\gamma$ , %	Мульти-польность	$E_\gamma$ , кэВ	$I_\gamma$ , %	Мульти-польность	$E_\gamma$ , кэВ	$I_\gamma$ , отн.ед.	$E_\gamma$ , кэВ	$I_\gamma$ , %	Мульти-польность	$E_\gamma$ , кэВ	
273,08 ± 0,09	6,2	0,1	MI+E2	273,2 ± 0,3	0,07		273,5	0,116					
276,99 ± 0,09	7,2			277,2 ± 0,3	0,08		277,7	0,028					
283,56 ± 0,06	I69	I,4	EI	283,7 ± 0,3	I,6	EI	283,9	43,I	285			283,I	
286,55 ± 0,10	1,6												
299,94 ± 0,06	244	2,7	MI	300,1 ± 0,2	2,3	E2+MI	300,5		300	2,2	M2	299,4	
302,52 ± 0,06	252	2,1	EI	302,7 ± 0,2	2,3	EI	303,2	I00	303			302,0	
310,0 ± 0,I	0,15												
312,88 ± 0,08	I0,2	0,14	MI	312,9 ± 0,3	0,II	E2+MI	313,0	I,76					
				318,1 ± 0,7	0,002								
327,02 ± 0,10	3,2			327,2 ± 0,4	0,04	EI							
329,89 ± 0,06	I40	I,8	MI	330,0 ± 0,2	I,3	E2+MI	330,2	I4,8	330	I	M2	329,2	
340,61 ± 0,07	I7,8	0,14	EI,E2	340,8 ± 0,2	0,16		341,0	I,60					
351,4 ± 0,I	0,38												
354,38 ± 0,08	I0,2	0,1	MI+E2	354,6 ± 0,2	0,10	MI+E2							
356,96 ± 0,07	I8,6	0,2	MI	357,2 ± 0,2	0,15	MI+E2	356,6					356,3	
359,25 ± 0,10	0,97			358,6 ± 0,4	0,006								
363,74 ± 0,10	0,80			363,9 ± 0,4	0,006		364,2						
374,9 ± 0,I	0,50			374,9 ± 0,4	0,003								
379,09 ± 0,08	5,3	0,06	MI+E2	379,2 ± 0,3	0,04		379,5	0,28 ~ 380					
384,7 ± 0,I	0,44			384,8 ± 0,3	0,002								
387,0 ± 0,I	0,05												
391,5 ± 0,I	0,73			391,7 ± 0,3	0,005		392,5	0,30					
395,5 ± 0,I	0,28			395,7 ± 0,4	0,001								
398,10 ± 0,08	I,00			398,1 ± 0,3	0,007		398,4	0,032					
407,71 ± 0,06	3,9			407,7 ± 0,3	0,02		408,I						
410,5 ± 0,I	0,20			410,3 ± I	0,001		410,5	0,145					
435,1 ± 0,I	0,36			434,9 ± 0,8	0,002								
437,9 ± 0,I	0,44			437,9 ± 0,8	0,004		437,9	0,020					
438,7 ± 0,I	0,16												
486,7 ± 0,3	0,19			486,6 ± I	0,001		487,2	<0,01					
491,0 ± 0,6	0,05			491 ± 2	I · 10 <sup>-4</sup>								
501,6 ± 0,5	0,06			501 ± I	2 · 10 <sup>-4</sup>								
509 ± I	0,03			510 ± I	5 · 10 <sup>-4</sup>		512,2	<0,01					
516,2 ± 0,6	0,14			516 ± I	8 · 10 <sup>-4</sup>		516,2	<0,01					
535,3 ± 0,7	0,05			535 ± I	5 · 10 <sup>-4</sup>								
546,6 ± 0,7	0,06			546 ± I	4 · 10 <sup>-4</sup>								
572,1 ± 0,8	0,05			571 ± 2	3 · 10 <sup>-4</sup>								
				583 ± 2	3 · 10 <sup>-4</sup>								
				590 ± 2	5 · 10 <sup>-4</sup>								

Таблица П.26

 $\beta$  - распад  $Pu^{232}$ 

Björnholm [191-63]		Баранов [16-61]		Ong Ping Hok [568-54]		Kaczarowski [466-70]		Browne [223-54]	
$E_{\beta}$ макс, кэВ.	$I_{\beta}, \%$								
$1295 \pm 20$	0,7			$1220 \pm 100$	9	$1240$	6		
$1190 \pm 20$	0,8					$715$	2		
600	<1	$640 \pm 50$	6			$540$	5		
				$330 \pm 30$	34	$370$	13	$314 \pm 8$	
$320 \pm 30$	98			$260 \pm 30$	51	$260$	74	$294 \pm 11$	
								304	90

Таблица П.27

 $\gamma$  - излучение  $Pu^{232}$ 

Varnell [695-70]			Kaczarowski [466-70]			Björnholm [191-63]			Баранов [16-61]			Ong Ping Hok [568-54]		
$E_{\gamma}$ , кэВ.	$I_{\gamma}, \%$	Мульти-поль-ность	$E_{\gamma}$ , кэВ.	$I_{\gamma}, \%$	Мульти-поль-ность	$E_{\gamma}$ , кэВ.	$I_{\gamma}, \%$	Мульти-поль-ность	$E_{\gamma}$ , кэВ.	Мульти-поль-ность	$E_{\gamma}$ , кэВ.	$I_{\gamma}, \%$		
47,6			$47,65 \pm 0,05$	0,22	E2	47,6			29,9	MI+E2				
80,0			$80,27 \pm 0,10$	0,19		80,2	0,13	E1	47,55	E2	47,2*			
						(81,2)	0,02							
105,4	1,54		$105,47 \pm 0,05$	1,9		105,4	2,1	E1						
109,0	2,63		$108,96 \pm 0,05$	3,2	E2	109,0	3,0	E2	108,8	E2	109,3**			
132,2	0,010			<0,16		132,5	0,02	E2						
139,2	0,57		$139,6 \pm 0,1$	0,62		139,2	0,7	E1						
150,1	II,0		$150,1 \pm 0,1$	II,2	E1	150,1	I2	E1	147	E1				
165,0	0,030													
175,4	0,010					174,9	0,025	E2						
176,8	0,004					178	0,02	E2						
183,9	0,98		$184,0 \pm 0,3$	2,3		183,9	1,65	E1						
219	<0,005					219	<0,03							
									236	E1				
									280					
282,2	0,010													
387,9	6,9I	E2+MI	$387,8 \pm 0,2$	7,9	E2+MI	388,0	7,2	MI+E2	382,8	MI+E2	389			
421,7	2,44	E2+MI	$421,9 \pm 0,2$	2,9	E2+MI	422,0	2,5	MI+E2	416,8	MI+E2				
453,6	8,78	E2+MI	$453,7 \pm 0,3$	9,1	E2+MI	454,2	5,0	MI+E2	449,9	MI+E2	455			
472,4	4,27		$472,4 \pm 0,2$	4,5	E1	472,8	4,1	E1	466,5	(E1)				
515,6	5,72		$515,6 \pm 0,3$	5,3	E1	516,1	3,3	E1			517			
563,2	3,96		$563,1 \pm 0,2$	3,5	E1	564,5	2,3	E1						
581,4	6,52	E1	$581,6 \pm 0,2$	5,8	E1	583,8	6,2	E1	579,5		584			
590,3	0,10I													
645,0	<0,02			<0,08		645	0,033	(E2)						
676,5	0,01I	E0	$674,7 \pm 1,0$	<0,08	E0	676,5		E0						
687,0	0,050	E0	$686,1 \pm 1,0$	<0,08	E0	687,5		E0	682,6	(E1)				
691,3	0,025	E0	$690,8 \pm 1,0$	<0,12	E0	692,9		E0			690			

### Продолжение таблицы П.27

$\gamma$ -излучение  $\text{Ra}^{232}$

\* 47, 48 [393-56]

2025 RELEASE UNDER E.O. 14176

Таблица П.28

### $\beta$ -распад $\text{Pa}^{233}$

Bisgard [189-63]	Ong Ping Hok [569-55]	Ong Ping Hok [568-54]	Unik [680-60]	Brodie [218-54]	Schultze [612-62]
E <sub>пмакс</sub> , квт. л/с, %	I <sub>п</sub> , %, I <sub>п</sub> , %				
578±10	12	568±5	5	570	6
				425	8
254±5	56	257±5	58	250	49
				250±5	
I54 ±5	32	I45±10	37	I25	37
				I68±8	
					~I65 I3 I6 309,0
				I40±14	38~I45 25 26 416,3

Таблица П.29

 $\gamma$ -излучение  $\text{Ra}^{233}$ 

Albridge [126-61]			Schultze [612-62]		Briancon [200-67]		Browne [221-52]	Moller [471-50]
$E_{\gamma}$ , кэВ	$I_{\gamma}$ , %	Мульти- польность	$E_{\gamma}$ , кэВ	Мульти- польность	$E_{\gamma}$ , кэВ	$I_{\gamma}$ , отн. од.	$E_{\gamma}$ , кэВ	$E_{\gamma}$ , кэВ
17,26			17,18	MI+E2				
28,54	0,060 <sup>x)</sup>	MI	28,5	MI			28,67 $\pm$ 0,02	28,9
40,35	0,015	MI+E2	40,3	MI+E2			40,47 $\pm$ 0,1	40,6
41,65	слабый							
57,80			57,9					58,1
75,28	0,82	MI	75,3	MI	75,30 $\pm$ 0,07	3,5	75,4 $\pm$ 0,2	75,7
86,59	1,7	MI	86,6	MI	86,60 $\pm$ 0,07	5,5	87,0 $\pm$ 0,3	87,1
			95,8					
103,86	0,66	MI	103,8	MI	103,86 $\pm$ 0,02	2,2	Egidiy [276-71]	
145,42	0,44						104,6	
					248,3 $\pm$ 0,3	0,2		
271,62	0,29	E2	271,8	E2	271,4 $\pm$ 0,3	1,0	271,48 $\pm$ 0,08	272,6
300,20	6,3	MI+E2	300,5	MI	300,0 $\pm$ 0,2	17	300,12 $\pm$ 0,03	301,5
			303,1					
311,91	34	MI	312,4	MI	311,80 $\pm$ 0,15	100	311,98 $\pm$ 0,03	313,1
			320					
340,51	3,9	MI+E2	341	MI+E2	340,4 $\pm$ 0,2	11,4	340,50 $\pm$ 0,04	342
375,35	0,56	E2	376	E2	375,3 $\pm$ 0,2	1,7	375,45 $\pm$ 0,04	376,6
398,57	1,1	E2	399	E2	398,5 $\pm$ 0,2	3,4	398,62 $\pm$ 0,08	399,9
415,87	1,5	E2+MI	416	E2+MI	415,7 $\pm$ 0,2	4,2	415,76 $\pm$ 0,04	416,4

x) Browne [221-52]

Таблица П.30

 $\beta$ -распад  $\text{Ra}^{234}$ 

Björnholm [195-68]			Lange [487-59]		Ong Ping Hok [571-56]	
$E_{\beta}$ макс., кэВ	$I_{\beta}$ , %	$E_{\beta}^X$ , кэВ	$E_{\beta}$ , кэВ	$I_{\beta}$ , %	$E_{\beta}$ макс., кэВ	$I_{\beta}$ , %
1510 $\pm$ 200	< 1	720				
1190 $\pm$ 100	5	1040	1042	3,6	II30	13
790 $\pm$ 100	660 $\pm$ 20	19	1552			
550 $\pm$ 100	512 $\pm$ 30	63	1723	{ 576 477 363 } { 13,2 16,0 10,3 }	530	27
280 $\pm$ 70		12	1950	{ 275 141 } { 21,4 35,5 }	320	32
					155	28

Таблица II.31

 $\gamma$ -излучение Ra<sup>234</sup>

Godart [360-68]		Björnholm [195-68]				Wapstra [701-67]		One Wing Rock [571-56]		Briancon [206-64]
E <sub>f</sub> , кэВ	I <sub>f</sub> , отн.дц.	E <sub>f</sub> , кэВ	I <sub>f</sub> , %	I <sub>n</sub> , %	ЧУНЬ- ТИ- ПОЛЬ- НОСТЬ	E <sub>f</sub> , кэВ	I <sub>f</sub> , %	E <sub>f</sub> , кэВ	I <sub>n</sub> , %	E <sub>f</sub> , кэВ
		34,30	0,002	~5	E2					
		43,40	0,14	90	E2					
		45,19	0,01	~6	E2					
		58,20	0,003	~0,6	(E2)					
62,92 ± 0,10	3,0	63,40	2,8	4	E1	63,2	3,2	43,0	20	43,3
		67,10	0,04	3	E2+MI					
		69,9	~0,23		(E1)					
		79,69	0,13	5	E2					
		99,67	5,3	68	E2					
		103,41	0,13	1,5	(E2)			99,2	I4	99,8
I25,6 ± 0,3	I,0	125,2	0,9	8	E2	I25,4	I,2	I25	I5	I26,3
I31,4 ± 0,2	I9	I31,0	20	22	MI	I31,2	I8			
		I34,37	0,15	~0,5	(MI)					
I40,5 ± 0,2	0,90	I39,97	0,83	~5	E2+MI	I40,4	0,9			
I43,8 ± 0,2	0,37	I44,36	0,30	2	E2+MI	I44,0	0,2			
		~I50,2	~0,2							
I52,8 ± 0,3	6,9	I52,46	6,0	20	E2	I52,7	6,0	I52,6	7	I53,0
I59,6 ± 0,2	0,71	I59,1	0,5	0,6	(E1)	I59,3	0,6			
I65,4 ± 0,3	0,09									
I70,8 ± 0,2	0,47	I70,77	0,5	3,0	MI	I70,7	0,4			
I74,6 ± 0,3	0,18									
I86,2 ± 0,2	I,88	I86,95	I,7	II	MI	I86,0	I,8			I86,0
I93,7 ± 0,3	0,52	I93,4	0,8	2,5	MI	I93,7	0,5			
		I96,4	<0,5	1,5	E0,MI					(I96,7)
		I99,7		3	E0,MI					
201,1 ± 0,2	I,I	200,6	I	2	E2					
203,1 ± 0,2	I,4	202,9	I,2	2,5	E2+MI	202,I	2,I			
220,8 ± 0,4	0,22	219,6	~0,2		(MI)	220,I	0,4			
		226,15	6,4	I4	E2+MI					
226,9 ± 0,2	I0,0	227,0	6,0	20	(MI)	226,7	I0	225	I3	223,9
245,4 ± 0,2	0,9	245,0	I,0	2,8	MI	245,8	0,8			
249,1 ± 0,2	3,0	248,8	2,5	2,6	E1	248,9	2,5			
272,2 ± 0,2	I,I	271,85	I,0		(MI)	272,I	I,0			
		~272	~0,3	~0,3	(E2)					
293,7 ± 0,3	3,15	293,5	4,2	7,0	E2+MI	293,8	4,0	293		(294,3)
		312,5	~0,3	~0,3	(E2)					
		(316,8)	~0,3	~0,3	(E2)					
		(328,3)	~0,3	~0,3						
330,3 ± 0,3	0,9	330,6	0,3	~0,5	MI	330,4	I,I	333		
352,2 ± 0,3	0,55	351,6	0,6	0,6	E2	352,0	0,5			
370,2 ± 0,3	2,75	369,3	3,0	4,8	MI	369,9	3,5	368	3,5	(370,I)
372,9 ± 0,4	I,4	371,8	I,I	I,7	MI	372,9	I,0			
409,8 ± 0,4	0,35					409,8	0,4			
						416,3	0,I			
426,9 ± 0,4	0,4	427	~I,0	I		426,8	0,8			

Продолжение таблицы П.ЗI

$\gamma$ -излучение  $\text{Ra}^{234}$

Godart [360-68]		Björnholm [195-68]			Waputra [701-67]		Ong Ping Hok [571-56]		Briancon [206-64]	
$E_\gamma$ , кэВ	$I_\gamma$ , отн. ед.	$E_\gamma$ , кэВ	$I_\gamma$ , %	$I_n$ , %	Мульти-поль-ность	$E_\gamma$ , кэВ	$I_\gamma$ , %	$E_\gamma$ , кэВ	$I_n$ , %	$E_\gamma$ , кэВ
433,0±0,7	~0,04									
446 ±1	~0,08									
458,9±0,3	I,4	458,6	I,5	I,5	E2+MI	458,9	I,3			
467,5±1	0,37	468	~0,7	~0,7						
472 ±1	0,5	474	~0,6	~0,6						
480,0±0,7	0,3					480,4	0,4			
482,5±0,7	0,3									
498 ±1	<0,3									
506,9±0,5	I,3	506	~2	~2		506,6	I,5			
		(512,9)	~I	~I						
513,7±0,5	I,I	513,6	0,3	0,4		513,6	I,3			
520,4±0,5	I,I	521	I	I		520,8	I,I			
528,3±0,5	0,4	527,6	0,6	0,7	MI	529,2	0,3			
566,2±0,7	I,6	565,I	I,0	I	MI					
		568,7	3	4						
569,3±0,4	I3,I	569,5	I0	I2	MI	569,3	I4,5	566	7	
		574	~2	~2						
585,5±1	<0,3									
596,7±0,7	0,6									
602,9±0,4	I,2					602,8	0,4	(603)		
611,5±0,6	0,8	612	0,7	0,8	MI					
623,3±0,6	I,0	623,8	0,4	0,5	(MI)					
629,3±0,5	I,2	629,I	0,4	0,5	(MI)					
645,3±0,6	<0,2	646	I	I	(EI)					
654,2±0,6	I,2	653,7	0,5	0,5	(MI)	655,7	0,7			
658,8±0,6	I,2	657	I	I		657,7	0,7			
664,9±0,7	I,4									
667,8±0,7	I,4	(667)	~2	~2		666,8	2,2			
670,6±0,7	I,4	671	~2	~2		669,3	2,0			
		(687,3)	~I	~I						
692,4±0,5	I,2	692,8	I,7	2,0	MI	693,I	I,3			
699,0±0,5	4,5	699,0	4	4,3	MI	699,5	4,I			
705,9±0,5	3,I	706,8	3,5	3,5		706,5	2,9			
713,8±0,8	0,15									
733,3±0,5	8,3	732,9	8	9	MI	733,8	9,2	732	9	
738,0±0,8	0,8	737,5	2	2,0	MI					
742,8±0,6	2,9	~743,4	~I,5	~I,5		743,I	2,5			
746,5±0,8	0,9									
755,0±0,5	I,3	756,6	0,6	0,6	(MI)	755,8	0,6			
765,0±0,7	I,0	767	0,3	0,3	(MI)	767,2	0,4			
780,5±0,6	I,5	~780,9	~0,7	~0,7		781,0	0,7			
786,3±0,5	I,5	~787,0	~I	~I		786,7	I,0			

Продолжение таблицы П.ЗI

$\gamma$ -излучение  $\text{Ra}^{234}$

Godart [360-68]		Björnholm, 195-68]				Wapstra [701-67]		Ong Ping Kok [571-56]	Briancon [206-64]
$E_{\gamma}$ , кэВ	$I_{\gamma}$ , отн.ед.	$E_{\gamma}$ , кэВ	$I_{\gamma}, \%$	$I_n, \%$	Мультипольность	$E_{\gamma}$ , кэВ	$I_{\gamma}, \%$	$E_{\gamma}$ , кэВ	$I_n, \%$
796,3±0,5	3,3	797,2	4,0	4,0		796,4	3,8	803	0,2
		804,2	0,0	0,23	EO				
805,7±0,5	3,2	806,8	3,3	3,3		806,0	3,0		
		808,0	0,0	0,23	EO				
		810,0	0,0	0,20	EO				
819,0±0,7	2,1	~820,2	~2,8	~2,8		820,0	2,8		
824,6±0,6	3,4	824,0	I	I	(M2)	825,3	4,3		
		826,3	4	4					
831,3±0,5	5,4	832,4	5,5	5,5		831,8	5,3		
844,3±0,5	0,6	~845,4	~1,3	~1,3		844,8	0,4		
		872	~0,5	~0,5					
875,2±0,8	2,7	876,4	5	5	E2	876,0	7	877	I4
880,0±0,7	I0,3	880,2	6	6	E2				
		(881,I)	~5	~5		881,8	I8		
883,0±0,6	I5,5	883,0	I3	I3	E2	884	4		
898,5±0,5	3,9	899,3	4,I	4,I	(EI)	899,5	4,3		
905,I±0,7	0,5	905,2	I,I	I,I		905,0	0,5		
925,6±0,3	22,4	926,0	I0	I0	E2	926,0	22	924	25
		(926,3)	~4	~4					
		927,I	I0	I0	E2				
945,8±0,3	I9,0	946,3	I5	~I5	EI	946,2	I9		
		(949,6)	5	~5	(E2)				
959 ±I	~0,0I					962,3	0,2		
965,3±0,5	0,06	966,4	0,8	I		965,9	0,4		
980,2±0,7	3,5	(980,I)	~2	~2					
		(980,8)	~3	~3		980,9	3,8		
983,6±0,8	2,3	(984,5)	~2	~2		985,0	I,5		
I022,I±0,7	0,35	I023,I	0,9	0,9		I021,0	0,4		
I028,I±0,8	0,75	I028,6	0,9	0,9		I028,2	0,8		
		I044,9	0,5	0,5					
I074,8±0,9	0,16	I073	0,4	0,4					
I082,8±0,6	0,74	I084	0,8	0,8		I083,8	0,6		
II08,5±0,8	0,3								
II22,3±0,8	0,5	(II21,9)	0,5	~0,5		II22	0,4		
II26,I±0,8	0,8	(II26,8)	0,8	0,8	E2	II25,8	0,8		
II53,I±0,7	0,22								
II71,4±0,7	0,25								
		I208	~0,3	~0,3					
I217,5±0,7	0,37	I217	I,0	I,0	EI	I229	0,3	I240	
I240,2±0,6	0,20	I239	0,6	0,6	(E2)	I251,0	0,3		
I277,6±0,8	0,12								

Продолжение таблицы П.ЭI

$\gamma$ -излучение  $\text{Ra}^{234}$

Godart [360-68]		Björnholm [195-68]			Wapstra [701-67]		Ong Ping Kok [571-56]		Briancon [206-64]	
$E_{\gamma}$ , кэВ	I $_{\gamma}$ , отн.ед.	$E_{\gamma}$ , кэВ	I $_{\gamma}$ , %	I $_{\eta}$ , %	Мультипольность	$E_{\gamma}$ , кэВ	I $_{\gamma}$ , %	$E_{\eta}$ , кэВ	I $_{\eta}$ , %	$E_{\eta}$ , кэВ
I292,3±0,5	0,7	I292	0,8	0,8		I293,5	0,6			
I352,4±0,5	I,63	I354	2,I	2,I	MI	I353,8	I,7			
I358,6±0,8	0,2									
I393,5±0,4	3,75	I394	2,5	2,5	MI	I394,7	2,8			
I400 ±I	0,2									
I426,6±0,8	0,2					I429	0,2	I430	3,5	
I445,3±0,8	0,55	(I446)	~0,4	~0,4	MI	I446	0,3			
I452,0±0,7	I,I	(I453)	I,2	I,2	MI	I453,5	0,9			
						I460	0,3			
I493,7±0,9	0,2	I493	0,3	0,3		I497	0,3			
		I516	0,4	0,4						
I549,6±0,9	0,09	~I552	~0,2	~0,2						
I579,4±0,9	0,15									
I585,5±0,9	0,15					I585	0,3			
I593,9±0,7	0,4	I595	0,7	0,7	(E2)	I593,8	0,8			
I627,9±0,9	0,12					I625	0,2			
I637,8±0,5	0,25	I640	0,7	0,7	(E2)	I638,0	0,3			
		I653	~0,15	~0,15		I659	0,2			
I668,5±0,5	I,03	I671	I,2	I,2	MI	I668,0	I,0			
I686,I±0,6	0,4	I688	0,8	0,8		I688	0,4	I680	2,5	
I694,5±0,5	I,2	I695	I,6	I,6	(E2)	I695,0	I,I			
I699,8±0,6	0,I4									
I719,5±0,7	0,02									
I737,3±0,7	0,I0	I736	0,2	0,2		I739,0	0,2			
I741,7±0,7	0,I0									
I750,I±0,9	0,05									
		I756	0,25	0,25		I769	0,2			
I768,2±0,6	0,06									
I772,4±0,6	0,I4	I775	0,4	0,4						
I797,4±0,4	0,3	I802	0,4	0,4		I797,5	0,3			
		I828	0,03	0,03						
I838,0±0,6	0,05									
I850,3±0,7	0,04	I849	0,05	0,05						
I872,9±0,6	0,05									
I890,I±0,6	0,I8					I891,5	0,4			
I896,8±0,6	0,I5									
		I905	0,28	0,28		I925,4	0,6			
I926,0±0,5	0,43									
I937,6±0,7	0,06	I940	0,5	0,5						
I959 ±I	~0,001									
I988 ±I	~0,002									
I998 ±I	~0,001									

Таблица П.32

 $\beta$ -распад  $\text{Pa}^{234m}$ 

Björnholm [192-63]		Ong Ping Hok [571-56]		Johansson [458-54]	
$E_{\beta}$ , кэВ	$I_{\beta}$ , %	$E_{\beta}$ , кэВ	$I_{\beta}$ , %	$E_{\beta}$ , кэВ	$I_{\beta}$ , %
2290 ± 20	98	2310	96	2320	98,8
2246	I				
1480	0,72	1500	I	1500	0,63
1245	0,74	1300	I,6	1300	0,49
		480	I	600	0,04

Таблица П.33

 $\gamma$  - излучение  $\text{Pa}^{234m}$  (сопровождает  $\beta$ -распад).

Wapstra [701-67]		Björnholm [192-63]				Ong Ping Hok [571-56]	
$E_{\gamma}$ , кэВ	$I_{\gamma}$ , %	$E_{\gamma}$ , кэВ	$I_{\gamma}$ , %	$I_{\gamma}$ , %	Мульти- польность	$E_{\gamma}$ , кэВ	$I_{\gamma}$ , %
186,2 ± 0,5	$1,2 \cdot 10^{-3}$	43,5	2		E2	43	2,0
	$<1 \cdot 10^{-3}$	236	0,09	≤0,01	E0	230	
258,0 ± 0,5	0,04	255 ± 5	0,05	0,05	E1	255	0,1
451,4 ± 0,6	$2,5 \cdot 10^{-3}$	746 ± 5	0,04	0,04	E1		
742,7 ± 0,6	0,08	765	0,30	0,30	E2	770	0,87
766,5 ± 0,6	0,22	790 ± 5	0,02	0,02	E1		
786,3 ± 0,8	0,03	(806)	$<0,03$		E0	803	0,16
		8II	0,5I		E0	807	
825,5 ± 2	$2,5 \cdot 10^{-3}$						
831,5 ± 2	$2,5 \cdot 10^{-3}$						
852,1 ± 1,2	$4 \cdot 10^{-3}$						
1001,3 ± 0,5	0,60	1001	0,60	0,59	E2	1010	1,5
		(1045)	$<0,001$		E0		
1125,2 ± 0,8	$3 \cdot 10^{-3}$	1160					
1194,2 ± 0,6	$8 \cdot 10^{-3}$						
1238,0 ± 0,7	$3 \cdot 10^{-3}$					1240	
1392 ± 2	$3 \cdot 10^{-3}$						
1414,7 ± 1,0	$1,2 \cdot 10^{-3}$						
1435,5 ± 0,8	$7 \cdot 10^{-3}$	1440	~0,03	~0,03		1440	0,09
1510,9 ± 0,7	0,011						
1528,2 ± 1,2	$2 \cdot 10^{-3}$						
1554,7 ± 0,8	$6 \cdot 10^{-3}$						
1570,6 ± 1,2	$6 \cdot 10^{-4}$						
1593,4 ± 0,7	$8 \cdot 10^{-3}$						
1738,5 ± 0,7	0,018	1750	~0,03	~0,03		1690	0,07
1759 ± 2	$2 \cdot 10^{-3}$						
1765,5 ± 0,6	$7 \cdot 10^{-3}$						
1809,4 ± 0,7	$2,4 \cdot 10^{-3}$						
1831,9 ± 1,0	0,014					1830	0,11
1868,6 ± 0,8	$8 \cdot 10^{-3}$						
1876,3 ± 0,8	$7 \cdot 10^{-3}$						
1893,5 ± 0,8	2,10						
1911,5 ± 0,7	$5 \cdot 10^{-3}$						
1937,5 ± 0,7	$2,4 \cdot 10^{-3}$						
1970,4 ± 1,0	$2 \cdot 10^{-4}$						

Таблица П.34  
 $\gamma$ -излучение Ra<sup>237</sup>  
[677-68]

E <sub>γ</sub> , кэВ	I <sub>γ</sub> , отн.ед.
310	6
498	II
529	39
540	27
554	5
642	24
687	8
852	100
864	44

Таблица П.35  
 $\gamma$ -излучение Ra<sup>238</sup> [677-68]

E <sub>γ</sub> , кэВ	I <sub>γ</sub> , отн.ед.	E <sub>γ</sub> , кэВ	I <sub>γ</sub> , отн.ед.	E <sub>γ</sub> , кэВ	I <sub>γ</sub> , отн.ед.	E <sub>γ</sub> , кэВ	I <sub>γ</sub> , отн.ед.
69,2	7	407,9	9	823,3	9	III,2	2
103,4	II	423,1	6	849,3	II	III5,2	4
155,8	3	437,4	16	851,9	6	II24,0	5
159,5	4	448,5	76	861,0	54	II38,1	2
165,0	2	456,9	7	874,6	9	II60,1	5
171,2	3	466,2	2	886,0	45	II79,2	6
178,5	II	476,3	19	905,4	23	II14,8	6
191,6	2	489,1	20	911,7	II	II24,3	6
198,0	9	502,1	26	931,7	6	II32,1	5
217,9	II	547,3	40	944,0	7	II368,7	5
222,4	4	570,4	6	952,7	II	II377,7	4
250,2	7	583,7	4I	957,2	II	II383,7	7
258,3	8	606,1	IO	967,5	4	II412,9	3
269,4	II	615,6	8	984,7	7	II497,0	8
289,2	4	623,9	II	995,8	IO	II527,4	4
293,2	II	635,2	88	1015,0	IO	II612,9	3
301,9	2	646,8	9	1020,5	IO	II889,7	17
317,1	7	680,2	73	1042,5	8	II996,8	4
373,6	6	687,0	54	1060,9	45	II1012,3	3
376,2	6	765,2	4	1083,7	50	II2018,7	7
396,7	II	805,9	44	1095,1	5	II2529	2

Таблица П.36  
 $\alpha$ -распад U<sup>229</sup> [604-61]

E <sub>α</sub> , кэВ	E <sup>*</sup> , кэВ	I <sub>α</sub> , %
6358±3	0	64
6330	29	20
6295	64	II
6258	102	I
6221	139	3
6183	178	I

Таблица П.37  
 $\alpha$ -распад U<sup>230</sup>

Bastin [175-65]			Avago [145-56]		
E <sub>α</sub> , кэВ	E <sup>*</sup> , кэВ	I <sub>α</sub> , %	E <sub>α</sub> , кэВ	E <sup>*</sup> , кэВ	I <sub>α</sub> , %
5887	0	67,5	5890	0	67,2
5816	72	31,9	5819	72	32,1
5666	225	0,038	5668	226,4	0,4
5661	230	0,26	5664	230,4	0,3
5585	307	0,012			
5542	35I	5·10 <sup>-4</sup>			
5532	36I	1·10 <sup>-4</sup>			

Таблица П.38  
 $\gamma$ -излучение U<sup>230</sup>

Таблица П.39

$\gamma$ -излучение U<sup>231</sup>  
(сопровождает e<sup>-</sup>-захват) [412-56]

Lederer [494-65]		Avago [145-56, 635-56]		
E <sub>γ</sub> , кэВ	I <sub>γ</sub> , %	E <sub>γ</sub> , кэВ	I <sub>γ</sub> , %	Мульти- польность
72,13	0,54*)	72,13±0,07	0,75	E2
154,4	0,21	154,3 ±0,3	0,16	E2
158,8	0,13	158	0,17	
230,6	0,18	232	0,24	

\*) 0,59 [604-61]  
0,60 [579-69]

E <sub>γ</sub> , кэВ	I <sub>γ</sub> , %
18,05	
25,64	I2
58,54	
68,5	
81,3	
82,I	
84,18	7
108,2	
220±4	~I

Таблица П.40

 $\alpha$ -распад  $U^{232}$ 

Баранов [20-66]			Bertolini [187-65]			Scates [637-71]			Левер [141-55]		
$E_{\alpha}$ , кэВ	$E^*$ , кэВ	$I_{\alpha}, \%$	$E_{\alpha}$ , кэВ	$I_{\alpha}, \%$	$E_{\alpha}$ , кэВ	$I_{\alpha}, \%$	$E_{\alpha}$ , кэВ	$E^*$ , кэВ	$I_{\alpha}, \%$		
5320,2	0	68,6	0	67,8		68,6	5324	0	68		
5263,3	58	31,2	58	32,2		31,4	5267	58	32		
5136,8	186,5	0,28	187	0,30	5139 $\pm$ 1	0,34	5140	187	0,32		
4996,8	329	$2,9 \cdot 10^{-3}$	328,5	$6 \cdot 10^{-3}$	5010	$6 \cdot 10^{-3}$	(5004)	(325)	0,01		
4945,5	381	$1,7 \cdot 10^{-4}$									
4928,6	398	$2,1 \cdot 10^{-4}$			4510	$2,4 \cdot 10^{-5}$					

Таблица П.41

 $\gamma$ -излучение  $U^{232}$ 

Ahmed [117-66, 493-67]			Bertolini [187-65]		
$E_{\gamma}$ , кэВ	$I_{\gamma}, \%$	Мульти- польность	$E_{\gamma}$ , кэВ	$I_{\gamma}, \text{отн.ед.}$	
57,6	0,21	E2	58	100	
129,0	0,082	E2	128	40,7	
270,5	$3,8 \cdot 10^{-3}$	(EI)	268	1,8	
327,8	$3,4 \cdot 10^{-3}$	(EI)	326	2,4	
500	$2,2 \cdot 10^{-5}$				

Таблица П.42

 $\alpha$ -распад  $U^{233}$ 

Баранов [23-67]			Gaeta [327-67]			Джелепов [49-60]			Гольдин [46-56; 98-59]			Ruiz [604-61]		
$E_{\alpha}$ , кэВ	$E^*$ , кэВ	$I_{\alpha}, \%$	$E_{\alpha}$ , кэВ	$E^*$ , кэВ	$I_{\alpha}, \%$	$E_{\alpha}$ , кэВ	$I_{\alpha}, \%$	$E_{\alpha}$ , кэВ	$E^*$ , кэВ	$I_{\alpha}, \%$	$E_{\alpha}$ , кэВ	$I_{\alpha}, \%$	$E_{\alpha}$ , кэВ	$I_{\alpha}, \%$
4824,4	0	84,4	4824	0	83	0	83	4821	0	83,5	4821	83,7		
4804	20,4	0,051												
4796	29,I	0,28	(4795)	(29)		29 $\pm$ 2	0,48							
4783	42,4	I3,23	4781	43	I5	42,3	I4,6	4778	43,2	I4,9	4778	I4,I		
4758	67	0,016												
4754	71,8	0,163	4753	72		72	0,28							
4751	75	0,01												
			(4744)	(8I)										
4729	96,5	I,6I	4725	I00	I,5	97	I,5	4722	I00	I,6	4724	I,9		
			(4706)	(I20)										
4701	I26	0,06	4699	I27	0,I	I26 $\pm$ 2	0,08							
4687	I40	$2,8 \cdot 10^{-3}$	(4690)	(I36)										
4681	I46	0,0I	4682	I44		I45 $\pm$ 5	<0,0I							
4664	I63	0,042	4662	I65	0,05	I63 $\pm$ 2	0,06	4660	I63,5	0,07	4657	0,05		
4656	I7I	$\sim 5 \cdot 10^{-3}$	(4651)	(I76)										
4641	I87	$3 \cdot 10^{-3}$												
4634	I94	0,0I	(4633)	(I94)		I95 $\pm$ 3	0,0I5							
4626	202	$<4 \cdot 10^{-3}$												
4615	I23	$4 \cdot 10^{-3}$												
46II	I27	$6 \cdot 10^{-3}$	4608	220										
			(4597)	(23I)										
4590	I28	$7 \cdot 10^{-3}$	(4589)	(239)		240 $\pm$ 5	$<4 \cdot 10^{-3}$	4587	I28	$7 \cdot 10^{-3}$		<0,02		
			(4580)	(248)										

## Продолжение таблицы П.42

 $\alpha$ -распад  $U^{233}$ 

Баранов [23-67]			Саэта [327-67]			Джелепов [49-60]			Гольдин [46-56, 98-59]			Ruiz [604-61]		
$E_{\alpha}$ , кэВ	$E^*$ , кэВ	$I_{\alpha}, \%$	$E_{\alpha}$ , кэВ	$E^*$ , кэВ	$I_{\alpha}, \%$	$E_{\alpha}$ , кэВ	$E^*$ , кэВ	$I_{\alpha}, \%$	$E_{\alpha}$ , кэВ	$E^*$ , кэВ	$I_{\alpha}, \%$	$E_{\alpha}$ , кэВ	$E^*$ , кэВ	$I_{\alpha}, \%$
4572	257	$2,3 \cdot 10^{-3}$	4569	259										
4565	265	$2,8 \cdot 10^{-3}$												
4538	292	$4 \cdot 10^{-3}$	(4537)	(292)										
			(4528)	(301)										
4513	317	0,018				316 $\pm$ 2	0,033							
4507	323	0,012	4506	323	0,03				320	0,03		4505	$\sim 0,04$	
4503	327	$1 \cdot 10^{-3}$												
4483	347	$1,4 \cdot 10^{-4}$	4479	351										
4465	366	$3 \cdot 10^{-3}$				364 $\pm$ 5	$< 4 \cdot 10^{-3}$							
4457	374	$2,8 \cdot 10^{-3}$	4456	374										
			(4435)	(395)										
44II	42I	$4 \cdot 10^{-4}$												
4404	428	$3 \cdot 10^{-4}$												
4309	525	$9 \cdot 10^{-4}$												

Таблица П.43

 $\gamma$ -излучение  $U^{233}$ 

Ahmad [117-66]		Третьяков [98-59]			
$E_{\gamma}$ , кэВ	$I_{\gamma}$ , отн. ед.	$E_{\gamma}$ , кэВ	$I_{\gamma}, \%$	Мультипольность	
29,0	60	29,1 $\pm$ 0,2	0,7	(M1)	
42,4	310	42,4 $\pm$ 0,2	I6	M1+E2	
54,6	68	54,7 $\pm$ 0,5	I,0	M1+E2	
66,0	3,9	66,0 $\pm$ I,0	0,05		
71,8	I2	71,4 $\pm$ 0,6	0,3		
97,I	I00	97,3 $\pm$ 0,3 (103 $\pm$ I)	0,6 0,01	E2	
II7,I	I3				
II8,9	I6				
I20,7	II	I21,0 $\pm$ 0,3	0,03	E2	
I24,0	2,7				
I35,3	I0				
I44,8	9				
I46,4	26				
I64,5	27				
I87,9	8				
208,I	9				
217,0	I6				
245,4	I4	245,3 $\pm$ 0,5	0,015	M1	
248,4	6	248,6 $\pm$ 0,8	0,008	(M1)	
260	I,2				
261,5	I,4				
268,I	I,0				
274,5	2,0				
277,9	6	277,8 $\pm$ I,5	0,005	(M1)	
288,0	4,9				
291,2	23	291,5 $\pm$ 0,5	0,012	M1	
316,8	32	317,0 $\pm$ I,5	0,02	M1	
320,2	II	321,0 $\pm$ I,5	0,008	(M1)	
323,I	3,2				
328,2	0,I				
336,4	2,3				
353,9	0,23				
365,5	3,2				
383,0	0,4				
393,3	0,07				

Таблица П.44

 $\alpha$ -распад  $U^{234}$ 

Баранов [23-67; I3-60]			Гольдин [45-55]			Кочаров [77-61]		
$E_{\alpha}$ , кэВ	$E^*$ , кэВ	$I_{\alpha}, \%$	$E_{\alpha}$ , кэВ	$E^*$ , кэВ	$I_{\alpha}, \%$	$E_{\alpha}$ , кэВ <sup>a)</sup>	$E^*$ , кэВ	$I_{\alpha}, \%$
4776,8±2,0	0	72,5	4773±1	0	72	4768	0	73
4724,1±2,0	53,5	27,5	4722±1	52,5	28	4718	51	27
4604	175	≤0,37				4598±8	173	0,3
Björnholm [193-63]								
4270 <sup>a)</sup>	~510			$4 \cdot 10^{-5}$				
4120 <sup>a)</sup>	~660			$\{ 2,1 \cdot 10^{-5}$				
				$1,6 \cdot 10^{-5} [158-61]$				

Таблица П.45

 $\gamma$ -излучение  $U^{234}$ 

Ahmed [117-66]		Bell [178-52]		Schmorak [611-71]	
$E_{\gamma}$ , кэВ	$I_{\gamma}$ , отно.ед.	$E_{\gamma}$ , кэВ	$I_{\gamma}, \%$	$E_{\gamma}$ , кэВ	
53,3	100	53		53,222±0,019	
120,9	34	118		120,905±0,012	
Larvo [158-61]		Björnholm [193-63]			
455		460 } $4 \cdot 10^{-5}$			
503		510 }			
580		585	$1,2 \cdot 10^{-5}$		
$630 \pm 20$	EO				

Таблица П.46

 $\alpha$ -распад  $U^{235}$ 

Баранов /I3-60/			Риггер /587-62/			Skillings /630-61/			Greta /326-66/		
$E_{\alpha}$ , кэВ	$E^*$ , кэВ	$I_{\alpha}, \%$	$E_{\alpha}$ , кэВ	$E^*$ , кэВ	$I_{\alpha}, \%$	$E_{\alpha}$ , кэВ	$E^*$ , кэВ	$I_{\alpha}, \%$	$E_{\alpha}$ , кэВ	$I_{\alpha}, \%$	
(4597)	0	<1	4597	0	4,7	4598	0	4,5	4597	1,2	
4583	14	1,5			<0,5				4584	1,6	
									4564	2,5	
4555	42,5	3	4556	41,5	5,7	4555	43,5	4,0	4556	1,7	
(4527)	71	<1			<0,1				4527	<1	
4501	97,5	I	4502	96,5	1,2	4505	94,5	1,8	(4501)	1,4	
									4483	1,8	
4443	156	3	(4445)	154	~0,6				4443	2,1	
(4431)	169	1,5			<2				4429	1,6	
4417	183	2	(4419)	181	(~4)	4413	186	5	4416	2,3	
4399	201	62	4396	204	58	4394	207	55	4397	55	
4373	228	~6							4373	0,1	
4367	234	~II	4366	235	I9	4362	240	I9	4367	1,2	
4344	257	1,5							4344	<1	
4325	277	3	4323	279	2,9	4318	285	4,5	4324	5,1	
			4266	337	0,0						
			4215	588	5,5	4215	399	6,5	4215	,2	
			4158	447	~0,3	4141	465	0,8	4145	1,0	

Таблица П.47

 $\gamma$ -излучение  $U^{235}$ 

Pilger [587-62]			Воробьев[36-60]			Malich[520-56]			Johansson [459-56]			Gaeta [326-66]		
$E_{\gamma}$ , кэВ	$I_{\gamma}, \%$		$E_{\gamma}$ , кэВ	$I_{\gamma}, \%$	Мульти- польность	$E_{\gamma}$ , кэВ	$I_{\gamma}, \%$		$E_{\gamma}$ , кэВ	$I_{\gamma}, \%$		$E_{\gamma}$ , кэВ	$I_{\gamma}, \%$	
II0	2,5		106 $\pm$ 3	4,5	EI(MI)				II0	109 $\pm$ 2	4,9			
I43 $\pm$ 2	II		145 $\pm$ 2	13,5	EI	I46 $\pm$ 3	$\sim$ 13			I44 $\pm$ 2	II,3			
I63	5													
I80	0,5													
I85 $\pm$ 2	54		I85 $\pm$ 2	82	EI	I88 $\pm$ 2	55		I84	I84 $\pm$ 2	54,9			
			I92		MI					I96 $\pm$ 4	4,5			
20I	0,8								200					
204	5								289	285 $\pm$ 5	$10^{-3}$			
										350 $\pm$ 6	$6 \cdot 10^{-3}$			
									382					
										430 $\pm$ 5	$10^{-3}$			
										510 $\pm$ 5	$3 \cdot 10^{-3}$			
										620 $\pm$ 10	$2 \cdot 10^{-3}$			
										670 $\pm$ 10	$6 \cdot 10^{-3}$			
										760 $\pm$ 10	$10^{-3}$			
										1010 $\pm$ 20	$10^{-4}$			

Таблица П.48  
 $\alpha$ -распад  $U^{236}$ 

Кочаров[77-61]			Ghiorso [336-51]		
$E_{\alpha}$ , кэВ	$E^*$ , кэВ	$I_{\alpha}, \%$	$E_{\alpha}$ , кэВ	$E^*$ , кэВ	$I_{\alpha}, \%$
4493 $\pm$ 3	0	74	4499 $\pm$ 4	0	73
4443 $\pm$ 5	5I	26	(4450) $^{*)}$	52	27
433I $\pm$ 8	I65	0,26(4337) $^{*)}$	I65	$\sim$ 0,5	

 $^{*)}$  установлены по  $\gamma$ -излучению.

Таблица П.49

Yamazaki [714-66]			Rasmussen [596-57]			Баранов [II-56]		
$E_{\beta}$ макс: кэВ	$E^*$ , кэВ	$I_{\beta}, \%$	$E_{\beta}$ макс: кэВ	$E^*$ , кэВ	$I_{\beta}, \%$	$E_{\beta}$ макс: кэВ	$E^*$ , кэВ	$I_{\beta}, \%$
248	267	43	248	$\sim$ 96		249	266	74
234	28I	53						
I83	332	3	I83	$\}$	4			
I44	37I	0,5	I44			84	43I	26

Таблица П.50

 $\gamma$ -излучение  $U^{237}$ 

Yamazaki /714-66/			Rasmussen /596-57/			Bunker /227-57/			Баранов /II-56/		
$E_{\gamma}$ , кэВ	$I_{\gamma}, \%$	Мульти- польность	$E_{\gamma}$ , кэВ	$I_{\gamma}, \%$	$I_{\gamma}, \%$	$E_{\gamma}$ , кэВ	Мульти- польность		$E_{\gamma}$ , кэВ	Мульти- польность	
13,8I $\pm$ 0,02		MI+E2									
26,348 $\pm$ 0,010	2,4I	EI	26,35	15		26,3	EI		26,4		
33,195 $\pm$ 0,011		MI+E2	33,20	15		33,2	MI		33,3		
38,54 $\pm$ 0,03		E2+MI									
43,423 $\pm$ 0,020		MI+E2	43,46	7		43,4	MI+E2		43,5	E2+MI	
51,0I $\pm$ 0,03	0,22	EI									
59,543 $\pm$ 0,015	36,0	EI	59,57	8I	38	59,6	EI		59,7	EI+M2	
64,83 $\pm$ 0,02	I,25	EI	64,8	3					(69)		
II4,09 $\pm$ 0,05			II3,9						(10I)		
I64,6I $\pm$ 0,02	I,97	E2	I64,6	7	3,6	I65	E2		(I24)	I65,4	E2+MI
									(I93)		

Продолжение таблицы П.50

$\gamma$ -излучение U237

Yamazaki [714-66]			Равтиевен [596-57]			Bunker [227-57]		Баранов [II-56]	
E <sub>γ</sub> , кэВ	I <sub>γ</sub> , %	Мульти-польность	E <sub>γ</sub> , кэВ	I <sub>γ</sub> , %	I <sub>γ</sub> , %	E <sub>γ</sub> , кэВ	Мульти-польность	E <sub>γ</sub> , кэВ	Мульти-польность
208,005 ± 0,023	23,3	M1+E2	207,9	89	24	208,4	M1	208,2	M1
221,80 ± 0,04	0,0219	E2							
234,40 ± 0,04	0,0209	M2	234,2	~0,2		234,8	M2		
267,54 ± 0,04	0,765	E1+M2	267,5	1,7	0,86	268,0	E1+M2	267,5	
292,7 ± 0,1	0,0028	(E2)							
332,36 ± 0,04	1,29	E2	332,3	1,5	~2	332,9	E2	331,5	
335,38 ± 0,04	0,102	M1+E2	335,3	~0,2		335,9	M1		
337,7 ± 0,5	0,0081	(E2)							
368,59 ± 0,04	0,050	M1+E2	368,5	~0,05	~0,1	369,2		369,5	
370,94 ± 0,04	0,119	M1+E2	370,9	0,1		371,5			
						Нет 433			
								(436)	

$\gamma$ -излучение U239

Таблица П.51

Mackenzie [510-68]		Blinowska [197-64]			Meier [519-65]		Mackenzie [510-68]	
E <sub>γ</sub> , кэВ	I <sub>γ</sub> , %	E <sub>γ</sub> , кэВ	I <sub>γ</sub> , %	Мульти-польность	E <sub>γ</sub> , кэВ		E <sub>γ</sub> , кэВ	I <sub>γ</sub> , %
		31,142	~16	M1+E2			662	0,203
43,5	~1,2	43,531 ± 0,002	13	E1	43,537		692	0,013
74,7	62	74,673 ± 0,002	66	E1	74,667 ± 0,002		723	0,033
278	0,052						731	0,013
334	0,0125						749	0,127
345	0,0075						754	0,012
373	0,031						775	0,017
377	0,017						792	0,010
381	0,014						814	0,113
421	0,0082						820	0,149
447	0,0082						845	0,220
449	0,0082						875	0,0067
486	0,068						884	0,0094
492	0,016						890	0,030
576	0,010						915	0,004
588	0,0225						919	0,006
604	0,0079						934	0,058
631	0,051						965	0,170
644	0,012						994	0,0045

$\gamma$ -излучение  $Np^{232}$  [417-70]

Таблица П.52

$E_{\gamma}$ , кэВ	$I_{\gamma}$ , отн.ед.	$I_{\pi}$ , %
143,4 $\pm$ 0,5	0,19	0,3
223,2 $\pm$ 0,3	0,44	0,75
282,2 $\pm$ 0,3	8,I	I3
327,0 $\pm$ 0,4	24,7	40
376,1 $\pm$ 0,3	0,30	
711,4 $\pm$ I,0	0,31	0,2
755,2 $\pm$ 0,6	2,5	I,3
819,7 $\pm$ 0,6	25,8	I8
864,9 $\pm$ I,I	II,8	6,2
867,3 $\pm$ I,I	22,6	I5,6
895,2 $\pm$ 0,9	0,34	$\sim$ 0,2
924,0 $\pm$ 0,9	0,34	<0,I
1038,6 $\pm$ 0,6	I,6	2,6
1086,4 $\pm$ 0,6	0,5	0,75
1126,4 $\pm$ 0,6	0,7	I,05

$\gamma$ -излучение  $Np^{233}$  [50I - 58]

$E_{\gamma}$ , кэВ
(95)
150
I70
205
230+310
410
500+560

Таблица П.54

$\gamma$ -излучение  $Np^{234}$  (опровергает  $e^-$ -захват)

Wapstra /70I-67/		Hansen /383-67/			Gallagher/329-59/
$E_{\gamma}$ , кэВ	$I_{\gamma}$ , %	$E_{\gamma}$ , кэВ	$I_{\pi}, \%$	Мульти- польность	$E_{\gamma}$ , кэВ
$192,9 \pm 0,5$	0,04	43,4	44	E2	$43,49 \pm 0,05$
		99,7	0,6	E2	$99,7 \pm 0,1$
$247,5 \pm 0,4$	0,12	234	0,I	E0	$233,6 \pm 0,2$
		234	0,2	E0	$234,6 \pm 0,2$
					$238,6 \pm 0,4$
					$247,9 \pm 0,2$
		257	0,I	E1	$(265,8 \pm 0,5)$
					$297,6 \pm 0,5$
$484,4 \pm 0,8$	0,10	450,7	I,3	MI+E2	$450,5 \pm 0,5$
					$\{ 482,8 \pm I$
					$485,I \pm I$
					$515,7 \pm 0,5$
					$525,9 \pm 0,5$
					$556,8 \pm 0,6$
$750,7 \pm 1,0$	0,5	624	$\sim$ 0,I		$744,I \pm 0,7$
		708	0,2	E2	$751,7 \pm 0,8$
		719	$\sim$ 0,I		$768,0 \pm 0,8$
		742,8	4,9	E1	$787,8 \pm 0,8$
		749,4	0,4	MI	$793,8 \pm 0,8$
		766,3	0,7	E2	
		786,I	2,7	E1	
$807,0 \pm 1,0$	0,40	808,0	0,8	EO+E2	$810,0 \pm 0,8$

Продолжение таблицы П.54  
 $\gamma$ -излучение  $Np^{234}$  (сопровождает  $e^-$ -захват)

Wapstra [701-67]		Написан [383-67]			Gallagher [329-59]	
$E_{\gamma}$ , кэВ	$I_{\gamma}$ , %	$E_{\gamma}$ , кэВ	$I_{\pi}$ , %	Мульти- польность	$E_{\gamma}$ , кэВ	
(810,1)		809,8	1,2	E0	811,6 $\pm$ 0,8	
851,6 $\pm$ 1,0	0,24	852	0,14	E2	853,6 $\pm$ 1	
945,7 $\pm$ 1,0	0,6					
1001,6 $\pm$ 0,6	1,6	1001,7	1,0	E2	1003 $\pm$ 2	
					(1105 $\pm$ 2)	
1194,1 $\pm$ 0,5	5,8	1193,8	5,1	E1	1196 $\pm$ 2	
1237,3 $\pm$ 0,6	2,4	1237,5	1,9	E1	1240 $\pm$ 2	
1392,2 $\pm$ 0,7	2,2	1391,6	1,9	E1	1395 $\pm$ 3	
1435,7 $\pm$ 0,6	6,6	1435,1	5,6	E1	1439 $\pm$ 3	
1527,5 $\pm$ 0,6	12,4	1526,7	10,0	MI+E2	1531 $\pm$ 3	
1558,7 $\pm$ 0,6	20,0	1558,1	17	MI	1562 $\pm$ 3	
1570,7 $\pm$ 0,6	5,8	1570,5	5,0	MI	1575 $\pm$ 3	
1602,2 $\pm$ 0,6	10,2	1601,5	7,8	MI	1606 $\pm$ 3	

Таблица П.55  
 $\gamma$ -излучение  $Np^{236}$  (сопровождает  $e^-$ -захват)

Lederer [497-69]		Gallagher [329-59]
$E_{\gamma}$ , кэВ	$I_{\gamma}$ , отн.ед.	$E_{\gamma}$ , кэВ
45,28[4II-56]		45,32
538,25 $\pm$ 0,20	I,II	
642,42 $\pm$ 0,10	100	643,0
687,71 $\pm$ 0,10	26,5	688,2

Таблица П.56  
 $\alpha$ -распад  $Np^{237}$

Баранов [15-61]			Vara [694-69]			Asztro [151-57]			Magnusson [516-55]		
$E_{\alpha}$ , кэВ	$E^*$ , кэВ	$I_{\alpha}$ , %	$E_{\alpha}$ , кэВ	$E^*$ , кэВ	$I_{\alpha}$ , %	$E_{\alpha}$ , кэВ	$E^*$ , кэВ	$I_{\alpha}$ , %	$E_{\alpha}$ , кэВ	$E^*$ , кэВ	$I_{\alpha}$ , %
4974	0	0,44	4874 $\pm$ 3	0,8		4871	0	3	4874	0	3,1
48 <sup>+</sup>	$\sim$ 2	0,92	4869	1,5		4865	6	I			
4954	10,6	0,24									
			4861	0,6							
			4856	0,4							
			4834	0,4							
			4826	0,5							
4818	57,0	1,49	4817	2,3		4815	57	I,4	4818	57	3,5
4804	71,2	1,56	4804	2,6		4803	69	I,5			
4789	86,3	51,4	4787 $\pm$ 3	46		4786	86	42	4789	86	53
			4779	0,9							
4772	104,2	19,4	4770	19,5		4769	104	28	4769	107	29

Продолжение таблицы П.56

$\alpha$ -распад  $Np^{237}$

Таблица П.57

### $\gamma$ -излучение $Np^{237}$

Продолжение таблицы П.57

 $\gamma$ -излучение  $N_p^{237}$ 

Баранов [15-61]		Varna [694-69]		Mogilivon [616-55]		Stephano [643-55]		Baranov [15-61]		Varna, 694-69,	
$E_{\gamma}$ , кэВ	Мульти- польность	$E_{\gamma}$ , кэВ	$I_{\gamma}$ , %								
105,0		105,3								610	
		107,0								618	
108,4		108,4								631	
		111,0								642	
		114,5								653	
		117,3								670	
		123,8								680	
		130,2	0,1							705	
133,5		134,0	0,1							721	
144,5		143,6	0,4	146	0,8	143	~1			(736)	
		149,5	0,1							758	
		152,0	0,1							775	
(~160)		162,6	0,005							784	
		164,5								802	
		170,3	0,01							819	
		172,6								828	
		176,1		175	0,1					850	
		179,9								862	
		182,0									
		185,9									
		193,0	0,1								
		196,7	0,1								
		202,7	0,015	200	0,3	198	~1				

\*) 29,66 ± 0,08

 $I_{\gamma}$  - 13,9% (560-57)

Таблица П.58

 $\beta$ -распад  $N_p^{238}$ 

Winter [707-71]*			Palma [77-70]*			Albridge [194-50]†			Баранов [15-56]‡		
$E_{\beta}^{\text{макс}}$ , кэВ	$E_{\beta}^{\text{*,}}$ , кэВ	$I_{\beta}, \%$	$E_{\beta}^{\text{*,}}$ , кэВ	$I_{\beta}, \%$	$E_{\beta}^{\text{*,}}$ , кэВ	$I_{\beta}, \%$	$E_{\beta}^{\text{макс}}$ , кэВ	$I_{\beta}, \%$	$E_{\beta}^{\text{макс}}$ , кэВ	$I_{\beta}, \%$	
1270	44	45			44,1	~45	1236	38	1272	47	312-50
			146	44	145,8	(~5)	(II33)	2,8	1250	45	594-55
					984,5	0,10			1240	42	201-62
280	1028	43	1030	45	1030	38	280	20	258	53	312-50
340	1070	12	1071	II	1071	8,4	250	3I	270	55	594-55
							(200)	8	260	58	201-62

\*) Данные установлены по  $\gamma$ -излучению.

Таблица П.59

 $\gamma$ -излучение №<sup>238</sup>

Winter [707-71]	Bengtson [184-70]	Borggreen [201-62]			Palm [577-70]	Albridge [125-60]	Gallagher [329-59]			
E <sub>γ</sub> , кэВ	I <sub>γ</sub> , %	E <sub>γ</sub> , кэВ	I <sub>γ</sub> , %	E <sub>γ</sub> , кэВ	I <sub>γ</sub> , %	Мульти- польность	E <sub>γ</sub> , кэВ	I <sub>γ</sub> , отн. вд.	E <sub>γ</sub> , кэВ	E <sub>γ</sub> , кэВ
43,8	~0,05			44,1		E2			44,II	44,II
101,73±0,05	0,27			101		E2			101,7	
119,5 ±0,5	0,09	119,8*)	0,10						119,8	
132,2 ±0,5	0,005									
173,77±0,10	0,02									
	<0,01								221,0	
301,3 ±0,3	0,015	301,2	0,01						(292,6)	
323,9 ±0,3	0,015	324,0	0,014							
357,35±0,04	0,05	357,6	0,05							
380,3 ±0,3	0,015									
420,95±0,07	0,03	420,9	0,02							
477	<0,01									
515,30±0,20	0,05	515,4	0,03							
560,83±0,07	0,10	561,1	0,09							
604,90±0,06	0,08	605,2	0,07							
617,21±0,06	0,10	617,3	0,06							
839	<0,01									
882,37±0,06	0,8	882,6		884,6	0,88	E2	884,6	3,3	884,6	
897	<0,01									
918,15±0,06	0,53	918,6	0,50							
923,67±0,06	2,5	924,0	2,46	925,4	2,46	E2	925,4	II	925,4	
936,15±0,10	0,34	936,6	0,35							
				940,6		E0			940,4	940,4
941,09±0,08	0,50	941,4	0,49	943,3		E0			943,I	
962,47±0,07	0,65	962,7	0,60							
984,20±0,05	25	984,5		985,8	24,10	E2	985,8	I00	985,7	985,7
							990	<0,15	989,I	
1025,9 ±0,4	9,2	1026,0		1027,4	8,12	E2	1027,4	32	1027,4	1027,2
1027,8 ±0,4	I7	1028,6		1029,9	I7,45	E2	1029,9	69	1029,9	1029,9
1038	<0,008						1034	<0,15	1033,8	
										(1095,3)

\*) MI - переход

Таблица П.60

 $\beta$ -распад №<sup>239</sup>

Connor /253-59/			Баранов /10-56/			Freedman /314-52/		
E <sub>β</sub> макс., кэВ	E <sup>X</sup> , кэВ	I <sub>β</sub> , %	E <sub>β</sub> макс., кэВ	E <sup>X</sup> , кэВ	I <sub>β</sub> , %	E <sub>β</sub> макс., кэВ	E <sup>X</sup> , кэВ	I <sub>β</sub> , %
713	8	6,5	723	8	7	718	8	4,8
654	67	4	655	76		655	71	I,7
437	284	48	439	292	2I	441	285	3I
393	328	I3,5	382	349	27	380	346	I0
332	389	28	327	404	45	329	397	52
492,2	0,02		Расчетные значения /261-65/					
505,3	0,007							
556,2	~0,003							

Таблица П.61

 $\gamma$ -излучение  $Np^{239}$ 

Ewan [287-59]				Hollander [410-56]		Davies [261-69]		Mayer [519-65]	
E <sub>γ</sub> , кэВ	I <sub>γ</sub> , отн. ед.	I <sub>γ</sub> , отн. ед.	Мульти-помощь	E <sub>γ</sub> , кэВ	I <sub>γ</sub> , отн. ед.	E <sub>γ</sub> , кэВ	I <sub>γ</sub> , отн. ед.	E <sub>γ</sub> , кэВ	
44,65	5,3	0,059	MI+E2	44,64	~300				
49,41	8,0	0,067	MI+E2	49,40	475				
57,26	20,4	0,093	E2	57,25	I275				
61,46	2,0	I,5	EI	61,4	~350			61,480 ± 0,004	
67,86	8,1	0,083	E2	67,82	800				
88,06	0,036	0,0036	MI+E2						
106,14	16,6	I3,4	EI	106,12	2300			I06,I3 ± 0,01	
106,47	0,35	0,025	E2	106,43	[329-59]				
166,39	0,055	0,008	MI						
181,71	0,23	0,039	MI	181,8		182,0	0,045		
209,76	8,18	2,4	MI	209,9	840	209,8	2,0	209,76 ± 0,01	
226,42	0,42	0,II7	MI	226,4					
228,20	22,6	7,46	MI	228,4	2420	228,2	6,9	228,I9 ± 0,01	
254,41	0,20	0,07	MI	254,6		254,2	0,07		
272,87	0,13	0,052	MI	273,I					
277,62	20,7	8,28	MI	277,7	2000	277,4	8,28	277,63 ± 0,01	
285,47	0,47	0,37	E2	285,6		285,2	0,48	285,42 ± 0,04	
315,91	0,91	0,88	EI	316,I		315,5	0,88	315,96 ± 0,06	
334,33	I,2	I,17	EI	334,5		334,I	I,2I	334,II ± 0,02	
						392,4	9,I·IO <sup>-4</sup>		
	I <sub>γ</sub> , %	I <sub>γ</sub> , %							
	[498-55] [254-61]					429,5	2,2·IO <sup>-3</sup>		
(440)	I,6·IO <sup>-2</sup>	3,6·IO <sup>-3</sup>				434,7	7,2·IO <sup>-3</sup>		
						447,6	I,5·IO <sup>-4</sup>		
						454,2	4,7·IO <sup>-4</sup>		
						461,9	9,I·IO <sup>-4</sup>		
						469,8	6,2·IO <sup>-4</sup>		
						484,3	6,0·IO <sup>-4</sup>		
						492,3	3,5·IO <sup>-3</sup>		
						497,8	I,8·IO <sup>-3</sup>		
	(490) I,9·IO <sup>-2</sup> 2,0·IO <sup>-3</sup>					~498,7			
						504,2	4,5·IO <sup>-4</sup>		

\*) I отн.ед. соответ. I,7%.

Таблица П.62

 $\beta$ -распад  $Np^{240m}$ 

Bunker [228-59]			Schmoranek [610-70]			Knight [480-53]		
E <sub>β</sub> , макс., кэВ	E <sup>*</sup> , кэВ	I <sub>β</sub> , %	E <sup>*</sup> , кэВ	I <sub>β</sub> , %	E <sub>β</sub> , макс., кэВ	I <sub>β</sub> , %		
2180 ± 20	0;43	52	0;43	53	2160	52		
1600 ± 30	597	3I	597	32	1590	3I		
1300 ± 50	858;900;942	I0	86I;900;938	8	1260	II		
650 ± 100	I420;I530;I620	7	I4III; I438	0,6	760	6		

Таблица II.63

 $\gamma$ -излучение  $N_p^{240m}$ 

Bunker [228-59]			Schmorak 610-70	Aarø [160-63]
$E_\gamma$ , кэВ	$I_\gamma$ , %	Мультипольность	$E_\gamma$ , кэВ	$E_\gamma$ , кэВ
42,9		E2		42,9
98,9		E2		
260,0	1,9	E1	{ 251,5 263,4 289,2	
304	0,9	E1	303,0 340,7 507,I	
554	21,4	E1	554,6	557
596,5	12,6	E1	597,C 606,I	599,5
758,2	1,3	E2	758,6 769,6±0,I 813,43±0,14	760,I (791,9)
816,0	1,6	E2	817,8	
820	0,3	(E1)		
858,2	0,14	E0	841,1±0,I 857,5 860,7	(844,4) 859,9 (862,7)
897,7	1,2	E2	{ 895,3 900,3	
936	0,3	(E1)		
941,6	1,9	E2	938,I	(954,4) (961,9)
1490	1,5	(E2)		
1530	1,9	(E2)		
1620	0,7	(E2)		

Таблица II.64

 $\lambda$ -распад  $P_u^{236}$ 

Hummel [435-56]			Баранов [22-67]		
$E_\lambda$ , кэВ	$E^*$ , кэВ	$I_\lambda$ , %	$E_\lambda$ , кэВ	$E^*$ , кэВ	$I_\lambda$ , %
5769	0	68,9	5768	0	72,4
5722	47,5	30,9	5722	46,5	27,6
5616	156	0,18			
5454	321	$2 \cdot 10^{-3}$			
			Lederer [493-63]		
			5210	568	$2,7 \cdot 10^{-4}$
			5080	699	$6 \cdot 10^{-4}$

### $\gamma$ -излучение $Pu^{236}$

### Таблица П.65

Hummel 435-56,		Lederer 493-63,	
E <sub>f</sub> , kB	I <sub>f</sub> , %	E <sub>f</sub> , kB	I <sub>f</sub> , %
47	0,031		
110	0,012		
165	6,6·10 <sup>-4</sup>		
		520	1,7·10 <sup>-4</sup>
		570	1,0·10 <sup>-4</sup>
		640	2,4·10 <sup>-4</sup>

Таблица П.66  
 $\beta$ -излучение  $Pu^{237}$   
 (сопровождает  $e^-$ -захват) 1407-58)

$E_f$ , кэв	$I_{II}$ , сим.ед.
26,36	0,19
33,20	1,7
43,46	≤0,18
(55,56)	≤0,01
59,57	1,0
(76,4)	≤0,05
(99,0)	≤0,004

$\alpha$ -распад  $Pb^{238}$

Таблица П.67

$\chi$ -излучение  $Pu^{238}$

Таблица II.68

Schmorak [611-71]	Newton [559-56]	Третьяков [97-59]	Леваро [139-54, 151-57]			
E <sub>d</sub> , кэв	E <sub>d</sub> , кэв	I <sub>d</sub> , отн.ед.	E <sub>d</sub> , кэв	I <sub>d</sub> , %	E <sub>d</sub> , кэв	I <sub>d</sub> , %
43,49±0,01*)	43,49±0,08	100	43,5		43,8±0,5	0,038
99,85±0,01	99,8 ±0,4	28	99,8		99±2	0,008
153,72±0,02	153,1 ±0,3	3	152,6±0,3	1,3·10 <sup>-3</sup>	153	{ 0,001
201,02±0,03					203	{ 0,004 4·10 <sup>-6</sup>
Lubernack [225-68]	Макаренко [83-71]		Reier [597-69]		Lederer [493-63, 494-64]	
708	707±1	2,5				
	743	25,7	742		743	9·10 <sup>-6</sup>
	767	100	765		767	3,5·10 <sup>-5</sup>
	786	14,9	785		786	6·10 <sup>-6</sup>
	807	3,2	807			
850	852	6,6				
881	882±1,5	3,3				

Продолжение таблицы П.68

### $\gamma$ -излучение $Pu^{238}$

Hubermeier [225-68]		Макаренко 83-71		Reiter [597-69]		Lederer [493-63, 494-64]	
E <sub>y</sub> , кН/м	I <sub>y</sub> , см <sup>4</sup>	E <sub>y</sub> , кН/м	I <sub>y</sub> , см <sup>4</sup>	E <sub>y</sub> , кН/м	I <sub>y</sub> , %	E <sub>y</sub> , кН/м	I <sub>y</sub> , %
902							
924	926	2,7		925			
939	945	2,6					
998	1002	4,0					
1038	1039±2	0,7		1039			
1083	1083±2	1,1					
			I5II				
			I6I8				

<sup>\*)</sup>  $43.50 \pm 0.4$  [ATT=56]

Таблица П.69

$\alpha$ -распад  $Pu^{239}$

Баранов /I7-62; 24-67/			Horach /419-65/			Ahmad /117-66/			Джелепов /50-61/			/I34-52; 491-62/		
E <sub>el</sub> , кэв	E <sup>x</sup> , кэв	I <sub>el</sub> , %	E <sub>el</sub> , кэв	E <sup>x</sup> , кэв	I <sub>el</sub> , %	E <sup>x</sup> , кэв	I <sub>el</sub> , %	E <sup>x</sup> , кэв	I <sub>el</sub> , %	E <sub>el</sub> , кэв	E <sup>x</sup> , кэв	I <sub>el</sub> , %		
5155,6	0-0,08	73,3	5156	0-0,08				0-I	72	5155,7 <sup>±</sup> 0,6	69			
5143	I2,7	15,1	5143	I3				I3	I7	5143,0 <sup>±</sup> 0,7	20			
(46)	(<0,03)													
5105	5I	II,5	5104	53	II,5			5I	II	5105,0 <sup>±</sup> 0,7	II			
5076	8I	0,032	5074	83	0,043			84	0,038					
5064	93	9·10 <sup>-4</sup>												
5054	I03	0,02I	5054	I04	>3,3·10 <sup>-3</sup>			I04	0,030					
5029	I29	5·10 <sup>-3</sup>	5028	I30	3,8·10 <sup>-3</sup>	I29	5·10 <sup>-3</sup>							
5008	I50	8·10 <sup>-3</sup>	5006	I52	0,0II			I50	0,0I8					
4999	I59	6·10 <sup>-4</sup>												
4986	I72	5·10 <sup>-3</sup>	4987 дубл. I72		4,1·10 <sup>-3</sup>	I7I	6·10 <sup>-3</sup>	I70	8·10 <sup>-3</sup>					
496I	I98	3·10 <sup>-3</sup>	4959	200	4,4·10 <sup>-3</sup>			I98	8·10 <sup>-3</sup>					
4955	204	5·10 <sup>-4</sup>												
4935	224	3·10 <sup>-3</sup>	493I	229	2,9·10 <sup>-3</sup>	225	3·10 <sup>-3</sup>	224	8·10 <sup>-3</sup>					
4912	247	8·10 <sup>-4</sup>				248	2·10 <sup>-4</sup>	(243)	~3·10 <sup>-3</sup>					
487I	289	7·10 <sup>-4</sup>												
4866	294		4863	297	7·10 <sup>-4</sup>	295	8·10 <sup>-4</sup>	299	4·10 <sup>-3</sup>					
4828	333	1,5·10 <sup>-3</sup>	4828	333	2,1·10 <sup>-3</sup>	333	2,1·10 <sup>-3</sup>							
4799	363	6·10 <sup>-4</sup>	4793	368	8·10 <sup>-4</sup>	367	7·10 <sup>-4</sup>							
			4768	394	≤1·10 <sup>-3</sup>	393	6·10 <sup>-4</sup>							
						(414)	4·10 <sup>-4</sup>							
474I	422	2,6·10 <sup>-3</sup>	4738	424	3·10 <sup>-3</sup>	427	5·10 <sup>-3</sup>	424	7·10 <sup>-3</sup>					
4737	426													
4693	470	4·10 <sup>-4</sup>	4693	470	<6·10 <sup>-4</sup>	474	5·10 <sup>-4</sup>			Björnholm [193-63]				
4634	530	2·10 <sup>-4</sup>	4638	526	≤8·10 <sup>-4</sup>	533	6·10 <sup>-4</sup>							
								~650	8·10 <sup>-5</sup>	4510 <sup>a)</sup>				
								~780	2,5·10 <sup>-5</sup>	4380 <sup>a)</sup>				

Таблица П.70

 $\gamma$ -излучение  $P_u^{239}$ 

Ahmad [117-66]		Horbach [420-66, 419-65]		Ahmad [117-66]		Horbach [420-66]		Третьяков [99-65]		Кривохатский [33-67]	
$E_\gamma$ , кэВ	отн. ед.	$E_\gamma$ , кэВ	$I_\gamma$ , %	$E_\gamma$ , кэВ	отн. ед.	$E_\gamma$ , кэВ	$I_\gamma$ , %	$E_\gamma$ , кэВ	$I_\gamma$ , %	$E_\gamma$ , кэВ	$I_\gamma$ , %
38,6	I50	37	$2,3 \cdot 10^{-2}$	3II,8	0,5	3I2,8 $\pm$ 1,5	$2,3 \cdot 10^{-5}$	3I6	$2,7 \cdot 10^{-4}$		
46,2	I6			32I,I	0,8			325	$9 \cdot 10^{-5}$		
5I,6	4I0	52	$3,6 \cdot 10^{-2}$	323,9	0,9	322,8 $\pm$ 0,8	$6,9 \cdot 10^{-5}$	324			
56,9	I6			333,0	8	333,2 $\pm$ 0,5	$< 6,4 \cdot 10^{-4}$	333,I $\pm$ 0,5	335		
68,6	I4	69	$8,0 \cdot 10^{-4}$	336,3	I,8			336,I $\pm$ 0,7	338	$7,5 \cdot 10^{-4}$	
77,6	II			34I,7	I,2	340,0 $\pm$ 2,0	$< 5,5 \cdot 10^{-5}$	342,6 $\pm$ 0,7	342		
			$94,7 \pm 0,6$	345,I	8,7	345,2 $\pm$ 0,5	$3,9 \cdot 10^{-4}$	345,6 $\pm$ 0,7	345	$7,5 \cdot 10^{-4}$	
			$98,7 \pm 0,5$	367,4	I,6	363,4 $\pm$ 2,0	$2,5 \cdot 10^{-5}$	363,5 $\pm$ 1,0	365	$8 \cdot 10^{-5}$	
103,0	4	I02,8 $\pm$ 0,8	$5,3 \cdot 10^{-4}$	368,7	I,4	369,3 $\pm$ 1,5	$2,2 \cdot 10^{-4}$				
116,0	I8	II7,6 $\pm$ 1,I	$1,4 \cdot 10^{-3}$	375,2	25	376,3 $\pm$ 0,5	$I2,3 \cdot 10^{-4}$	375,2 $\pm$ 0,3	373	$1,7 \cdot 10^{-3}$	
125,0	I,9	I24,3 $\pm$ 1,5	$< 4,5 \cdot 10^{-4}$	380,4	5	381,3 $\pm$ 1,5		380,7 $\pm$ 0,7	380	$5 \cdot 10^{-4}$	
129,3	I00	I29,3 $\pm$ 0,3	$4,3 \cdot 10^{-3}$	382,9	4	382,7 $\pm$ 1,5	$2,7 \cdot 10^{-4}$	383,2 $\pm$ 0,7			
I4I,7	0,6									392,5 $\pm$ 0,7	
I44,2	5	I44,I $\pm$ 0,8	$2,8 \cdot 10^{-4}$	393,5	I0	393,5 $\pm$ 0,8	$3,6 \cdot 10^{-4}$	393,4 $\pm$ 0,7	390	$5 \cdot 10^{-4}$	
I46,0	2,I					408,0 $\pm$ 1,5	$8 \cdot 10^{-5}$	406,2 $\pm$ 0,5	405	$I,5 \cdot 10^{-4}$	
		I60,3 $\pm$ I,I	$3,8 \cdot 10^{-4}$	4I3,7	25	4I4,2 $\pm$ 0,5	$10,9 \cdot 10^{-4}$	II4,0 $\pm$ 0,3	II2	$I,5 \cdot 10^{-3}$	
I7I,4	I,8	I7I,3 $\pm$ 0,5	$I,1 \cdot 10^{-4}$	422,6	2	423,4 $\pm$ 0,8	$7 \cdot 10^{-5}$	422,8 $\pm$ 0,7	420	$I,5 \cdot 10^{-4}$	
I79,I	I,2	I78,6 $\pm$ 0,8	$4,8 \cdot 10^{-5}$	(426,7)	0,3						
I89,I	I,5	I89,2 $\pm$ I,6	$I,2 \cdot 10^{-4}$			445,8 $\pm$ 0,8	$I,5 \cdot 10^{-5}$				
I95,6	I,9	I95,7 $\pm$ 0,8	$I,7 \cdot 10^{-4}$	45I,6	3,4	45I,9 $\pm$ 0,5	$I,4 \cdot 10^{-4}$	452,0 $\pm$ 0,7	450	$2,7 \cdot 10^{-4}$	
203,5	9	203,5 $\pm$ 0,8	$7 \cdot 10^{-4}$	[I93-63; 494-64]		480,7 $\pm$ 2,0	$7 \cdot 10^{-6}$				
					$I_\gamma$ , %						
		224,9 $\pm$ I,5	$I,1 \cdot 10^{-4}$	(597)	$4 \cdot 10^{-6}$						
		24I,2 $\pm$ 2,0	$7,4 \cdot 10^{-5}$	(6I7)	$6 \cdot 10^{-6}$						
255,5	I,6	255,I $\pm$ 0,5	$6 \cdot 10^{-5}$	(632)	$5 \cdot 10^{-6}$						
264,0	0,6			639	$I,7 \cdot 10^{-5}$	636,0 $\pm$ 3,0	$2 \cdot 10^{-5}$				
297,6	0,9	297,8 $\pm$ 0,8	$3 \cdot 10^{-5}$	645	$2 \cdot 10^{-5}$	645,5 $\pm$ 3,0	$3,6 \cdot 10^{-5}$				
				652	$I,3 \cdot 10^{-5}$						
				659	$I,6 \cdot 10^{-5}$						
				(674)	$I \cdot 10^{-6}$						
				(70I)	$I \cdot 10^{-6}$						
				705	$6 \cdot 10^{-6}$						
				7I8	$4 \cdot 10^{-6}$						
				758	$6 \cdot 10^{-6}$	756,0 $\pm$ 3,0	$I \cdot 10^{-5}$				
				77I	$I,8 \cdot 10^{-5}$	766,8 $\pm$ 3,0	$2,3 \cdot 10^{-5}$				

Таблица П.7I

 $\lambda$ -распад  $P_u^{240}$ 

Leang [491-62]		Asaro [134-52]		Гольдин [45-55; 72-56]			
$E_\lambda$ , кэВ	$E_\lambda$ , кэВ	$E_\lambda^*$ , кэВ	$E_\lambda^*$ , кэВ	$E_\lambda$ , кэВ	$E_\lambda^*$ , кэВ	$I_\lambda$ , %	$I_\lambda$ , %
5I67,7 $\pm$ 0,7	5I68	0	76	5I65	0	75,5	
5I23,3 $\pm$ 0,7	5I23	45,5	24	5I2I	45	24,4	
	50I9	I5I	0,I	5020	I47	0,09I	
				(4958)	(2I0)	$2,7 \cdot 10^{-3}$	
				(4930)	(239)	$3,1 \cdot 10^{-3}$	
				4856	3I4	$3,2 \cdot 10^{-3}$	
Lederer [493-63]							
4490	690		$2,1 \cdot 10^{-5}$				

Таблица П.72

 $\gamma$ -излучение  $Pu^{240}$ 

Schmorak [611-71]	Третьяков [97-59]		Murri [553-61]	
$E_\gamma$ , кэВ	$E_\gamma$ , кэВ	$I_\gamma$ , %	$E_\gamma$ , кэВ	$I_\gamma$ , %
45,242 ± 0,006	45,3 ± 0,2		44,8	$3,6 \cdot 10^{-2}$
	45,28 [4II-56]		60	$2 \cdot 10^{-3}$
104,233 ± 0,015	103,6 ± 0,3		102,5	$9,1 \cdot 10^{-3}$
I60,3I ± 0,0I	I60 ± I,5	$2 \cdot 10^{-3}$	I55	$5,1 \cdot 10^{-4}$
212,4 ± 0,I			203	$4,8 \cdot 10^{-4}$
	Lederer [493-63, 494-64]		263	$2,5 \cdot 10^{-5}$
	642,3	$I,4 \cdot 10^{-4}$	317	$3,6 \cdot 10^{-5}$
	687,8	$0,4 \cdot 10^{-5}$		

Таблица П.73

 $\alpha$ -распад  $Pu^{241}$ 

Баранов [19-65]			Джелепов [19-64]			Ahmed [119-68]	
$E_\alpha$ , кэВ	$E^*$ , кэВ	$I_\alpha$ , %	$E_\alpha$ , кэВ	$E^*$ , кэВ	$I_\alpha$ , %	$E_\alpha$ , кэВ	$I_\alpha$ , %
505I	0	0,35				5055	
504I	10,7	I,02	5042	II	I,5	5042	I,5
~4998							
4995	57	0,36				4999	0,4I
497I	62	I,I2	4973		I,4	4972	I,3
~4968							
4896	I58	83,5	4899	I55	83	4896	83,2
4853	202	I2,3	4862	I4	I3	4853	I2,I
4798	258	I,I8	4805	I52	I,I	4797	I,2
						4783	0,2
						4742	~0,07
~4732	~325	~0,03				4692	~0,03

Таблица П.74  
 $\gamma$ -излучение  $Pu^{241}$   
(сопровождает  $\alpha$ -распад) [II9-68]

$E_\gamma$ , кэВ	$I_\gamma$ , %
44,7 ± 0,3	0,17
56,6 ± 0,2	0,1I
76,9 ± 0,2	0,73
I03,5 ± 0,2	4,5 *)
II4,0 ± I,0	0,25
I20,7 ± 0,5	0,05
I48,5 ± 0,2	9,0 *)
I60,0 ± 0,2	0,32
64I ± 2	
687 ± 2	

\*) 100 - 45% (в сумме с  $\beta$ -излучением),  
I45 - 9% [3I3-52]

Таблица П.75

Hoffman [40-62]		Stephens [644-56, 650-59]		Engelkemeir [279-53]	
$E_\beta$ макс., кэВ	$I_\beta$ , %	$E_\beta$ макс., кэВ	$I_\beta$ , %	$E_\beta$ макс., кэВ	$I_\beta$ , %
578 ± 10	~ 60	580	62	566	53
485 ± 10	~ 40	490	38	468	35
		(I,5)	~II5	I	~370 I2

Таблица П.76

 $\gamma$ -излучение  $Pu^{243}$ 

Hoffman [408-69]			Friedman [24-69]			Freedman [317-57]			Stephens [644-56]		
$E_{\gamma}$ , кэВ	$I_{\gamma}^{(1)}$ , *) отн.ед.	$I_{\gamma}, \%$	Мульти-поль-ность	$E_{\gamma}$ , кэВ	$I_{\gamma}^{(2)}$ , *) отн.ед.	$E_{\gamma}$ , кэВ	$I_{\gamma}, \%$	$E_{\gamma}$ , кэВ	Мульти-поль-ность		
(34)		(~4)	(MI+E2)							(12,2)	
41,9±0,2	4	2,3	EI	41,8±0,2	3,3					(29,7)	
(42,2±0,5)		~14	MI+E2							(36,7)	
54 ±1	≤0,1	≤2	MI+E2							54	
67 ±1	1,0	0,4	EI								.
84,1±0,2	100	34	EI	84,0±0,2	100	84	21	83,9	EI		
96,5±0,4	0,06	~0,4	E2	96,4±0,4	0,06	96					
109,1±0,3	0,70	0,2	EI	109,3±0,2	0,70						
										(134)	
322,4±0,3	0,13	0,07	MI	322,2±0,3	0,12						
343,0±0,5	~0,0065	~0,003	MI	343,2±0,5	~0,006					340	
356,5±0,3	0,59	0,29	MI	356,4±0,3	0,57						
381,6±0,3	2,50	1,16	MI	381,7±0,3	2,4	381	0,7	381,2			
388,8±0,4	0,022	0,01	MI	388,9±0,3	0,020						
407,2±0,5	0,005	(~0,002)(MI)		(407,0±0,5)	~0,004						
423,3±0,4	0,060	0,025	MI	423,2±0,3	0,053						
449 ±1	~0,001	(~0,0003)(E2)		448,7±0,5	~0,001						
465,7±0,5	≤0,003	≤0,0008	EI	465,7±0,5	≤0,001						

\*) 0,276  $\gamma$ -квант на I  $\gamma$ -распад [408-69]

0,23±0,02 " " " " [303-71]

Таблица П.77

 $\gamma$ -излучение  $Pu^{246}$ 

Multhauf [552-71]			Stephens [651-65, 573-66]			Hoffman [403-56]		
$E_{\gamma}$ , кэВ	$I_{\gamma}$ , отн.ед.	$I_{\gamma}, \%$	$E_{\gamma}$ , кэВ	$I_{\gamma}, \%$	Мульти-польность	$E_{\gamma}$ , кэВ	I., отн.ед.	
27,58±0,02	I4,I					27±3	I3	
43,81±0,02	100		44	30	EI	47±2	30	
66,60±0,02	I,02							
75,64±0,02	0,72					80	3	
						99±5	Слаб.	
149,42±0,03	0,23							
158,42±0,03	0,14							
179,94±0,02	38,8		180,4	I0	MI	175±5	3	
189,00±0,04	0,19							
216,55±0,04	0,45					215±10		
223,75±0,02	94		224	25	EI			
232,75±0,03	0,32							
255,54±0,03	0,92							
299,34±0,06	0,12							

Таблица П.78  
 $\gamma$ -излучение  $\text{Am}^{239}$   
 (сопровождает  $e^-$ -захват) [636-57]

$E_\gamma$ , кэВ	Мульти- польность	$I_{\gamma}$ , отн.ед.
44,70	MI+E2	<320
49,47	MI+E2	~350
57,3I	E2	1275
67,9I	E2	700
181,8	MI	275
209,9	MI	920
226,5	MI	810
228,3	MI	2700
277,6	MI	2300

Таблица П.79  
 $\gamma$ -излучение  $\text{Am}^{240}$

Smith [636-57]		Glass [358-60]		Knight [481-63]		Билибин [34-66]	
$E_\gamma$ , кэВ	Мульти- поль- ность	$E_\gamma$ , кэВ	$I_\gamma$ , %	$E_\gamma$ , кэВ	$I_\gamma$ , %	$E_\gamma$ , кэВ	$I_\gamma$ , %
42,87±0,04	E2						
98,9 ±0,2	E2						
888,8 [362-70]		900	23	890	29	20	
987,5 [362-70]		1000	77	990	71	80	
		(1400) [356-54]					~0,1

Таблица П.80

$\alpha$ -распад  $\text{Am}^{241}$

Баранов [18-63]			Michaelis [543-65]			Ласаго [133-52; 138-54]			Гольдинг [45-55]		
$E_\alpha$ , кэВ	$E^*$ , кэВ	$I_\alpha$ , %	$E_\alpha$ , кэВ	$E^*$ , кэВ	$I_\alpha$ , %	$E_\alpha$ , кэВ	$E^*$ , кэВ	$I_\alpha$ , %	$E_\alpha$ , кэВ	$E^*$ , кэВ	$I_\alpha$ , %
5545	0	0,25	5545	0	0,35	5547	0	0,42	5547	0	0,39
5513	32,5	0,12	5513	32,5	0,21	5515	33	0,24	5514	33,5	0,24
5486 <sup>x)</sup>	59,5	86,0	5486	59,5	85,6	5488	59,6	84,3	5488	59,8	85,0
(5469)	76,5	<0,04	(5469)	76,5	<0,1						
5443 <sup>x)</sup>	I03	I2,7	5443	I03	I2,3	5445	I03	I3,6	5445	I03,2	I2,8
(5417)	I29	~0,01				5422	I27	$8 \cdot 10^{-3}$			
5389	I58	I,33	5389	I58	I,5	539I	I58,6	I,4	5392	I57,2	I,66
5322	226	0,015	5323	225	0,014	5324	226	0,018	5327	224	0,015
5279	270	$5 \cdot 10^{-4}$	5278	27I	$4 \cdot I \cdot 10^{-4}$						
5244	306	$2,4 \cdot 10^{-3}$	5243	307	$2,8 \cdot 10^{-3}$	5246	306	$3,7 \cdot 10^{-3}$	5247	305	$2 \cdot 10^{-3}$
5223	327	$1,3 \cdot 10^{-3}$	5217	333	$1,1 \cdot 10^{-3}$	5224	328	$1,8 \cdot 10^{-3}$			
5194	357	$6 \cdot 10^{-4}$	519I	360	$\sim 6 \cdot 10^{-4}$						
5182	369	$9 \cdot 10^{-4}$	5182	369	$\sim 1,2 \cdot 10^{-3}$						
5178	372	$3 \cdot 10^{-4}$	5178	372	$\sim 5 \cdot 10^{-4}$	5180	372	$1,8 \cdot 10^{-3}$			
5156	395	$7 \cdot 10^{-4}$	5156	395	$5 \cdot 10^{-4}$	5156	397	$1,8 \cdot 10^{-3}$			
5114	437	$4 \cdot 10^{-4}$	5112	439	$3,5 \cdot 10^{-4}$						
5096	456	$\sim 4 \cdot 10^{-4}$	5096	456	$\sim 5 \cdot 10^{-4}$						
5089	463	$\sim 4 \cdot 10^{-4}$	5089	463							
5068	485	$1,4 \cdot 10^{-4}$	5064	489	$< 2 \cdot 10^{-4}$						
5004	549	$\sim 10^{-4}$	5003	550	$< 2 \cdot 10^{-4}$						
4834	723	$7 \cdot 10^{-4}$	4835	722	$6,5 \cdot 10^{-4}$						
4800	758	$8,6 \cdot 10^{-5}$	4804	754	$8,4 \cdot 10^{-5}$						
			4754	804	$< 1 \cdot 10^{-5}$						

x)  $5486,0 \pm 0,9$  } /49I-62/  
 $5443,2 \pm 0,9$  }

Таблица II.8I

 $\chi$ -излучение  $A_{m^{241}}$ 

Day [262-55]		Hyde [443-64]		Michaelis [544-66]		Wolfson [710-64]		Milleder [546-54]
$E_f$ , кэВ	$I_f$ , отн.ед.	$E_f$ , кэВ	$I_f$ , %	$E_f$ , кэВ	$I_f$ , %	$E_f$ , кэВ	$I_f$ , %	Мульти- пльность
26,363 $\pm$ 0,014	8,2	26,36	2,5			26,356 $\pm$ 0,02		EI
33,199 $\pm$ 0,021	0,5	33,20	0,II			33,211 $\pm$ 0,02		MI+E2
43,463 $\pm$ 0,085	0,6	43,46	0,07			43,437 $\pm$ 0,02		MI+E2
		55,52				55,562 $\pm$ 0,02		MI+E2
59,568 $\pm$ 0,017	100	59,56	35,9	59,6	38	59,57		EI
Günther [371-67]		59,536 $\pm$ 0,001 [460-68]			35,3 [579-69]			
59,6 $\pm$ 0,5	4,8 $\cdot$ 10 <sup>6</sup>	67,26				67,52 $\pm$ 0,06		
99,0 $\pm$ 0,5	2,7 $\cdot$ 10 <sup>3</sup>	99,0	0,023	99,1 $\pm$ 0,4	0,02	98,997 $\pm$ 0,04 Lederer [495-66]		E2
103,0 $\pm$ 0,5	2,8 $\cdot$ 10 <sup>3</sup>	103,0 Kanoun [467-68]	0,019	102,9 $\pm$ 0,4	0,016	102,7 $\pm$ 1,0 0,024	E2	
122,8 $\pm$ 0,5	163	123,2 $\pm$ 0,3	1,8 $\cdot$ 10 <sup>-3</sup>	122,0 $\pm$ 1,5	1,1 $\cdot$ 10 <sup>-3</sup> (122,1 $\pm$ 2,0)	<0,002 (E2)		
125,3 $\pm$ 0,5	537	125,3 $\pm$ 0,3	4,5 $\cdot$ 10 <sup>-3</sup>	125,2 $\pm$ 0,4	2,8 $\cdot$ 10 <sup>-3</sup> (125,1 $\pm$ 2,0)	5 $\cdot$ 10 <sup>-3</sup> (EI)		
139,2 $\pm$ 0,5	0,5b							
146,5 $\pm$ 0,5	55	146,6 $\pm$ 0,3	1,6 $\cdot$ 10 <sup>-4</sup>	146,6 $\pm$ 0,9	146,3 $\pm$ 1,0	1,6 $\cdot$ 10 <sup>-4</sup> (E2)		
149,9 $\pm$ 0,5	17,8	150,1 $\pm$ 0,3	3,5 $\cdot$ 10 <sup>-5</sup>	149,9 $\pm$ 1,5	4,8 $\cdot$ 10 <sup>-4</sup> (150 $\pm$ 2)	<2,4 $\cdot$ 10 <sup>-5</sup> (EI)		
		154,4 $\pm$ 0,3	8 $\cdot$ 10 <sup>-6</sup>					
		156,4 $\pm$ 0,3	1,2 $\cdot$ 10 <sup>-5</sup>	(157,3 $\pm$ 1,5)	1,6 $\cdot$ 10 <sup>-4</sup>			
		158,3 $\pm$ 0,3	9 $\cdot$ 10 <sup>-6</sup>					
		161,7 $\pm$ 0,3	9 $\cdot$ 10 <sup>-6</sup>					
164,7 $\pm$ 0,5	II,I	164,6 $\pm$ 0,3	2,5 $\cdot$ 10 <sup>-5</sup>	163,9 $\pm$ 1,5	1,2 $\cdot$ 10 <sup>-4</sup> (164,4 $\pm$ 1,0)	4,1 $\cdot$ 10 <sup>-5</sup> E2		
		166,2 $\pm$ 0,3	5 $\cdot$ 10 <sup>-6</sup>					
169,6 $\pm$ 0,5	21,9	169,6 $\pm$ 0,3	8,5 $\cdot$ 10 <sup>-5</sup>	169,4 $\pm$ 0,9	1,4 $\cdot$ 10 <sup>-4</sup> (169,2 $\pm$ 1,0)	1,0 $\cdot$ 10 <sup>-4</sup> (E2)		
175,5 $\pm$ 0,5	2,33	175,0 $\pm$ 0,3	7 $\cdot$ 10 <sup>-6</sup>					
191,7 $\pm$ 0,5	2,45	191,9 $\pm$ 0,5	3 $\cdot$ 10 <sup>-5</sup>	192,0 $\pm$ 1,5	2,2 $\cdot$ 10 <sup>-5</sup>			
		197,0 $\pm$ 0,4	1,3 $\cdot$ 10 <sup>-5</sup>					
207,8 $\pm$ 0,5	100	208,0*	5,6 $\cdot$ 10 <sup>-4</sup> *	207,8 $\pm$ 0,5	6,0 $\cdot$ 10 <sup>-4</sup> (208,2 $\pm$ 0,5)	5,6 $\cdot$ 10 <sup>-4</sup> MI+E2		
221,1 $\pm$ 0,5	5,44	221,4 $\pm$ 0,3	3 $\cdot$ 10 <sup>-5</sup>	221,3 $\pm$ 0,9	2,8 $\cdot$ 10 <sup>-5</sup> (221,5 $\pm$ 1,0)	3,5 $\cdot$ 10 <sup>-5</sup>		
232,9 $\pm$ 0,5	0,53							
		242,4 $\pm$ 0,4	3 $\cdot$ 10 <sup>-5</sup>					
		245,0 $\pm$ 0,3	3 $\cdot$ 10 <sup>-5</sup>					
247,1 $\pm$ 0,5	0,34	248,0 $\pm$ 0,4	5,5 $\cdot$ 10 <sup>-5</sup>					
264,6 $\pm$ 1,0	1,42			260,4 $\pm$ 1,5	5,8 $\cdot$ 10 <sup>-6</sup>			
267,2 $\pm$ 0,5	3,47	267,4 $\pm$ 0,3	3,5 $\cdot$ 10 <sup>-5</sup>	266,9 $\pm$ 0,9	2,0 $\cdot$ 10 <sup>-5</sup> (267,2 $\pm$ 1,0)	2,7 $\cdot$ 10 <sup>-5</sup> EI+M2		
275,6 $\pm$ 1,5	0,67							
293,5 $\pm$ 0,5	2,28	292,8 $\pm$ 0,5	2 $\cdot$ 10 <sup>-5</sup>	292,4 $\pm$ 1,5	1,7 $\cdot$ 10 <sup>-5</sup> (292,0 $\pm$ 1,5)	2,1 $\cdot$ 10 <sup>-5</sup> (E2)		
		294,9 $\pm$ 0,5	5,5 $\cdot$ 10 <sup>-5</sup>					
		310,3 $\pm$ 0,6	1,5 $\cdot$ 10 <sup>-5</sup>					
311,9 $\pm$ 1,0	1,42	312,1 $\pm$ 0,5	8 $\cdot$ 10 <sup>-5</sup>	312,0 $\pm$ 0,9	7,1 $\cdot$ 10 <sup>-5</sup> (311,9 $\pm$ 1,0)	2,7 $\cdot$ 10 <sup>-5</sup>		
322,1 $\pm$ 0,5	20,9	322,5 $\pm$ 0,3	1,9 $\cdot$ 10 <sup>-4</sup>	322,4 $\pm$ 0,9	1,4 $\cdot$ 10 <sup>-4</sup> (322,6 $\pm$ 0,5)	1,6 $\cdot$ 10 <sup>-4</sup> (MI)		
332,3 $\pm$ 1,0	28,8	332,4 $\pm$ 0,3	1,4 $\cdot$ 10 <sup>-4</sup>	334,5 $\pm$ 0,9	4,7 $\cdot$ 10 <sup>-4</sup> (332,4 $\pm$ 0,7)	1,8 $\cdot$ 10 <sup>-4</sup> E2		
335,2 $\pm$ 1,0	67,4	335,4*	5,7 $\cdot$ 10 <sup>-4</sup> *	348,5 $\pm$ 2,0	7,7 $\cdot$ 10 <sup>-6</sup>	335,3 $\pm$ 0,5	5,7 $\cdot$ 10 <sup>-4</sup> MI(+E2)	
				358 $\pm$ 2	I,4 $\cdot$ 10 <sup>-5</sup>			

Продолжение таблицы П.81

 $\gamma$ -излучение  $A_{m^{24I}}$ 

Günther [371-67]		Kamoun [467-68]		Michaelis [544-66]		Lederer [433-65]		
$E_\gamma$ , кэВ	$I_\gamma$ , отн.ед.	$E_\gamma$ , кэВ	$I_\gamma$ , %	$E_\gamma$ , кэВ	$I_\gamma$ , %	$E_\gamma$ , кэВ	$I_\gamma$ , %	Мульти- польность
369,0±0,5		368,6±0,3	2,8·10 <sup>-4</sup>	369,3±0,9	2,0·10 <sup>-4</sup>	368,5±1,0	2,8·10 <sup>-4</sup>	MI(+E2)
371,0±0,5	41,3	371,0±0,6	6·10 <sup>-5</sup>					
376,4±0,5	19,5	376,8±0,3	1,4·10 <sup>-4</sup>	376,6±0,9	1,1·10 <sup>-4</sup>	376,8±0,5	1,6·10 <sup>-4</sup>	(MI)
383,6±0,5	4,22	383,6±0,3	5,5·10 <sup>-5</sup>	384,5±2,0	2,2·10 <sup>-5</sup>	383,9±1,0	2,9·10 <sup>-5</sup>	(MI)
391,6±0,5	0,59	391,0±0,5	4·10 <sup>-5</sup>	392,5±2,0	9,2·10 <sup>-6</sup>			
419,3±1,0	3,78	419,4±0,3	6·10 <sup>-5</sup>	419,1±1,5	2,9·10 <sup>-5</sup>	419,6±1,0	3,6·10 <sup>-5</sup>	(MI)
426,4±1,0	3,46	426,8±0,3	3·10 <sup>-5</sup>	426,5±1,5	2,7·10 <sup>-5</sup>	426,7±1,0	3,3·10 <sup>-5</sup>	(MI)
431,7±1,0	0,10							
435,3±1,0	0,30							
444,0±1,5	0,30	445,1±0,6	4,5·10 <sup>-5</sup>	441±2	2,8·10 <sup>-6</sup>			
451,8±1,0	0,61							
455,1±1,0	1,20			455±2	1,4·10 <sup>-5</sup>	(454±2)	<1,7·10 <sup>-5</sup>	(E2)
459,2±1,0	0,50			462±2	1,4·10 <sup>-5</sup>			
514,0±2,0	0,58							
		525,7±1	8·10 <sup>-5</sup>					
597,9±1,0	0,66					570,2±2,0	1,0·10 <sup>-5</sup>	
619,4±0,5	7,23	619,6±0,8	8·10 <sup>-5</sup>	596,4±2,0	9,1·10 <sup>-6</sup>	597,4±1,5	1,0·10 <sup>-5</sup>	MI
642,4±1,0	0,62			618,5±0,5	3,6·10 <sup>-5</sup>	618,9±0,5	8,5·10 <sup>-5</sup>	MI
653,5±0,5	3,21	653,1±0,6	9·10 <sup>-5</sup>	653,8±1,2	4,4·10 <sup>-5</sup>	641,5±1,5	1,0·10 <sup>-5</sup>	
663,0±0,5	46,1	663,0±0,7	5,3·10 <sup>-4*</sup>	661,7±0,4	3,0·10 <sup>-4</sup>	662,3±0,3	5,3·10 <sup>-4</sup>	MI+EO
681,4±0,5	0,26			682,2±1,5	9,4·10 <sup>-6</sup>	680,0±1,5	5,3·10 <sup>-6</sup>	(EI)
689,5±0,5	1,60			688,7±0,9	2,0·10 <sup>-5</sup>	688,7±0,5	4,3·10 <sup>-5</sup>	(EI)
696,0±1,0	0,65					695,4±1,0	1,0·10 <sup>-5</sup>	MI
710,3±0,5	0,58					709,8±1,0	9·10 <sup>-6</sup>	
722,7±0,5	24,2	723,2±0,8	4,8·10 <sup>-4</sup>	721,2±0,4	1,7·10 <sup>-4</sup>	722,1±0,5	2,8·10 <sup>-4</sup>	EI
730,7±1,5	0,11							
738,1±1,5	0,83					737,0±1,0	1,2·10 <sup>-5</sup>	
757,1±1,5	1,12	757,3±0,9	1,0·10 <sup>-4</sup>	756,0±1,5	7,8·10 <sup>-6</sup>	756,8±1,0	1,3·10 <sup>-5</sup>	EI
768,6±2,0	0,87	767,0±2	8·10 <sup>-6</sup>	769,0±1,5	1,1·10 <sup>-5</sup>	767,0±2,0	8·10 <sup>-6</sup>	
771,3±2,0	0,73	770,7±2	1·10 <sup>-5</sup>	783,0±1,5	4,8·10 <sup>-6</sup>	770,7±2,0	1,0·10 <sup>-5</sup>	
803,0±2,0	0,13							
863,6±2,0	0,12							
872,7±2,0	0,10							

\*) Приняты в качестве эталона.

Таблица П.82

 $\lambda$ -распад  $A_{m^{242m}}$ 

Asaro [164-66]			Asaro [157-61]		
$E_\lambda$ , кэВ	$E_\lambda^3$ , кэВ	$I_\lambda$ , %	$E_\lambda$ , кэВ	$I_\lambda$ , %	
54II	136	1,2	5408	~ 1,6	
5367	180	1,5	5364	~ 1,6	
5315	233	0,8	5312	0,8	
			(5284)	0,4	
			5248	0,6	
5207	343	89	5205	88	
5142	410	6,1	5140	5,7	
5084	469	0,3	5082	0,3	
5067	486	0,2	5065	0,25	

Таблица II.83

$\gamma$ -излучение  $\text{Am}^{242m}$   
(сопровождает  $\alpha$ -распад)  
/164-66; 157-61/

$E_\gamma, \text{кэВ}$	$I_\gamma, \%$	Мульти- польность
42	0,5	MI
49,3	41	EI
(52)	~1	
66,8	4,5	(MI)
67,9	1,5	(MI)
69	0,3	MI
(73,3)	1,3	EI
86,7	8	MI
92,5	0,9	
109,6	5,3	EI
III, I	0,6	
121,8	1,3	
135,5	2,3	(EI)
136,1	2,1	(EI)
152,9	0,3	
153,9	1,0	
163,4	5,2	MI
194,9		
206,4	0,8	

Таблица II.85  
 $\gamma$ -излучение  $\text{Am}^{243}$ 

Engelkemeir (284-69, 692-68)		Левато [151-57; 413-57]		[6-69]	
$E_\gamma, \text{кэВ}$	Мульти- поль- ность	$E_\gamma, \text{кэВ}$	$I_\gamma, \%$	Мульти- поль- ность	$I_\gamma, \%$
31,2					
43,1	MI+E2				
43,6	EI	43	4	EI	5
50,6	(EI)				
55,4	MI+E2				
74,8	EI	74,6	69	EI	73
86,7	EI				
98,5	E2				
II7,8	EI	II8	0,5	EI	0,54
I42,0	EI				
I69					
I95					
(220)	Lederer [493-63]				
	(500)				
	(570)				
	620	$3 \cdot 10^{-4}$			
	650	$1 \cdot 10^{-3}$			

Таблица II.84  
 $\gamma$ -распад  $\text{Am}^{243}$ 

Баранов [18-63; 24-68, 642-55, 413-56]			Stephens [692-68]		
$E_\gamma, \text{кэВ}$	$E_\gamma, \text{кэВ}$	$I_\gamma, \%$	$E_\gamma, \text{кэВ}$	$E_\gamma, \text{кэВ}$	$I_\gamma, \%$
5349	0	0,16	5349	0	0,17 0,22
5320	30,1	0,12	6318	31,5	0,16 0,19
5275	75,6	87,9	5276	74,5	87,1
5233	II8,5	10,6	5234	II8	II,5
5180	I72,5	1,1	5179	I73	1,1
5II2	24I	$5,4 \cdot 10^{-3}$			
5087	267	$4 \cdot 10^{-3}$			
5034	320				
6028	326				
5007	348				
(4996)359					
4945	4II	$3,4 \cdot 10^{-4}$			
4929	427	$1,8 \cdot 10^{-4}$			
4918	438	$8,5 \cdot 10^{-5}$			
4694	666				
		$6,4 \cdot 10^{-4}$			
		$1,6 \cdot 10^{-3}$ [493-63]			

Таблица П.88

 $\gamma$ -излучение  $A_{m^{245}}$ 

Таблица П.87

 $\gamma$ -излучение  $A_{m^{245}}$ 

Bunker [229-57]			Brown [224-55]		
$E_\gamma$ , кэВ	$I_\gamma$ , %	$I_\gamma$ , %	$E_\gamma$ , кэВ	$I_\gamma$ , %	$I_\gamma$ , %
	36				
	(61)				
	(78)				
	120				
	143				
	156				
240	1,2	0,34	232		
252,3	20	6,1	255		
296	0,55	0,22			

Field [301-68]		Orth [574-67]	
$E_\gamma$ , кэВ	$I_\gamma$ , отн.ед.	$E_\gamma$ , кэВ	$I_\gamma$ , отн.ед.
99,2 $\pm$ 0,2	9	(99)	0,2
127,4 $\pm$ 0,5	~6		
153,5 $\pm$ 0,5	48	153	0,6
205 $\pm$ 1	68	205	1,0
		(555)	1,6
629 $\pm$ 1	5		
679 $\pm$ 1	100		
686 $\pm$ 2	~4		
77,5 $\pm$ 1	25		
77,1 $\pm$ 1	7,5		
834 $\pm$ 1	~10		
839 $\pm$ 2	~4		

Таблица П.89

 $\beta$ -распад  $A_{m^{246m}}$ 

Multiwell [152-71] <sup>x)</sup>			Orth [57-66] <sup>x)</sup>			Simul [617-56]	
$E_\beta$ макс., кэВ	$E_\beta^*$ , кэВ	$I_\beta$ , %	$E_\beta$ макс., кэВ	$E_\beta^*$ , кэВ	$I_\beta$ , %	$E_\beta$ макс., кэВ	$I_\beta$ , %
2247	43	7	~2300	43	7	2100	7
I448	842	21,8	I560	843	22	I600	14
I414	876	1,7	I520	878	1,8		
I2II	I079	38,1	I320	I078	41		
II85	II05	I4,7	I290	II06	I5	I310	79
II62	II28	I,9	I270	II26	5,3		
I040	I250	I,1					
972	(I318)	0,7	(I080)	(I318)	0,3		
94I	I349	4,2	I050	I352	4,2		
923	I367	I,2	I030	I369	0,3		
		920	I483	0,5			
764	I526	I,6	870	I531	0,5		
696	I594	I,9					
689	I601	I	800	I598	I,5		
668	I622	I					
656	I634	0,6	760	I643	0,5		
<630		I,2	<730		0,6		

x) Данные, полученные по  $\gamma$ -излучению.

Таблица II.00

 $\gamma$ -излучение  $Am^{240m}$ 

Multhauf [552-71]		Orth [573-66]		Stephens [551-65]		Multhauf [552-71]		Orth [573-66]	
E $\gamma$ , кэВ	I $\gamma$ , отн.ед.	E $\gamma$ , кэВ	I $\gamma$ , отн.ед.	Мульти- поль- ность	E $\gamma$ , кэВ	I $\gamma$ ,%	E $\gamma$ , кэВ	I $\gamma$ , отн.ед.	E $\gamma$ , кэВ
99,2 $\pm$ 0,2	0,60						II31,6 $\pm$ 0,2	0,06	
138,48 $\pm$ 0,II	0,05						II48,59 $\pm$ 0,14	0,055	
170,96 $\pm$ 0,03	0,48			I7I			II58,42 $\pm$ 0,15	0,08	
195,60 $\pm$ 0,10	0,06						II66,91 $\pm$ 0,08	0,26	
(228,4 $\pm$ 0,4)	0,10				228		II76,5 $\pm$ 0,9	0,027	
237,19 $\pm$ 0,04	0,52	235 $\pm$ 4	~0,2		238	0,3	II85,2 $\pm$ 0,3	0,10	
238,61 $\pm$ 0,03	0,53						II98,II $\pm$ 0,10	0,11	
244,02 $\pm$ 0,02	2,47				244,6	I,5	I201,92 $\pm$ 0,10	0,10	
246,09 $\pm$ 0,02	3,5	247 $\pm$ 2	3,1	MI	245,4	I,5	I206,96 $\pm$ 0,05	0,66	
251,29 $\pm$ 0,II	0,09				256	0,2	I209,82 $\pm$ 0,25	0,04	
261,67 $\pm$ 0,03	0,56	264 $\pm$ 4	~0,2	MI	262	0,14	I237,7 $\pm$ 0,3	0,046	
263,20 $\pm$ 0,II	0,12						I249,77 $\pm$ 0,05	0,64	I252 $\pm$ 4 0,5
270,05 $\pm$ 0,02	3,66	274 $\pm$ 2	2,7	MI	270,3	I,0	I257,58 $\pm$ 0,09	0,166	
287,76 $\pm$ 0,03	0,45	291 $\pm$ 2	~0,3	MI	288	0,I	I274,72 $\pm$ 0,06	I,15	I275 $\pm$ 4 0,8
(293,6 $\pm$ 0,2)	0,017						I303,4 $\pm$ 0,4	0,06	
321,06 $\pm$ 0,06	0,061						I306,02 $\pm$ 0,10	0,05	
344,03 $\pm$ 0,12	0,074						I323,98 $\pm$ 0,10	0,159	
347,24 $\pm$ 0,09	0,10						I336,36 $\pm$ 0,14	0,09	
354,62 $\pm$ 0,19	0,03						I348,89 $\pm$ 0,06	0,63	
360,44 $\pm$ 0,05	0,22						I367,5 $\pm$ 0,3	0,06	
373,41 $\pm$ 0,07	0,09						I383,9 $\pm$ 0,2	0,033	
383,84 $\pm$ 0,17	0,06						I409,29 $\pm$ 0,12	0,149	I408 $\pm$ 5 <0,7
401,70 $\pm$ 0,03	0,95	406 $\pm$ 4	~0,5		402	0,3	I435,61 $\pm$ 0,13	0,105	
421,21 $\pm$ 0,12	0,08						I451,98 $\pm$ 0,08	0,20	
456,12 $\pm$ 0,08	0,08						I459,16 $\pm$ 0,18	0,06	
465,8 $\pm$ 0,2	0,09						I466,5 $\pm$ 0,3	0,024	
472,31 $\pm$ 0,10	0,13	475 $\pm$ 5	~0,1				I479,6 $\pm$ 0,2	I,01	
476,95 $\pm$ 0,15	0,07						I483,18 $\pm$ 0,12	0,15	
488,88 $\pm$ 0,07	0,34								I505 $\pm$ 4 <0,5
493,50 $\pm$ 0,05	0,43						I528,6 $\pm$ 0,5	0,40	
505,59 $\pm$ 0,13	0,06						I529,7 $\pm$ 0,5	0,67	I531 $\pm$ 3 I,0
507,06 $\pm$ 0,07	0,28						I551,09 $\pm$ 0,10	I,61	I555 $\pm$ 3 I,6
514,92 $\pm$ 0,09	0,33						I558,68 $\pm$ 0,19	0,09	
522,8 $\pm$ 0,2	0,06						I561,44 $\pm$ 0,11	0,50	
525,04 $\pm$ 0,09	0,28						I570,51 $\pm$ 0,15	0,06	
528,5 $\pm$ 0,2	0,09						I573,78 $\pm$ 0,11	0,21	
542,99 $\pm$ 0,II	0,10						I578,83 $\pm$ 0,10	0,37	
554,7 $\pm$ 0,2	0,09						I590,89 $\pm$ 0,10	2,25	I598 $\pm$ 4 2,3
565,89 $\pm$ 0,14	0,14						I604,31 $\pm$ 0,10	0,45	
568,3 $\pm$ 0,2	0,09						I618,99 $\pm$ 0,10	0,57	
592,19 $\pm$ 0,06	0,05						I628,39 $\pm$ 0,15	0,241	
602,7 $\pm$ 0,5	0,6						I638,13 $\pm$ 0,10	0,69	I644 $\pm$ 4 0,4
649,55 $\pm$ 0,04	I,33	651 $\pm$ 4	~0,5				I661,83 $\pm$ 0,10	I,01	I668 $\pm$ 4 I,4
677,95 $\pm$ 0,15	0,17						I669,82 $\pm$ 0,13	0,07	
684,34 $\pm$ 0,04	2,16	688 $\pm$ 4	~0,5				I714,8 $\pm$ 0,2	0,0II	
698,26 $\pm$ 0,08	0,42						I738,19 $\pm$ 0,11	0,49	I739 $\pm$ 4 0,6

Продолжение таблицы П.90

$\gamma$ -излучение  $Am^{246}$

Multhauf [552-71]			Orth [573-66]			Stephens [651-65]			Multhauf [552-71]			Orth [573-66]		
$E_\gamma$ , кэВ	$I_{\gamma}$ , отн.ед.	$E_\gamma$ , кэВ	$I_{\gamma}$ , отн.ед.	Мульти-шольность		$E_\gamma$ , кэВ	$I_{\gamma}$ , %		$E_\gamma$ , кэВ	$I_{\gamma}$ , отн.ед.	$E_\gamma$ , кэВ	$I_{\gamma}$ , отн.ед.		
702,0 $\pm$ 0,3	0,06								1759,38 $\pm$ 0,12	0,087				
717,22 $\pm$ 0,05	0,93	720 $\pm$ 4	≤I						1769,5 $\pm$ 0,5	0,16				
720,3 $\pm$ 0,2	<0,I								1779,18 $\pm$ 0,10	0,12				
724,83 $\pm$ 0,05	0,86								1802,II $\pm$ 0,14	0,041				
734,46 $\pm$ 0,04	4,7	736 $\pm$ 3	3,I	II		734	I,2		1813,88 $\pm$ 0,12	0,014				
745,17 $\pm$ 0,06	0,90								1827,75 $\pm$ 0,12	0,083				
752,05 $\pm$ 0,04	3,2	753 $\pm$ 4	≤I			752	I,0		1837,2 $\pm$ 0,3	0,016				
759,60 $\pm$ 0,04	2,43	765 $\pm$ 2	≤I			759	C,9		1844,24 $\pm$ 0,17	0,038				
779,68 $\pm$ 0,06	0,27								1867,2 $\pm$ 0,2	0,027				
781,24 $\pm$ 0,04	0,81								1881,32 $\pm$ 0,17	0,030				
798,83 $\pm$ 0,04	100	800 $\pm$ 2	77	II		799	28,0		1887,30 $\pm$ 0,15	0,054				
820,3 $\pm$ 0,3	0,10								1903,9 $\pm$ 0,3	0,03				
833,62 $\pm$ 0,04	7,3					834	2,2		1924,69 $\pm$ 0,16	0,031				
904,47 $\pm$ 0,14	0,20								1990,0 $\pm$ 0,3	0,005				
(908,30 $\pm$ 0,18)	0,14								2028,1 $\pm$ 0,5	0,013				
939,14 $\pm$ 0,07	0,30								2032,7 $\pm$ 0,5	0,006				
960,41 $\pm$ 0,15	0,05								2058,8 $\pm$ 0,3	0,004				
986,06 $\pm$ 0,04	3,86	985 $\pm$ 4	2,9	EI		987	I,I		2068,2 $\pm$ 0,3	0,004				
I023,5 $\pm$ 0,4	0,II								2103,0 $\pm$ 0,5	0,004				
I036,03 $\pm$ 0,04	52	I035 $\pm$ 3	44	EI		I037	I4,4		2124,1 $\pm$ 0,5	0,025				
I045,7 $\pm$ 0,2	0,16								(2128,1 $\pm$ 0,5)	0,006				
I062,07 $\pm$ 0,04	69	I063 $\pm$ 3	6I	EI		I063	I9,3		2146,7 $\pm$ 0,3	0,010				
I078,90 $\pm$ 0,04	II3	I078 $\pm$ 2	100	EI		I079	3I,5		2168,9 $\pm$ 0,5	0,005				
I085,13 $\pm$ 0,07	6,2	I083 $\pm$ 4	~7			I086	I,7							
III3,2I $\pm$ 0,07	0,02													
II22,86 $\pm$ 0,07	0,45													
II24,42 $\pm$ 0,06	0,93	II26 $\pm$ 3	2	E2										

Таблица П.91

$\alpha$ -распад  $Cm^{240}$

Гаранов [22-67, 31-71]			Asaro [155-60]		
$E_\alpha$ , кэВ	$E^*$ , кэВ	$I_\alpha$ , %	$E_\alpha$ , кэВ	$I_\alpha$ , %	
0290,1 $\pm$ 0,6	0	7I,I	6290	72	
6247,3 $\pm$ 0,8	43,5	28,9	6246	28	
6I48	I44,7	0,052	6I47	0,04	
5990	305	0,014			

Таблица П.92

 $\alpha$ -распад  $Cm^{241}$ 

Баранов [22-67, 3I-7I]			Азаго [150-57]		
$E_{\alpha}$ , кэВ	$E^{\pi}$ , кэВ	$I_{\alpha}, \%$	$E_{\alpha}$ , кэВ	$E^{\pi}$ , кэВ	$I_{\alpha}, \%$
608I	0	0,64			
6037	45	0,10			
5938,6±0,6	144,7	71,5	5940	70	
5926	157	16,3	5930	17	
5884,3±0,6	200	II,5	5884	I3	
5828	256	2,3			
582I	263	I,4			
5807	278	I,2			
5786		I,8			
5781	300-307	0,6			
5778		3,0			
5729		0,9			

Таблица П.93

 $\alpha$ -распад  $Cm^{242}$ 

Баранов [2I-66, 3I-7I]			Азаго [135-53, 144-56]			Джелепов [5I-63, 70-62]			Кондратьев [74-58]		
$E_{\alpha}$ , кэВ	$E^{\pi}$ , кэВ	$I_{\alpha}, \%$	$E_{\alpha}$ , кэВ	$E^{\pi}$ , кэВ	$I_{\alpha}, \%$	$E_{\alpha}$ , кэВ	$E^{\pi}$ , кэВ	$I_{\alpha}, \%$	$E_{\alpha}$ , кэВ	$E^{\pi}$ , кэВ	$I_{\alpha}, \%$
6II3*)	0	74,2	6II3	0	73,7	6II5	0	74	6II4	0	73,5
6069	44	25,8	6069	44	26,3	607I	44	26	6069,6	45	26,5
5970	I45	0,036	5968	I47	0,035	597I	I46	0,035	597I	I45	0,03
5815	303	$4,6 \cdot 10^{-3}$	5815	303	$6 \cdot 10^{-3}$				5813	306	$4,6 \cdot 10^{-3}$
	(по изл.)										
5608	5I3	$2 \cdot 10^{-6}$	5609	5I2	$4 \cdot 10^{-5}$	I $_{\alpha}, \%$ [I93-63]					
	(по изл.)										
55I3	6I0	$2,5 \cdot 10^{-4}$	55I9	604	$3,2 \cdot 10^{-4}$	$2,8 \cdot 10^{-4}$					
	(по изл.)										
5I88	94I	$2,5 \cdot 10^{-5}$	5I88	94I		$6 \cdot 10^{-5}$					
	(по изл.)										
5I45	985	$< 5 \cdot 10^{-6}$									

\*) 6II2,9±0,3 [367-7I].

Таблица II.94

 $\gamma$ -излучение  $\text{Cs}^{242}$ 

$E_J$ , кэВ	$I_J$ , %	Мульти- польность	$I_J$ , %	$E_J$ , кэВ	$I_J$ , %
44,11 ± 0,05	/634-56/				
44,03 ± 0,06	0,039 /559-56/				
44,10 /10-56/	0,041 /135-53/				
44,09 /1-64/	0,029 /435-56/				
	Hyde /443-64/		Lederer /496-67/	Newton /559-56/	
101,9	$4,1 \cdot 10^{-3}$	E2	$6 \cdot 10^{-3}$	101,8	$3,5 \cdot 10^{-3}$
157,7	$1,8 \cdot 10^{-3}$	E2	$2,7 \cdot 10^{-3}$	157,6	$2,3 \cdot 10^{-3}$
210	$1,5 \cdot 10^{-5}$	E2	$2 \cdot 10^{-5}$		
562	$1,8 \cdot 10^{-4}$	E1	$1,8 \cdot 10^{-4}$		
605	$1,4 \cdot 10^{-4}$	E1	$1,4 \cdot 10^{-4}$		
900	$2,6 \cdot 10^{-5}$	E2	$2 \cdot 10^{-5}$		
941,4 ± 2	$3,4 \cdot 10^{-5}$ /193-63/	E0	$3 \cdot 10^{-5}$		

Таблица II.95

 $\alpha$ -распад  $\text{Cs}^{243}$ 

Баранов /21-66/			Ляпаго /147-56; 149-57/			Джелепов /51-63/		
$E_{\alpha}$ , кэВ	$E^*$ , кэВ	$I_{\alpha}$ , %	$E_{\alpha}$ , кэВ	$E^*$ , кэВ	$I_{\alpha}$ , %	$E_{\alpha}$ , кэВ	$E^*$ , кэВ	$I_{\alpha}$ , %
6067	0	I,5	6068	0	I			
6057	~10	4,7	6061	7,8	5			
6010	57	I,I	6012	57	0,9	6009±3	57	0,91
5993	76	5,63	5994	75,8	6	5992	74	5,4
5907	163	0,I	5907	164	0,I	5902	I65	0,I4
5876	I94	0,7	5879	I92	0,5	5875	I93	0,54
5786 <sup>x)</sup>	286	73,54	5786	286	73	5785	286	73
5742 <sup>x)</sup>	330	10,65	5742	330	II,5	5740	330	I2,3
						(5713)	358	<0,04
5686	388	I,6	5686	388	I,6	5684	388	I,65
5682	392	0,2	5682	392	0,2			
5646	428	0,03						
5639	434	0,14	5640	434	0,15	5640	432	0,I2
5622	452	0,06						
5612	462	~0,04	(5614)	461	~0,02			
5609	465	0,01						
(5607)								
5593	482	0,01				5593	480	0,03
5537	488	~0,02	(5590)	486	0,05			
5582	493	~0,009						
5575	500	0,007						
5568	507	0,007				(5558)	515	<0,005
5537	539	0,002						
5532	544	0,006						
5523	553	0,002						
			Lederer /493-63/					
5332	~745	0,003	5340	740	0,003			
5323	~755	0,003	5320	760	0,003			
5316	~765	0,001						
5267	~810	0,0015	5280	800	0,001			
			5230	850	$4 \cdot 10^{-4}$			

x)  $5784,5 \pm I$  } /26-69/  
5741,6 ± I }

Таблица П.96

 $\gamma$ -излучение  $Cm^{243}$  (сопровождает  $\alpha$ -распад)

Ahmed [122-72]		Newton [59-56]		Люто [135-53]		Баранов [8-64]	
E <sub>γ</sub> , кэВ	I <sub>γ</sub> , %	E <sub>γ</sub> , кэВ	I <sub>γ</sub> , отно.ед.	E <sub>γ</sub> , кэВ		E <sub>γ</sub> , кэВ	I <sub>γ</sub> , %
57,26	0,14						
209,76	3,30	210±1,5	0,5				
228,20	10,6	228±2	0,65	226		220	11,3
254,41	0,11						
272,87	0,08						
277,62	14,0	277±2	1,00	278		277	11,2
285,47	0,73						
311,7	0,017						
315,91	0,018						
322,3	0,007						
334,33	0,024						

Таблица П.97

 $\alpha$ -распад  $Cm^{244}$ 

Баранов [2I-66]			Люто [156-61]			Джелепов [5I-63]		
E <sub>α</sub> , кэВ	E <sup>x</sup> , кэВ	I <sub>α</sub> , %	E <sub>α</sub> , кэВ	E <sup>x</sup> , кэВ	I <sub>α</sub> , %	E <sub>α</sub> , кэВ	E <sup>x</sup> , кэВ	I <sub>α</sub> , %
5806 <sup>x)</sup>	0	76,4	5808±1	0	76,7 /443-63/	5806±3	0	76,2
5765 <sup>x)</sup>	42	23,6	5766	43	23,3 /435-56/	5763	44	23,8
5664	144	0,02	5669	141	0,023	5666	142	0,021
5513	298	$3,4 \cdot 10^{-3}$	5517	296	$3,6 \cdot 10^{-3}$	5515	296	0,003
5313	502	$\sim 4 \cdot 10^{-5}$	(5322)	495	$\sim 1,5 \cdot 10^{-5}$			
5215	601	$\sim 1 \cdot 10^{-4}$	5218	600	$1,5 \cdot 10^{-4}$			
4960	861	$3 \cdot 10^{-4}$	4958	863	$1,6 \cdot 10^{-4}$			
4920	901	$1,3 \cdot 10^{-4}$	4918	904	$5 \cdot 10^{-5}$			

x)  $5802 \pm 2$  /705-58/ $5804,6 \pm 1 \} /626-69/$  $5762,7 \pm 1 \}$

Таблица П.98  
 $\gamma$ -излучение  $Cm^{244}$

Schmorak [611-71]		Hummel [435-56, 151-57]		
$E_{\gamma}$ , кэВ	$E_{\gamma}$ , кэВ	$I_{\gamma}$ , %	Мульти- поль- ность	
42,82 $\pm$ 0,01	43*)	0,021		
98,86 $\pm$ 0,01	100	$1,4 \cdot 10^{-3}$		
152,63 $\pm$ 0,02	150	$1,4 \cdot 10^{-3}$		
	Björnholm [193-63, 416-64]			
	262	$1,2 \cdot 10^{-4}$	E1	
	570	$2 \cdot 10^{-4}$	E1	
	610			
	825	$6,5 \cdot 10^{-5}$	E2	

\*) 42,88 $\pm$ 0,05; E2 [634-56].

Таблица П.99  
 $\alpha$ -распад  $Cm^{245}$

Баранов [2I-66]			Friedman [323-66]			Джелепов [5I-63]		
$E_{\alpha}$ , кэВ	$E^*$ , кэВ	$I_{\alpha}, %$	$E_{\alpha}$ , кэВ	$I_{\alpha}, %$		$E_{\alpha}$ , кэВ	$E^*$ , кэВ	$I_{\alpha}, %$
~5530	0	0,5	5531 $\pm$ 3	I,I				
~5490	4I		5498 $\pm$ 5	0,9				
5468	63	2,7						
5464	67	2,0						
			5448 $\pm$ 5	0,2				
					(5409)	I25	$\leq$ I,2	
	5359*)	I74	87,6		5362	I73	80	
	5305*)	229	4,5		5306	230	7	
	5255	280	0,3					
	5245	290	0,7		5246	29I	2	
	5240	295	0,5					
	523I	304	0,6					
	5I99	337	0,35					
	5I75	36I	0,25					
	5I58	378	0,3					

\*) 5360-93%, 5305 - 7% [I56-6I].

Таблица П.100

$\alpha$ -распад  $Cm^{246}$

Баранов [2I-66]			Джелепов [5I-63]			Asaro [I56-6I]		
$E_{\alpha}$ , кэВ	$E^*$ , кэВ	$I_{\alpha}, %$	$E_{\alpha}$ , кэВ	$E^*$ , кэВ	$I_{\alpha}, %$	$E_{\alpha}$ , кэВ	$E^*$ , кэВ	$I_{\alpha}, %$
5385	0	79	5387	0	78	5386	0	79
5342	44	2I	5345	43	22	5342	45	2I

Таблица П.101  
 $\alpha$ -распад ( $Cm^{247}$ ) [303-7I]

$E_{\alpha}$ , кэВ	$E^*$ , кэВ	$I_{\alpha}, %$
5265 $\pm$ 4	0	13,8
5210	56	5,7
5145	I22	I,2
4983	287	2,.
494I	329	1,6
4868	404	7I,0
48I8	454	4,7

Таблица П.102

$\alpha$ -распад  $Bk^{243}$

Ahmad [117-66]			Thompson [670-50]		
$E_{\alpha}$ , кэВ <sup>a)</sup>	$E^*$ , кэВ	$I_{\alpha}, %$	$E_{\alpha}$ , кэВ	$E^*$ , кэВ	$I_{\alpha}, %$
6758	0	I5			
6718	4I	I2			
6666	94	I,2			
6605	I56	0,7			
6574	I87	26			
6542	220	I9			
6502	260	7			
6446	3I7	0,7			
6394	370	0,3			
62I0	557	I4			
6I82	586	3,9			
			6200	I7	

Таблица П.103  
 $\gamma$ -излучение  $Bk^{243}$

Chetham-Strode [242-56]		Ahmed [117-66]	
$E_{\gamma}$ , кэВ	$I_{\gamma}$ , отн.ед.	$E_{\gamma}$ , кэВ	$I_{\gamma}$ , отн.ед.
<b>Сопровождает <math>e^-</math>-захват:</b>			
740±40	1,0	755	10
840±40	0,3		
960±40	0,3	946	8
<b>Сопровождает <math>\alpha</math>-распад:</b>			
	$I_{\gamma}, \%$		$I_{\gamma}, \%$
42	4		
I46	8	I46,4	8
I87	34	I87,1	41
536	10	558	13

Таблица П.105

$\alpha$ -распад  $Bk^{245}$

Ahmed [117-66]			Magnusson [517-56]	
$E_{\alpha}$ , кэВ <sup>a)</sup>	$E_{\alpha}$ , кэВ	$I_{\alpha}, \%$	$E_{\alpha}$ , кэВ <sup>a)</sup>	$I_{\alpha}, \%$
6358	0	16	6370±20	33
6317	42	15		
6265	95	1,4		
6200	I61	1,4		
6I53	208	I9		
6I24	238	15	6I70±20	41
6087	276	5,6		
6038	325	0,6		
5985	379	0,2		
5889	477	22	5890±20	26
5858	508	4,0		

Таблица П.104

$\gamma$ -излучение  $Bk^{244}$   
(сопровождает  $e^-$ -захват)

Ahmed [117-66]		Chetham-Strode [242-56]	
$E_{\gamma}$ , кэВ	$I_{\gamma}$ , отн.ед.	$E_{\gamma}$ , кэВ	$I_{\gamma}$ , отн.ед.
<b>Сопровождает <math>e^-</math>-захват:</b>			
I44,5	7		
I54,0	3,6		
I77,0	5		
I87,6	I6		
2I7,6	100		200
233,8	2,9		
333,5	10		
490	I4		
745	6		
870	5		
892	88		
922	17		900
988	4		I,0
		I060	0,07
II53	7		
II78	4		II60
I233	2,8		0,II
I252	2,2		I230
I333	0,9		0,05
I505	2		I370
		I500	0,02
		I720	0,002

Таблица П.106

$\gamma$ -излучение  $Bk^{245}$

Ahmed [117-66]		Chetham-Strode [242-56]	
$E_{\alpha}$ , кэВ	$I_{\alpha}$ , отн.ед.	$E_{\gamma}$ , кэВ	$I_{\gamma}, \%$
<b>Сопровождает <math>e^-</math>-захват:</b>			
252,7	100	{ 252	
		{ 250 [5I7-56]	3I [5I8-57]
380,5	8	{ 380	
		{ 380 [5I7-56]	5 [5I8-57]
<b>Сопровождает <math>\alpha</math>-распад:</b>			
I65,5	7	I64	7
207,4	33	206	28
474	20	480	18

Таблица П.I07  
 $\gamma$ -излучение  $Bk$  246

Orth [573-66]			Ahmed [117-66]			Chetham-Strode [242-56]		
$E_{\gamma}$ , кэВ	$I_{\gamma}$ , отн. ед.	Мульти-поль-нооть	$E_{\gamma}$ , кэВ	$I_{\gamma}$ , отн. ед.	$E_{\gamma}$ , кэВ	$E_{\gamma}$ , кэВ	$I_{\gamma}$ , %	Chetham-Strode [242-56]
					~250			
735	3,5	EI	734	4,6				
800	100	EI	800	100	800			
835	6,0	EI	834	8				
985	~0,6	EI	986	0,5	980			
1035	2,4	EI	1037	2,8				
1063	5,6	EI	1063	5				
1078	4,8	EI	1079	5	1080			
1083	10,0	EI+E2	1082	10				
II26	7,3	E2	II24	8	II30			

Таблица П.I08  
 $\alpha$ -распад  $Bk$  247

Friedman [324-69]			Chetham-Strode [242-56]	
$E_{\alpha}$ , кэВ	$E^*$ , кэВ	$I_{\alpha}$ , %	$E_{\alpha}$ , кэВ <sup>a)</sup>	$I_{\alpha}$ , %
5794±5	0	5,5		
5754	41	4,3		
5710	85	17		
5688	108	13 ~	5670	37
5654	142	5,5		
5610	187	~0,4		
5530	267	45		
5500	298	7	5510	58
5455	344	1,5		
			5300	5

Таблица П.I09

$\alpha$ -распад  $Bk$  249

Баранов [31-71]		Milsted [548-69]			Ahmed [117-66]		
$E_{\alpha}$ , кэВ.		$E_{\alpha}$ , кэВ.	$E^*$ , кэВ.	$I_{\alpha}$ , %	$E_{\alpha}$ , кэВ. <sup>a)</sup>	$E^*$ , кэВ.	$I_{\alpha}$ , %
5437,3±1		5425±6	0	8,4	5431±2	0	6,7
5416,8±1		5406±4	19	68	5412	19,5	69
5389,9±1		5378±4	48	18,3	5384	48	18
		5338±6	88	2,5	5345	88	2,6
		5236±10	192	~0,1	(5247)	187	~0,1
		5101±4	329	2,7	5109	327	2,7
		5035±12	396	~0,07	5046±5	391	0,12

Таблица П.II0

$\gamma$ -излучение  $Bk$  250

Stelson [640-70]			Vandenbosch [690-59]		Asaro [146-56]	
$E_{\gamma}$ , кэВ.	$I_{\gamma}$ , отн. ед.		$E_{\gamma}$ , кэВ.	$I_{\gamma}$ , %	$E_{\gamma}$ , кэВ.	
			42,2±0,5			
			98,2±0,5			
889,98±0,15	4,68	(~890)			910(слаб.)	
929,28±0,15	3,90	(~930)				
988,96±0,15	128,5		990±5	47	1020	
1028,58±0,15	12,5					
1031,76±0,15	100		1032±5	39	1040	

Таблица П.III

$\alpha$ -распад  $Cf$  246

Friedman [322-63]			Hummel [433-55]	
$E_{\alpha}$ , кэВ <sup>a)</sup>	$E^*$ , кэВ.	$I_{\alpha}$ , %	$E_{\alpha}$ , кэВ <sup>a)</sup>	$I_{\alpha}$ , %
6760	0	77,9	6760	78
6721±1	40	21,9	6718	22
6628±1	134	0,18		
6472±3	293	Слабая		

Таблица II.112

 $\alpha$ -распад,  $Cf^{249}$ 

Баранов [25-69, 31-71]			Kooi [482-67]		Stephens [647-57; 151-57]			Магнуссон [51B-57]		
$E_{\alpha}$ , кэВ	$E^*$ , кэВ	$I_{\alpha}, \%$	$E_{\alpha}$ , кэВ	$E^*$ , кэВ	$I_{\alpha}, \%$	$E_{\alpha}$ , кэВ <sup>a)</sup>	$E^*$ , кэВ	$I_{\alpha}, \%$		
6194,0±0,7	0	2,17	6198	0	6201	0	6185	0	2,3	
6139,5±0,7	55	1,11	6143	56	6146	56	6133	53	1,2	
6072,3	124	0,24	6076	124	6079	124	6066	121	0,4	
6000,0	197	0,026	5995	206	(5997)	207	6005	(183)	0,3	
5946,2±1,0	252	4,00	5945	257	5948	257	5935	254	3,4	
5903,4±1,0	295,5	2,79	5902	301	5905	301	5901	289	3,4	
5849,5±1,0	350	1,04	5840	364	5848	359	5807	384	81,2	
5813,5±1,0	387	84,4	5810	394	5812	395	5807	384	81,2	
5783,7	417	0,26	(5780)	(425)	(5784)	(424)	5761	431	7,4	
5759,7±1,0	441	3,66	5753	452	5755	~450	4,4			
5707	495	0,02								
~5701	501	0,01								
5693	508	0,187	5689	517	5693	516	5690	503	0,5	
<hr/>										
Milsted [548-69]										
			5618	580						
5559	645	0,052	5555	644						
~5505	~698	0,006								
5501	704	0,018	5497	703						
			5426	775						

Таблица II.113

 $\gamma$ -излучение  $Cf^{249}$ 

Schmidt [609-71]		Kooi [482-67]		Ahmed [117-66; 122-72]		Stephens [647-57]	
$E_{\gamma}$ , кэВ	$I_{\gamma}$ , отн.ед.	$E_{\gamma}$ , кэВ	$I_{\gamma}, \%$	$E_{\gamma}$ , кэВ	$I_{\gamma}, \%$	$E_{\gamma}$ , кэВ	$I_{\gamma}, \%$
37,5±0,1	0,026						
42,81±0,07	0,059			43,0	0,03		
54,73±0,07	0,33	54	0,20	54,8±0,1	0,197		
65,87±0,15	0,017						
66,71±0,15	0,040	66	0,04	66,7	0,04		
		(76)	0,03				
			86	0,15			
92,30±0,05	0,45	92	0,20	92,5±0,1	0,34		
121,0±0,6	0,020						
121,5±0,4	0,070						
229,2±0,2	0,072						
241,2±0,1	0,340	240,3	0,2	240,8±0,2	0,22		
252,88±0,08	4,14	252,6	3,5	252,7±0,1	2,59	255±3	2,5
255,7±0,2	0,065						
266,73±0,05	1,13	266,2	1,2	266,6±0,1	0,72		
295,84±0,05	0,216	296,0	0,2	295,7±0,2	0,143		

$\gamma$ -излучения  $C_f^{249}$ 

Schmidt [609-71]		Kooi [482-67]		Ahmed [117-60; 122-72]		Stephens [647-57]	
E <sub>f</sub> , кэВ	I <sub>f</sub> , отн.ед.	E <sub>f</sub> , кэВ	I <sub>f</sub> , %	E <sub>f</sub> , кэВ	I <sub>f</sub> , %	E <sub>f</sub> , кэВ	I <sub>f</sub> , %
321,43 $\pm$ 0,05	0,108	321,0	0,15	321,3 $\pm$ 0,2	0,062		
333,44 $\pm$ 0,05	23,50	333,5	19	333,3 $\pm$ 0,1	14,6	340 $\pm$ 4	15
	40,01	358,7	0,05				
	40,01	365,2	0,05				
387,95 $\pm$ 0,05	100	388,4	63	388,1 $\pm$ 0,1	66,0	394 $\pm$ 4	72
390,5 $\pm$ 0,2	0,025						
405,9 $\pm$ 0,1	0,014						
588,8 $\pm$ 0,1	0,003						
643,5 $\pm$ 0,1	0,007						

Таблица П.II4

 $\alpha$ -распад  $C_f^{250}$ 

Таблица П.II5

 $\alpha$ -распад  $C_f^{251}$  [243-68]

Баранов [27-70, 31-71]			Баро [142-55, 152-58]			E <sub>α</sub> , кэВ			E <sup>X</sup> , кэВ			I <sub>α</sub> , %		
E <sub>α</sub> , кэВ	E <sup>X</sup> , кэВ	I <sub>α</sub> , %	E <sub>α</sub> , кэВ	E <sup>X</sup> , кэВ	I <sub>α</sub> , %	E <sub>α</sub> , кэВ	E <sup>X</sup> , кэВ	I <sub>α</sub> , %	E <sub>α</sub> , кэВ	E <sup>X</sup> , кэВ	I <sub>α</sub> , %			
6030,8 $\pm$ 0,6	0	84,7	6031	0	83	6078 $\pm$ 10	0	2,7	6018	61	12,3			
5989,1 $\pm$ 0,6	42,4	15,0	5987	45	17	5943	137	0,5	5854	227	27,8			
5891	142	0,3	5889	144	0,32	5818	264	4,1	5802	279	2,8			
5738	297	$\sim$ 0,01				5767	315	3,9	5731	353	1,1			

\*) 5680,3 $\pm$ 1 [31-71].

Таблица П.II6

 $\alpha$ -распад  $C_f^{252}$ 

Баранов [27-70, 31-71]			Баро [142-55]			Magnusson [15-54]		
E <sub>α</sub> , кэВ	E <sup>X</sup> , кэВ	I <sub>α</sub> , %	E <sub>α</sub> , кэВ	E <sup>X</sup> , кэВ	I <sub>α</sub> , %	E <sub>α</sub> , кэВ <sup>a)</sup>	E <sup>X</sup> , кэВ	I <sub>α</sub> , %
6118,3 $\pm$ 0,5	0	84,0	6119	0	84,3	6117	90	
6075,7 $\pm$ 0,5	43	15,8	6076	44	15,5	6080	10	
5976	144	0,2	5975	146	0,28 [152-58]			
5826	297	$2 \cdot 10^{-3}$				$\sim$ 680	$1 \cdot 10^{-3}$ [193-63]	
5615	511	$\sim 6 \cdot 10^{-5}$						

Таблица П.II7

 $\gamma$ -излучение  $C_f^{252}$ 

Watson [702-71]		Abaro [142-55, 163-64]		Harvey [388-56]
$E_{\gamma}$ , кэВ.	$I_{\gamma}$ , %	$E_{\gamma}$ , кэВ.	$I_{\gamma}$ , %	$E_{\gamma}$ , кэВ.
43,399	0,0153	43,3	0,014	43,4 $\pm$ 0,1
Lederer [493-63]		100,2	0,013	
160	0,002			

Таблица П.II8

 $\gamma$ -излучение  $\zeta_s^{250}$  [120-70]

$E_{\gamma}$ , кэВ.	$I_{\gamma}$ , отн. ед.	Мульти- польность
140,5 $\pm$ 0,3	0,23	MI
246,5 $\pm$ 0,3	0,18	MI
303,2 $\pm$ 0,3	1,0	MI+EI
349,4 $\pm$ 0,3	0,92	E2
383,8 $\pm$ 0,3	0,63	E2
712 $\pm$ 1	$\sim$ 0,05	
764,0 $\pm$ 0,5	0,17	
810,1 $\pm$ 0,5	0,40	
828,8 $\pm$ 0,5	3,4	(EI)
863,2 $\pm$ 0,5	0,23	
867 $\pm$ 1	$\sim$ 0,05	

Таблица П.II9

 $\alpha$ -распад  $\zeta_s^{252}$  [529-65]

$E_{\alpha}$ , кэВ. <sup>a)</sup>	$E^*$ , кэВ	$I_{\alpha}$ , %
6639 <sup>x)</sup>	0	82
6580	60	13
6493	148	2,3
6260	385	0,8
6230	416	0,33
6090	558	0,6
(6070)	578	0,11
6020	629	1,1
5990	660	0,07
(5940)	710	0,09

x) 6640<sup>b)</sup> [387-56] $\gamma$ -излучение  $\zeta_s^{252}$  [529-65]

$E_{\gamma}$ , кэВ.	$I_{\gamma}$ , %
74	0,3
154	0,07
198	0,08
228	0,23
278	0,21
400	I,I (сложн.)
520	0,15
570	0,14

Таблица П.I2I

 $\alpha$ -распад  $\zeta_s^{253}$ 

Баранов [30-71, 31-71]			Abaro [150-60]		
$E_{\alpha}$ , кэВ.	$E^*$ , кэВ.	$I_{\alpha}$ , %	$E_{\alpha}$ , кэВ.	$E^*$ , кэВ.	$I_{\alpha}$ , %
6631,3 $\pm$ 1,5	0	91,30	6633 <sup>x)</sup>	0	90
6623	8,8	0,82	6624	9	0,8
6592	40,2	0,83	6594	40	0,7
6589	42,5	5,62	6592	42	6,6
6550	82,2	0,53	6552	82	0,75
6539	94,0	0,60	6540	94	0,85
6495	137,7	0,157	6497	138	0,26
6478	155,0	<0,05	6479	156	0,08
6429	205,5	0,02	6429	207	0,1
6402	232,7	0,005		(229)	0,01
6348	286,7	0,005		(283)	0,02

SECTION 4

Продолжение таблицы П.121

$\alpha$ -распад  $\zeta_s^{253}$

Баранов [30-7I, 3I-7I]			Huaro [150-60]		
$E_{\alpha}$ , кэВ	$I_{\alpha}$ , кап.	$T_{\alpha}, \%$	$E_{\alpha}$ , кэВ	$I_{\alpha}$ , кап.	$T_{\alpha}, \%$
6246	390, I	0,027	6249	390	0,04
6208	428, 9	0,023	6209	430	0,04
6162	475, 5	0,003	6158	482	0,015
6093	545, 3	0,001		(542)	0,008
6041	598, 3	$\sim 9 \cdot 10^{-5}$			
			Lederer [493-63]		
6031	608, I	$\sim 7 \cdot 10^{-5}$	6030 <sup>a</sup>	600	$2 \cdot 10^{-4}$
6019	620, 7	$8 \cdot 10^{-5}$	5930-6040		$1 \cdot 10^{-4}$
5859	783, 3	$3 \cdot 10^{-5}$	5910	$\sim 750$	$3 \cdot 10^{-5}$
			5730 (слож.)	$\sim 920$	$8 \cdot 10^{-5}$
			x) $6632, 73 \pm 0, 05$ [367-7I]		

Таблица П.122

$\gamma$ -излучение  $\zeta_s^{253}$  [415-63]

$E_{\gamma}$ , кэВ	$I_{\gamma}, \%$	Мульти- польность	$E_{\gamma}$ , кэВ	$I_{\gamma}, \text{отн. ед.}$	$I_{\gamma}, \%$	Мульти- польность
8,8	[162-64]		135,50			E2
30,84		MI+E2	145,43			E2
41,79	0,038	MI+E2	368,21	0,7		MI
42,98		MI+E2	381,26	10,4		MI
51,95		MI+E2	386,2			MI
55,II		MI+E2	387,16	36	0,055	MI
62,09			389,16	55	[461-56]	MI
66,84			428,96	II		MI
73,42			433,20	5		MI
73,82	E2		442,2			
78,6			448,32	1,5		MI
93,74	E2		475,0			
98,09	E2		500,2			
114,04	E2		750		$3 \cdot 10^{-5}$	[493-63]
121,97	E2		900		$6 \cdot 10^{-5}$	

Таблица II.123

 $\alpha$ -распад  $\text{Cs}^{254}$ 

Баранов [32-72]			М. Нагтиш [530-66]		
$E_{\alpha}$ , кэВ	$E^*$ , кэВ	$I_{\alpha}$ , %	$E_{\alpha}$ , кэВ	$E^*$ , кэВ	$I_{\alpha}$ , %
~6512	0	$\sim 4,6 \cdot 10^{-3}$	6521	0	~0,005
6478	34	~0,05	~6476	~6476 $\pm 10$	0,27
~6476	~36	~0,18			
6435	78	~0,03			
6428,8 <sup>x)</sup>	85	93,2	6437	85,5	93
6415,6	98	1,9	6424	99	1,7
6383	131	~0,1	6392	131	0,13
6378	136	~0,01			
6358,6	156	2,4	6367	156	2,9
6347	169	0,75	6355	169	0,74
6324	191	0,035	6331	193	0,05
6275	241	~0,11	6284	241	0,16
6266	250	0,22	6276	249	0,22
6258	258	~0,02			
6194	323	0,04	6200 $\pm 10$	~326	~0,05
6184	333	0,08	6193 $\pm 10$	~333	~0,05
6177	341	~0,02			
6105	414	0,36	6113 $\pm 5$	414	0,33
			6056	472	0,16

x) 6425,8  $\pm 1,5$  [31-71].

Таблица II.124

 $\gamma$ -излучение  $\text{Cs}^{254}$  [530-66]

$E_{\gamma}$ , кэВ	$I_{\gamma}$ , %	Мульти- польность
34,4		M1+E2
35,5		M2
42,6		M1+E2
63	2	E1
59,7		(M1+E2)
70,4		M1+E2
80,8		M1+E2
85,1		(M1+E2)
150	0,02	
(233)	0,008	
249	0,025	
264	0,05	
278	0,03	
~285	0,01	
304	0,07	
316	0,15	
342	0,009	
348	0,007	
377	0,015	
385	0,05	

Таблица II.125

 $\gamma$ -излучение  $\text{Cs}^{254m}$   
(сопровождает  $\beta$ -распад)

Porter [590-71]		Unik [681-62]		
$E_{\gamma}$ , кэВ	$I_{\gamma}$ , %	отн.ед.	Мульти- поль- ность	
39,88 $\pm 0,01$				
44,99 $\pm 0,01$	44			
104,36 $\pm 0,01$	103,5 $\pm 1,0$	0,55	E2	
Hollander [414-61]		544 $\pm 5$	3,2	E2
583,26 $\pm 0,4$	583 $\pm 3$	8,6	E2	
648,12 $\pm 0,4$	648 $\pm 2$	100	E2	
688,20 $\pm 0,4$	692 $\pm 2$	40		
693,05 $\pm 0,4$	692 $\pm 2$	78	E2	
	989 $\pm 7$	2,0		

Таблица II.126

 $\alpha$ -распад  $\text{Fr}^{253}$  [II8-67]

$E_{\alpha}$ , кэВ	$E^*$ , кэВ	$I_{\alpha}$ , %
7085 $\pm 4$	0	1,3
7025	61	6,7
6945	142	42,7
6903	185	9,8
~6869	~219	~0,9
6848	241	8,4
6675	417	23,2
6652	440	2,4
6632	460	2,6
6543	551	1,5
~6489	~606	~0,3

$\lambda$ -распад  $Pm^{255}$

Таблица II.127

Ahmed [121-71]			Ahmed [117-66]			Ahmed [151-64]		
$E_{\gamma}$ , кэВ	$E^*$ , кэВ	$I_{\gamma}, \%$	$E_{\gamma}$ , кэВ <sup>1)</sup>	$E^*$ , кэВ	$I_{\gamma}, \%$	$E_{\gamma}$ , кэВ	$E^*$ , кэВ	$I_{\gamma}, \%$
7127±4	0	0,08				7122	0	0,00
7102	25	0,11				7031	25	0,10
7080	48	0,47				7076	48	0,43
7023±3 <sup>x)</sup>	106	93,3				7071±1	106	93,4
						6977	149	0,11
6965	165	5,2				6961	166	5,3
6953	177	0,02	6956	178	0,024			
6917	214	0,02	6923	211	0,017			
6893	238	0,61	6896	239	0,01	6887	240	0,00
6873	268	0,01	6880	265	0,013			
			6842	293	0,003			
6816	316	~0,002						
6807	325	0,11				6803	326	0,12
6765	368	0,018						
6713	421	~0,02	6710	420	0,03	~570	~420	~4,10 <sup>-3</sup>
6701	433	0,036				~650	~650	~0,015
6591	545	0,018		6590	~550	0,02		
6546	591	0,013	6540	~600	0,015			
6487	651	0,003	6490	~650	3,5.10 <sup>-3</sup>			
			6410	~730	3.10 <sup>-4</sup>			

x) 7015,8±1,8 [31-71]

Таблица II.128

$\beta$ -излучение  $Pm^{255}$

Ahmed [121-71]			Ahmed [117-66]		Ahmed [121-71]		Ahmed [117-66]	
$E_{\beta}$ , кэВ	$I_{\beta}, \%$	Мульти- поль- ность	$E_{\beta}$ , кэВ	$I_{\beta}, \text{отн. ед.}$	$E_{\beta}$ , кэВ	$I_{\beta}, \%$	$E_{\beta}$ , кэВ	$I_{\beta}, \%$
47,9±0,1	0,019	E2			213,5±0,4	~1.10 <sup>-4</sup>		
58,4±0,1	57,90	0,78	M1	58,6	67	233,6±0,3	2,6.10 <sup>-4</sup>	
58,48	58,48		M1	60,0	14	164,5±0,2	1,0.10 <sup>-3</sup>	
60,0±0,1	0,12					162,1±0,3	1,0.10 <sup>-4</sup>	
63,8±0,5	8.10 <sup>-4</sup>					273,1±0,3	3,2.10 <sup>-4</sup>	
73,0±0,1	0,029	M1	72,9	2,5		289,5±0,3	5,0.10 <sup>-4</sup>	
81,3±0,1	80,92	1,08	E2	81,2	100	328,0±0,5	2,3.10 <sup>-4</sup>	
81,48	81,48					330,0±0,5	4,4.10 <sup>-4</sup>	
86,0±0,1	6,6.10 <sup>-3</sup>					332,0±0,4	3,3.10 <sup>-3</sup>	340,0±0,3
98,7±0,2	2,9.10 <sup>-3</sup>					306,4±0,1	5,0.10 <sup>-3</sup>	340,0±0,3
131,0±0,2	0,028	M1				379,4±0,2	7,0.10 <sup>-4</sup>	
132,9±0,2	8,5.10 <sup>-3</sup>					390,7±0,5	4,0.10 <sup>-4</sup>	
149,2±0,2	6,5.10 <sup>-4</sup>					410,0±0,5	1,2.10 <sup>-4</sup>	
152,0±0,2	2,1.10 <sup>-3</sup>					423,8±0,2	6,0.10 <sup>-4</sup>	
159,0±0,2	3,6.10 <sup>-3</sup>					437,8±0,2	1,4.10 <sup>-4</sup>	
163,8±0,2	2,0.10 <sup>-3</sup>					443,5±0,5	~5.10 <sup>-5</sup>	
172,9±0,2	3,0.10 <sup>-4</sup>					453,9±0,3	2,1.10 <sup>-4</sup>	
177,7±0,2	4,8.10 <sup>-3</sup>		178	7.10 <sup>-3</sup>		466,2±0,4	1,2.10 <sup>-4</sup>	
184,8±0,2	8,0.10 <sup>-4</sup>					496,2±0,4	1,2.10 <sup>-5</sup>	
186,8±0,3	1,0.10 <sup>-4</sup>					502,7±0,5	~4.10 <sup>-5</sup>	
204,1±0,2	0,024	M1				519,5±0,5	1,8.10 <sup>-4</sup>	
210,6±0,3	3,0.10 <sup>-4</sup>					543,8±0,5	1,4.10 <sup>-4</sup>	

Таблица П.129  
 $\lambda$ -распад  $Fm^{257}$  [I65-67]

$E_{\alpha}$ , кэв.	$E^*$ , кэв.	$I_{\alpha}, \%$
(6750)	0	0,4
6696 $\pm$ 3	62	3,2
6519 $\pm$ 2 <sup>x)</sup>	242	54
6441 $\pm$ 4	319	2,0
(6350)	$\sim$ 410	0,5

x) 6525 [626-65]

Таблица П.130  
 $\gamma'$ -излучение  $Fr^{257}$  [I65-66]

$E_{\gamma}$ , кэв.	$I_{\gamma}, \%$
62	
78	
103	1
180	8
242	10

Таблица П.131  
 $\lambda$ -распад  $Mg^{256}$

Fields [302-70]		Hoff [402-71]			
$E_{\alpha}$ , кэв.	$E^*$ , кэв.	$I_{\alpha}, \%$	$E_{\alpha}$ , кэв.	$E^*$ , кэв.	$I_{\alpha}, \%$
7670 $\pm$ 10	0	$\sim$ 2	7710 $\pm$ 20	4	
7640 $\pm$ 10	30	$\sim$ 4	7660 $\pm$ 30	2	
7580 $\pm$ 10	91	$\sim$ 2	7480 $\pm$ 20	6	
7440 $\pm$ 10	234	$\sim$ 2	7450 $\pm$ 30	5	
			7320 $\pm$ 30	4	
7202 $\pm$ 5 <sup>x)</sup>	475	69	7220 $\pm$ 10	63	
7136 $\pm$ 5	543	21	7150 $\pm$ 15	16	

x) 7170<sup>a)</sup> [626-65]

Таблица П.132  
 $\lambda$ -распад  $I02^{255}$

Bemis [182-71]		Eskola [286-70]			
$E_{\alpha}$ , кэв. <sup>b)</sup>	$E^*$ , кэв.	$I_{\alpha}, \%$	$E_{\alpha}$ , кэв. <sup>b)</sup>	$E^*$ , кэв.	$I_{\alpha}, \%$
8312 $\pm$ 9	0	1,9	8300	0	3
8266 $\pm$ 8	47	4,2	8250	$\sim$ 50	6
8121 $\pm$ 6 <sup>x)</sup>	194	45,5	8110	$\sim$ 190	57
8077 $\pm$ 9	239	II,9			
8007 $\pm$ II	310	6,3			
7927 $\pm$ 7	391	II,9	7920	$\sim$ 390	I9
7879 $\pm$ II	440	4,2			
7771 $\pm$ 7	550	8,9	7760	$\sim$ 560	I5
7717 $\pm$ II	605	2,4			
(7620 $\pm$ 10)	(703)	(2,8)			

x) 8110 $\pm$ 20<sup>a)</sup> [347-67],  
 8090 $\pm$ 30<sup>a)</sup> [107-67],  
 8080 $\pm$ 30<sup>a)</sup> [63-67, 110-68]

Таблица П.133  
 $\lambda$ -распад  $I03^{256}$  [285-71]

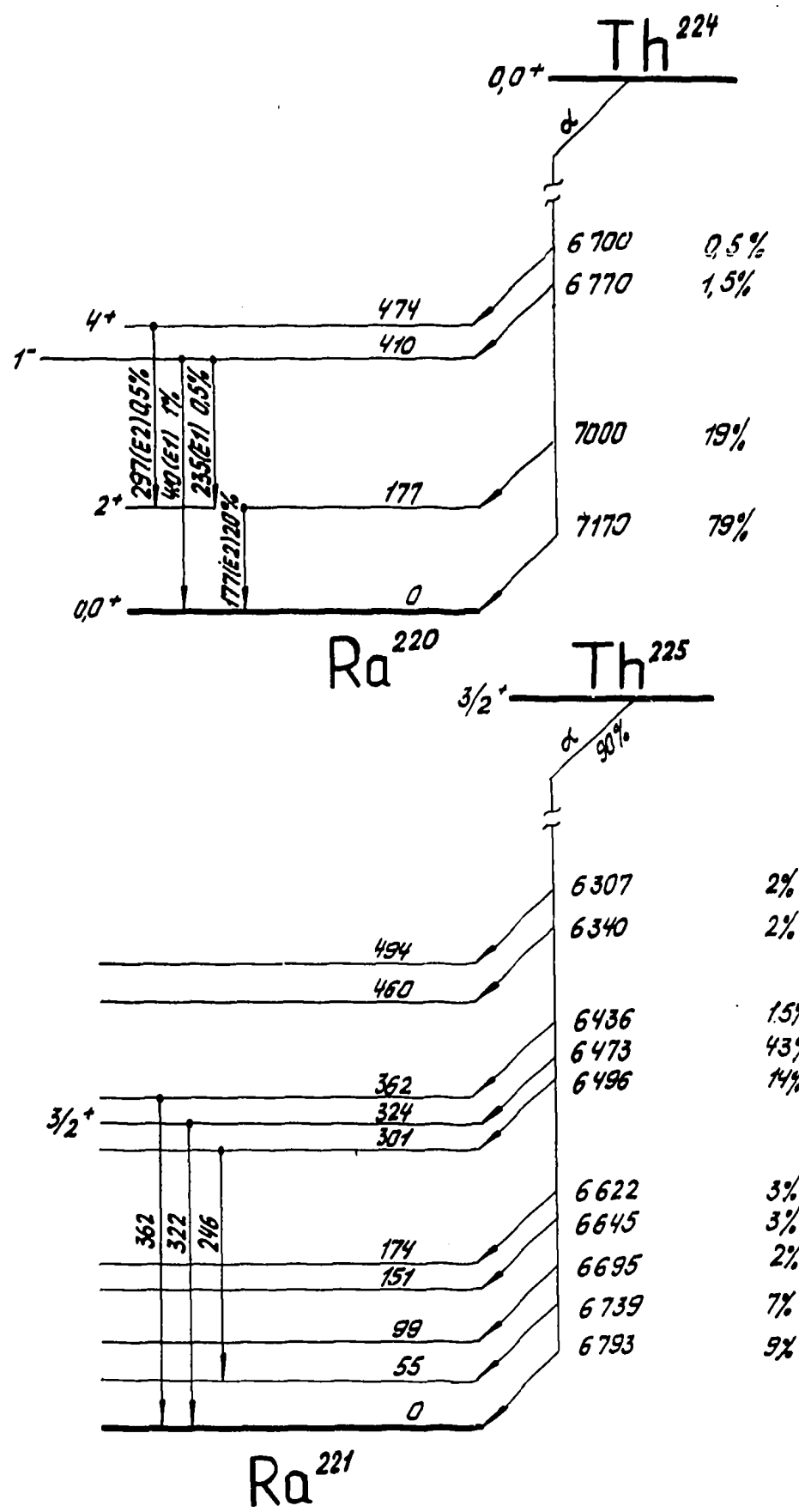
$E_{\alpha}$ , кэв. <sup>a)</sup>	$E^*$ , кэв.	$I_{\alpha}, \%$
8640 $\pm$ 20	0	3
8520	120	19
8480	160	13
8430 $\pm$ 20 <sup>x)</sup>	210	34
8390	250	23
8320	325	8

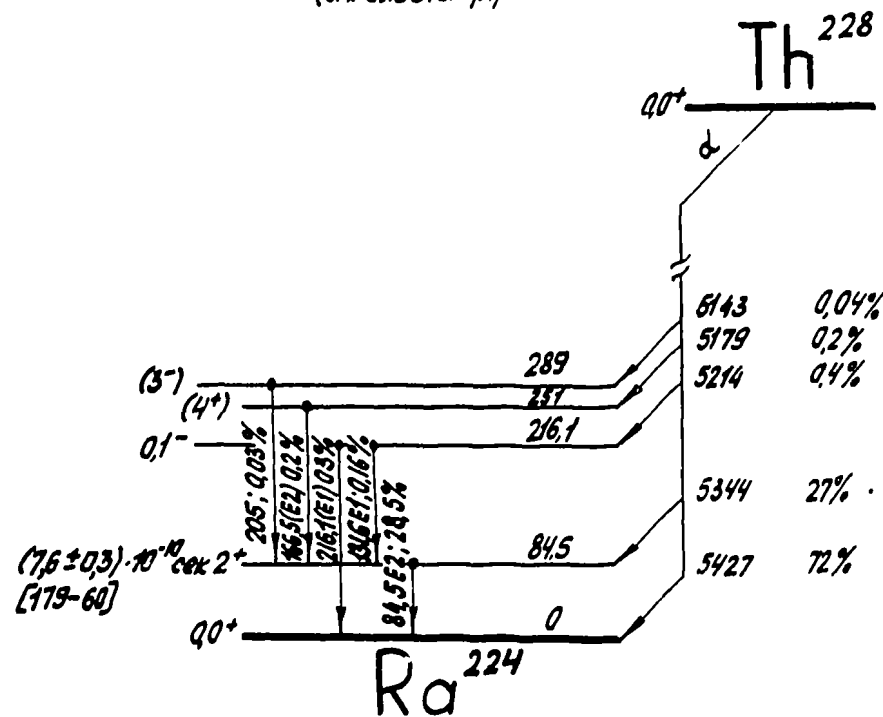
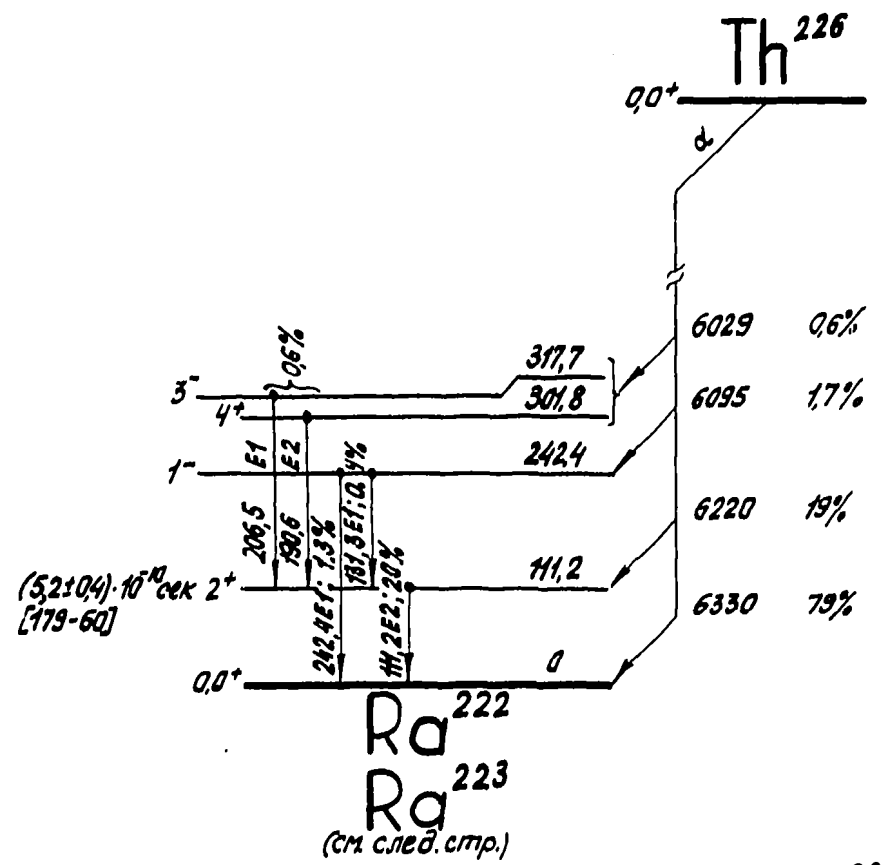
x) 8420<sup>a)</sup>, 8350 + 8600 [I08-67]

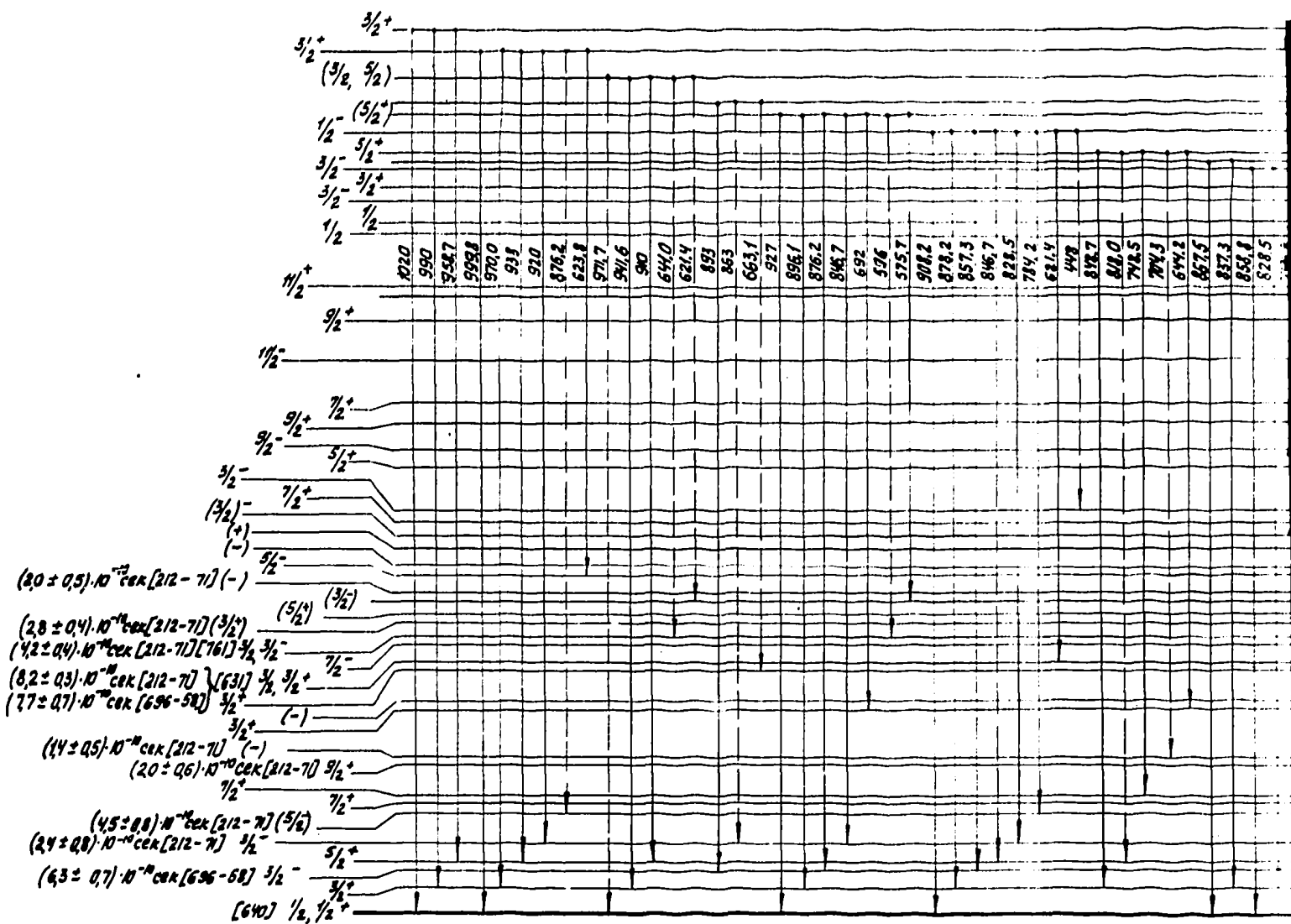
ПРИЛОЖЕНИЕ П

СХЕМЫ

РАДИОАКТИВНОГО РАСПАДА И СХЕМЫ УРОВней ЯДЕР







## SECTION 1

877.4	
856.8	
828.5	
798.6	
755.5	
578.5	
521.3	
56.4	
482	
842.2	
82.2	
784.5	
782.2	
748.5	
607.5	
536.5	
307.4	
823.1	
793.6	
773	
696.5	
519	
532.0	
493.1	
110	
803.5	
758.0	
723.6	
568.0	
712.4	
756.9	
707.2	
552.4	
457.5	
353.7	
436.0	
498.0	
285.4	
162	
563.5	411.82
432.4	411.82
402.6	411.82
382.2	
370.9	411.82
352.6	411.82
328.0	411.82
362.5	
299.9	
34.0	411.82
24.4	411.82
34.8	411.82
34.5	411.82
326.4	411.82
314.9	411.82
295.6	411.82
252.5	411.82
216.2	411.82
143	411.82

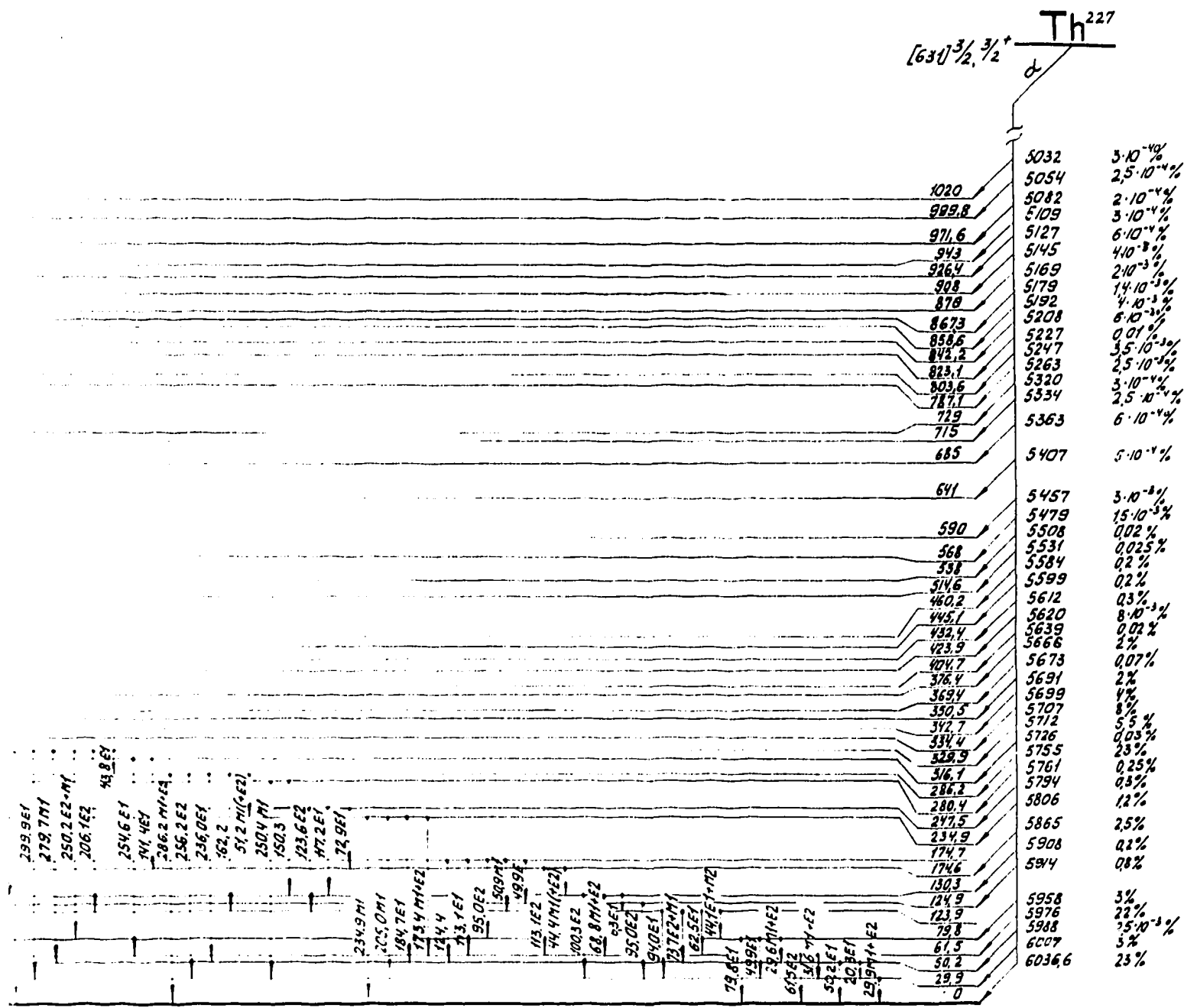
212.7	M1/E2
172.2	E1
572.6	E1
834.6	
110.7	2
402.2	2
432.4	F1
402.6	F1
382.2	
370.9	F1
352.6	F1
328.0	F1
362.5	
299.9	
34.0	E1
24.4	E1
34.8	E1
34.5	E1
326.4	E1
314.9	E1
295.6	E1
252.5	E1
216.2	E1
143	E1

D<sup>223</sup>

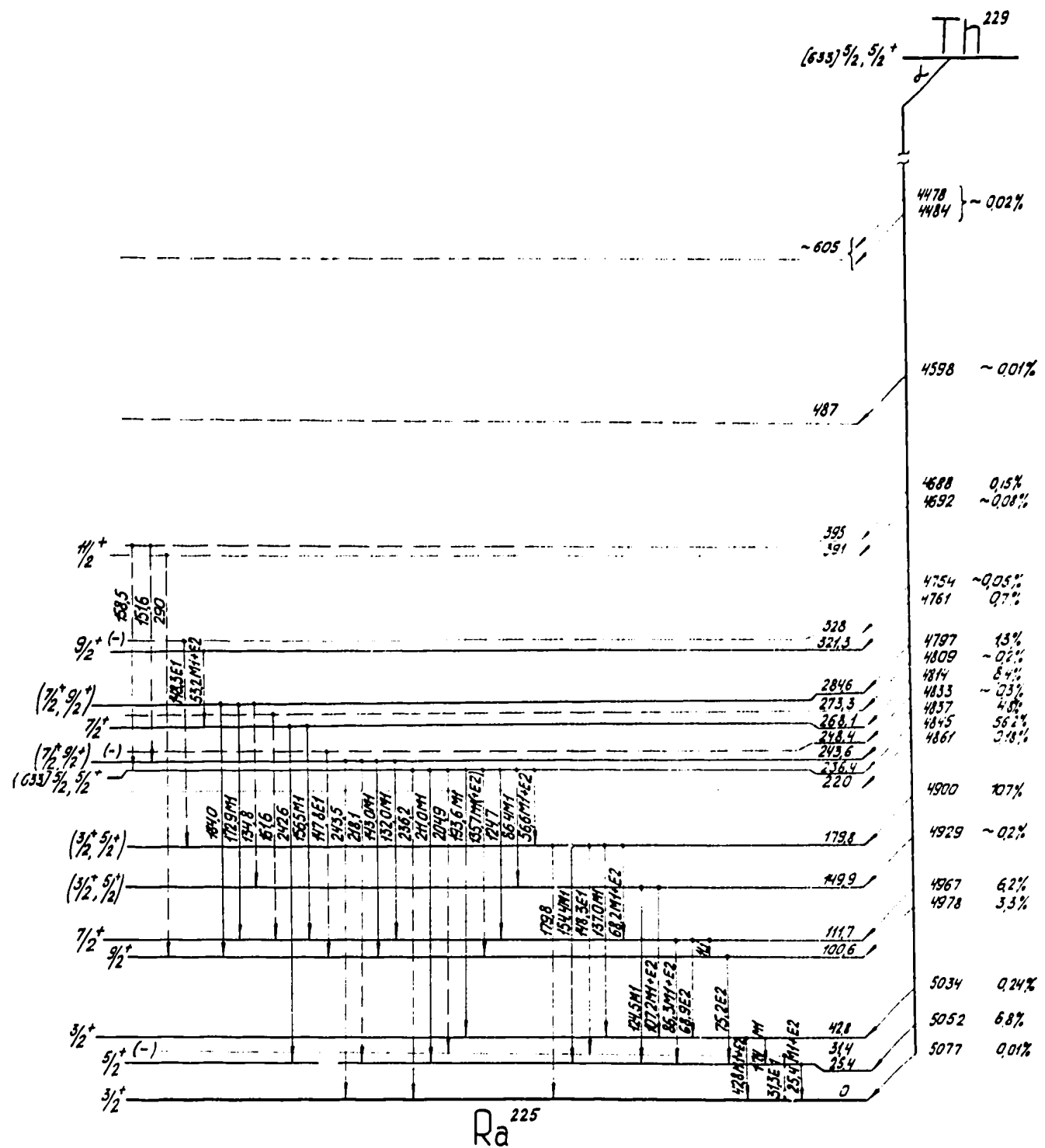
## SECTION 2

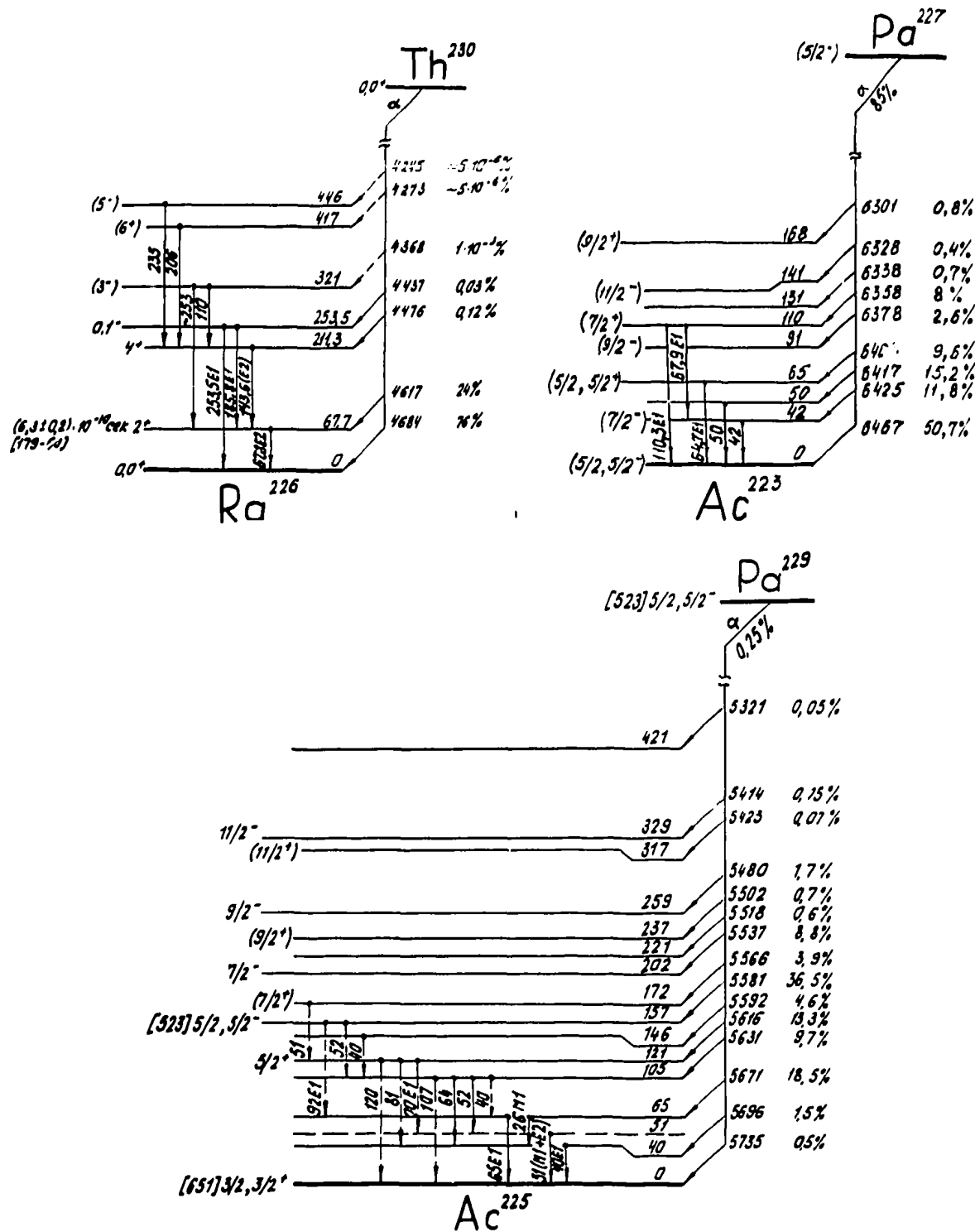
345.5 E1  
296.6 M1  
252.5 T1  
246.2 F1  
319.3 P1 452  
350.5 P1 345.6 E1  
302.3 M1 295.7 E1  
372.5 F1 (E1)  
322.7 M1 E2  
292.5 F1  
281.4 M1 E2  
253.0 E1  
288.9 P1  
212.2 F1 102.8 M1 (E2)  
62.5 M1 (E2)  
334.4 M1 E2  
304.5 P1  
222.9 M1 (E2)  
254.6 E1  
200.6 E1  
209.3 E1 54.2 M1  
49.3 E2  
329.9 E1  
299.9 E1  
278.7 M1  
250.2 E2 M1  
206.1 E2 13.8 E1  
254.6 E1  
141.4 E1  
286.2 M1 (E2)  
256.2 E2  
236.0 E1  
162.2  
51.2 M1 (E2)  
250.4 M1  
150.3  
123.6 E2  
117.2 E1  
72.9 E1  
234.9 M1  
225.0 M1  
184.7 E1  
175.4 M1 (E2)  
14.4  
13.1 E1  
95.0 E2  
50.0 M1  
19.9 E1  
143.1 E2  
134.9 M1 (E2)  
100.3 E2  
68.8 M1 (E2)  
35.0 E2  
34.0 E1  
21.7 E2

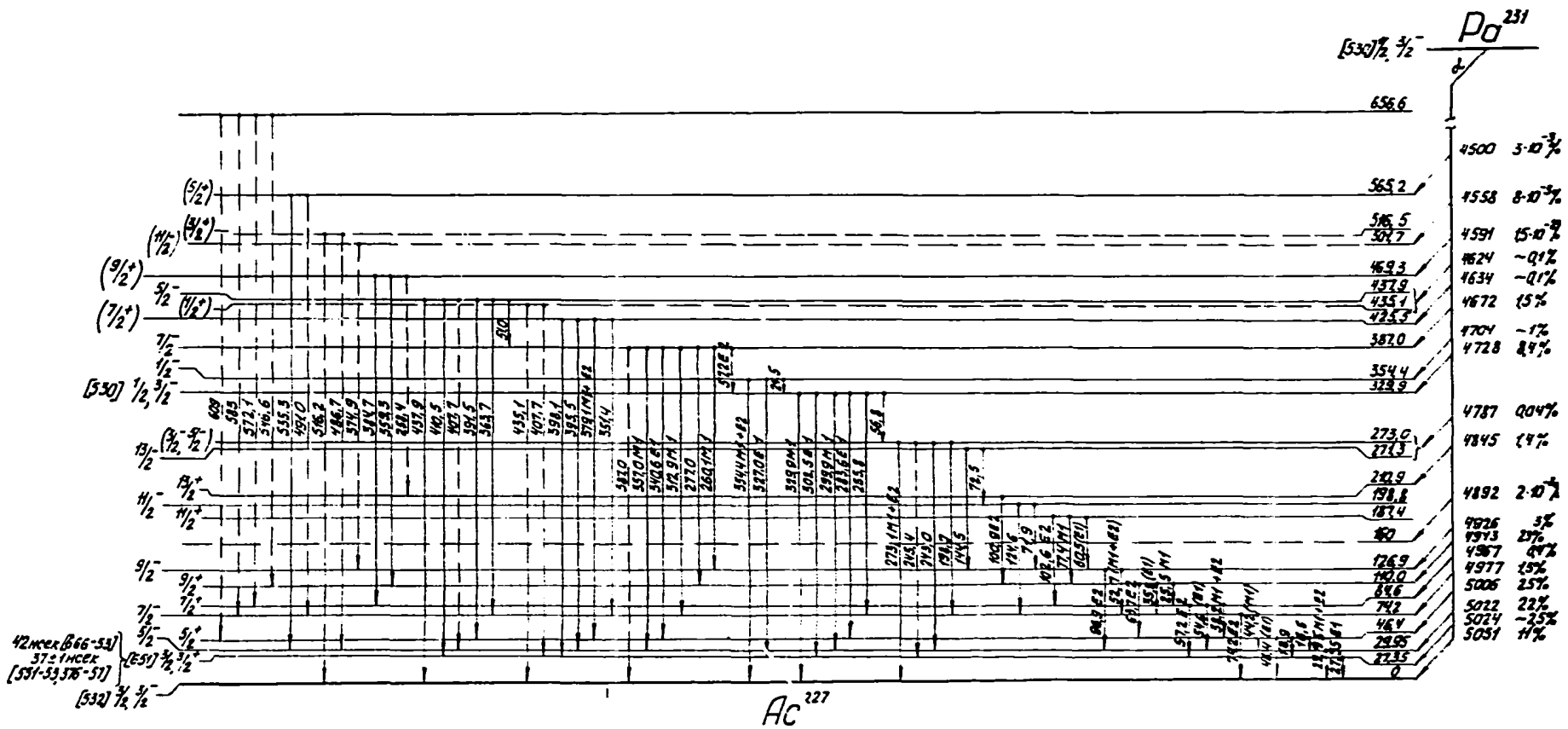
### SECTION 3



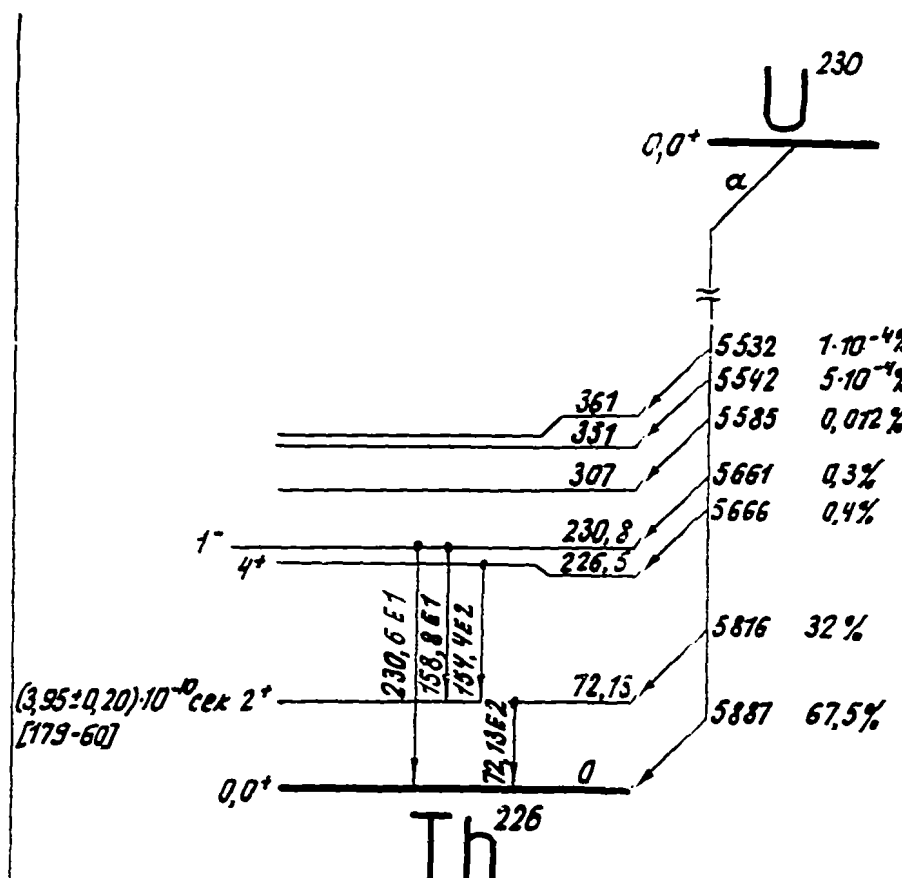
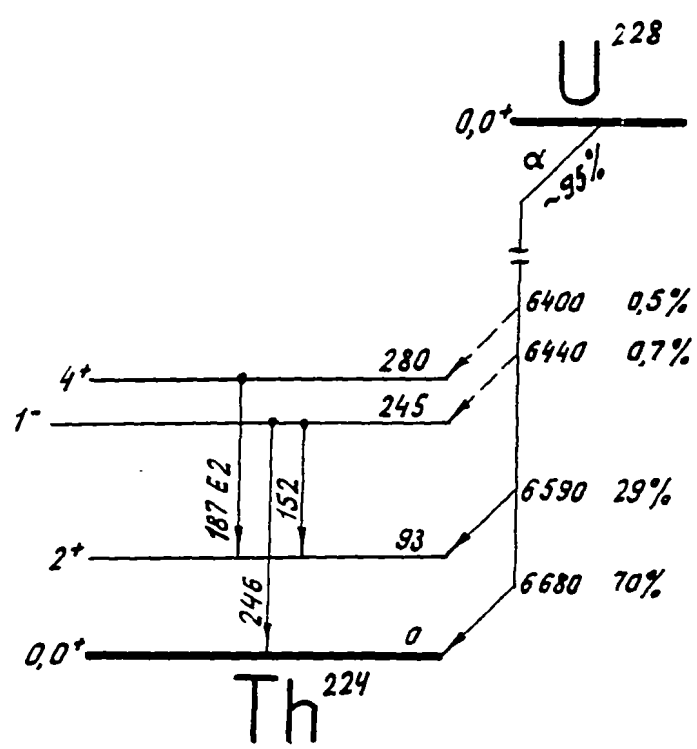
## **SECTION 4**

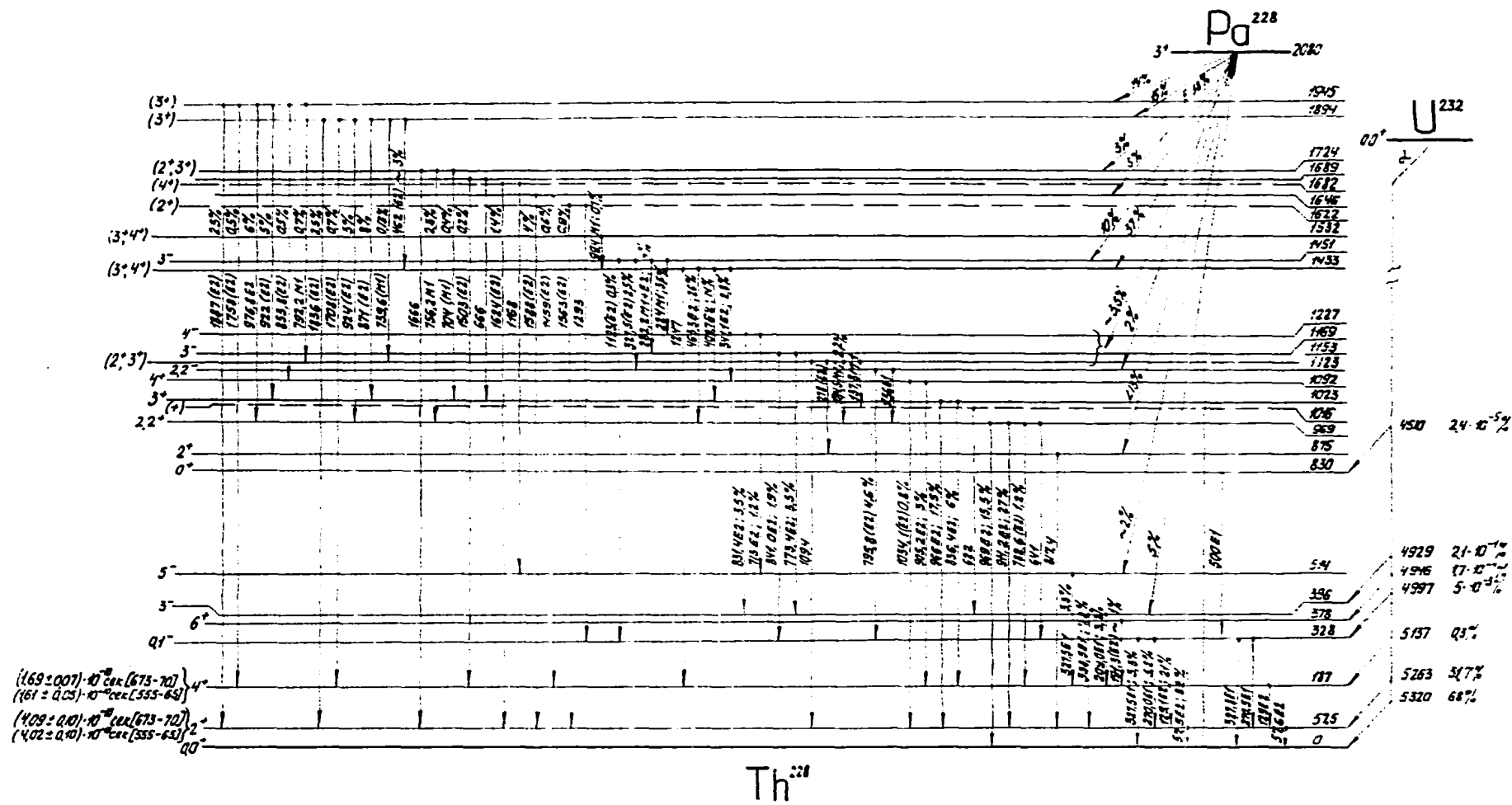


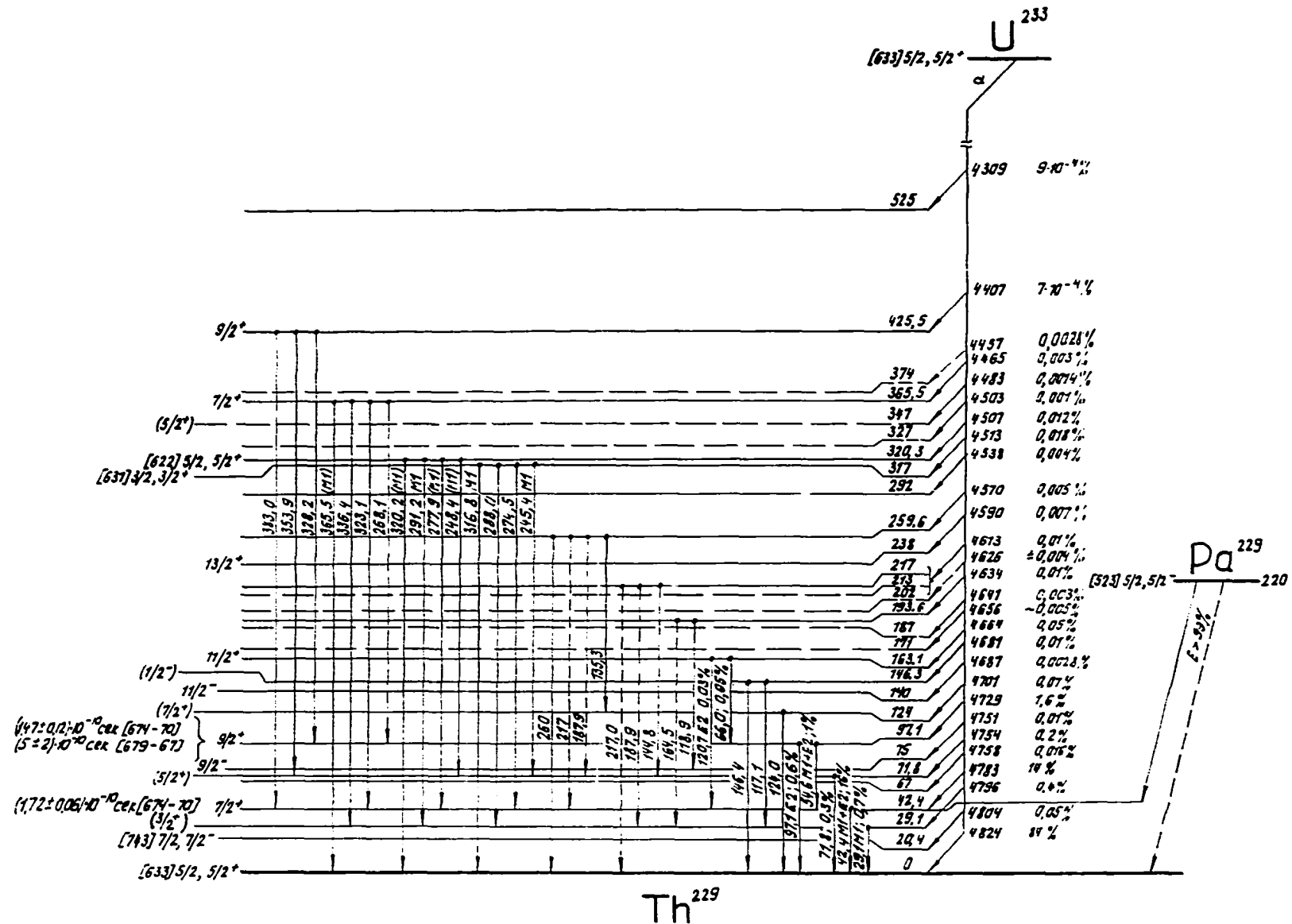


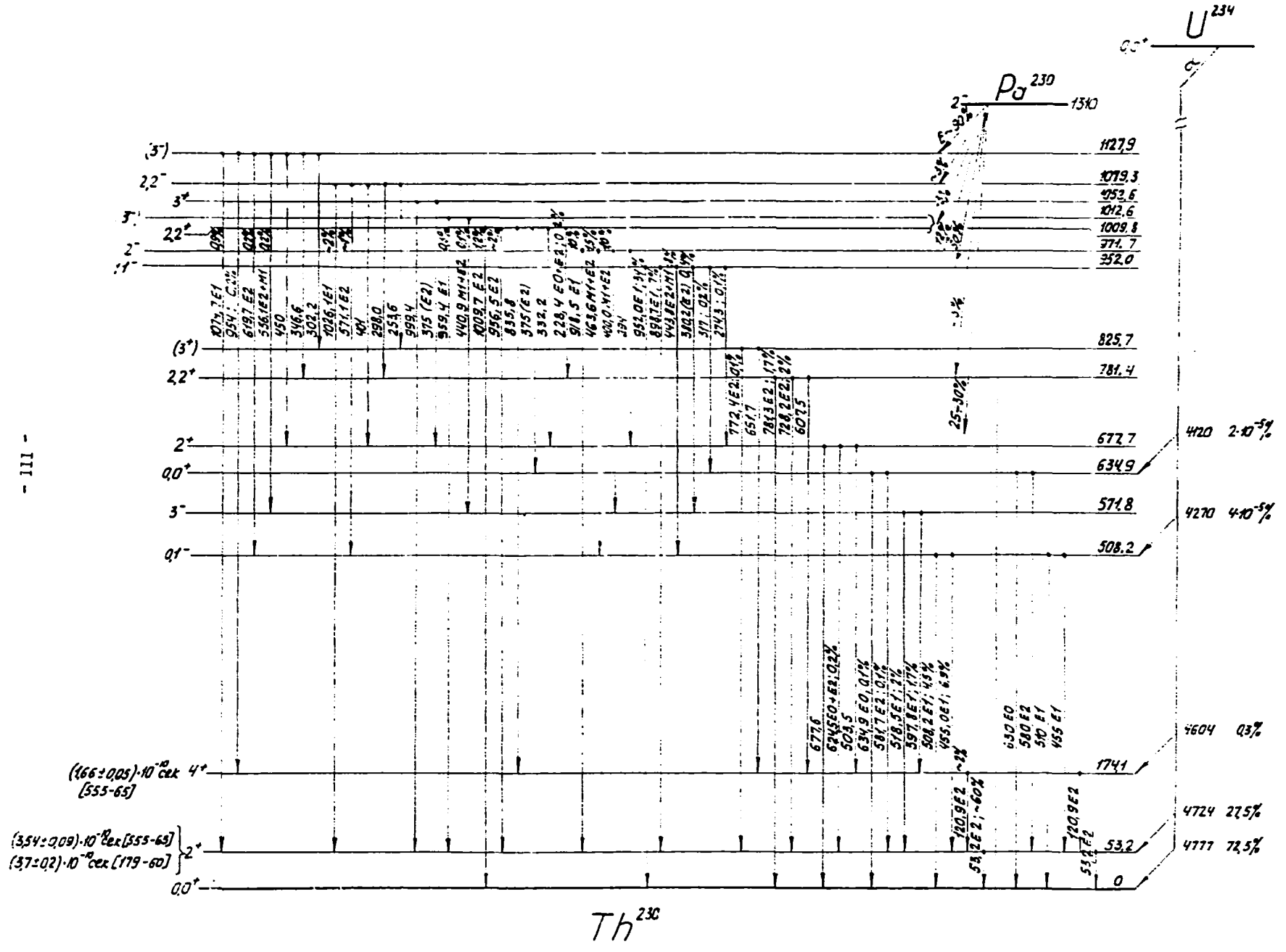


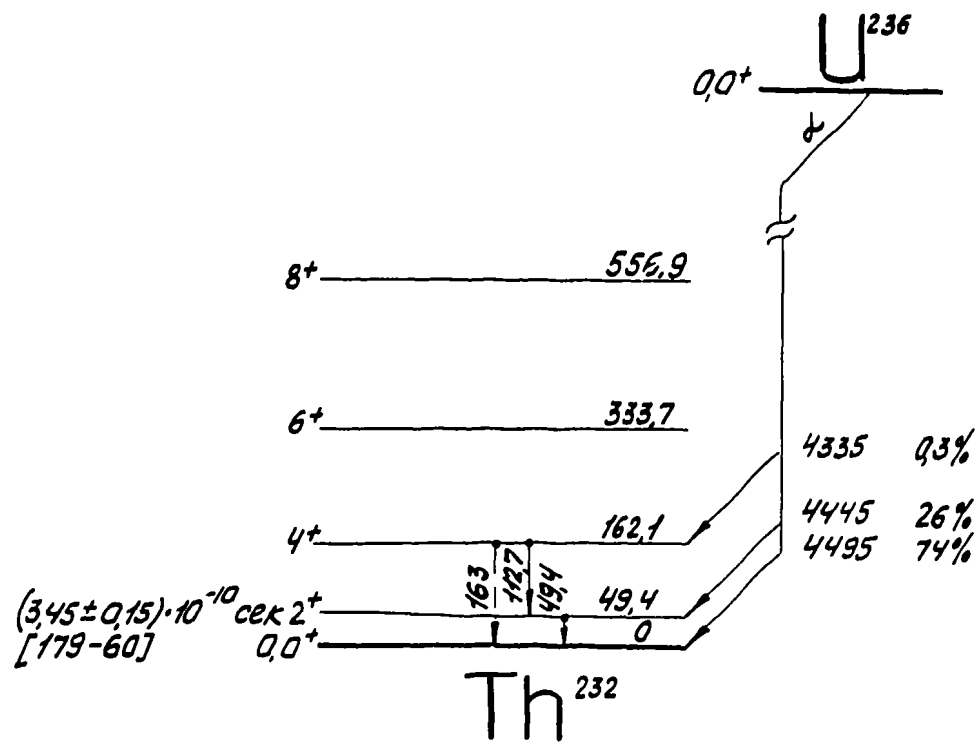
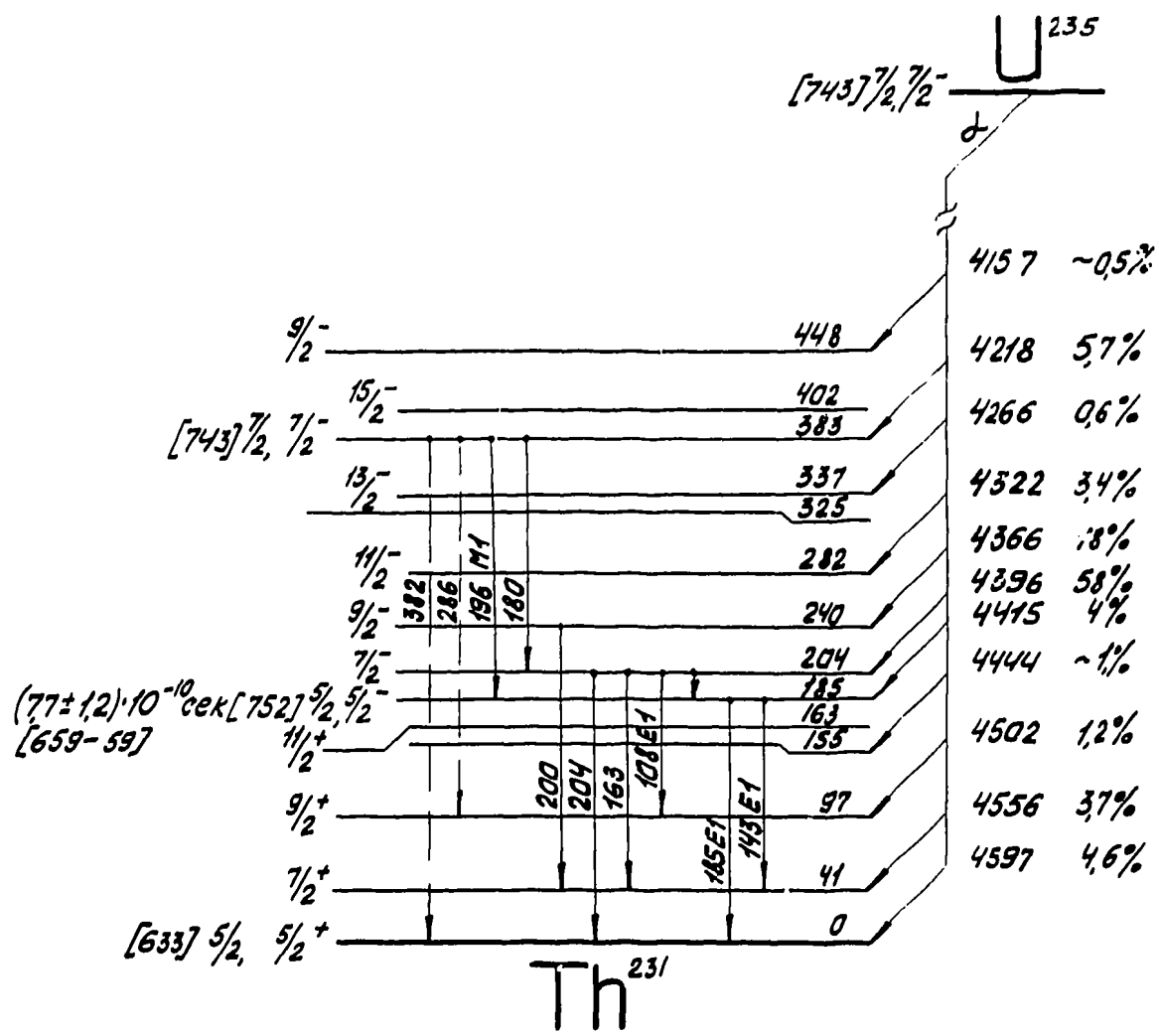
- 801 -

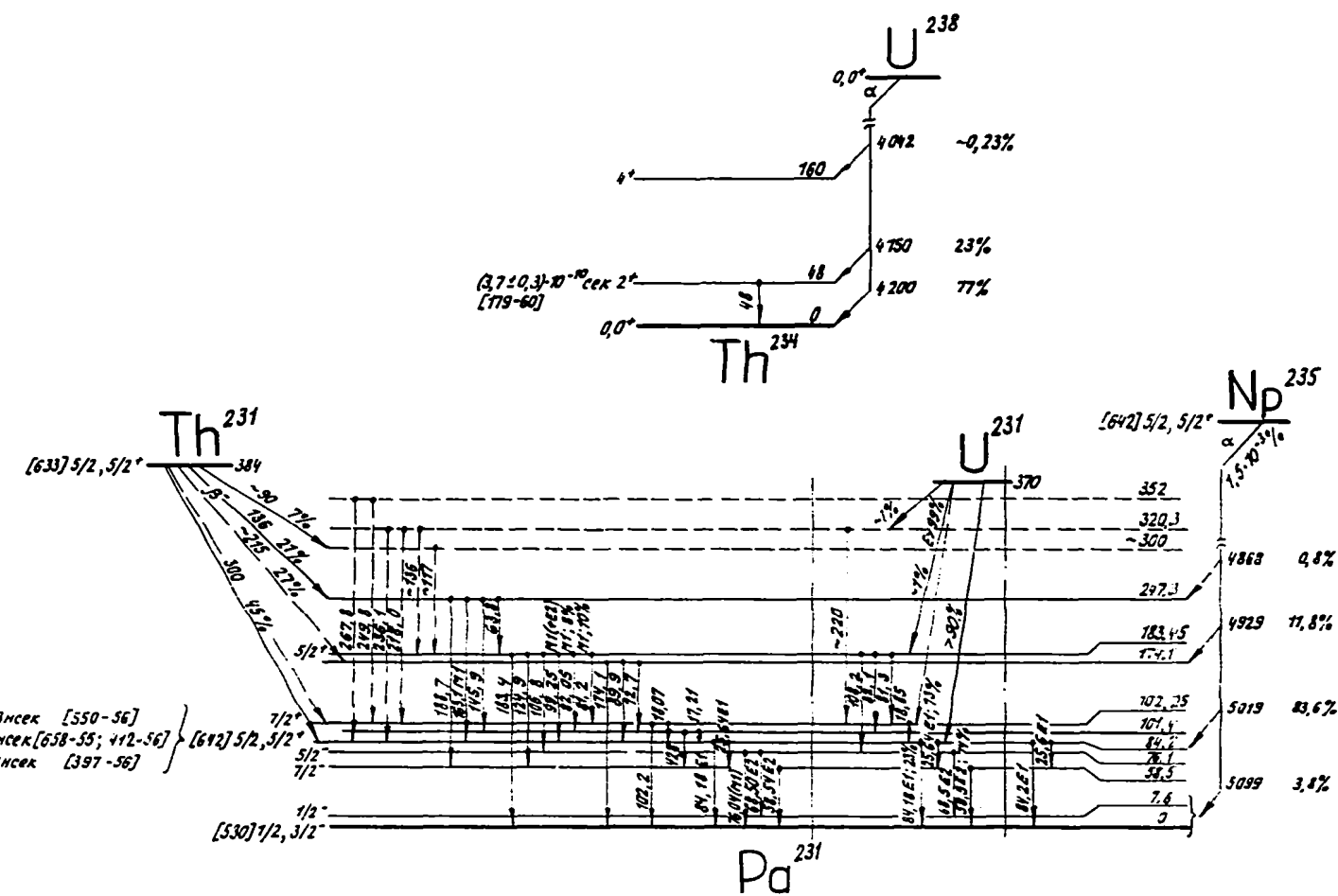


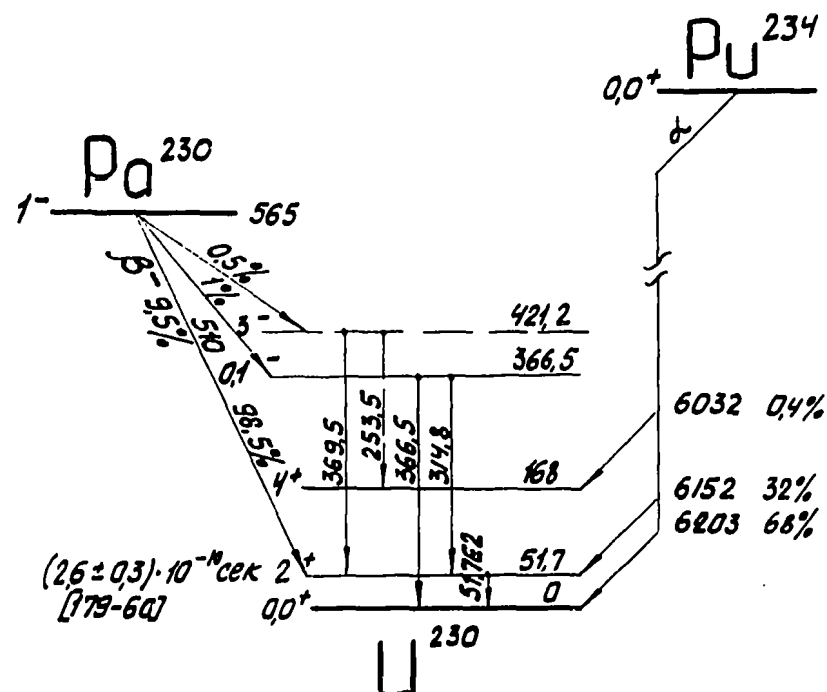
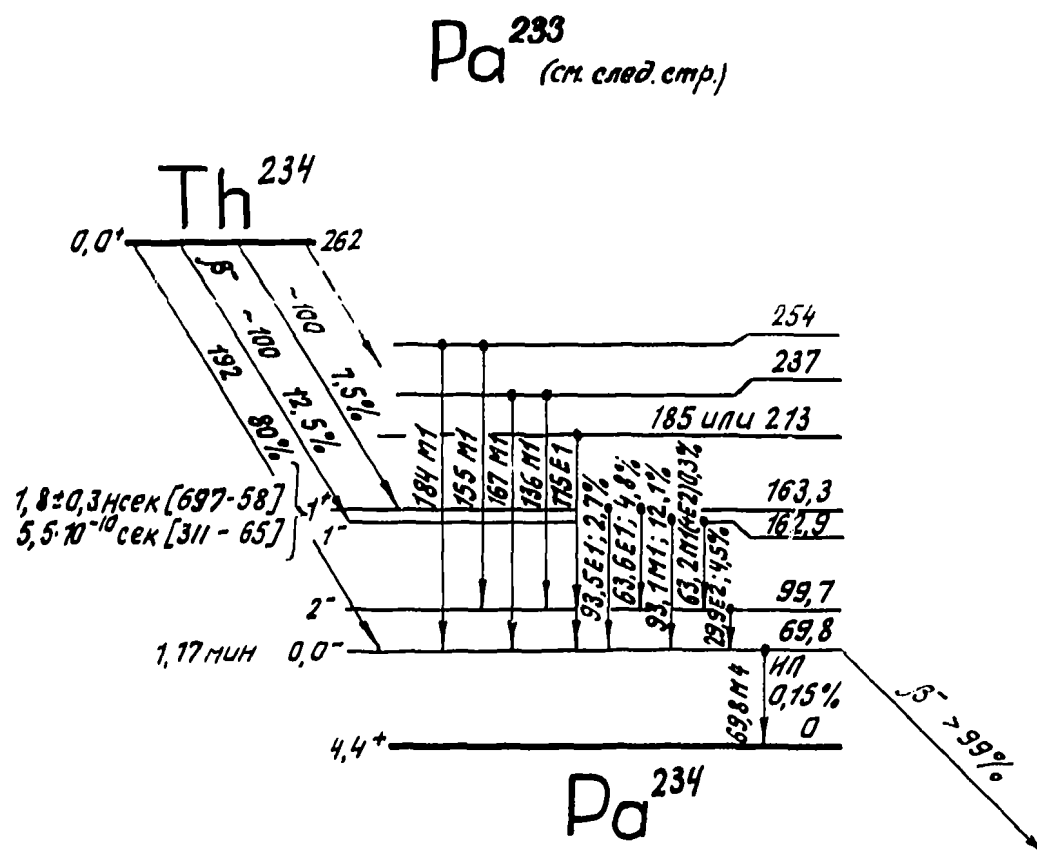


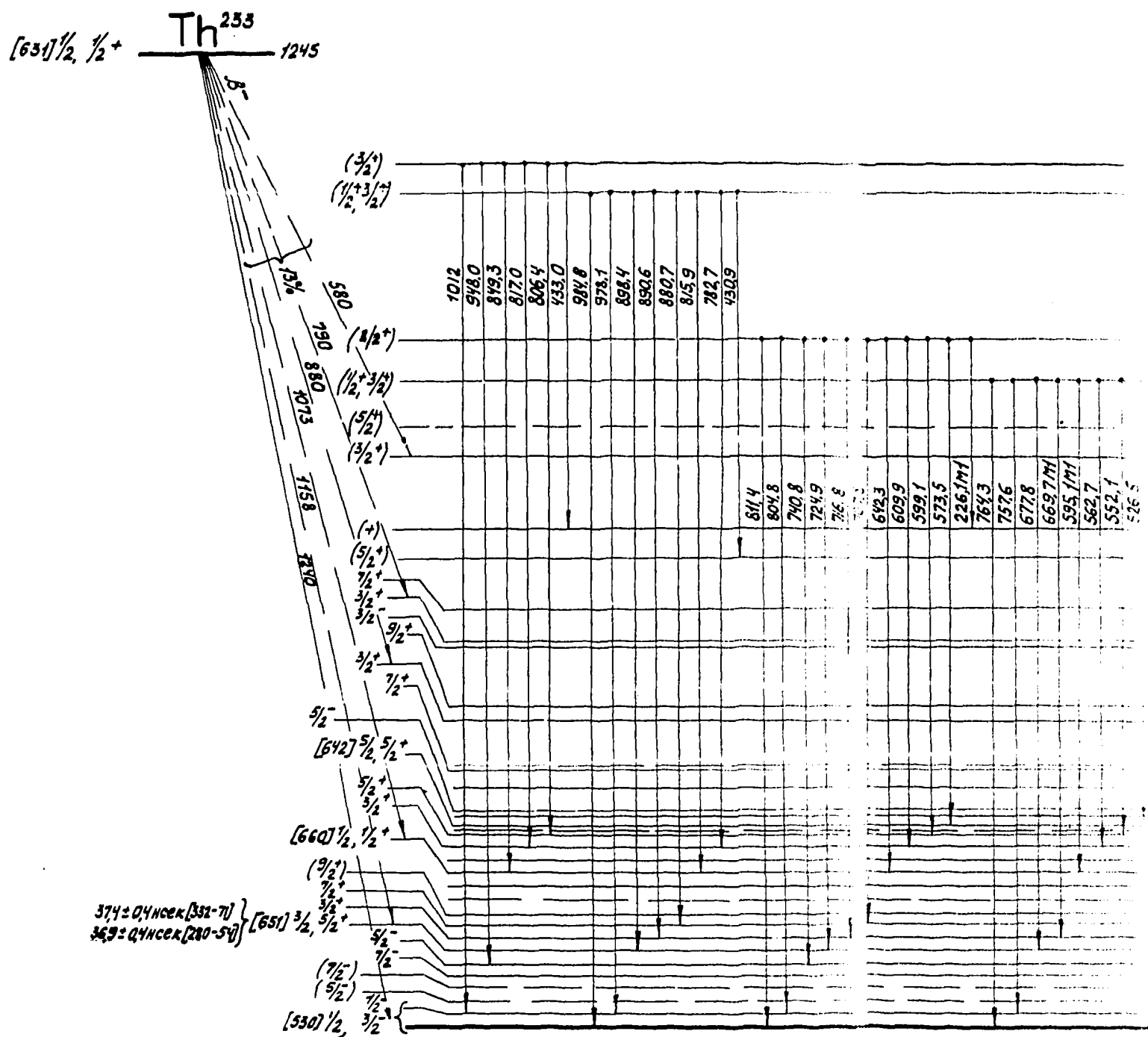




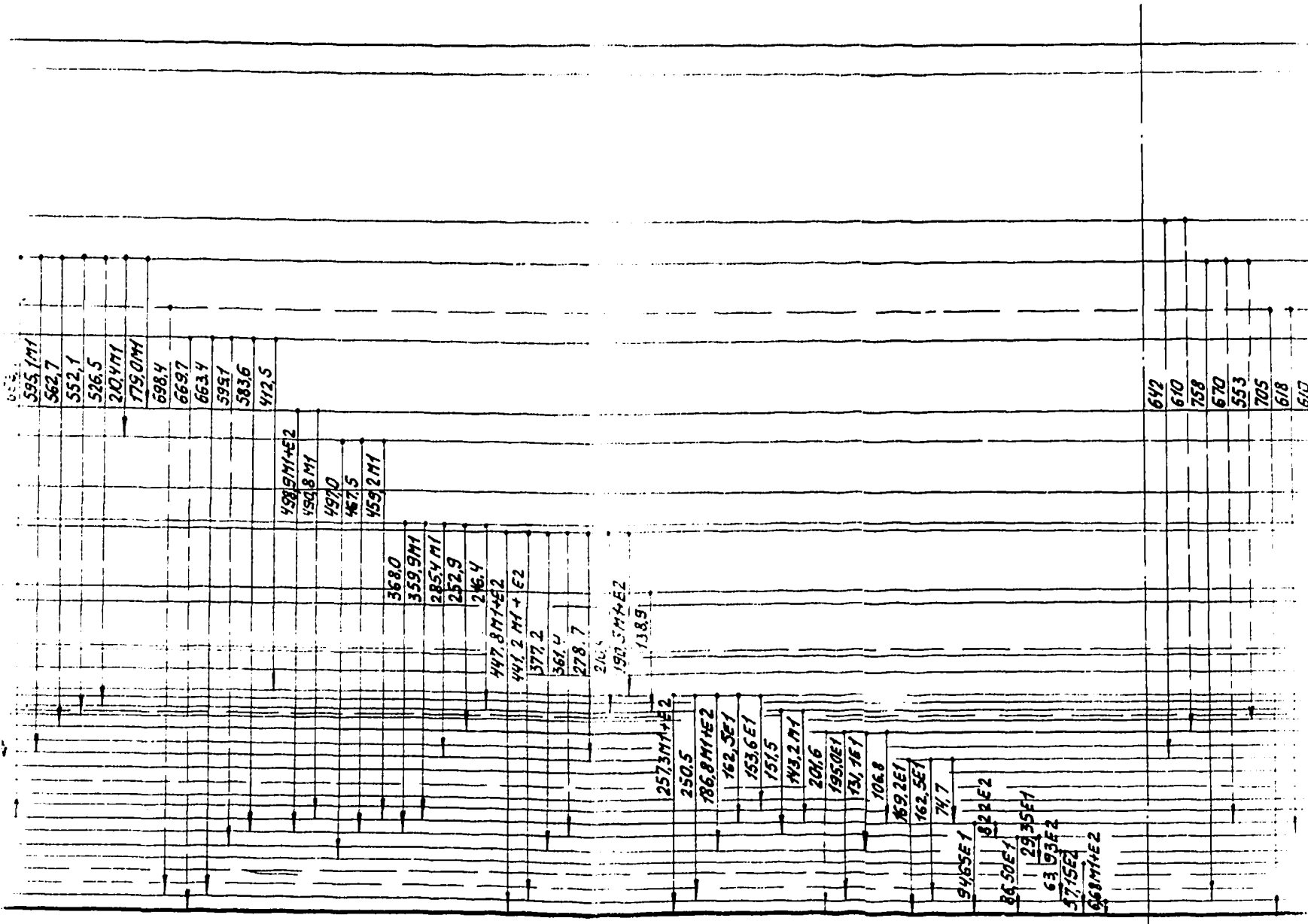






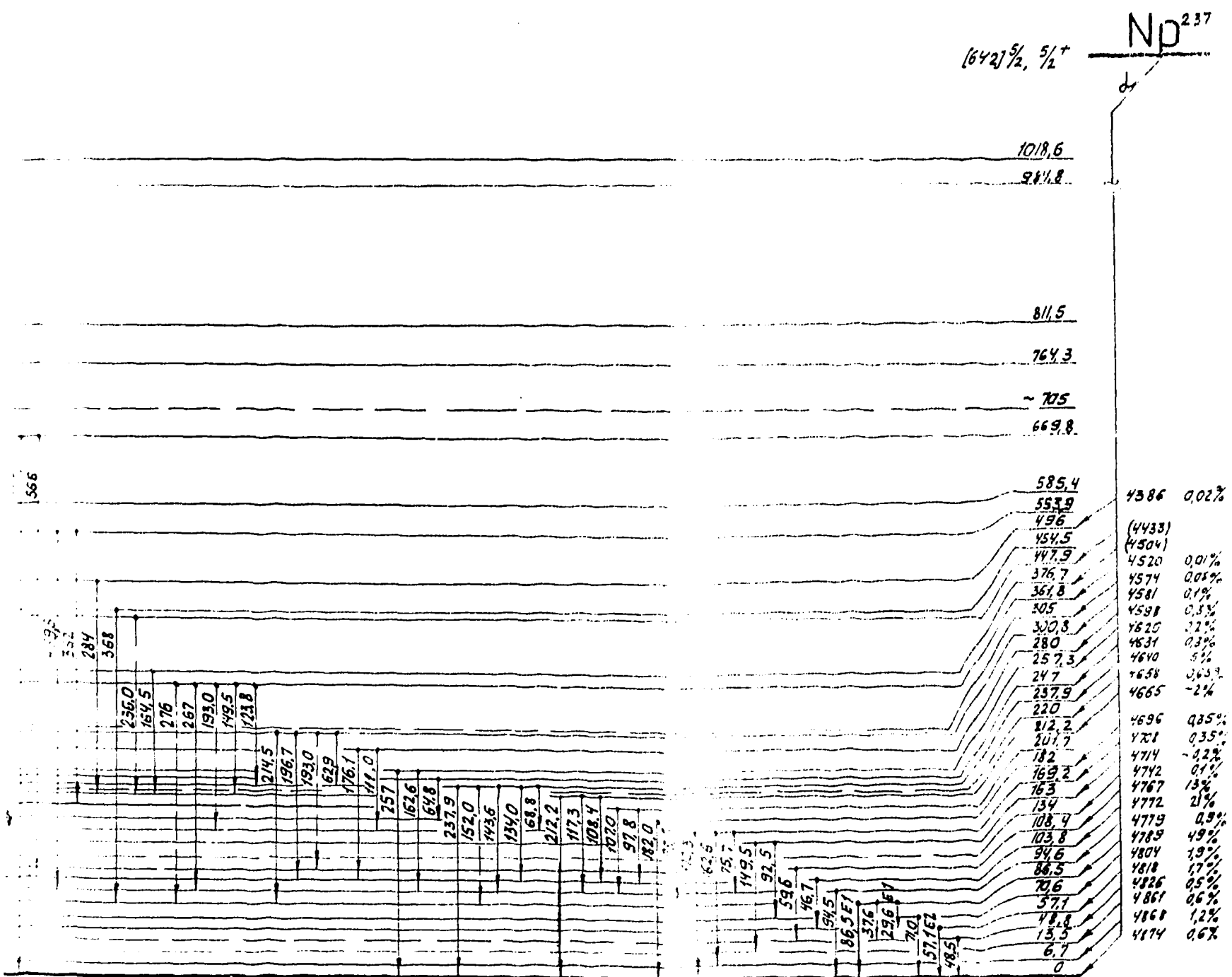


## **SECTION 1**

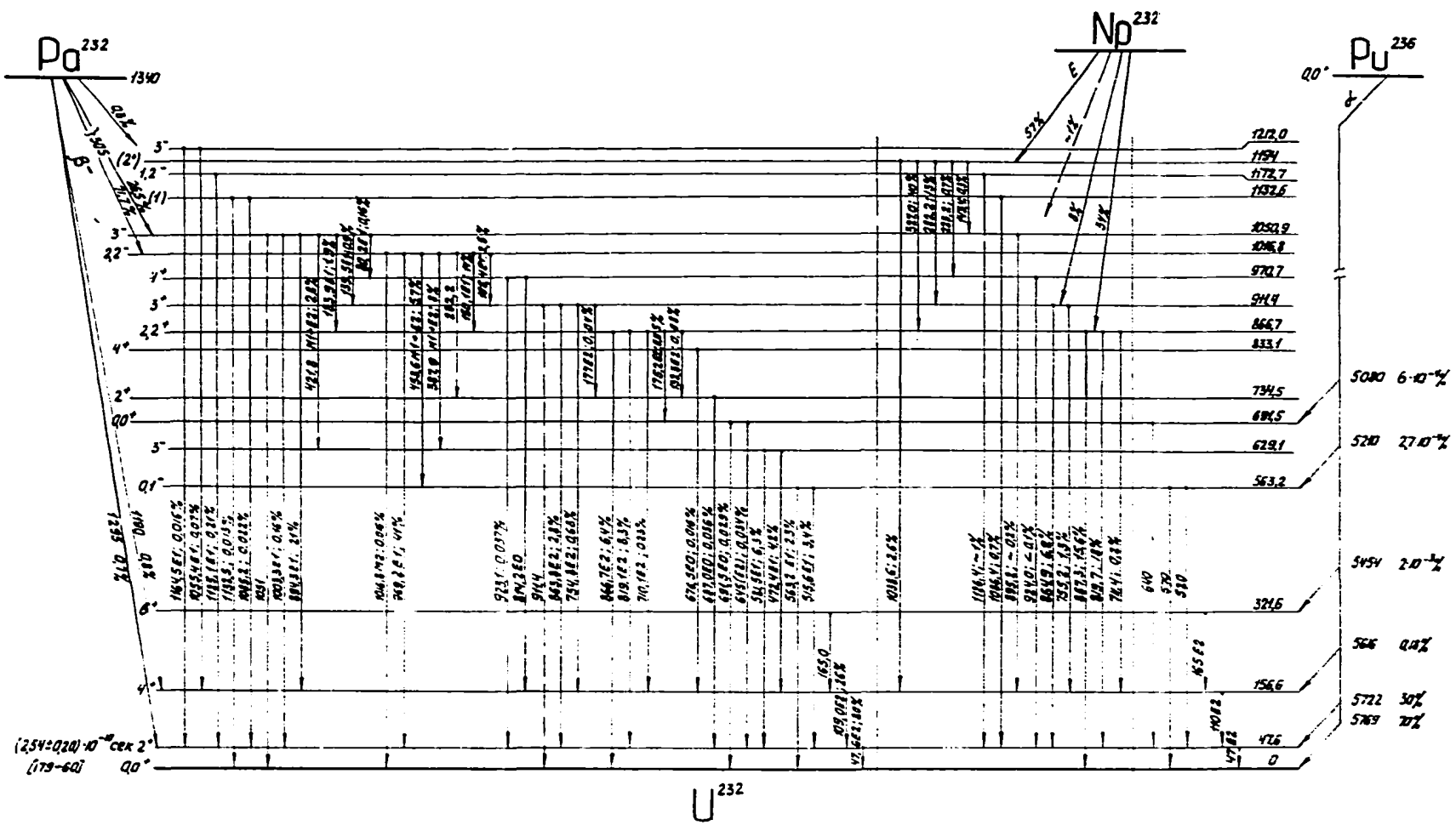


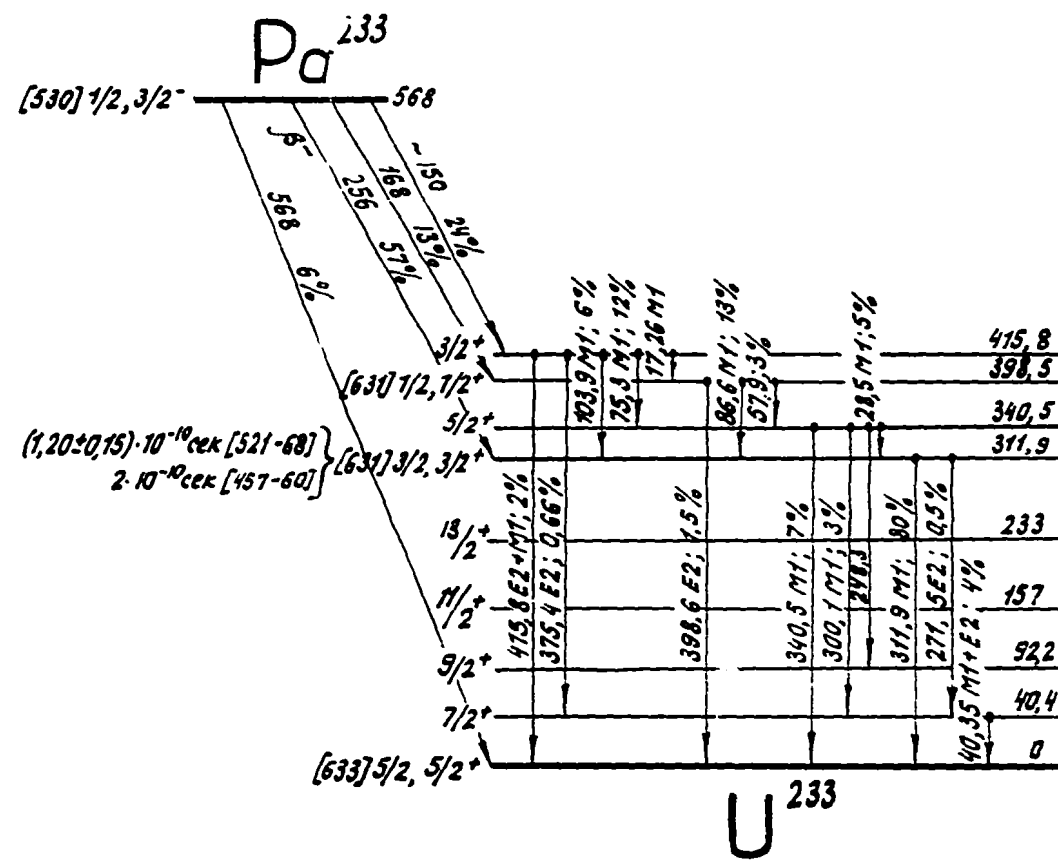
D 2<sup>33</sup>

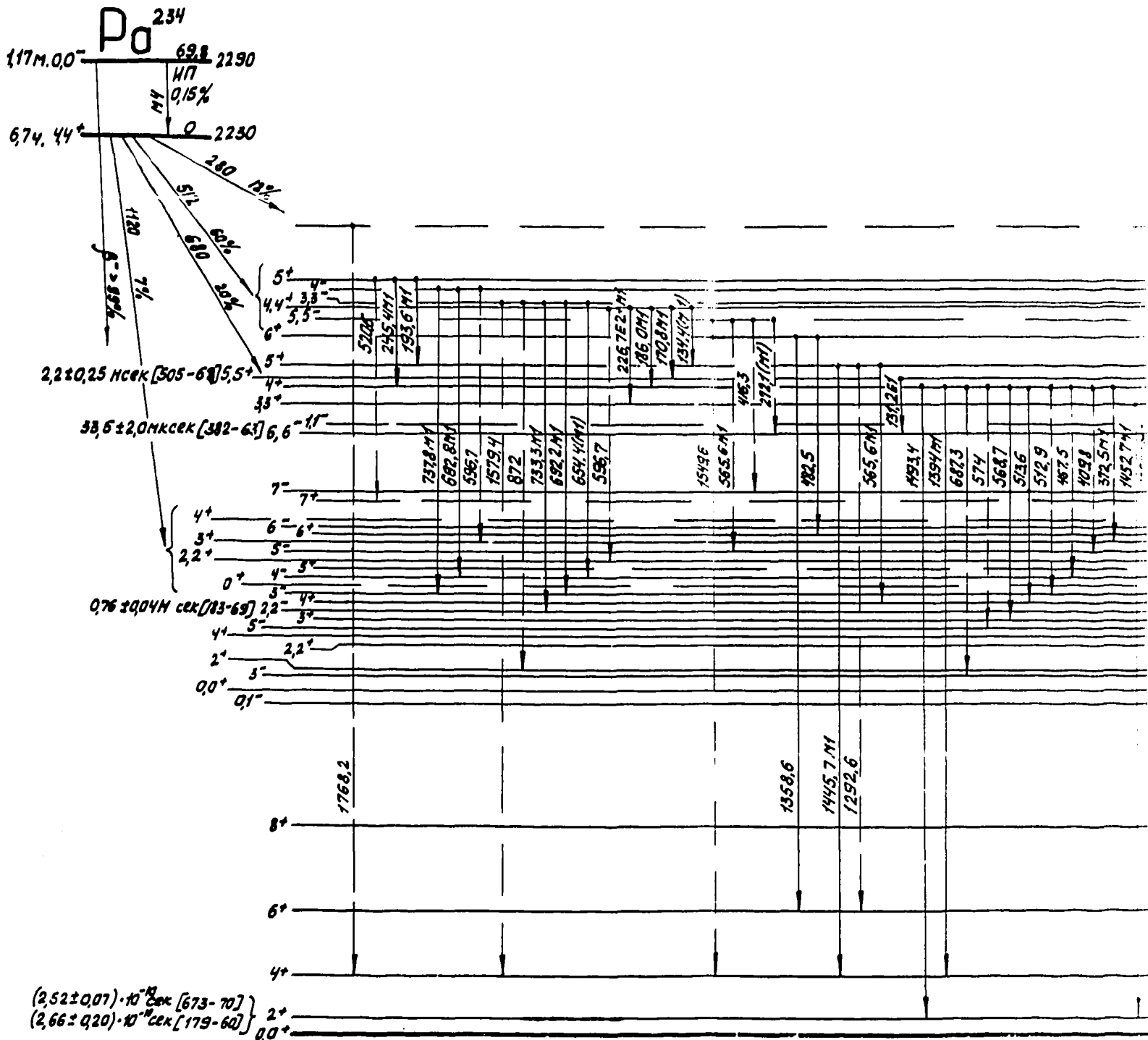
## SECTION 2



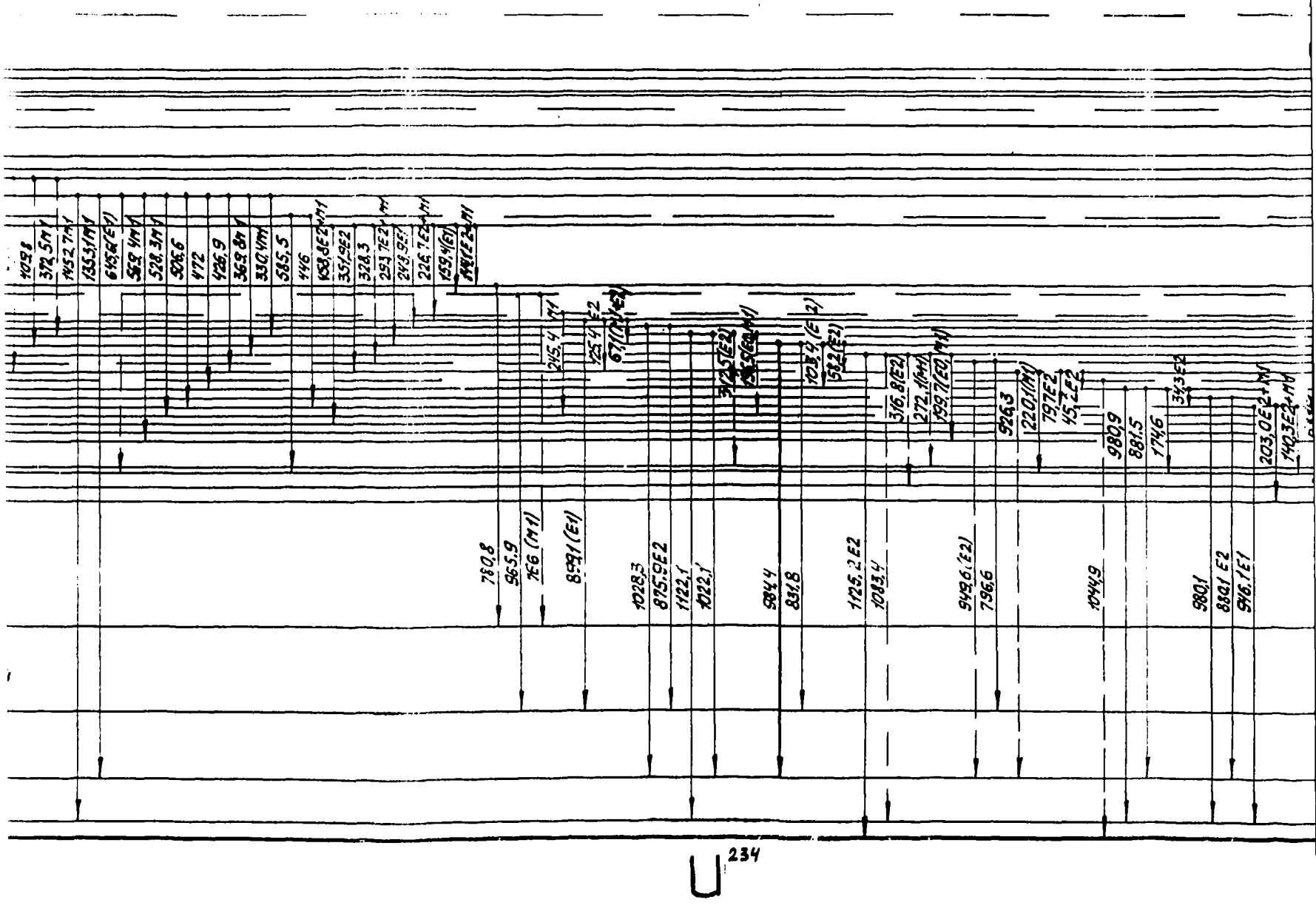
### SECTION 3



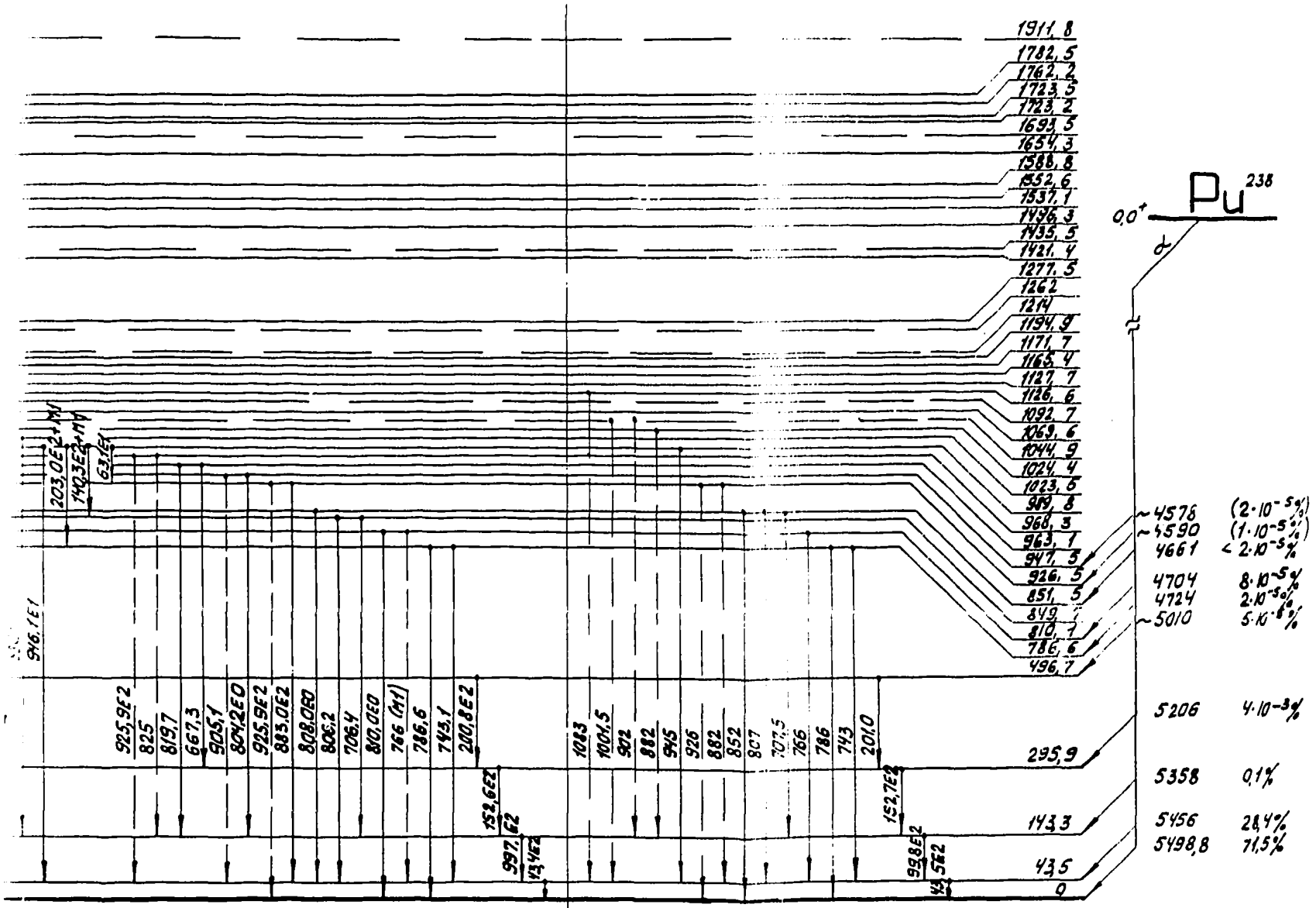




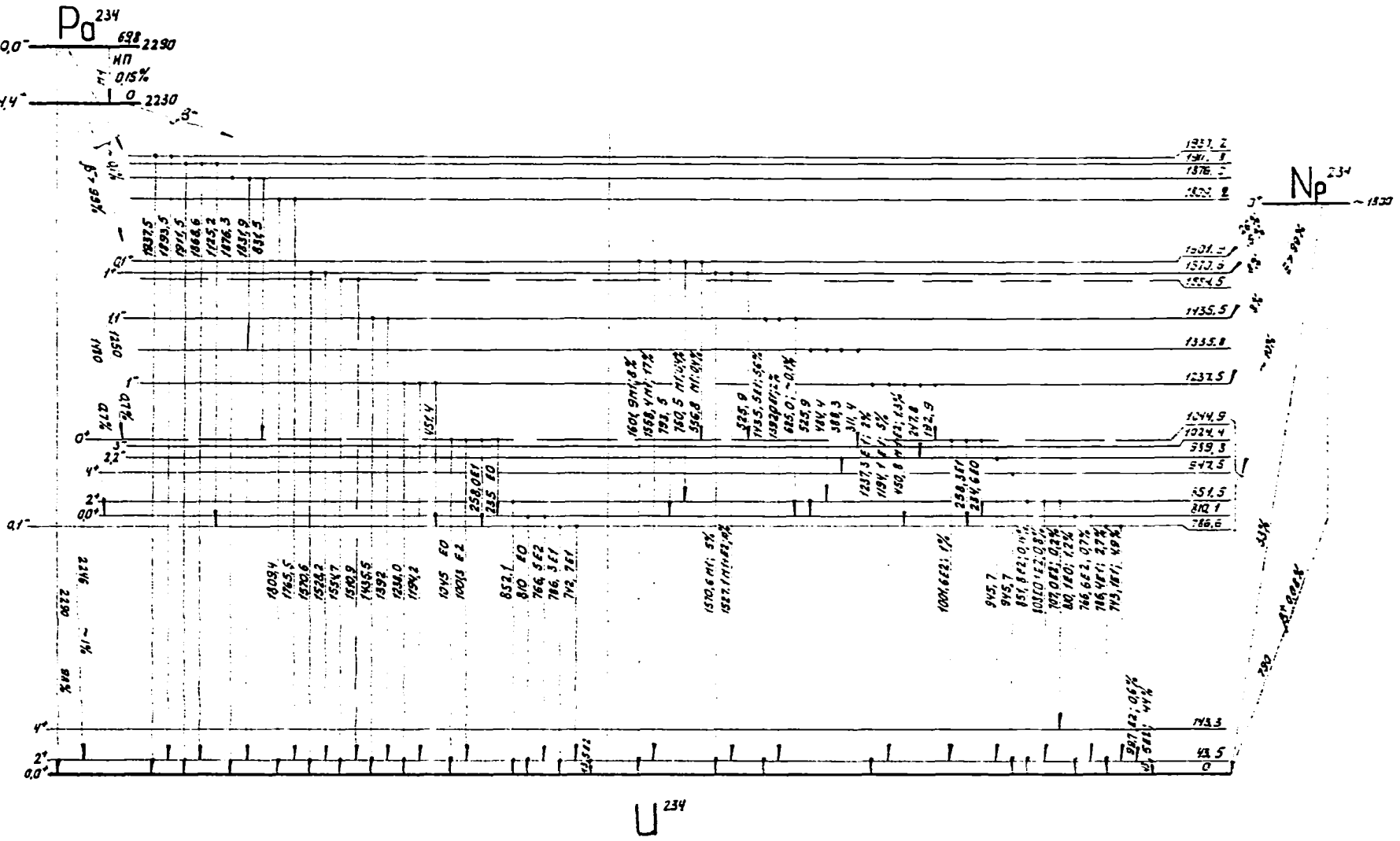
SECTION 1

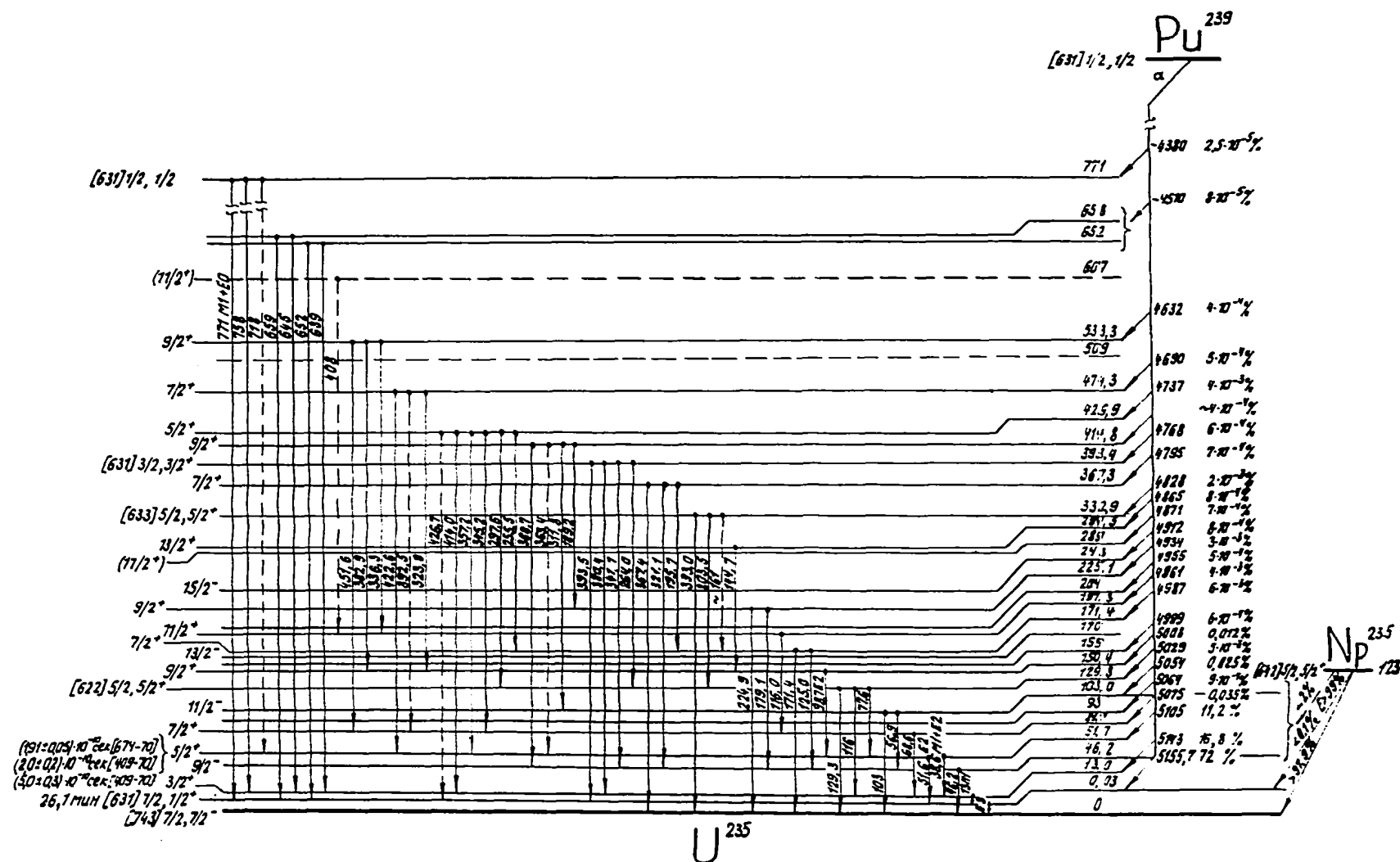


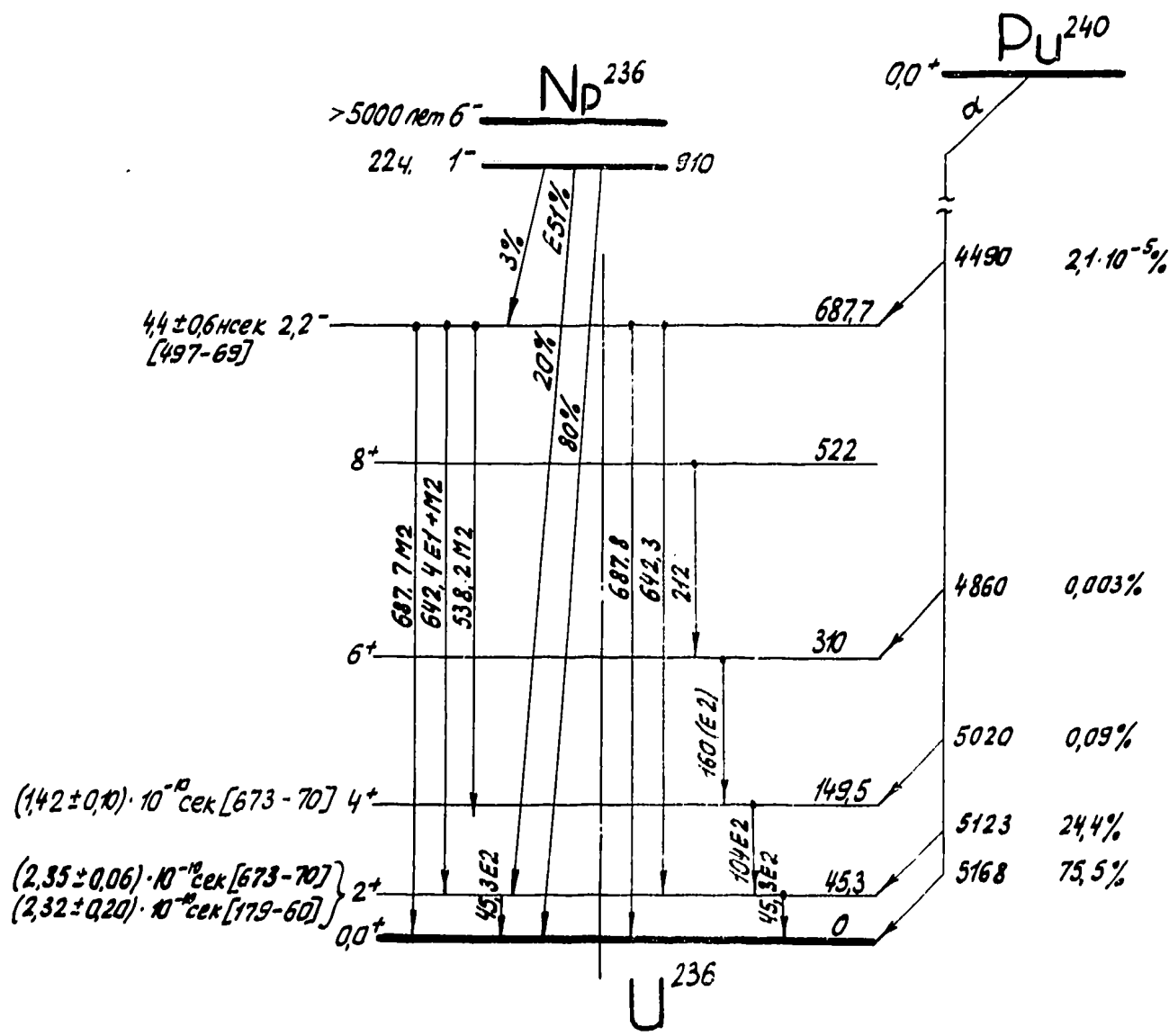
## SECTION 2

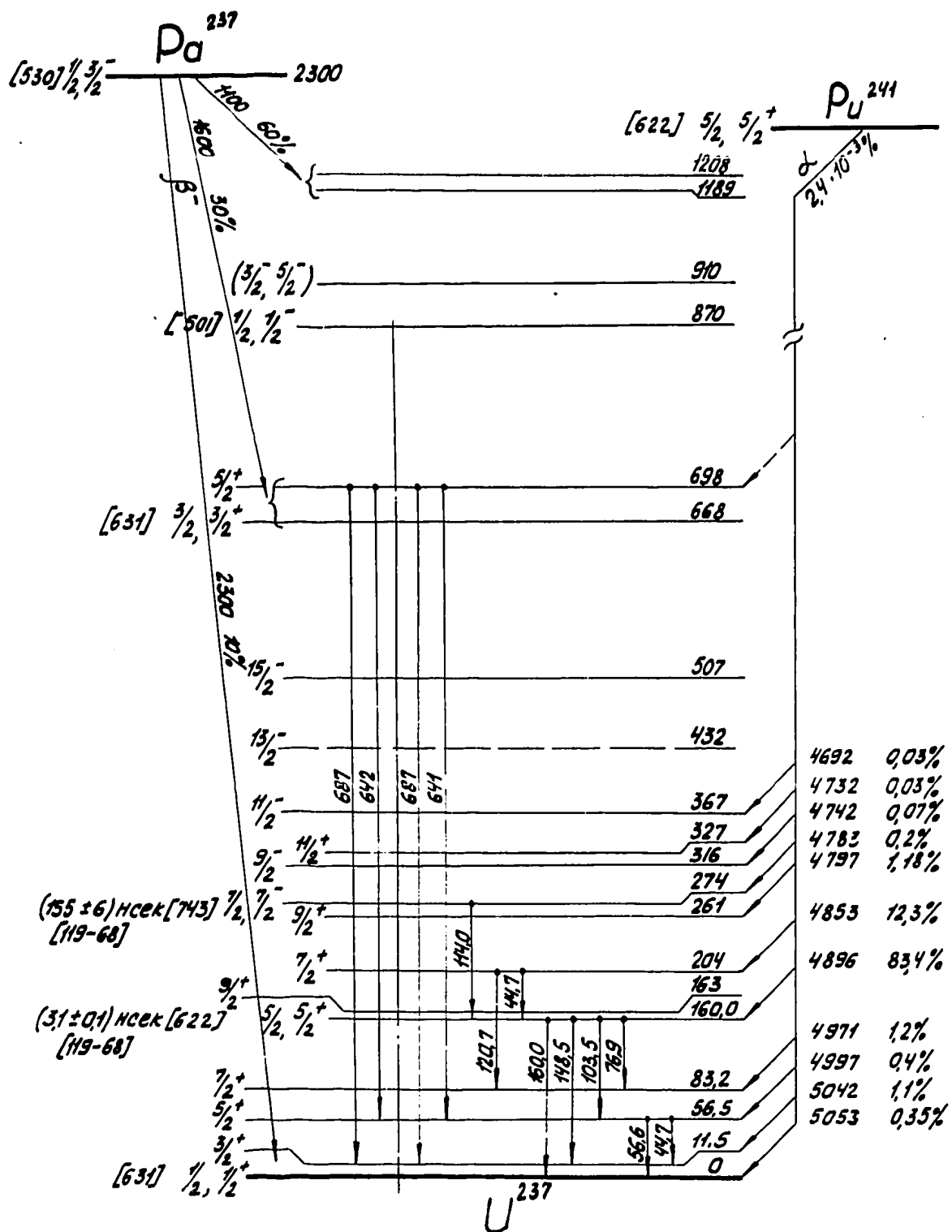


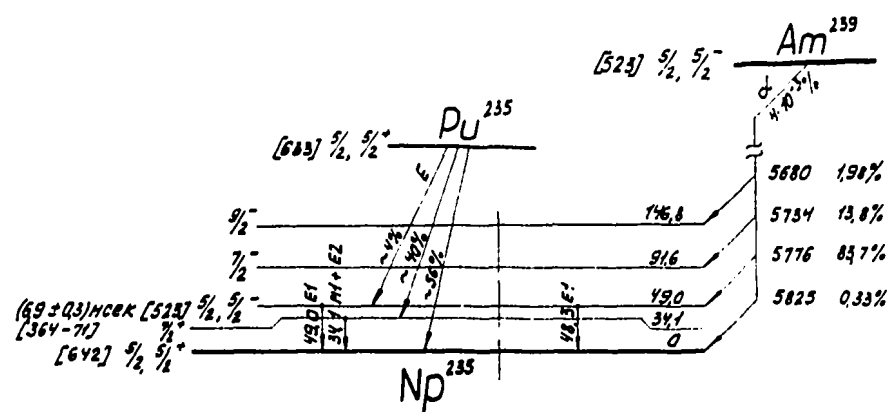
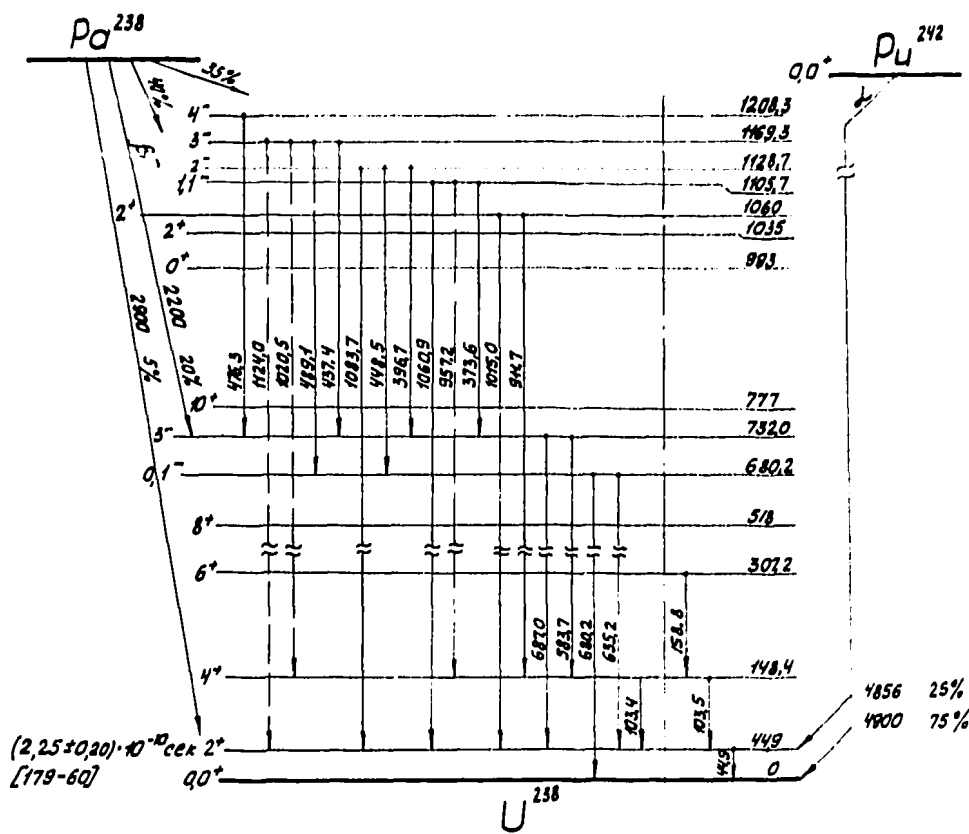
### SECTION 3

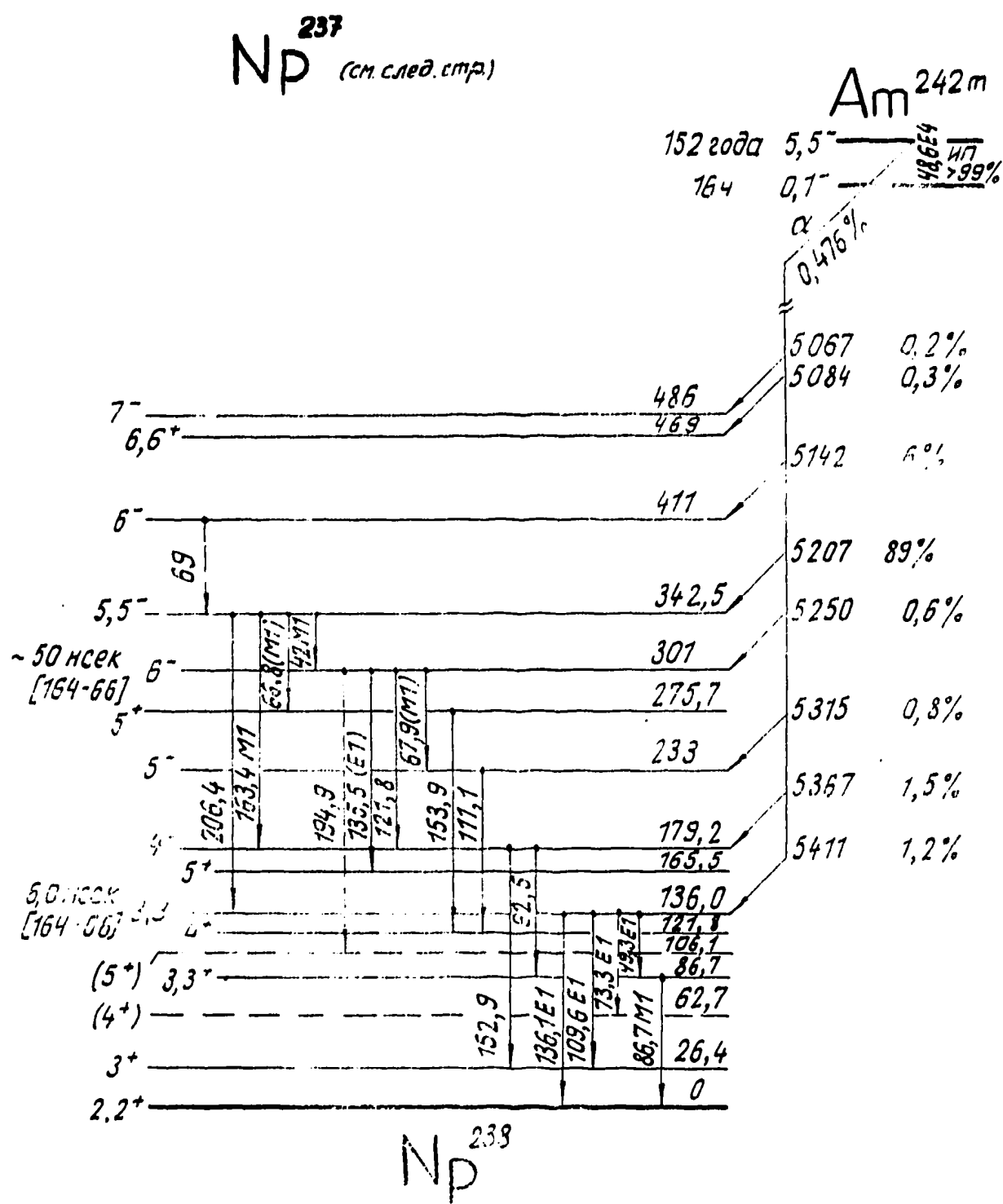


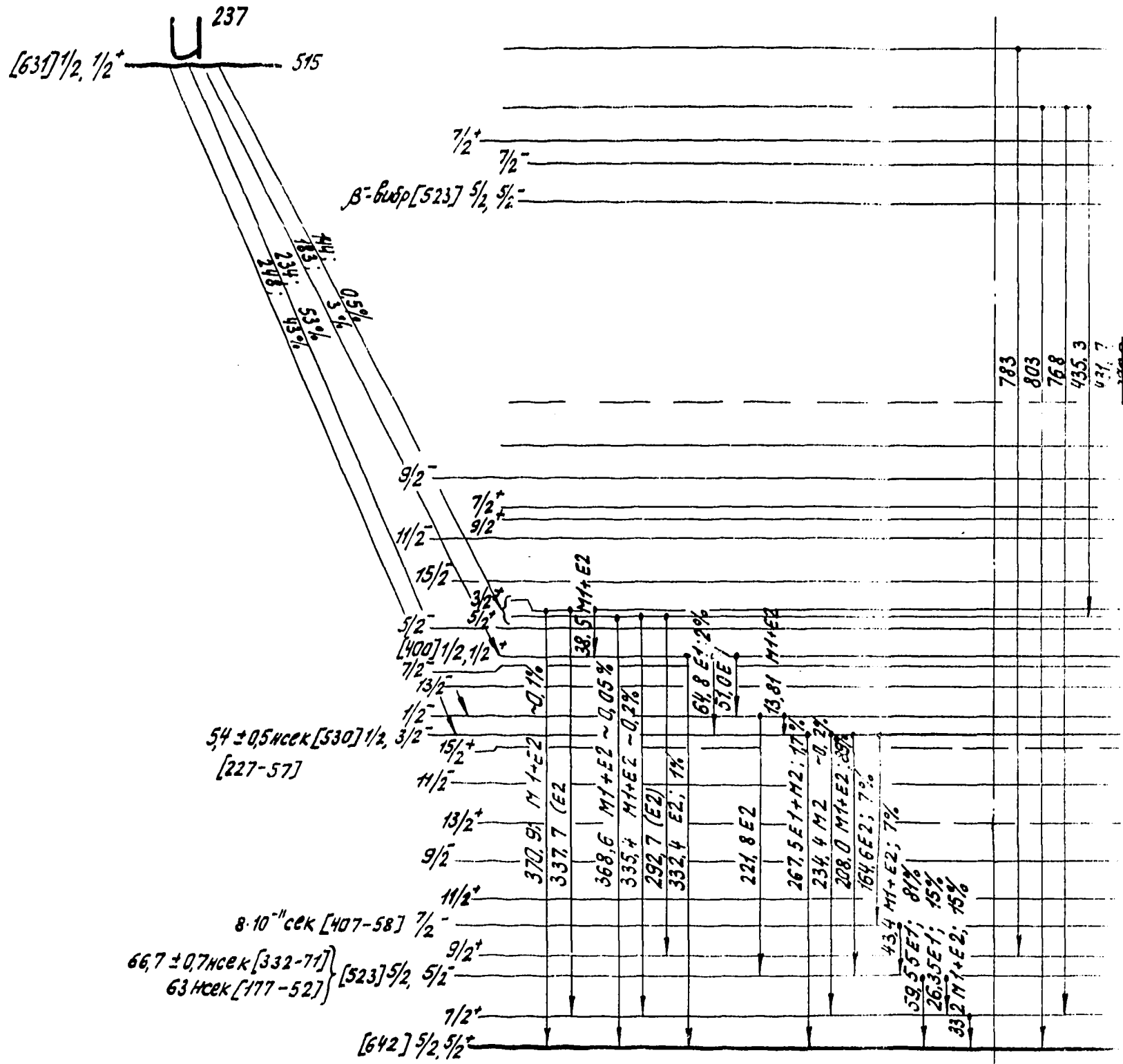




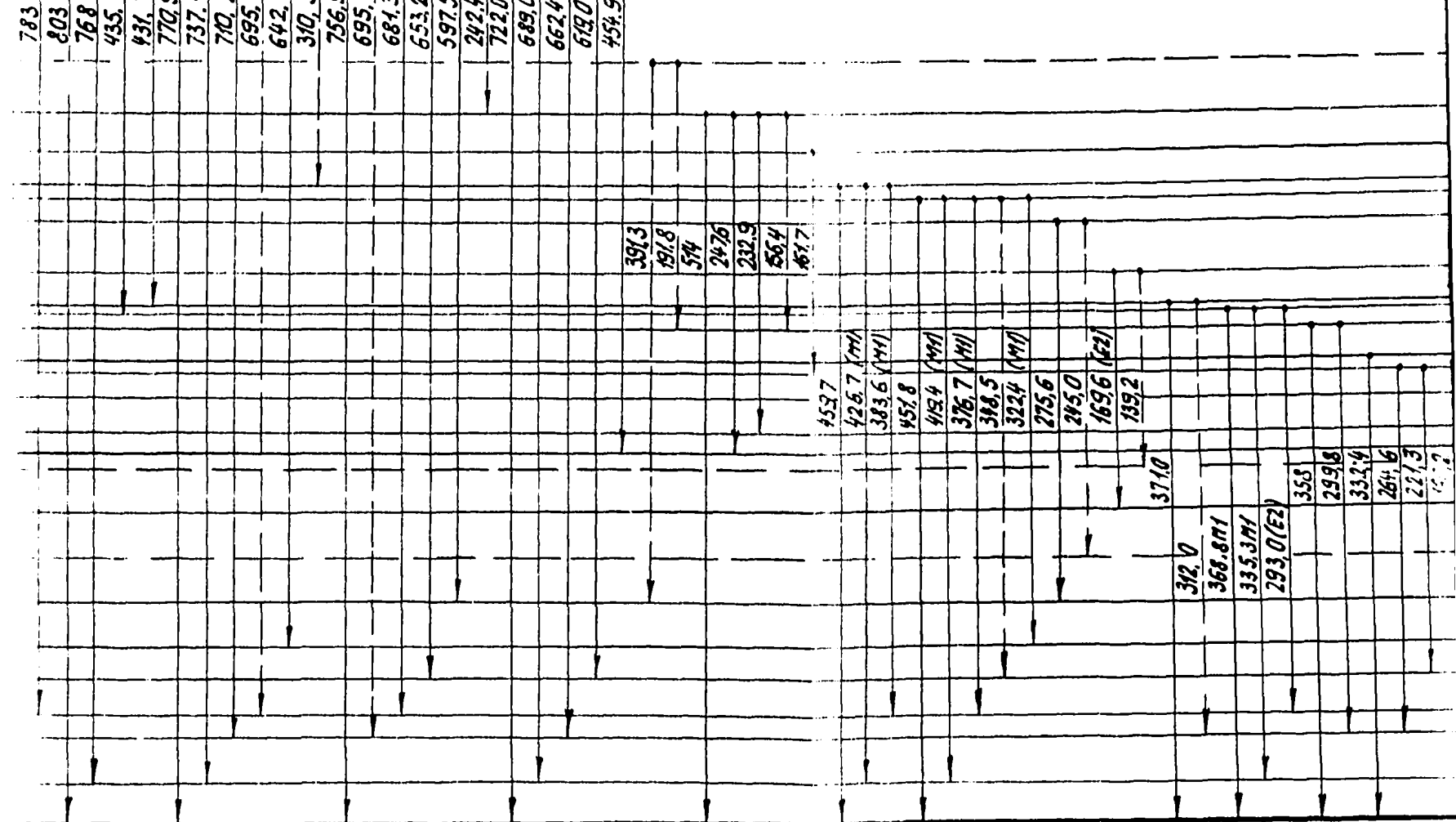






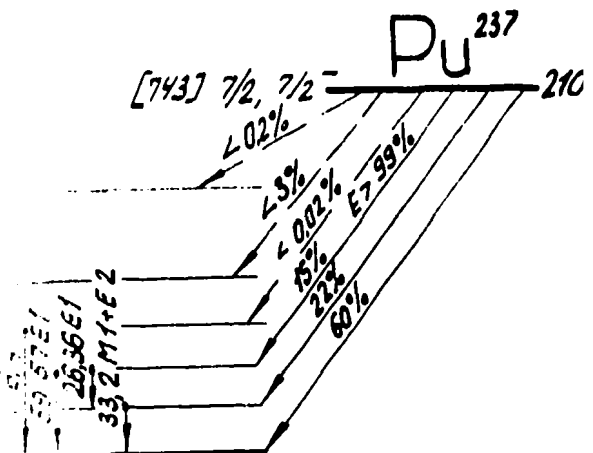
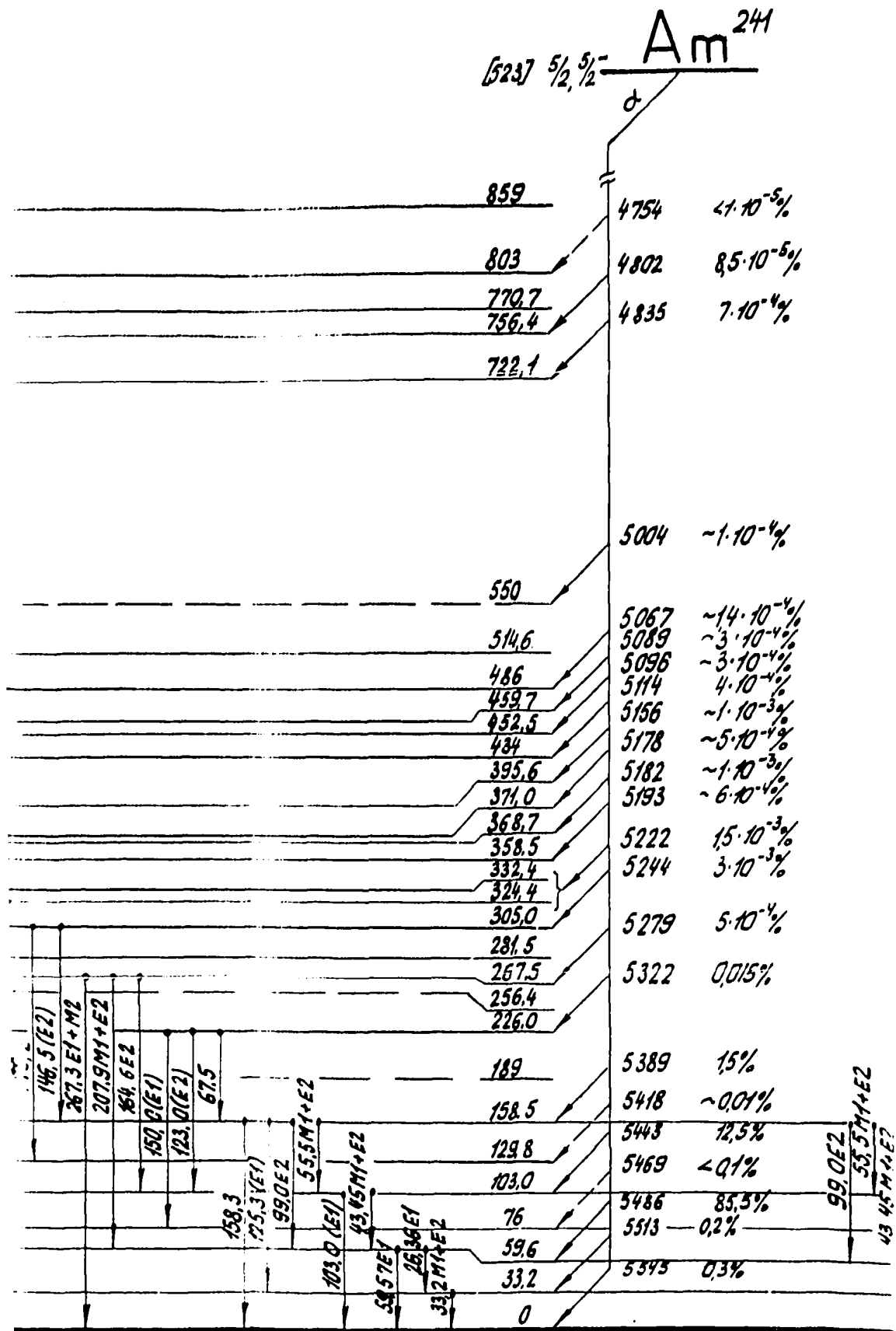


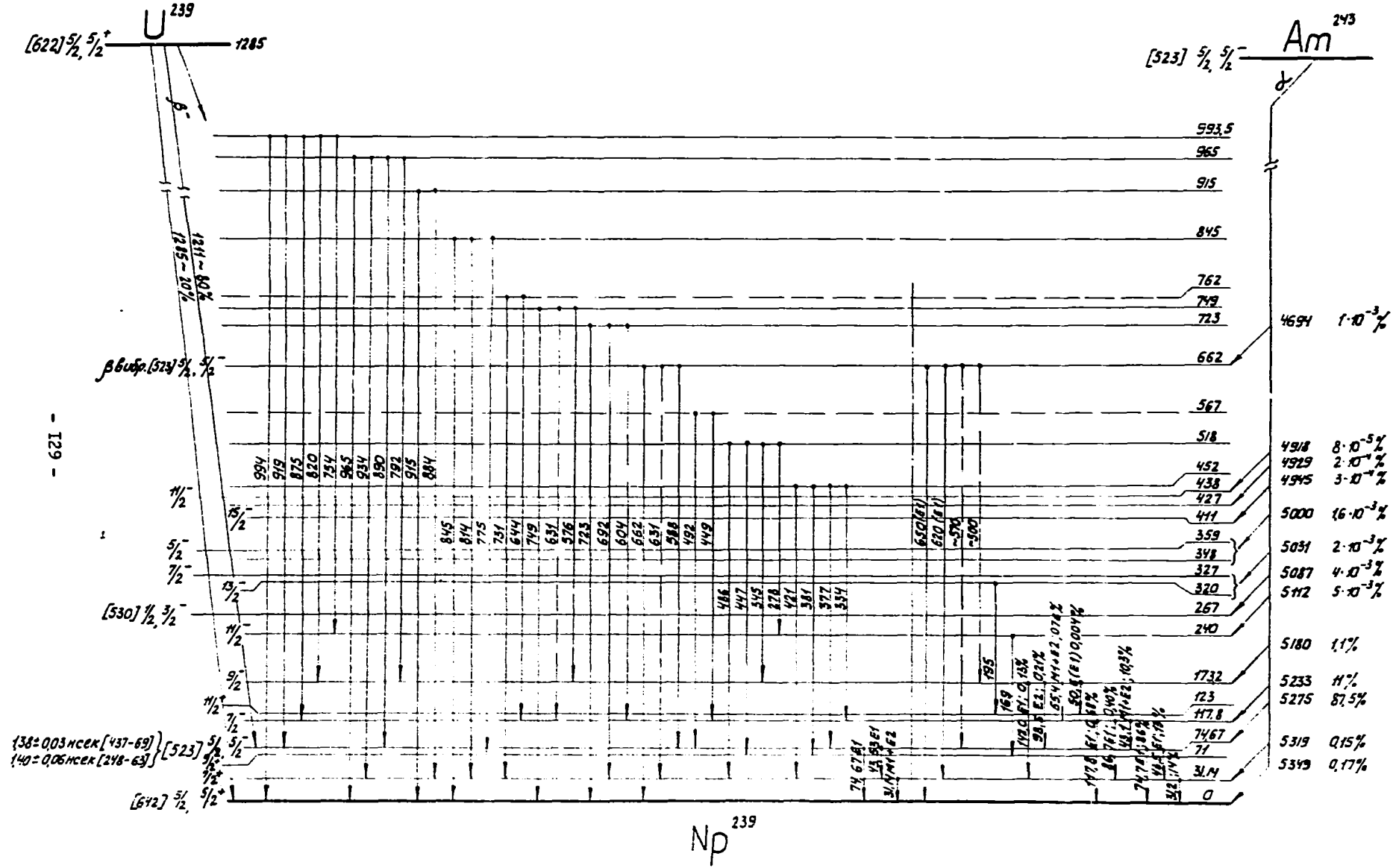
## SECTION 1

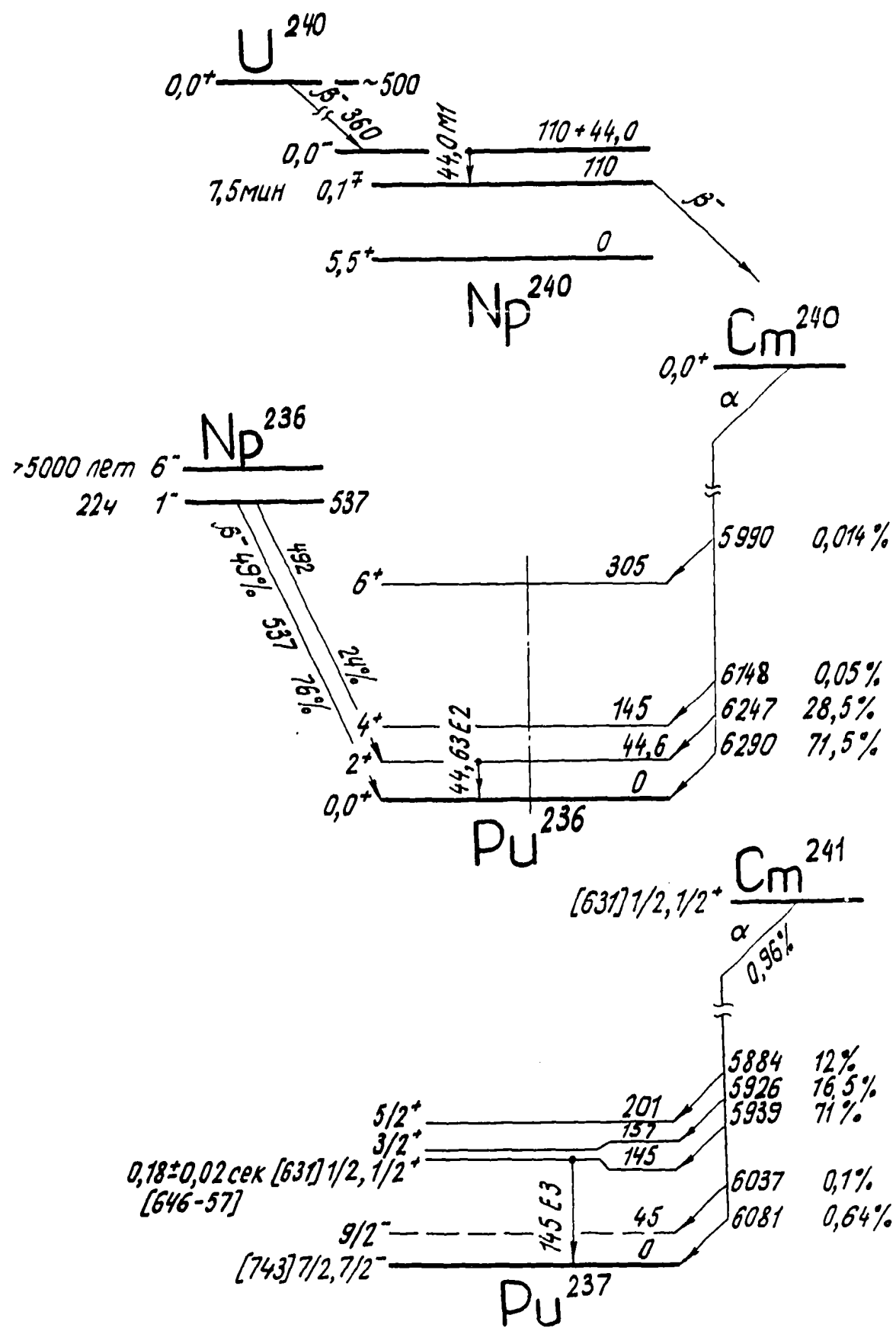


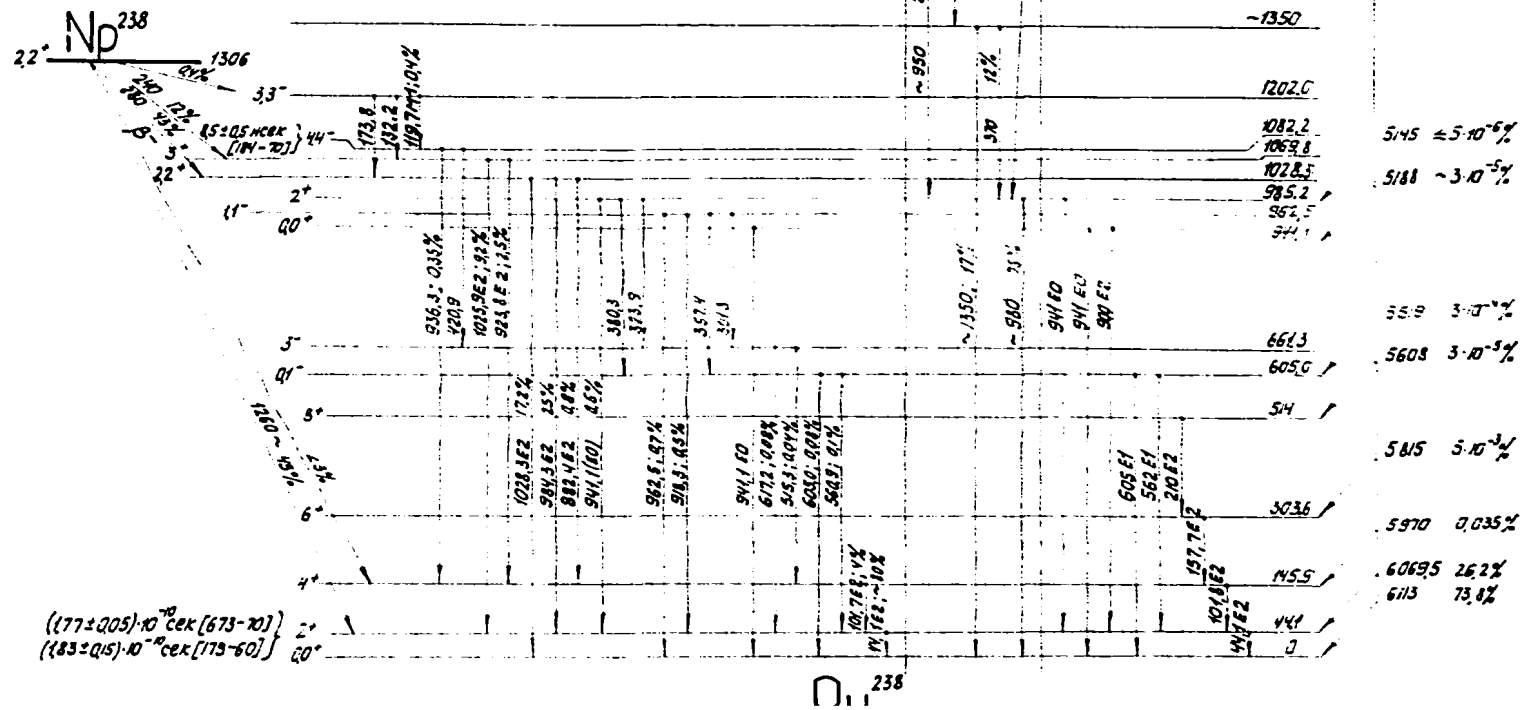
$Np^{237}$

SECTION 2

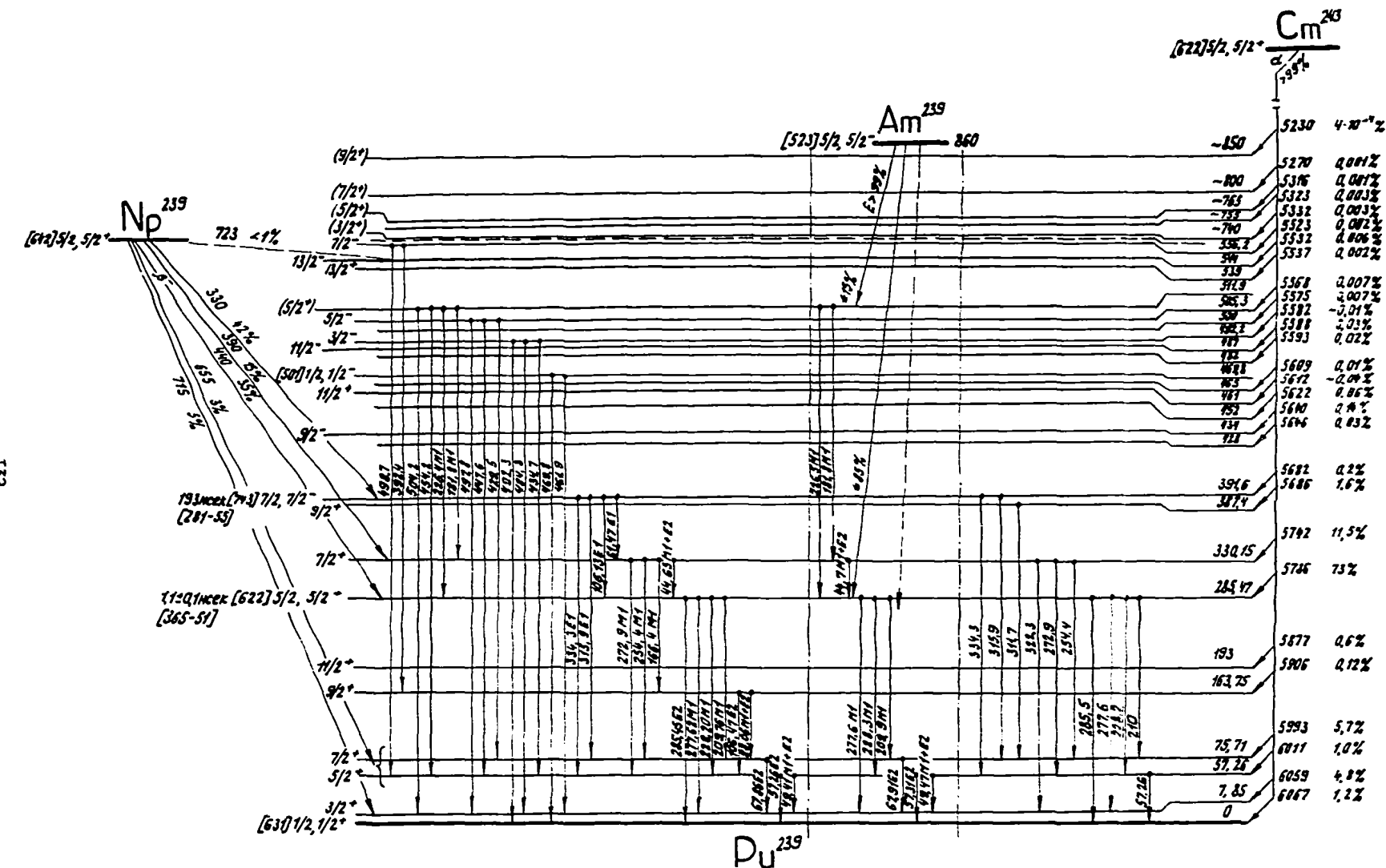


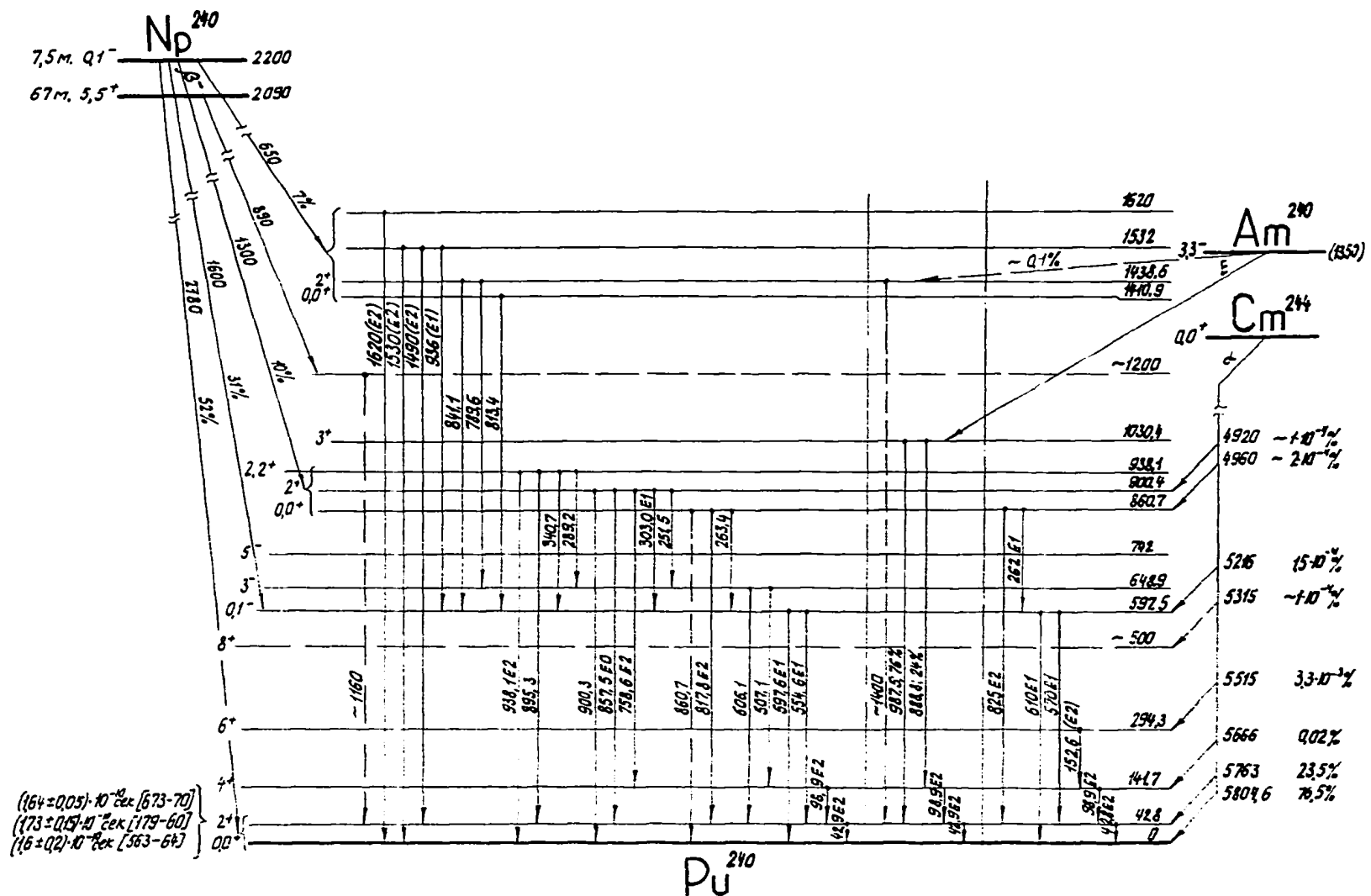


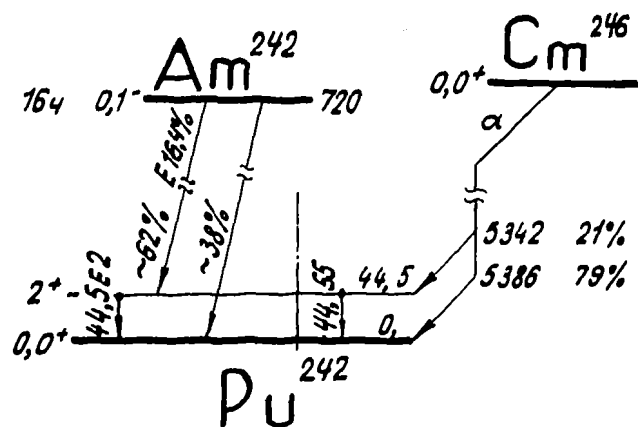
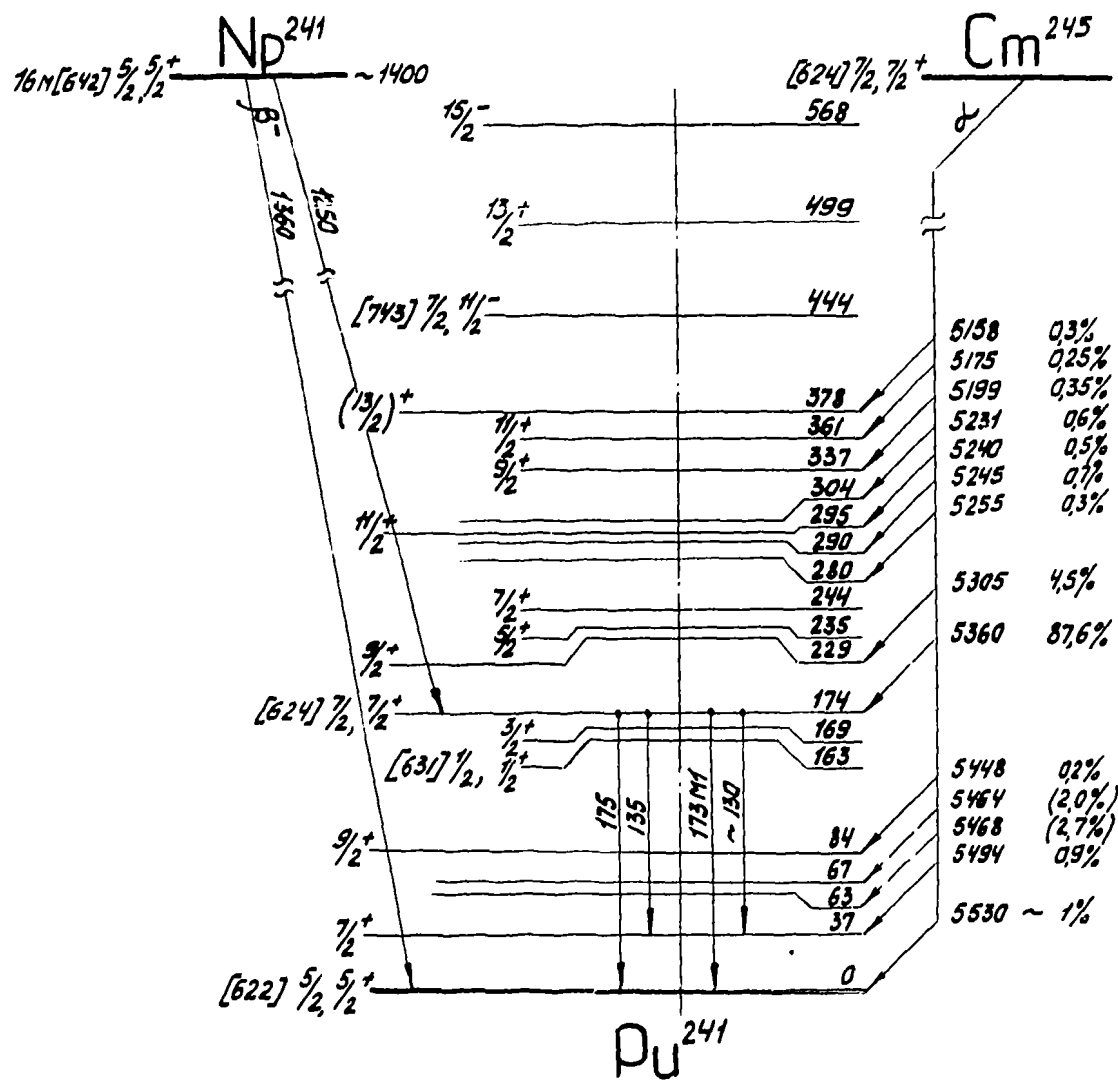


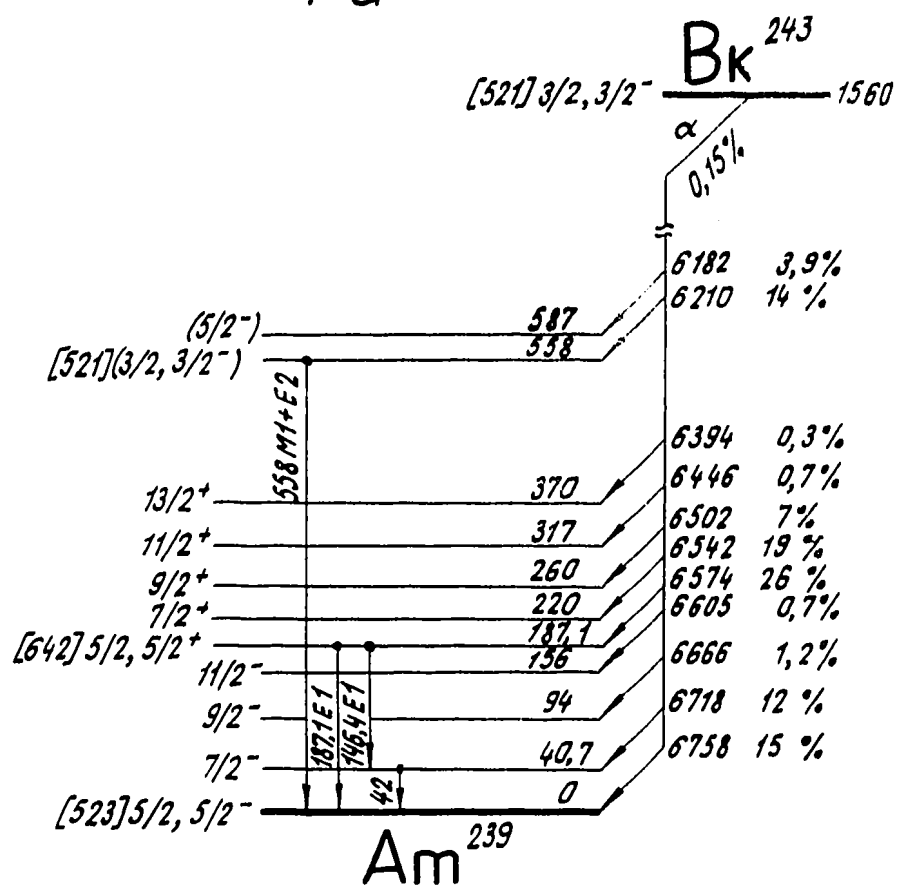
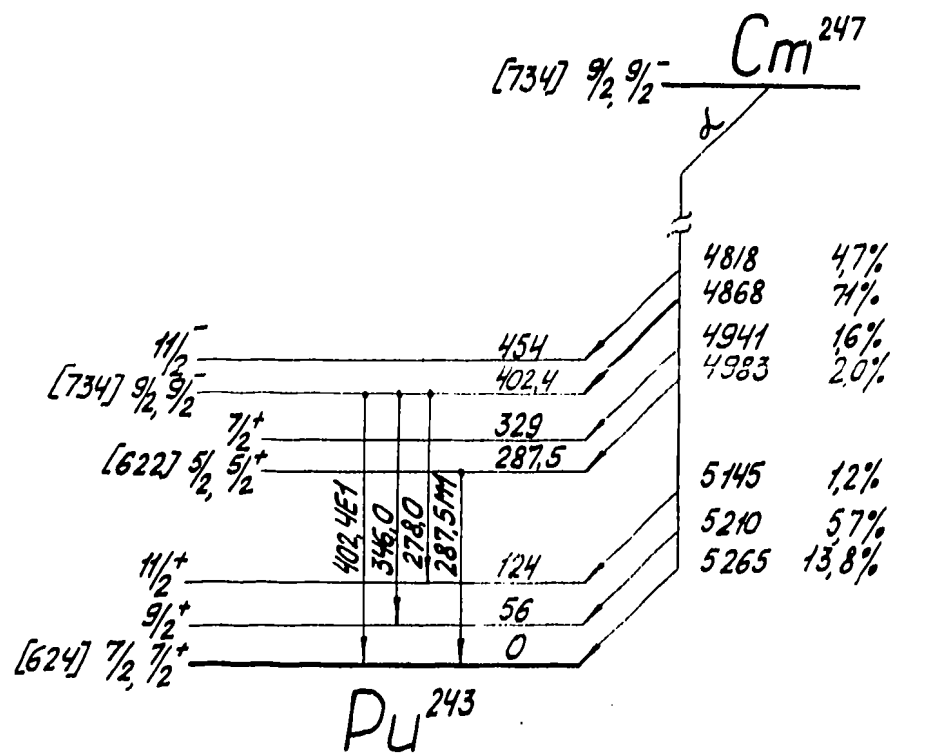


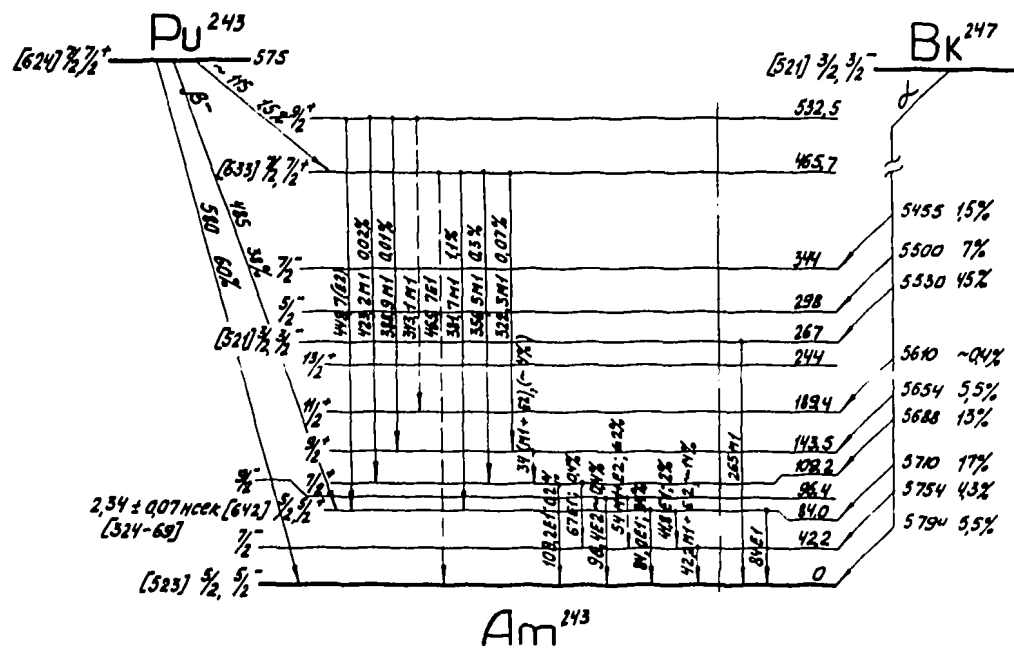
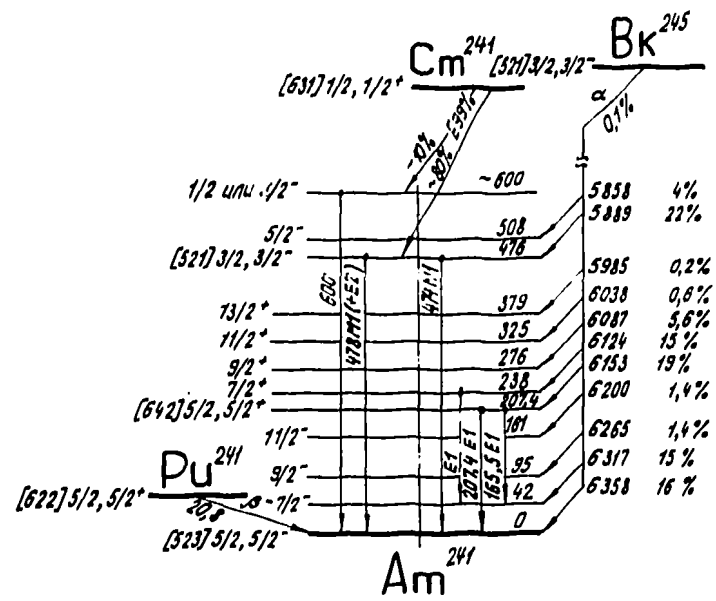
- 13 -

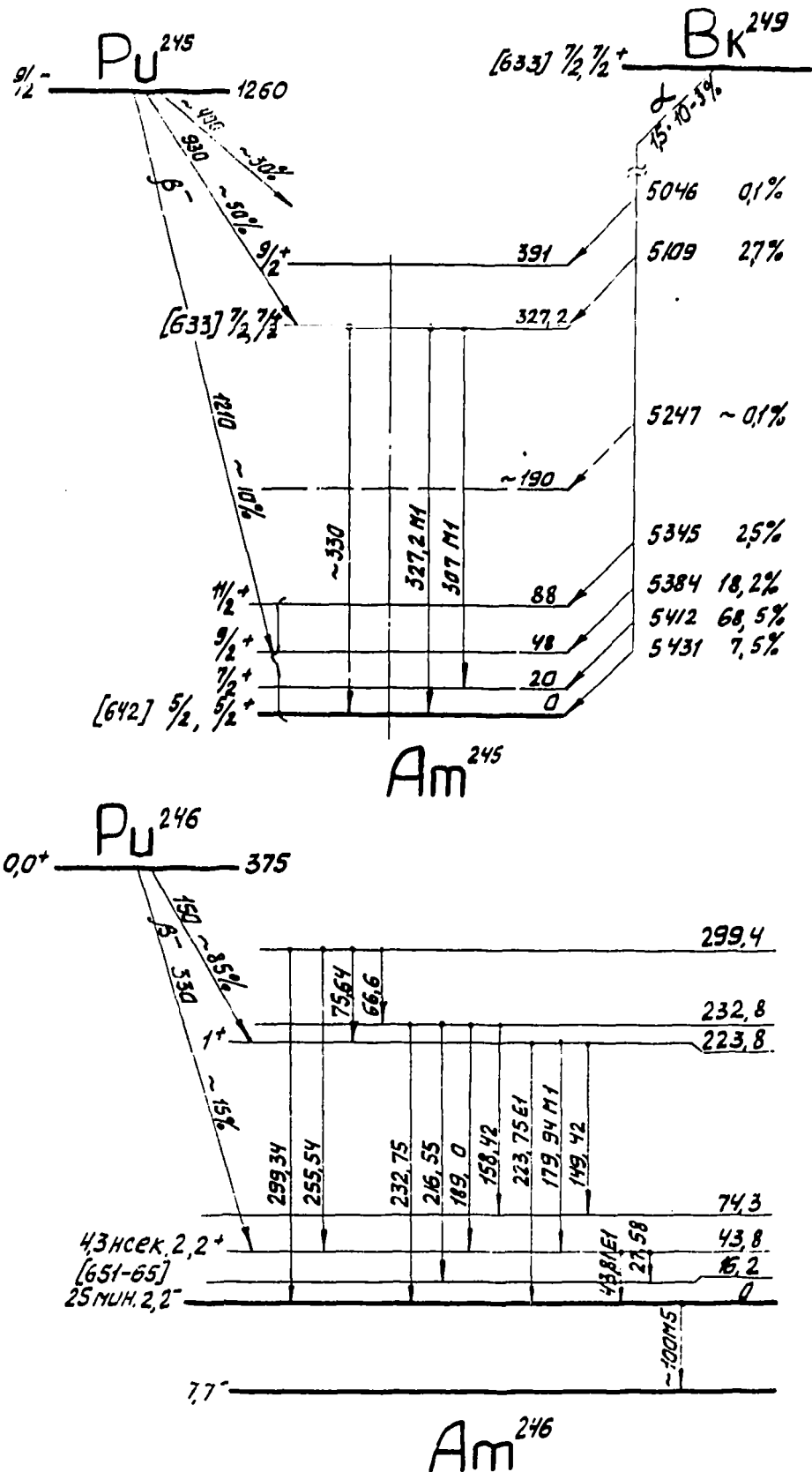


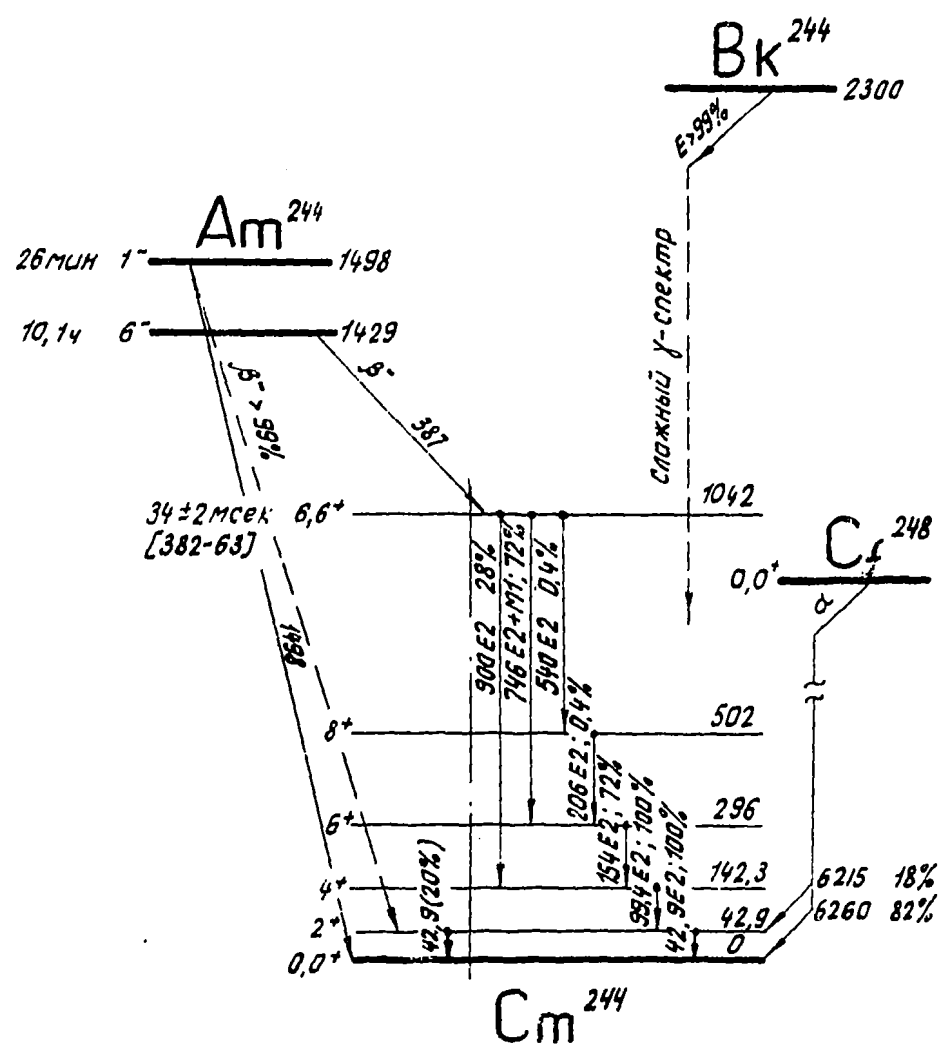
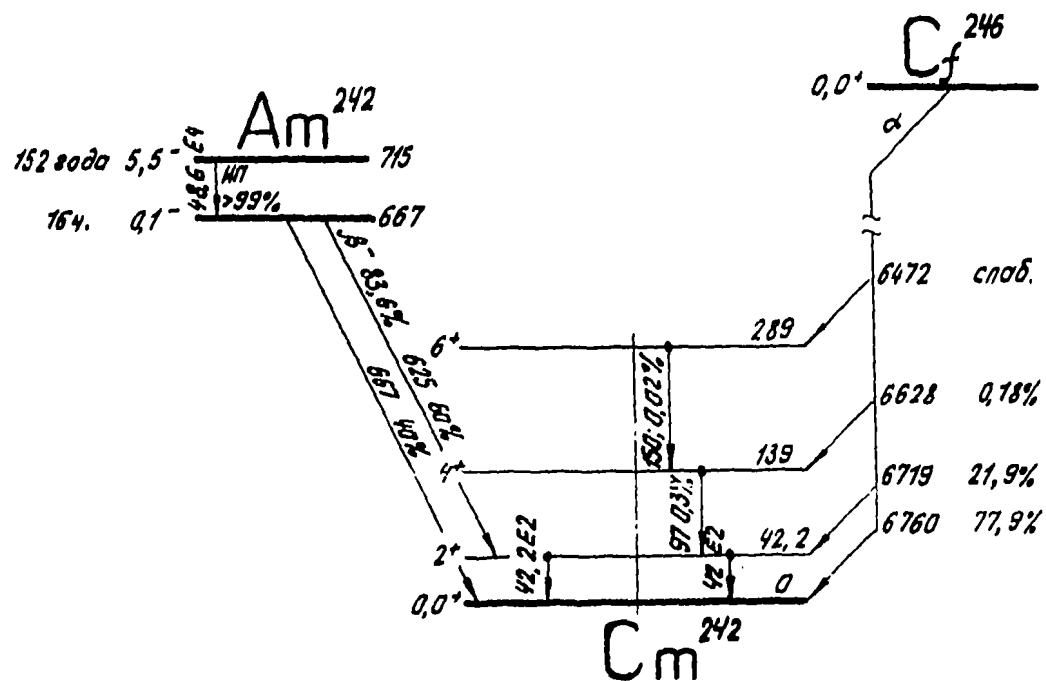


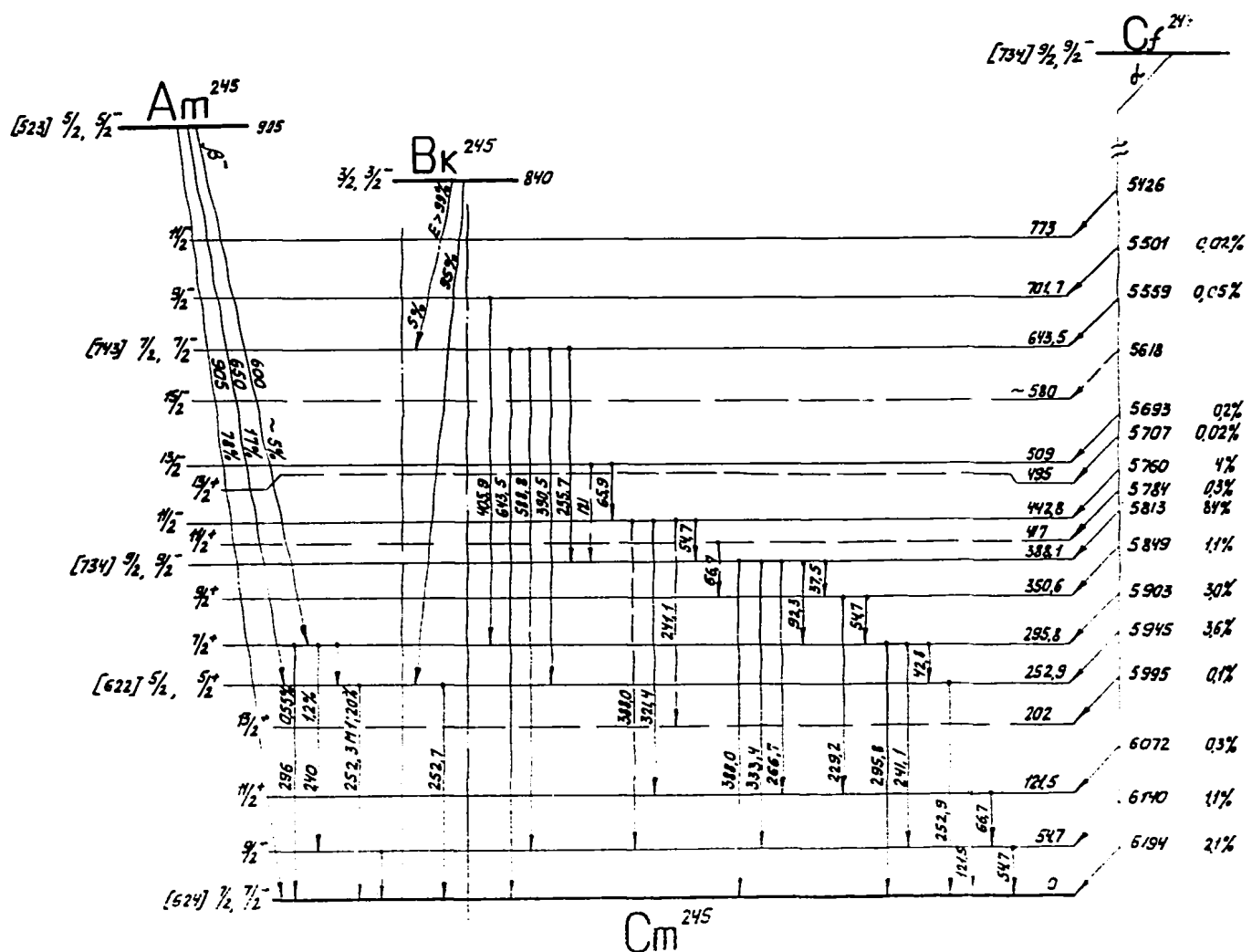


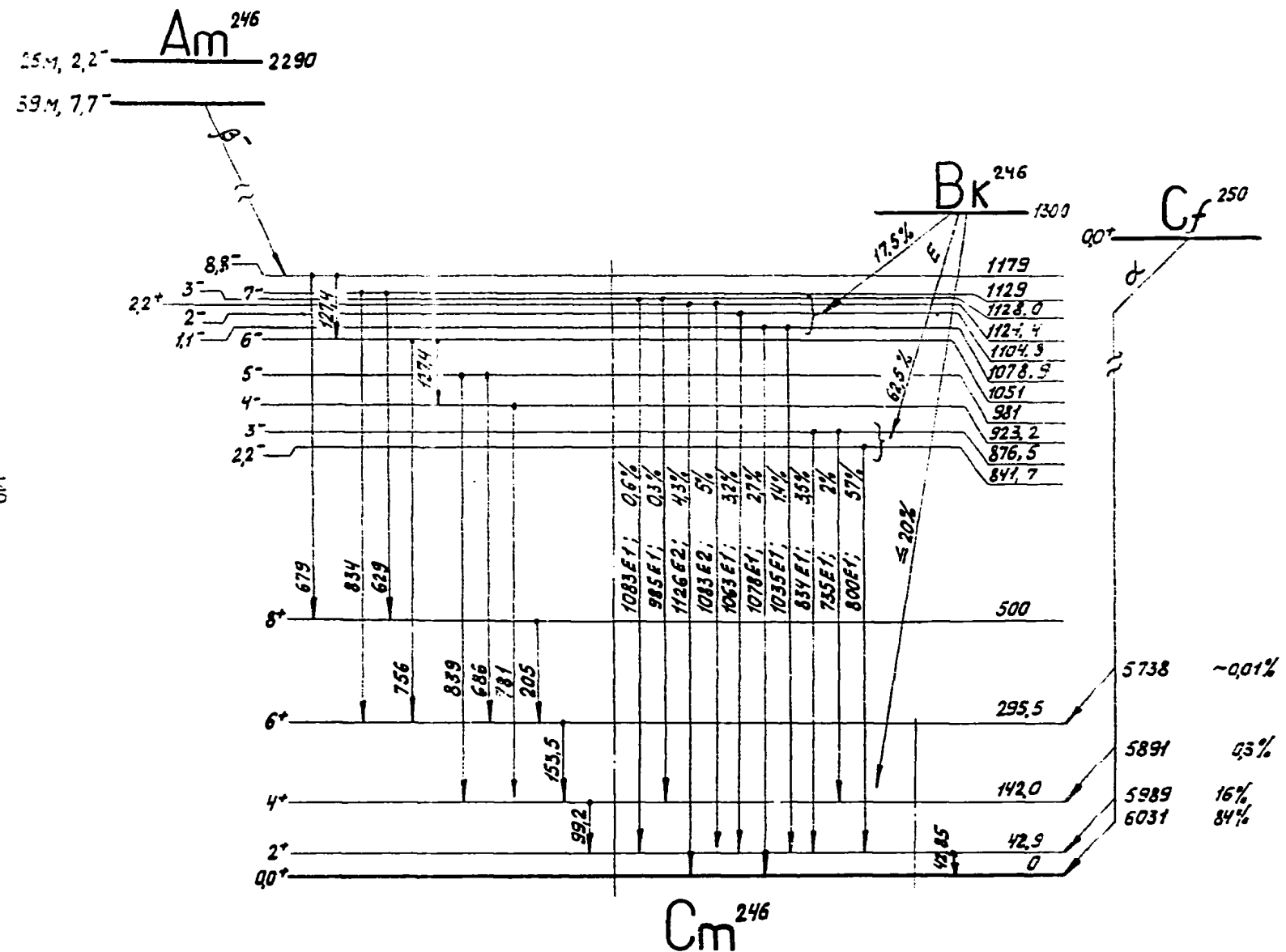


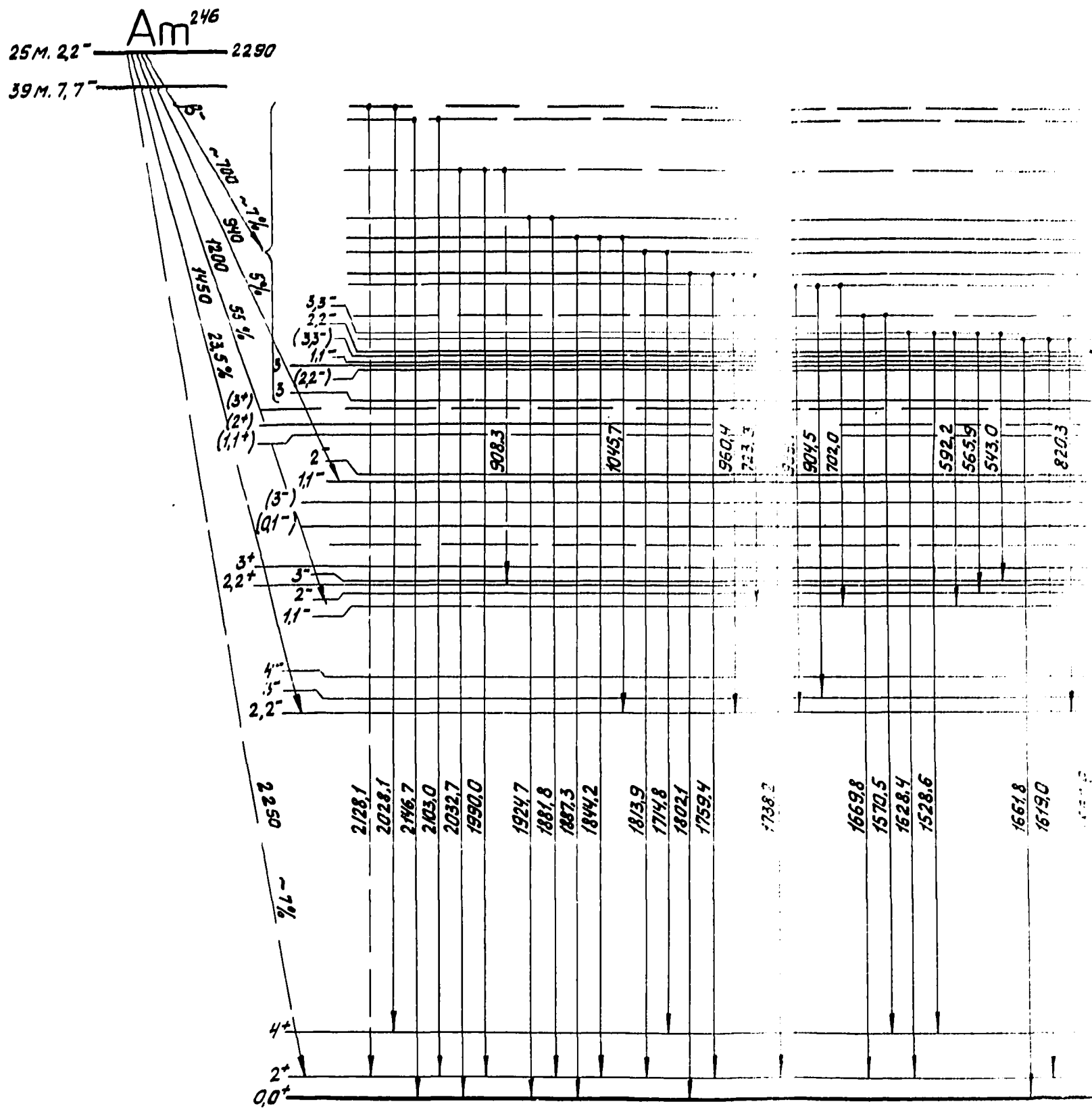




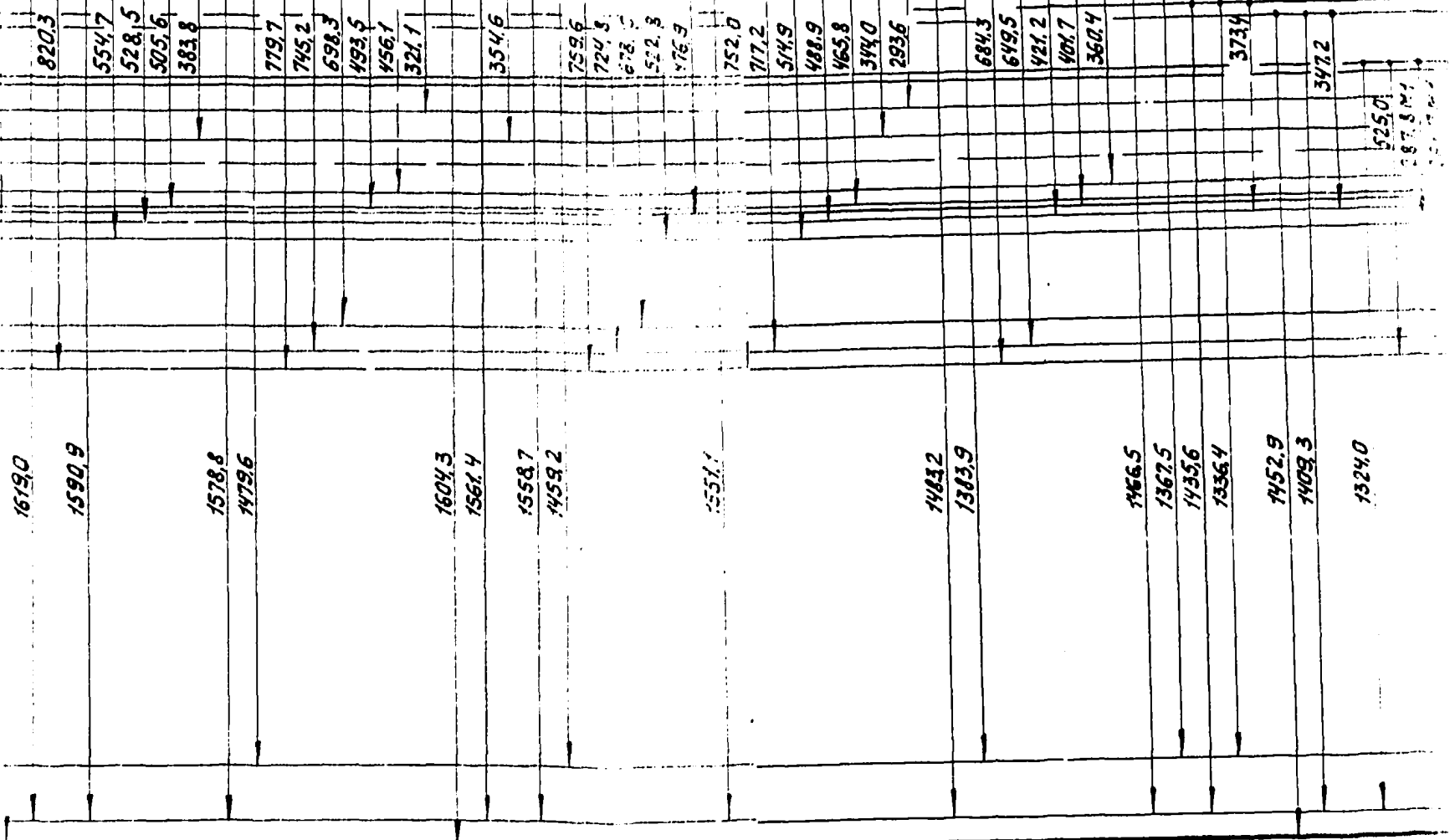






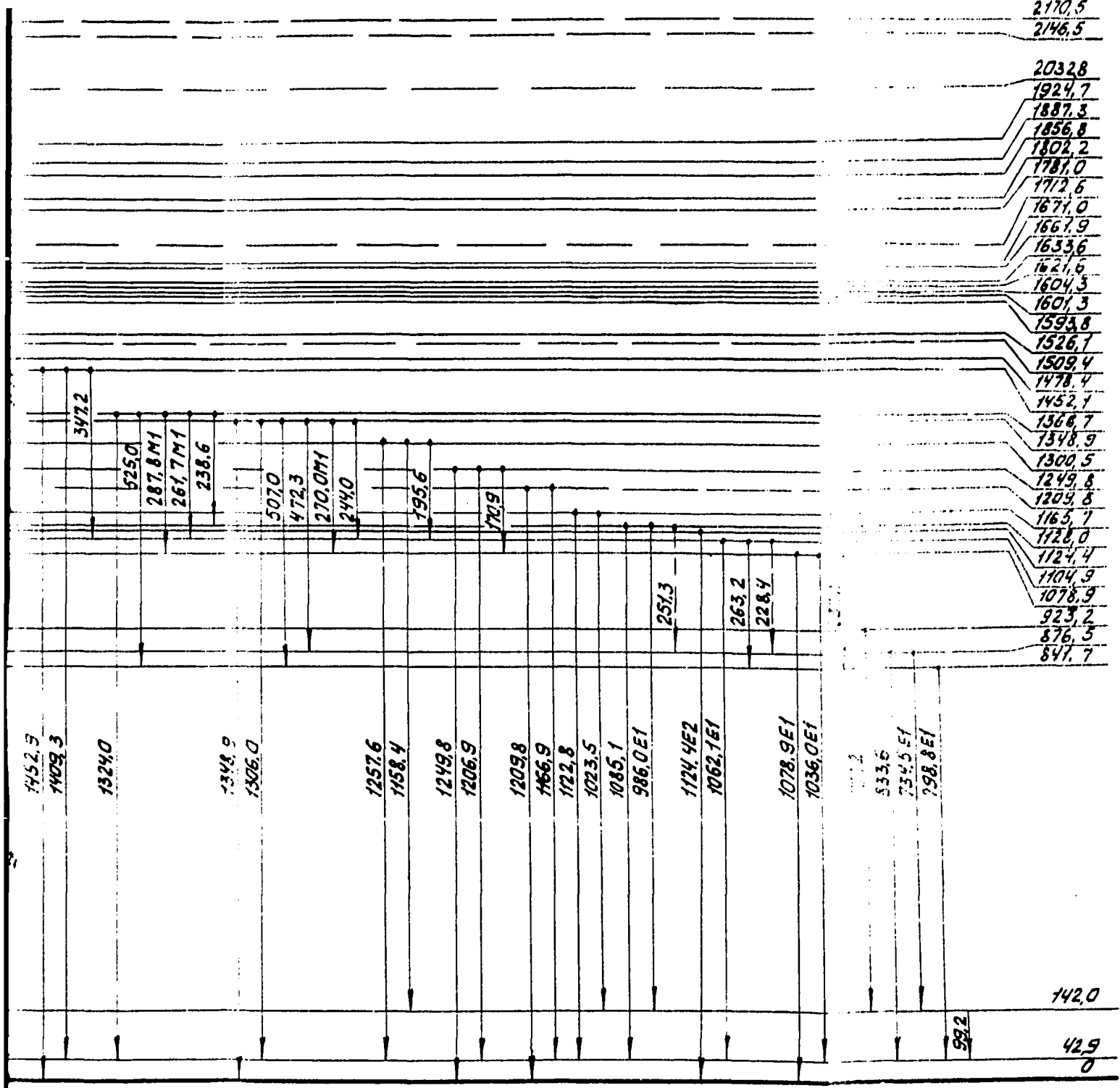


**SECTION 1**

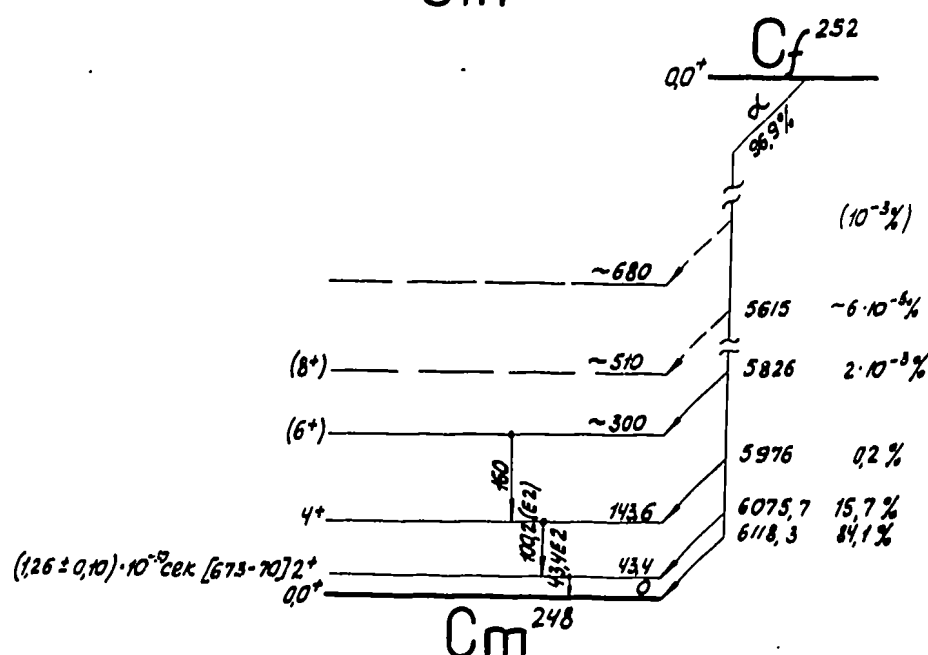
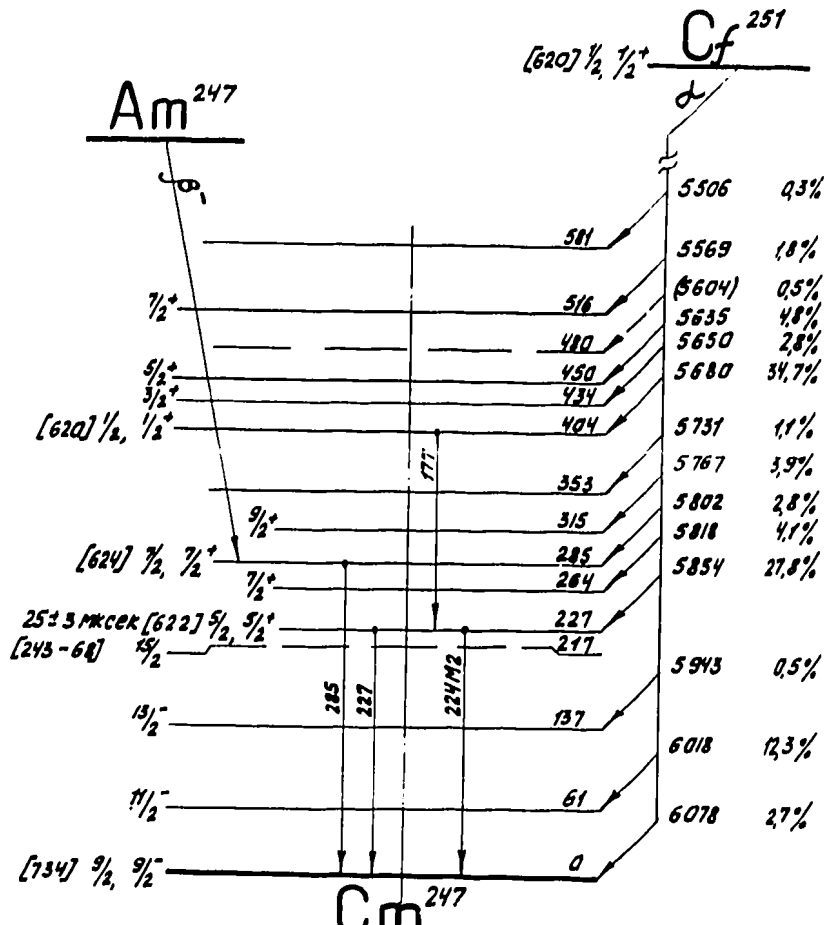


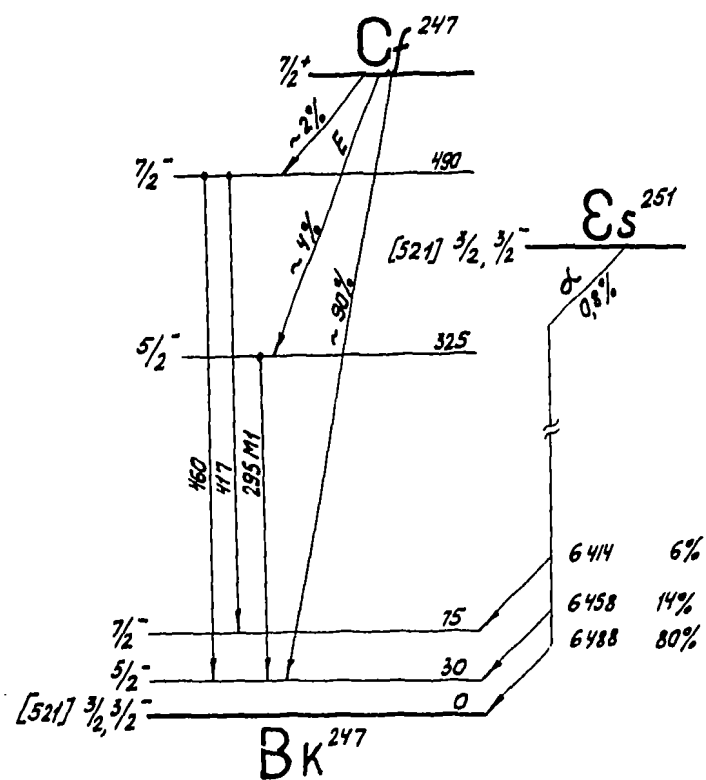
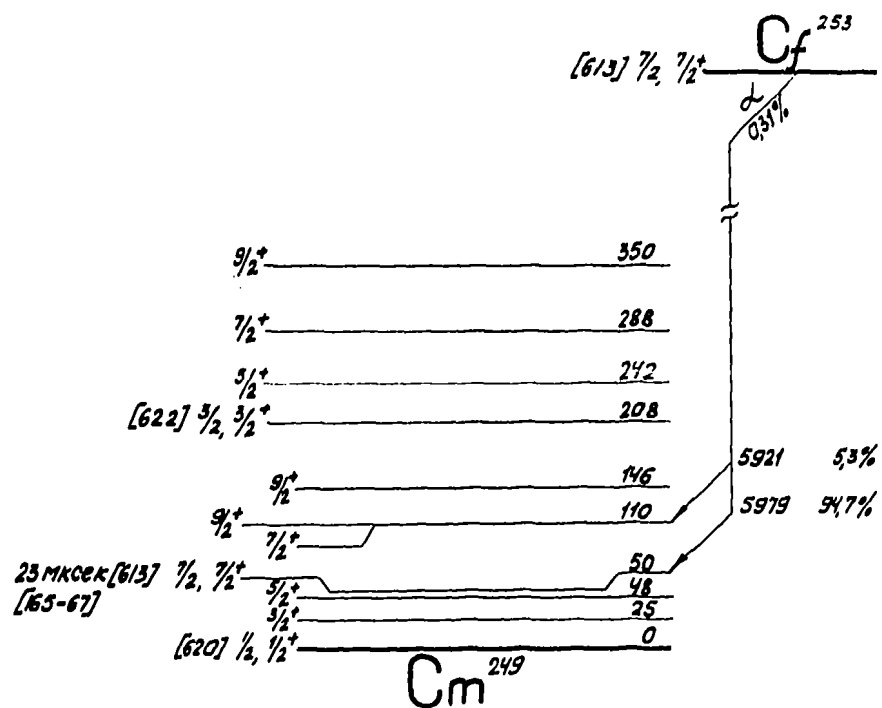
Cm<sup>246</sup>

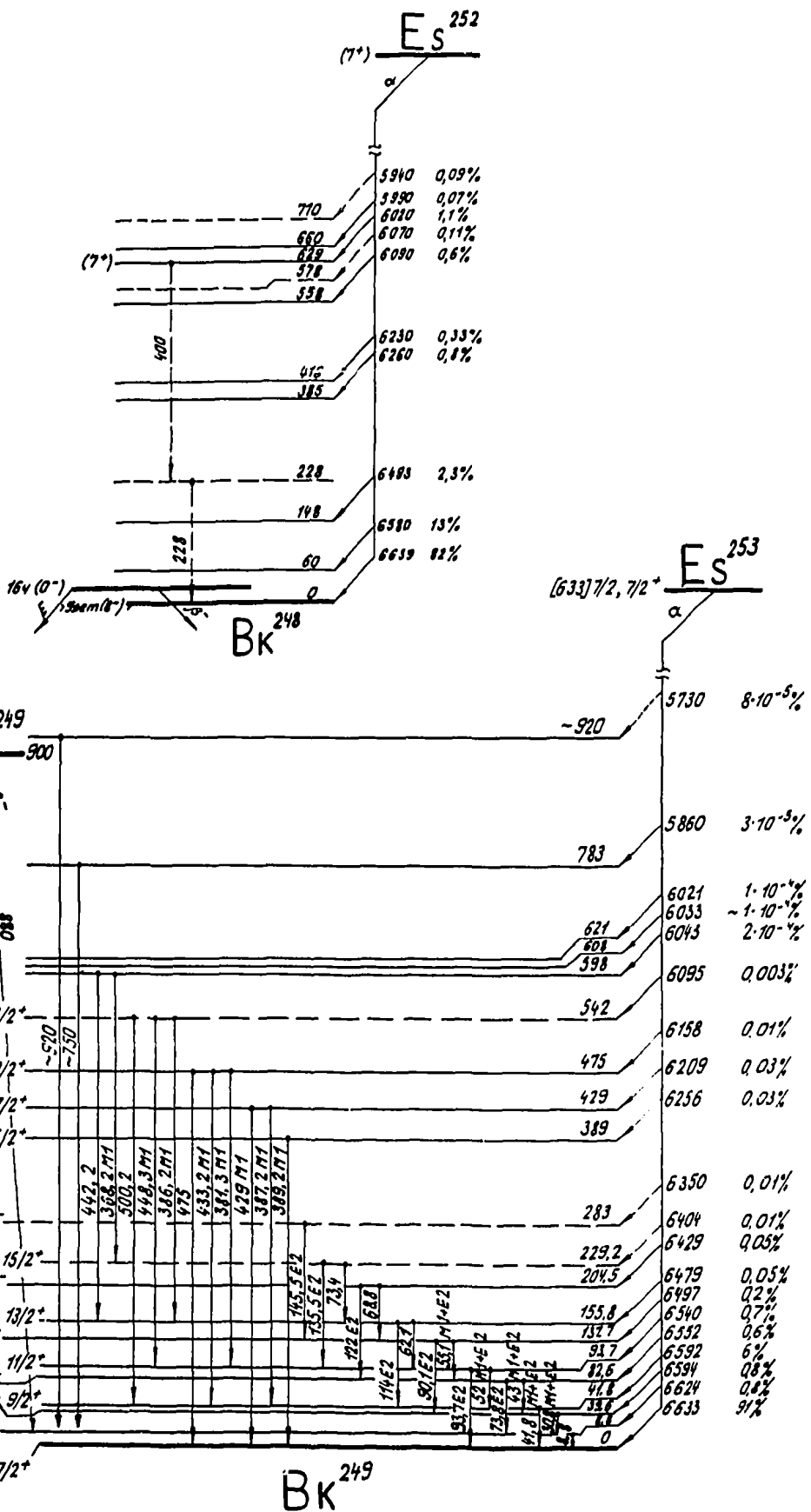
SECTION 2

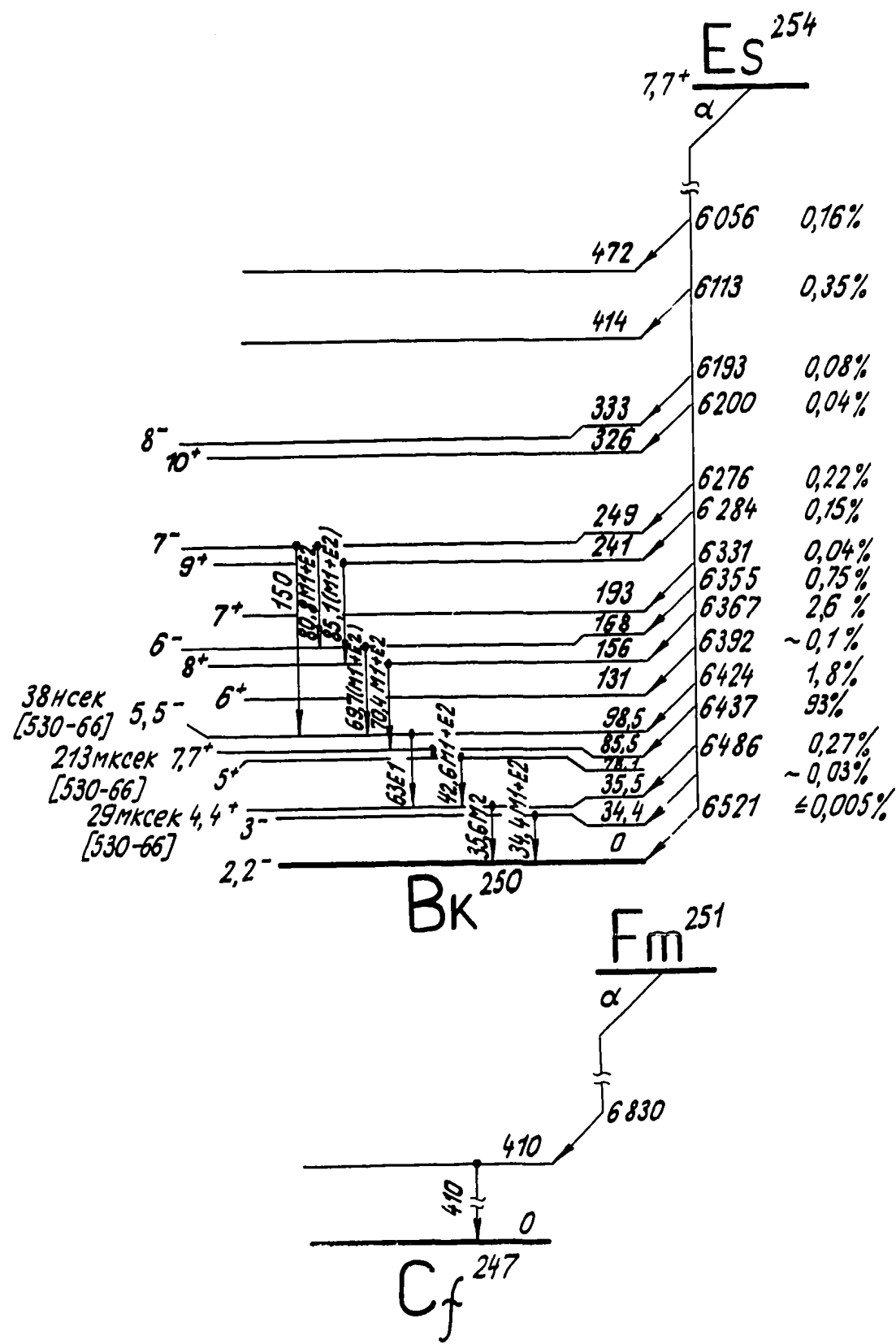


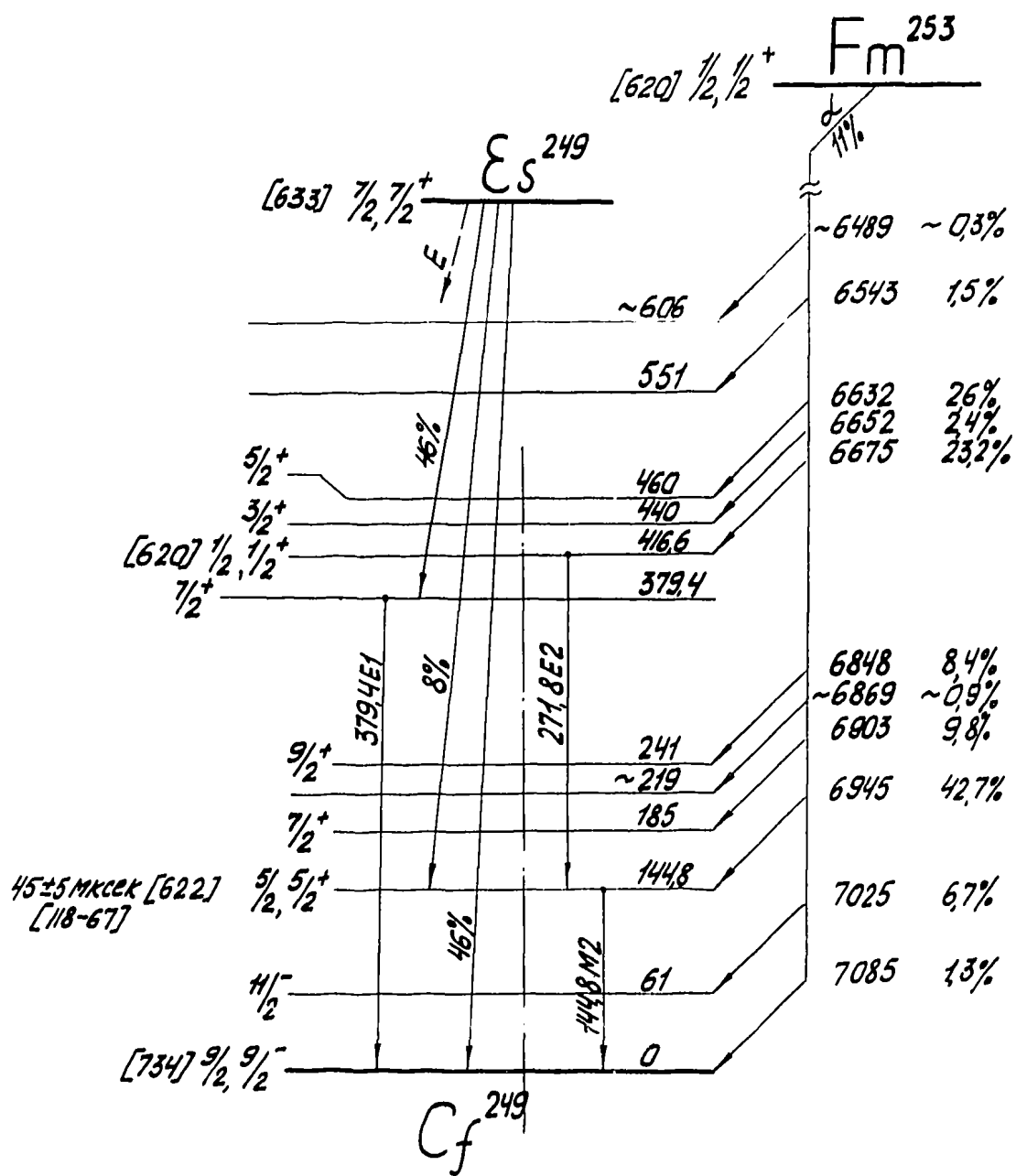
### SECTION 3

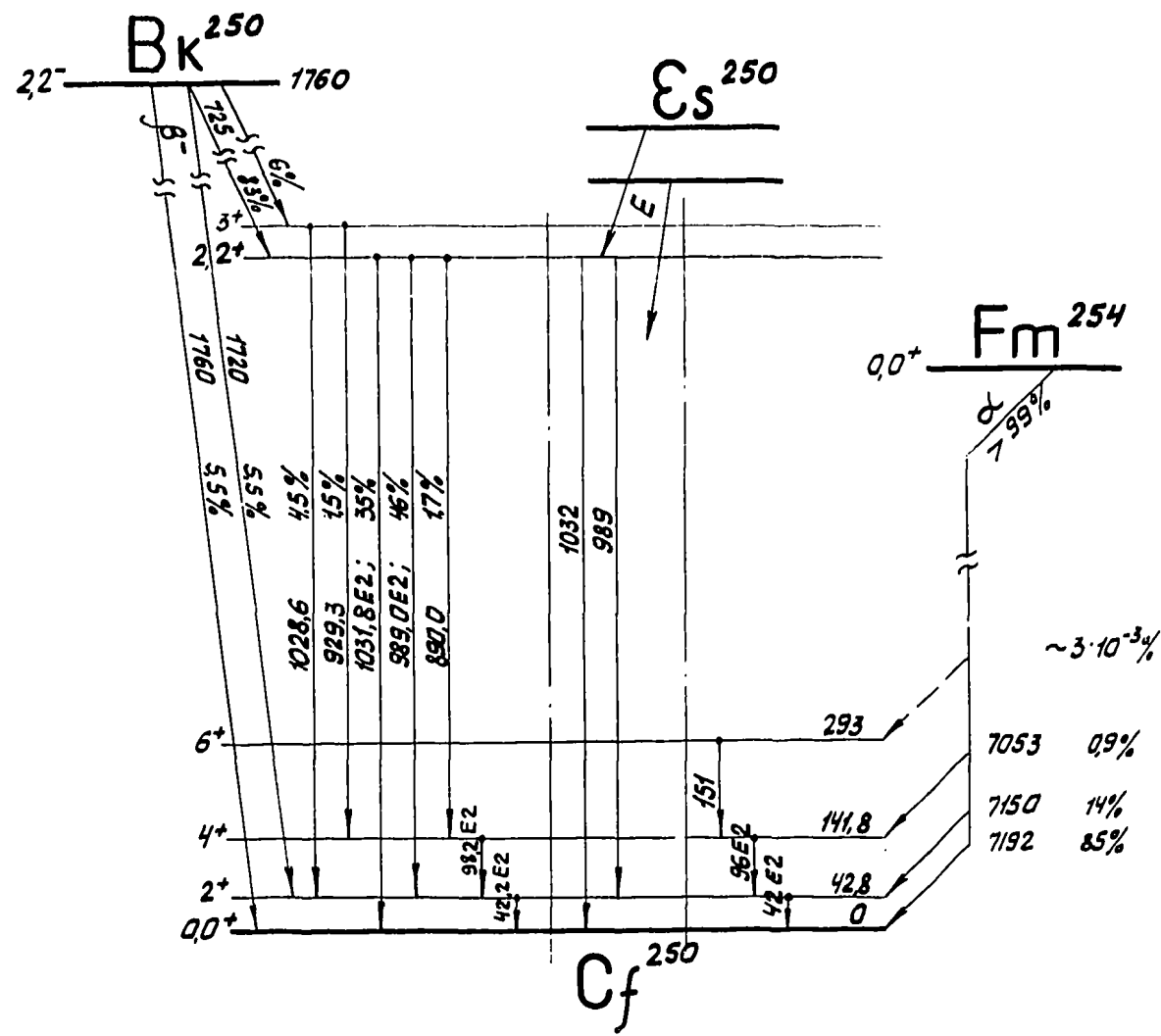


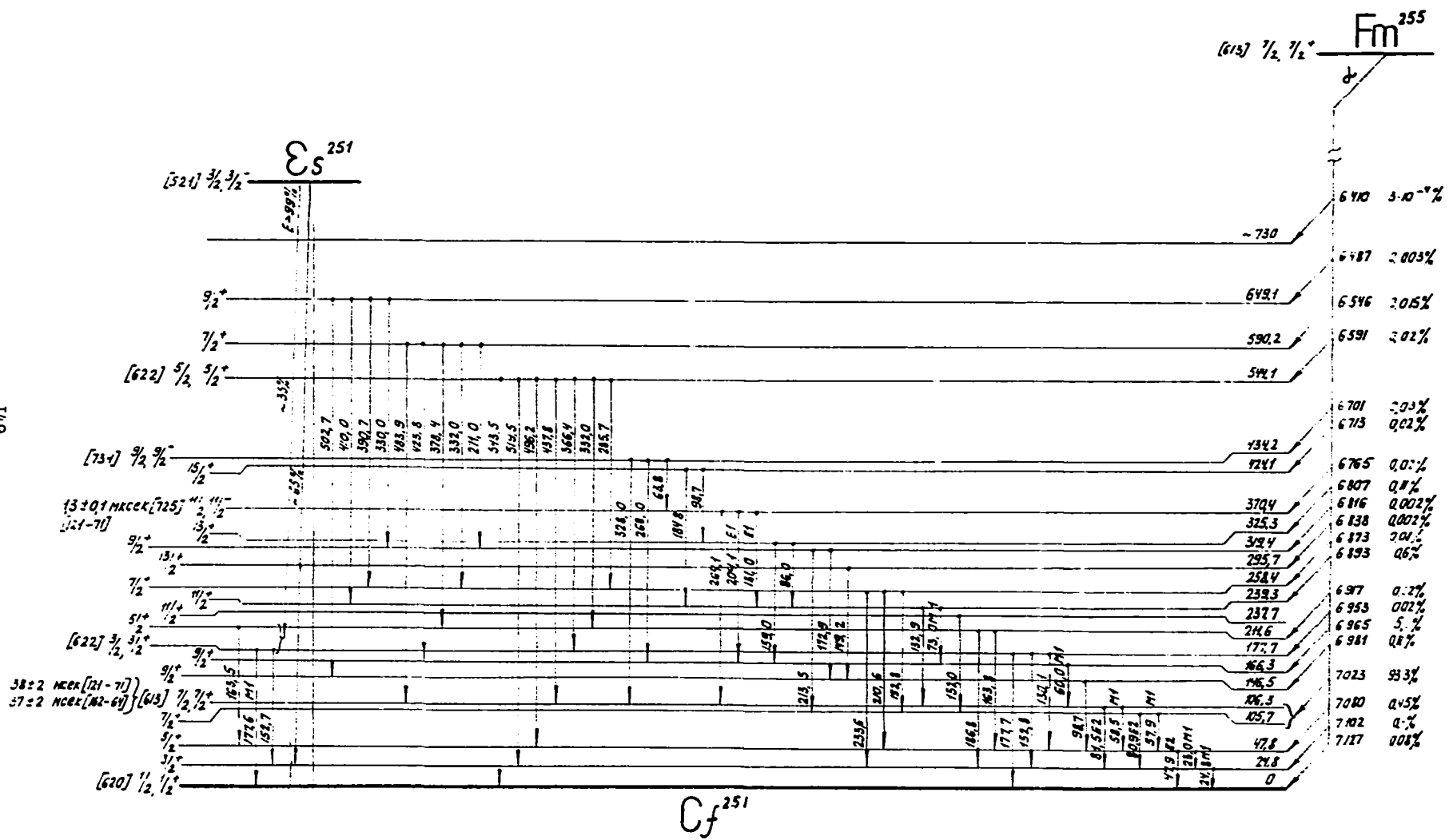


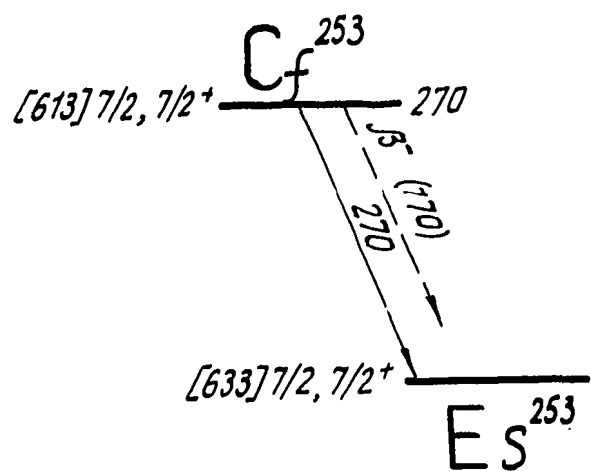
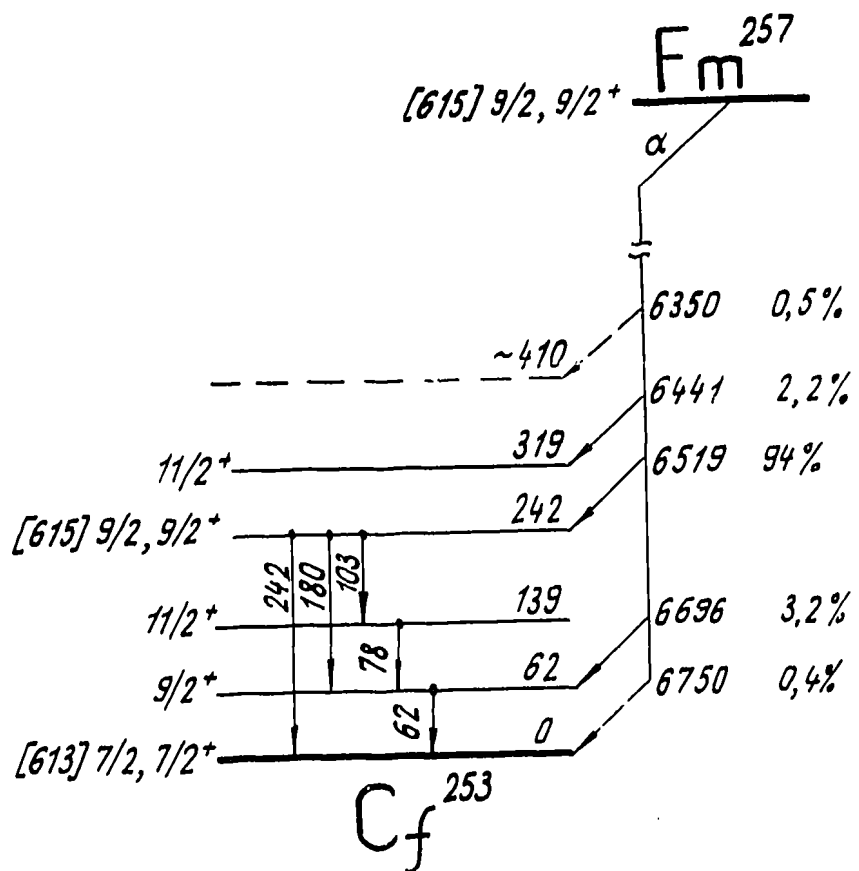


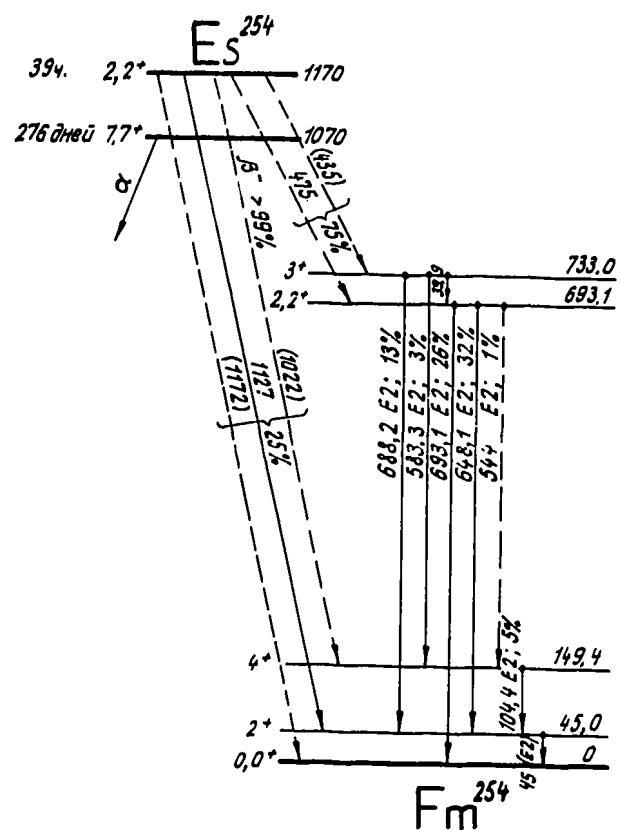
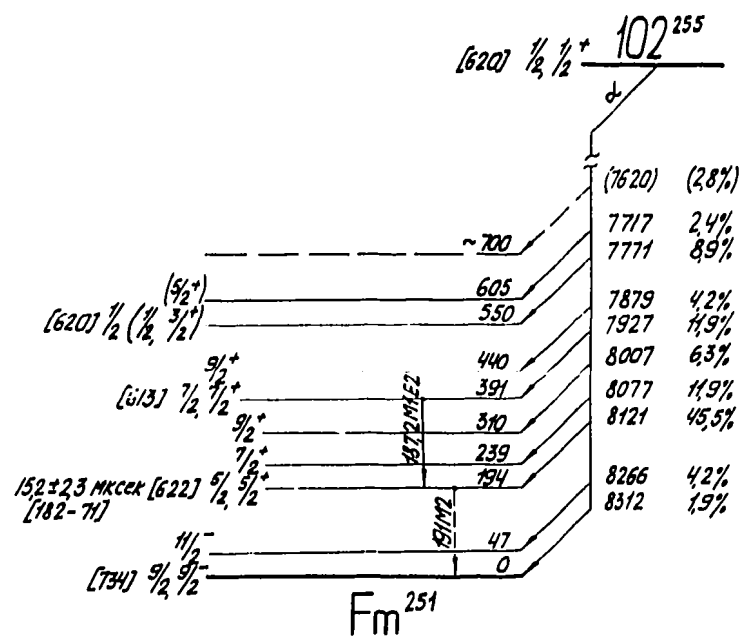












## Л И Т Е Р А Т У Р А

1. Акалов Г.Г., Вартанов Н.А., Самойлов П.С. "Атомная энергия", 16, 452 (1964).
2. Акапьев Г.Н., Денин А.Г., Друин В.А. и др. "Атомная энергия", 21, 243 (1966).
3. Акапьев Г.Н., Денин А.Г., Друин В.А. и др. Препринт ОИЯИ Е7-3261 (1967).
4. Александров Б.М., Кривохатский А.С. и др. "Атомная энергия", 20, 315 (1966).
5. Александров Б.М., Бак М.А., Бердиков В.В. и др. "Атомная энергия", 27, 41 (1969).
6. Александров Б.М., Григорьев О.И., Шиманская Н.С. "Ядерная физика", 10, 14 (1969).
7. Александров Б.М., Бак М.А. и др. "Атомная энергия", 28, 361 (1970).
8. Баранов И.А., Кривохатский А.С., Силантьев А.Н. "Изв. АН СССР. Серия физическая", 28, 1255, (1964).
9. Баранов С.А., Шлягин К.Н. Сессия АН СССР по мирному использованию атомной энергии, сер. физ.-мат., 251 (1955).
10. Баранов С.А., Шлягин К.Н. "Атомная энергия", 1, 1, 52 (1956).
11. Баранов С.А., Шлягин К.Н. ЖЭТФ, 30, 225 (1956).
12. Баранов С.А., Полевой Р.М., Родионов Ю.Ф. и др. "Изв. АН СССР. Сер. физич.", 24, 261 (1960).
13. Баранов С.А., Зеленков А.Г., Кулаков В.М. "Изв. АН СССР. Сер. физич.", 24, 1035 (1960).
14. Баранов С.А., Кулаков В.М., Самойлов П.С. и др. ЖЭТФ, 41, 1475 (1961).
15. Баранов С.А., Кулаков В.М., Самойлов П.С. и др. ЖЭТФ, 41, 1733 (1961).
16. Баранов С.А., Самойлов П.С., Родионов Ю.Ф. и др. ЖЭТФ, 41, 1740 (1961).
17. Баранов С.А., Кулаков В.М., Беленький С.Н. ЖЭТФ, 43, II 35 (1962); Nucl. Phys., 51, 95 (1963).
18. Баранов С.А., Кулаков В.М., Шатинский В.М. ЖЭТФ, 45, I 811 (1963); Nucl. Phys., 56, 112 (1964).
19. Баранов С.А., Гаджиев М.К. и др. "Ядерная физика", 1, 557 (1965).
20. Баранов С.А., Алиев И.Г. и др. "Ядерная физика", 4, 673 (1966).
21. Баранов С.А., Родионов Ю.Ф. и др. "Ядерная физика", 4, II 108 (1966).
22. Баранов С.А., Алиев И.Г., Чистяков Л.В. "Ядерная физика" 5, 241 (1967).
23. Баранов С.А., Гаджиев М.К. и др. "Ядерная физика" 5, 518 (1967).

24. Баранов С.А., Кулаков В.М., Шатинский В.М. "Ядерная физика", 7, 727 (1968).
25. Баранов С.А., Шатинский В.М., Кулаков В.М. "Ядерная физика", 10, 889 (1969).
26. Баранов С.А., Шатинский В.М., Кулаков В.М. "Ядерная физика", 10, 1110 (1969).
27. Баранов С.А., Шатинский В.М., Кулаков В.М. "Ядерная физика", II, 701 (1970).
28. Баранов С.А., Шатинский В.М. и др. "Ядерная физика", II, 925 (1970).
29. Баранов С.А., Кулаков В.М. и др. "Ядерная физика", I2, 1105 (1970).
30. Баранов С.А., Шатинский В.М. и др. "Ядерная физика", I3, 1135 (1971).
31. Баранов С.А., Шатинский В.М., Кулаков В.М. "Ядерная физика", 14, 1101 (1971).
32. Баранов С.А., Шатинский В.М., Кулаков В.М. Тезисы докладов XXII совещания по ядерной спектроскопии и структуре атомного ядра. Киев, 1972.
33. Бердиков В.В., Кривохатский А.С. и др. "Изв. АН СССР. Сер. физич.", 31, 185 (1967).
34. Билибин Л.П., Гуров Г., Лбов А. "Изв. АН СССР. Сер. физич.", 30, 217 (1966).
35. Бьёрнхольм С., Борггрин И., Гангский Ю.П., Слэттен Г. "Ядерная физика", 8, 459 (1968).
36. Борисьев А.А., Комар А.П., Королов В.А. "Изв. АН СССР. Сер. физич.", 24, 1092 (1960).
37. Воротников П.Е., Дубровина С.М., Отрощенко Г.А. и др. "Ядерная физика", 10, 726 (1969).
38. Вёё С., Бриансон С., Бастэн Х. и др. "Изв. АН СССР. Сер. физич.", 31, 85 (1967).
39. Гангский Ю.П., Марков Б.Н. и др. "Письма в ЖЭТФ", 4, 429 (1966).
40. Гангский Ю.П., Марков Б.Н., Поликанов С.М. и др. "Изв. АН СССР. Сер. физич.", 32, 1644 (1968).
41. Гангский Ю.П., Гаврилов К.А., Марков Б.Н. и др. "Ядерная физика", 10, 65 (1969).
42. Гангский Ю.П., Надь Т. и др. "Атомная энергия", 31, 156 (1971).
43. Гвоздев Б.А., Захватаем Б.Б., Кузнецов В.И. и др. "Радиохимия", 8, 493 (1966).
44. Гиорсо А. "Атомная энергия", 7, 358 (1959).
45. Гольдин Л.Л., Новикова Г.И., Третьяков Е.Ф. Сессия АН СССР по мирному использованию атомной энергии. Серия физ.-мат. 226 (1955).
46. Гольдин Л.Л., Третьяков Е.Ф., Новикова Г.И. "Изв. АН СССР. Сер. физич.", 20, 868 (1956); Phys. Rev., 103, 1004 (1956).

47. Гольдин Л.Л., Новикова Г.И. и др. ЖЭТФ, 37, 1155(1959).
48. Гусева Л.И., Филиппова К.В., Герлит Ю.Б. и др. "Атомная энергия", I, 2, 50(1956).
49. Джелепов Б.С., Иванов Р.Б. и др. "Изв. АН СССР. Сер. физич.", 24, 258(1960).
50. Джелепов Б.С., Иванов Р.Б., Недовесов В.Г. ЖЭТФ, 41, 1725(1961).
51. Джелепов Б.С., Иванов Р.Б. и др. ЖЭТФ, 45, 1360(1963).
52. Джелепов Б.С., Иванов Р.Б., Недовесов В.Г. ЖЭТФ, 46, 1517(1964).
53. Докучаев Я.П., Осипов И.С. "Атомная энергия", 6, 73(1959).
54. Докучаев Я.П. "Атомная энергия" 6, 74(1959).
55. Донец Е.Д., Щеголев В.А., Ермаков В.А. "Атомная энергия", I4, 500 (1963); "Атомная энергия", I6, 195(1964).
56. Донец Е.Д., Щеголев В.А., Ермаков В.А. "Атомная энергия", I9, 109 (1965).
57. Донец Е.Д., Щеголев В.А., Ермаков В.А. "Ядерная физика", 2, 1015(1965).
58. Донец Е.Д., Щеголев В.А., Ермаков В.А. "Атомная энергия", 20, 223(1966).
59. Друин В.А., Михеев В.Л., Скобелев Н.К. ЖЭТФ, 40, 1261(1961).
60. Друин В.А., Перельгин В.П., Хлебников Г.И. ЖЭТФ, 40, 1296(1961).
61. Друин В.А., Брандштетер И., Малы Я. Препринт ОИЯИ, Р-875(1962).
62. Друин В.А., Скобелев Н.К. и др. Препринт ОИЯИ, Р-1651 (1964).
63. Друин В.А., Акапьев Г.Н. и др. "Атомная энергия", 22, 127(1967).
64. Друин В.А., Скобелев Н.К., Сун-Цзян-Ян Г.Я. Препринт ОИЯИ, I3-3975 (1968).
65. Друин В.А., Скобелев Н.К., Рудь В.И. "Ядерная физика", I2, 44 (1970).
66. Друин В.А. "Ядерная физика", I2, 268(1970).
67. Друин В.А., Демин А.Г., Харитонов Ю.И. и др. Препринт ОИЯИ, Р7-5161 (1970); "Ядерная физика", I3, 251(1971).
68. Загер Б.А., Миллер И.Б., Михеев В.Л. и др. "Атомная энергия", 20, 230 (1966).
69. Звара И., Чубурков Ю.Т., Цалетка Р., Шалаевский М.Р. Препринт ОИЯИ, Р7-3783 (1968).
70. Иванов Р.Б., Кривохатский А.С., Недовесов В.Г. "Изв. АН СССР. Сер. физич.", 26, 976(1962).

71. Илющенко В.И., Миллер М.Б. и др. "Ядерная физика", 6, III-7 (1967).
72. Кондратьев Л.Н., Новикова Г.И. и др. ЖЭТФ, 31, 771 (1956).
73. Кондратьев Л.Н., Новикова Г.И. и др. "Изв. АН СССР. Сер. физич.", 21, 907 (1957).
74. Кондратьев Л.Н., Дедов В.Л., Гольдин Л.Л. "Изв. АН СССР. Сер. физич.", 22, 99 (1958).
75. Королов Г.А., Кочаров Г.Е., "Изв. АН СССР. Сер. физич.", 26, 235 (1962).
76. Кочаров Г.Е., Комар А.П. и др. "Изв. АН СССР. Сер. физич.", 23, 855 (1959).
77. Кочаров Г.Е., Королев Г.А. "Изв. АН СССР. Сер. физич.", 25, 237 (1961).
78. Кузнецов В.И., Скобелев Н.К., Флеров Г.Н. "Ядерная физика", 4, 99 (1966).
79. Кузнецов В.И., Скобелев Н.К., Флеров Г.Н. "Ядерная физика", 4, 279 (1966).
80. Кузнецов В.И., Скобелев Н.К., Флеров Г.Н. "Ядерная физика", 5, 271 (1967).
81. Кузнецов В.И., Скобелев Н.К. "Ядерная физика", 5, 1136 (1967).
82. Кувыминов Б.Д., Куцаева Л.С., Несторов В.Г. и др. ЖЭТФ, 37, 406 (1959).
83. Макаренко А.И., Острецов Л.А., Форофонтов Н.В. "Изв. АН СССР. Сер. физич." 35, 2335 (1971).
84. Малкин Л.З., Алхазов И.Д. и др. "Атомная энергия", 15, 158 (1963).
85. Малкин Л.З., Алхазов И.Д. и др. "Атомная энергия". 15, 249 (1963).
86. Михеев В.Л., Скобелев Н.К. и др. ЖЭТФ, 37, 859 (1959).
87. Михеев В.Л., Илющенко В.И., Миллер М.Б. "Ядерная физика", 5, 49 (1967).
88. Михеев В.Л., Илющенко В.И., Миллер М.Б. и др. "Атомная энергия", 22, 90 (1967).
89. Оганесян Ю.Ц., Лобанов Ю.В., Третьякова С.П. и др. "Атомная энергия", 28, 393 (1970).
90. Перельгин В.П., Донец Е.Д., Флеров Г.Н. ЖЭТФ, 37, 1558 (1959).
91. Перельгин В.П., Третьякова С.П. ЖЭТФ, 45, 863 (1963).
92. Перельгин В.П., Третьякова С.П.; Хлебников Г.И. Препринт ОИЯИ I635 (1964).
93. Поликанов С.М., Кучер А.М. и др. Препринт ОИЯИ Р-2115 (1965).
94. Поликанов С.М. и др. Труды международной конференции по физике тяжелых ионов, Дубна (1966).
95. Скобелев Н.К., Гвоздев Б.А., Друин В.А. "Атомная энергия", 24, 65 (1968).

96. Сун-Цзин-Ни Г.И., Друин В.А., Трофимов А.С. "Ядерная физика", 14, 1297 (1971).
97. Третьяков Е.Ф., Кондратьев Л.Н. и др. ЖЭТФ, 36, 362 (1959).
98. Третьяков Е.Ф., Аникина М.П., Гольдин Л.Л. и др. ЖЭТФ, 37, 917 (1959).
99. Третьяков Е.Ф., Кондратьев Л.Н. "Изв. АН СССР. Сер. физич.", 29, 242 (1965).
100. Третьяков Е.Ф., Третьякова Н.И., Конев В.Ф. и др. "Изв. АН СССР. Сер. физич.", 34, 856 (1970).
101. Третьяков Е.Ф., Третьякова Н.И., Конев В.Ф. "Изв. АН СССР. Сер. физич.", 35, 2306 (1971).
102. Флеров Г.Н., Ключков Л.С. и др. "Докл. АН СССР", 118, 69 (1958).
103. Флеров Г.Н., Поликанов С.М., Карапин А.С. и др. ЖЭТФ, 38, 82 (1960).
104. Флеров Г.Н., Оганесян Ю.Ц., Лобанов Ю.В., и др. "Атомная энергия", 17, 310 (1964); Phys. Lett., 13, 73 (1964).
105. Флеров Г.Н., Поликанов С.М., Михеев В.Л. и др. "Атомная энергия", 22, 342 (1967).
106. Флеров Г.Н., Кузнецов В.И., Скобелев Н.К. "Атомная энергия", 22, 494 (1967).
107. Флеров Г.Н., Поликанов С.М., Михеев В.Л. и др. "Ядерная физика", 5, 1186 (1967).
108. Флеров Г.Н., Короткин Ю.С., Михеев В.Л. и др. Препринт ОИИ Р7-3257 (1967); Nucl. Phys., A106, 476 (1968).
109. Флеров Г.Н., Демин А.Г., Друин В.А. и др. Препринт ОИИ Р7-3423 (1967); "Ядерная физика", 7, 239 (1968).
110. Флеров Г.Н., Акапьев Г.Н., Демин А.Г. и др. "Ядерная физика", 7, 977 (1968).
111. Флеров Г.Н., Друин В.А., Демин А.Г. и др. Препринт ОИИ Р7-3808 (1968), J. Phys. Soc. Japan Suppl., 24, 237 (1968).
112. Флеров Г.Н., Оганесян Ю.Ц., Лобанов Ю.В. и др. "Атомная энергия" 29, 243 (1970); Nucl. Phys., A160, 181 (1971).
113. Флеров Г.Н. и др. Сб. Международ. конф. по физике тяжелых ионов, Дубна, 1971 г. стр. 125.
114. Зукояков Ю.А., Аткинадзе Г.Д. "Атомная энергия", 25, 428 (1968).
115. Abraham M., Jeffries C.D. et al. Phys. Rev., 106, 1357 (1957).
116. Adamson A.M. Thesis, Paris (1962), см. [443-64].

- II7. Ahmad J., Asaro F., Perlman I. UGRL - I6580 (1966), CM. [496-67];  
UGRL - I6888 (1966), CM. [548-69].
- II8. Ahmad I., Friedman A.M., Barnes R.F. et al. Phys. Rev., I64, I537 (1967).
- II9. Ahmad I., Friedman A.M., Unik J.P. Nucl. Phys., A II9, 27 (1968).
- I20. Ahmad I., Sjebom R.K. et al. Nucl. Phys., A I40, I4I (1970).
- I21. Ahmad I., Porter F.T., Freedman M.S. et al. Phys. Rev., C 3, 390 (1971).
- I22. Ahmad I., Wahlgren M. J. Nucl. Instr. a. Meth., 99, 333 (1972).
- I23. Albouy G. Ann. Phys., I, 99 (1956).
- I24. Albridge R.G., Hubbs J.C., Marrus R. Phys. Rev., III, II37 (1958).
- I25. Albridge R.G., Hollander J.M. Nucl. Phys., 2I, 438 (1960).
- I26. Albridge R.G., Hollander J.M. et al. Nucl. Phys., 27, 529 (1961).
- I27. Amiel S. Phys. Rev., IO5, I4I2 (1957).
- I28. Amiel S., Chetham - Strode A., Choppin G.R. et al. Phys. Rev., IO6,  
553 (1957).
- I29. Amov B.G., Kotlinska B., Kurcewicz W. Acta phys. pol., B 2, 337 (1971).
- I30. Arzman E., Björnholm S., Nielsen O.B. Nucl. Phys., 2I, 406 (1960).
- I31. Armani R.J., Gold R. IAEA, Vienna, Preprint SM-79/53 (1966).
- I32. Armstrong L., Marrus R. Phys. Rev., I44, 994 (1966).
- I33. Asaro F., Reynolds F.L., Perlman I. Phys. Rev., 87, 277 (1952).
- I34. Asaro F., Perlman I. Phys. Rev., 88, 828 (1952).

- I35. Asaro F., Thompson S.G., Perlman I. Phys. Rev., 92, 694 (1953).
- I36. Asaro F., Stephens F.S., Perlman I. Phys. Rev., 92, 1495 (1953).
- I37. Asaro F., Ph.D.Thesis, University of California, UCRL-2180 (1953) CM. [443-64].
- I38. Asaro F., Perlman I. Phys. Rev., 93, 1423 (1954).
- I39. Asaro F., Perlman I. Phys. Rev., 94, 381 (1954).
- I40. Asaro F., Stephens F.S. et al. Phys. Rev., 98, 19 (1955).
- I41. Asaro F., Perlman I. Phys. Rev., 99, 37 (1955).
- I42. Asaro F., Stephens F.S. et al. Phys. Rev., 100, 137 (1955).
- I43. Asaro F., Stephens F.S. et al. Phys. Rev., 100, 1541 (1955).
- I44. Asaro F., Harvey B.G. et al. (1955-1956), CM. [443-64].
- I45. Asaro F., Perlman I. Phys. Rev., 104, 91 (1956).
- I46. Asaro F., Stephens F.S., Thompson S.G. (1956), CM. [443-64].
- I47. Asaro F., Stephens F.S. et al. (1956), CM. [443-64].
- I48. Asaro F., Perlman I. Phys. Rev., 107, 318 (1957).
- I49. Asaro F., Thompson S.G. et al. Bul. Am. Phys. Soc., 2, 393 (1957).
- I50. Asaro F., Amiel S. et al. (1957), CM. [646-57;443-64].
- I51. Asaro F., Stephens F.S., Perlman I. (1957), CM. [443-64;496-67].
- I52. Asaro F., Thompson S.G. et al. UCRL - 8369 (1958), CM. [443-64].

- I53. Asaro F., Perlman I. et al. Phys. Rev., 120, 934 (1960).
- I54. Asaro F., Thompson S.G. et al. UCRL - 9382 (1960), Proceedings of the International Conference on Nuclear Structure, Kingston (1960), cm. [443-64].
- I55. Asaro F., Stephens F.S. et al. (1960), cm. [443-64].
- I56. Asaro F., Perlman I. (1960-1961), cm. [443-64].
- I57. Asaro F., Michel M.C. et al. Proceedings of the Rutherford Conference, Manchester (1961), cm. [443-64].
- I58. Asaro F., Perlman I. UCRL - 9566 (1961), cm. [193-63].
- I59. Asaro F., Thompson S.G. et al. (1961), cm. [443-64].
- I60. Asaro F., Stephens F.S. et al. (1965), cm. [443-64].
- I61. Asaro F., Björnholm S., Perlman I. Phys. Rev., 133, B291 (1964).
- I62. Asaro F., Perlman I. (1964), cm. [496-67].
- I63. Asaro F., Lederer C.M. (1964), cm. [496-67].
- I64. Asaro F., Michel M.C. et al. (1966), cm. [496-67].
- I65. Asaro F., Perlman I. Phys. Rev., 158, 1073 (1967).
- I66. Attree R.W., Cabell M.J. et al. Can.J.Phys., 40, 194 (1962).
- I67. Axe J.D., Stapleton H.J., Jeffries C.D. Phys.Rev.Lett., 6,75 (1961).
- I68. Pailey C.P. et al. Combined Radiochemistry Group (LRL, LASL, ANL, UCRL). Phys.Rev., 148, 1192 (1966).
- I69. Banks P.O., Silver L.T. J.Geophys.Res., 71,4037 (1966).

- I70. Barclay F.R., Galbraith W. et al . Proc.Phys. Soc., 67A, 646 (1954).
- I71. Barendregt P., Tom S. Physica, 17, 817 (1951).
- I72. Barnes R.F., Henderson D.J. et al . J.Inorg.Nucl.Chem., 9, 105(1959).
- I73. Barton D.M., Koontz P.G. J.Inorg.Nucl.Chem., 32, 769 (1970).
- I74. Bastin-Scoffier G., Leang C.F., Walen R.J. Compt.Rend.,258,6397(1964).
- I75. Bastin G., Leang C.F., Walen R.J. (1965), см. [496-67] .
- I76. Beadle A.B., Dance D.F. et al . J.Inorg.Nucl. Chem., 12, 359 (1960).
- I77. Beiling J.K., Newton J.O., Rose B. Phys.Rev., 87, 670 (1952).
- I78. Bell P.R., Davis R.C. et al . ORNL - 1164 (1952), см. [443-64] .
- I79. Bell R.E., Björnholm S., Severiens J.C. Kgl. Danske Vid. Selsk. Mat.-Fys. Medd., 32 №.12 (1960).
- I80. Bemis C.E., Halperin J. Nucl.Phys., A121, 433 (1968).
- I81. Bemis C.E., Halperin J., Eby R. J.Inorg.Nucl.Chem., 31,599 (1969).
- I82. Bemis C.E., Dittner P.P. et al . Международ. конфер. по физике тяжелых ионов, Дубна, 1971, стр. 175.
- I83. Bengtson B., Nielsen H.L. Nucl.Phys., A127, 679 (1969).
- I84. Bengtson B., Jensen J., Konzynski M., Nielsen H.L. Nucl. Phys., A159, 249 (1970).
- I85. Bentley W.C. J.Inorg.Nucl.Chem., 30,2007 (1968).
- I86. Bentley W.C. J.Inorg.Nucl.Chem., 30,2007 (1968).
- I87. Bertolini G., Cappellani A. et al. Nucl.Phys., 65, 170 (1965).

- I88. Bertolini G., Mannone F. et al. Nucl. Phys., 83, 413 (1966).
- I89. Bisgard K.M., Dahl F. et al. Nucl. Phys., 41, 21 (1963).
- I90. Bjørnholm S., Nielsen O.B. Nucl. Phys., 30, 488 (1962).
- I91. Bjørnholm S., Boehm F. et al. Nucl. Phys., 42, 469 (1963).
- I92. Bjørnholm S., Nielsen O.B. Nucl. Phys., 42, 642 (1963).
- I93. Bjørnholm S., Lederer M. et al. Phys. Rev., 130, 2000 (1963).
- I94. Bjørnholm S., Borggreen J., Westgaard L., Karnaukhov V.A. Nucl. Phys., A95, 513 (1967).
- I95. Bjørnholm S., Borggreen J., Davies D. et al. Nucl. Phys., A118, 261 (1968).
- I96. Bleaney B., Llewellyn P. et al. Phil. Mag., 45, 991 (1954).
- I97. Blinowska K., Hansen P.G. et al. Nucl. Phys., 55, 331 (1964).
- I98. Boca I. et al. Nucl. Phys., A134, 541 (1969).
- I99. Boca I. et al. Rev. Roum. Phys., 16, 473 (1971).
- I00. Booth E., Madansky L., Rasetti F. Phys. Rev., 102, 800 (1956).
- I01. Borggreen J., Nielsen C.B., Nordby H. Nucl. Phys., 29, 515 (1962).
- I02. Borggreen J., Gaugrøn Yu.F., Sletten G., Bjørnholm S. Phys. Lett., 25B, 402 (1967).
- I03. Borggreen J., Valli K., Hyde E.K. Phys. Rev., C2, 1841 (1970).
- I04. Brauer F.P., Stromatt R.W. et al. J. Inorg. Nucl. Chem., 12, 234 (1960).

205. Brenner D.S., Westgaard L., Bjørnholm S. Nucl. Phys., 89, 267 (1966).
206. Briancon C., Legoux Y. et al. Compt. Rend., 259, 345 (1964).
207. Briancon C., Frille M. Compt. Rend., 263, I261 (1966);  
Compt. Rend., 264 B, I682 (1967).
208. Briancon C., Chin Fan Leang, Paris P. Compt. Rend., 264, B I522 (1967).
209. Briancon C., Vieu C. Compt. Rend., 267, B 651 (1968).
210. Briancon C., Walen R. J. Phys. (Paris) 30, 753 (1969).
211. Briancon C., Vieu C. J. Phys. (Paris) 32, 373 (1971).
212. Briancon C., Walen R. J. Phys. (Paris) 32, 381 (1971).
213. Briand J.P., Chevallier P. Compt. Rend., 261, 2629 (1965).
214. Briand J.P., Chevallier P., Touati A. Compt. Rend., 268, B II05 (1969).
215. Briand J.P., Chevallier P. et al. Compt. Rend., 269, B 582 (1969);  
272, B 155 (1971); 272, B 254 (1971).
216. Britt H.C., Erkkila B.H. Phys. Rev., C 4, I441 (1971).
217. Britt H.C., Burnett S.C., Erkkila B.H. et al. Phys. Rev., C 4, I444 (1971).
218. Brodie W.D. Proc. Phys. Soc., 67 A, 397 (1954).
219. Brown F., George G.G. et al. J. Inorg. Nucl. Chem., 13, I92 (1960).
220. Brown L.C., Propst R.C. J. Inorg. Nucl. Chem., 30, 2591 (1968).
221. Browne C.I. UCRL - I764 (1952), cm. [I26-61, 208-67].
222. Browne C.I., Perlman I. (1952), cm. [496-67].

223. Browne G.I., Hoffman D.C. et al. Phys. Rev., 96, 827 A (1954).
224. Browne G.I., Hoffman D.C. et al. J. Inorg. Nucl. Chem., 1, 254 (1955).
225. Bubernack J., Matlack G.M., Metz C.F. Trans. Am. Nucl. Soc., II, 457 (1968).
226. Bunker M.E., Langer L.M., Moffat R.J.D. Phys. Rev., 80, 468 (1950).
227. Bunker M.E., Mize J.P., Starner J.W. Bul. Am. Phys. Soc., 2, 104 (1957).
228. Bunker M.E., Dropesky B.J. et al. Phys. Rev., 116, 143 (1959).
229. Bunker M.E., Hoffman D.C. et al. Nucl. Phys., 197, 593 (1967).
230. Burnett S.C., Britt H.C., Erkkila B.H., Stein W.E. Phys. Lett., 31B, 523 (1970).
231. Butler J.P., Lounsbury M., Merritt J.S. Can. J. Chem., 34, 253 (1956); Can. J. Phys., 35, 147 (1957).
232. Butler J.P., Eastwood T.A. et al. Phys. Rev., 103, 634 (1956).
233. Butler J.P., Eastwood T.A. et al. Phys. Rev., 103, 965 (1956).
234. Cabell M.J. Can. J. Phys., 36, 989 (1958).
235. Cabell M.J. J. Inorg. Nucl. Chem., 30, 2583 (1968).
236. Cabell M.J., Wilkins M. J. Inorg. Nucl. Chem., 33, 903 (1971).
237. Caldwell J. T., Fultz S.C., Bowman C.D., Hoff R.W. Phys. Rev., 130, 1309 (1967).
238. Carnall W.T., Fried S., Harkness A.L. J. Inorg. Nucl. Chem., 17, 112 (1961).
239. Champeau R.-J. J. Phys. (Paris), 25, 825 (1964).
240. Chetham-Strode A., Cheppin G.E., Harvey B.G. Phys. Rev., 102, 747 (1956).

241. Chetham-Strode A., Holm L.W. Phys. Rev., 104, 1314 (1956).
242. Chetham-Strode A. Ph. D. Thesis, University of California, UCR - 3322 (1956), см. [443-64].
243. Chetham-Strode A., Silva R.J. et al. Nucl. Phys., 107, 645 (1968).
244. Chilton J.M., Gilbert R.A. et al. J. Inorg. Nucl. Chem., 26, 395 (1964).
245. Choppin G.R., Thompson S.G. et al. Phys. Rev., 94, 1080 (1954).
246. Choppin G.R., Harvey B.G. et al. Phys. Rev., 98, 1519 (1955).
247. Choppin G.R., Thompson S.G. J. Inorg. Nucl. Chem., 7, 197 (1958).
248. Christensen P.R. Nucl. Phys., 41, 17 (1963).
249. Church E.L. (1957), см. [172-59].
250. Chwaszczewska J., Gavrilov K.A. et al. Phys. Lett., 25B, 331 (1967).
251. Cohen D., Sullivan J.C., Zielen A.J. J. Inorg. Nucl. Chem., II, 159 (1959).
252. Conde H., Holmberg M. J. Nucl. Energy, 25, 331 (1971).
253. Connor R.D., Fairweather I.L. Proc. Phys. Soc., 74, 161 (1959).
254. Connor R.D., MacKenzie D.R. Can. J. Phys., 39, 1595 (1961).
255. Cowan G.A. Труды международной конференции по физике тяжелых ионов, Дубна (1966). Д7-3548, ОИЯИ(1967).
256. Crane W.W.T., Perlman I. (1950), см [443-64].
257. Crane W.W.T., Iddings G.M. Phys. Rev., 95, 1702 (1954).
258. Dalmaso J., Marsol C. Compt. Rend., 267, B 1366 (1968).

259. Daniels W.R., Hoffman D.C., Lawrence F.O., Orth C.J. Nucl.Phys., A107, 569 (1968).
260. Davidson W.F., Connor R.D. Nucl.Phys., A116, 342 (1968).
261. Davies D.W., Hollander J.M. Nucl. Phys., 68, 161 (1965).
262. Day P.P. Phys. Rev., 97, 689 (1955).
263. DeHaan E.F., Sizoo G.J., Kramer P. Physica, 21, 803 (1955).
264. DePinho A.G., Silveira E.F., Costa N.L. Phys.Rev., C2, 572 (1970).
265. Deruytter A.J., Schröeder I.G., Moore J.A. J.Phys.(Paris), 24, 939 (1963).
266. Deutsch S., Nikolic M. Nuovo Cim., 2, 1326 (1955).
267. Diamond H., Sjoblom R.K. et al. J.Inorg.Nucl.Chem., 29, 601 (1967).
268. Diamond H., Hines J.J., Sjoblom R.K. et al. J.Inorg.Nucl.Chem., 30, 2553 (1968).
269. Dorain P.B., Hutchison C.A., Wong E. Phys. Rev., 105, 1307 (1957).
270. Dropesky B.J., Langer L.M. Phys.Rev., 108, 90 (1957).
271. Dunlap B.D., Kalvius G.M. Phys. Rev., 186, 1296 (1969).
272. Durham R.W. (1969), cM. [380-69] .
273. Eastwood T.A., Butler J.P., Cabell M.J. et al. Phys.Rev., 107, 1635 (1957).
274. Eastwood T.A., Schuman R.P. J.Inorg.Nucl.Chem., 6, 261 (1958).
275. Edelstein N. Phys. Lett., A33, 233 (1970).
276. Egidy T.von, Schult O.W.R. et al. Z. Naturfor., 26<sup>a</sup>, 1092 (1971).

277. Elson R. *The Actinide Elements*, Ch.5, Nat. Nucl. Energy Ser. 14A (1954).
278. Elwyn A.J., Ferguson A.J.G. *Nucl. Phys.*, A148, 337 (1970).
279. Engelkemeir D.W., Fields P.R., Huizenga J.R. *Phys. Rev.*, 90, 6 (1953).
280. Engelkemeir D.W., Magnusson L.B. *Phys. Rev.*, 94, 1395 (1954).
281. Engelkemeir D.W., Magnusson L.B. *Phys. Rev.*, 99, 135 (1955).
282. Engelkemeir D.W., Fields P.R. et al. *J. Inorg. Nucl. Chem.*, 1, 345 (1955).
283. Engelkemeir D.W., Gindler J. (1960), CM. [445-6].
284. Engelkemeir D. *Phys. Rev.*, 181, 1675 (1969).
285. Eskola K., Eskola P. et al. *Phys. Rev.*, C4, 652 (1971).
286. Eskola P., Eskola K., Nurmia M., Ghiorso A. *Phys. Rev.*, C2, 1058 (1970).
287. Ewan G.T., Geiger J.S. et al. *Phys. Rev.*, 116, 950 (1959).
288. Farley T.A. *Can. J. Phys.*, 38, 1059 (1960).
289. Faust J., Marrus R., Nierenberg W.A. *Phys. Lett.*, 16, 71 (1965).
290. Feather N., Krishnan R.S. *Proc. Cambr. Phil. Soc.*, 43, 267 (1947).
291. Fieldhouse I., Mather D.S., Culliford E.R. *J. Nucl. Energy*, 21, 749 (1967).
292. Fields P.R., Pyle G.L., Mech J.P. ANL - 4469 (1950),  
CM. Rev. Mod. Phys., 25, 469 (1953).
293. Fields P.R., Studier M.H. et al. *Phys. Rev.*, 94, 209 (1954).
294. Fields P.R., Studier M.H., Friedman A.M. et al.  
*J. Inorg. Nucl. Chem.*, 1, 262 (1955).
295. Fields P.R., Gindler J.F. *Phys. Rev.*, 100, 172 (1955).
296. Fields P.R., Studier M.H., Diamond H. et al. *Phys. Rev.*, 102, 180 (1956).

297. Fields P.R., Friedman A.M. et al. Phys. Rev., 131, 1249 (1963).
298. Fields P.R., Friedman A.M., Milsted J. et al. Nature, Lond., 212, 131 (1966).
299. Fields P.R., Barnes R.F. et al. Phys. Lett., 24B, 340 (1967).
300. Fields P.R., Diamond H., Friedman A.M. et al. Nucl. Phys., A96, 440 (1967).
301. Fields P.R., Ahmad I. et al. J. Inorg. Nucl. Chem., 30, 1345 (1968), cm. [552-71].
302. Fields P.R., Ahmad I. et al. Nucl. Phys., A154, 407 (1970).
303. Fields P.R., Ahmad I. et al. Nucl. Phys., A160, 460 (1971).
304. Fleischer R.L., Price P.B. Phys. Rev., 133, R63 (1964).
305. Fleming E.H., Ghiorso A., Cunningham B.B. Phys. Rev., 88, 642 (1952).
306. Flerov G.N., Pleve A.A., Polikanov S.M. Proc. Symp. on Physics and Chemistry of Fission, Vol.1, IAEA, Vienna, 1965, p.307.
307. Flerov G.N., Pleve A.A., Polikanov C.M. et al. Nucl. Phys., A102, 443 (1967).
308. Flynn K.F., Glendenin L.E., Steinberg E.P. Nucl. Sci. Eng., 22, 416 (1965).
309. Forest J.H., Lyle S.J. et al. J. Inorg. Nucl. Chem., 15, 210 (1960).
310. Foucher R., Merlinis J. et al. Compt. Rend., 255, 1916 (1962); J. Phys. (Paris), 24, 203 (1963).
311. Foucher R., Lagrange J.-M. et al. J. Phys. (Paris), 26, 450 (1965).
312. Freedman M.S., Jaffey A.H., Wagner F. Phys. Rev., 79, 410 (1950).
313. Freedman M.S., Wagner F., Engelkemoir D.W. Phys. Rev., 88, 1155 (1952).
314. Freedman M.S., Wagner F., Engelkemoir D.W. et al. (1952), cm. [443-64].
315. Freedman M.S., Jaffey A.H. et al. Phys. Rev., 89, 302 (1953).
316. Freedman M.S., Carter V.T. et al. Phys. Rev., 106, 846 (1957).

317. Freedman M.S., Porter F.T. et al. (1957), CM. [650-59; 496-67] .
318. Freedman M.S., Engelkemeir D.W. et al. (1957), CM. [443-64] .
319. Fried S.M., Pyle G.L. et al. J. Inorg. Nucl. Chem., 2, 415 (1956).
320. Friedman A.M., Harkness A.L., Fields P.R. et al. Phys. Rev., 95, 1501(1954).
321. Friedman A.M., Gindler J.E., Barnes R.F. et al. Phys. Rev., 102, 585 (1956).
322. Friedman A.M., Milsted J. Phys. Rev., 131, 772 (1963).
323. Friedman A.M., Milsted J. Phys. Lett. 21, 179 (1966).
324. Friedman A.M., Ahmad I. et al. Nucl. Phys., A127, 33 (1969).
325. Frilley M., Rosenblum S. et al. J. Phys. Rad., 15, 45 (1954).
326. Gaeta R., Vigon M.A. Nucl. Phys., 76, 353 (1966),
327. Gaeta R., Butragueno J.L., Monleon J.L. An. Real. soc. espan. fis. y quim., A63, 165 (1967).
328. Gallagher C.J. (1957), CM. [443-64] .
329. Gallagher C.J., Thomas T.D. Nucl. Phys., 14, 1 (1959).
330. Gallikter D., Hugentobler E., Hahn B. Helv. phys. acta, 43, 593 (1970).
331. Gangrsky Yu.P., Markov R.N., Tsipenyuk Yu.M. Phys. Lett., 32B, 182 (1970).
332. Garg R.K., Chauhan S.L. et al. Z. Phys., 244, 312 (1971).
333. Gerstenkorn S., Tomkins F.S. Physica, 42, 581(1969).
334. Ghiorso A., Meinke W.W., Seaborg G.T. Phys. Rev., 74, 695 (1948).
335. Ghiorso A., Thompson S.G. et al. Phys. Rev., 81, 154 (1951).
336. Ghiorso A., Brittain J.W. et al. Phys. Rev., 82, 558 (1951).

337. Ghiorso A., Higgins G.H. et al. *Phys. Rev.*, 87, 163 (1952).
338. Ghiorso A., Rossi G.B. et al. *Phys. Rev.*, 93, 257 (1954).
339. Ghiorso A., Thompson S.G. et al. *Phys. Rev.*, 94, 1081 (1954).
340. Ghiorso A., Harvey B.G., Choppin G.R. et al. *Phys. Rev.*, 98, 1518 (1955).
341. Ghiorso A., Thompson S.G., Higgins G.H. et al. *Phys. Rev.*, 99, 1048 (1955).
342. Ghiorso A., Sikkeland T. et al. *Phys. Rev. Lett.*, 1, 13 (1958).
343. Ghiorso A., Sikkeland T. et al. *Phys. Rev. Lett.*, 4, 473 (1961).
344. Ghiorso A., Sikkeland T. et al. (1961), CM [443-64].
345. Ghiorso A. (1963), CM [443-64].
346. Ghiorso A., Sikkeland T., Latimer R.M. (1964), CM [443-64].
347. Ghiorso A., Sikkeland T., Nurmia M.J. *Phys. Rev. Lett.*, 18, 401 (1967).
348. Ghiorso A., Nurmia M., Harris J. et al. *Phys. Rev. Lett.*, 22, 1317 (1969).
349. Ghiorso A., Nurmia M. et al. *Phys. Lett.*, 32B, 95 (1970).
350. Ghiorso A., Nurmia M. et al. *Phys. Rev. Lett.*, 24, 1498 (1970).
351. Ghiorso A., Nurmia M., Eskola K., Eskola P. *Phys. Rev.*, C4, 1850 (1971).
352. Gibson W.M. (1956), CM [443-64].
353. Gindler J.E., Huizenga J.R., Engelkemeir D.W. *Phys. Rev.*, 109, 1263 (1958).
354. Gindler J.E., Sjoblom R. *J. Inorg. Nucl. Chem.*, 12, 8 (1959).
355. Gindler J.E., Engelkemeir D.W. *Phys. Rev.*, 119, 1645 (1960).
356. Glass R.A. Ph.D. Thesis, University of California, UCRL - 2560 (1954), CM [443-64].

357. Glass R.A., Carr R.J. et al. *Phys. Rev.*, 104, 434 (1956).
358. Glass R.A., Carr R.J. Gibson W.M. *J. Inorg. Nucl. Chem.*, 13, 181 (1960).
359. Glover K.M., Milsted J. *Nature*, 173, 1238 (1954).
360. Godart J., Gison A., Boutet J., Henck R. *Compt. Rend.*, 267, B300 (1968).
361. Gold R., Armani R.J., Roberts J.H. *Phys. Rev.*, C1, 738 (1970).
362. Gorman D.J., Lederer C.M., Asaro F., cm [363-70].
363. Gorman D.J., Asaro F. *Phys. Rev.*, C2, 2406 (1970).
364. Gorman D.J., Asaro F. *Phys. Rev.*, C3, 746 (1971).
365. Graham R.L., Bell R.E. *Phys. Rev.*, 83, 222A (1951).
366. Gray P.R. *Phys. Rev.*, 101, 1306 (1956).
367. Grennberg B., Rytz A., Asaro F.. *Compt. Rend.*, 272, B283 (1971);  
Grennberg B., Rytz A. (1971), cm [31-71].
368. Grossen A.V., Booth E.T., Dunning J.R. *Phys. Rev.*, 59, 322 (1941).
369. Grover J.R., Seaborg G.T. (1953), cm [443-64].
370. Grundy F.R., Hamer A.N. *J. Inorg. Nucl. Chem.*, 23, 148 (1961).
371. Günther C., Parsignault D.R. *Nucl. Phys.*, A104, 588 (1967).
372. Hagee G.R., Curtis M.L., Grove G.R. *Phys. Rev.*, 96, 817A (1954).
373. Hagemann F., Katzin L.I., Studier M.H. et al. *Phys. Rev.*, 79, 435 (1950).
374. Hahn R.L., Roche M.F., Toth K.S. *Nucl. Phys.*, A113, 206 (1968).
375. Hahn R.L., Roche M.F., Toth K.S. *Phys. Rev.*, 182, 1329 (1969).
376. Hall G.R., Markin T.L. *J. Inorg. Nucl. Chem.*, 4, 137 (1957).

377. Halvorsen S., Michel H.V. et al. (1966), CM [496-67].
378. Hameed A.K. Nucleus, 8, 63 (1971).
379. Hanna G.C., Harvey B.G. et al. Phys. Rev., 81, 466 (1951).
380. Hanna G.C., Westcott C.H. et al. Atomic Energy Review, v.7, N 4, 3. IAEA, Vienna (1969).
381. Hansen P.G., Wilsky K. et al. Nucl. Phys., 45, 410 (1963).
382. Hansen P.G., Wilsky K., Björnholm S. Nucl. Phys., 45, 417 (1963).
383. Hansen P.G., Nielsen H.L., Wilsky K., Cunningham J.G. Phys. Lett., 24B, 95 (1967).
384. Harvey B.G., Parsons B.I. Phys. Rev., 80, 1098 (1950).
385. Harvey B.G., Thompson S.G. et al. Phys. Rev., 99, 337 (1955).
386. Harvey B.G. et al. (1955), CM [443-64].
387. Harvey B.G., Chetham-Strode A., Ghiorso A. et al. Phys. Rev., 104, 1315 (1956).
388. Harvey B.G., Hollander J.M. (1956), CM [411-56].
389. Harvey B.G., Jackson H.G. et al. Can. J. Phys., 35, 258 (1957).
390. Hess D.C., Pyle G.L. et al. CM [282-55].
391. Higgins G.H., Street K. Phys. Rev., 86, 252 (1952).
392. Higgins G.H. Ph. D. Thesis, University of California, UCRL - 1796 (1952), CM [443-64].
393. Hill M.W., Hollander J.M., Perlman I. (1956), CM [443-64].
394. Hill M.W. Ph. D. Thesis, University of California, UCRL - 8423 (1958), CM [443-64].
395. Hoff R.W., Thompson S.G. Phys. Rev., 96, 1350 (1954).
396. Hoff R.W., Jaffe H. et al. Phys. Rev., 100, 1403 (1955).

397. Hoff R.W., Olsen J.L., Mann L.G. Phys. Rev., 102, 805 (1956).
398. Hoff R.W., Asaro F. (1956), cm [443-64].
399. Hoff R.W., Hulet E.K., Michel M.C. J. Nucl. Energ., 8, 224 (1959).
400. Hoff R.W., Asaro F., Perlman I. (1960), cm [443-64].
401. Hoff R.W., Evans J.E., Hulet E.K. et al. Nucl. Phys., A115, 225 (1968).
402. Hoff R.W., Hulet E.K., Dupzyk R.J. et al. Nucl. Phys., A169, 641 (1971).
403. Hoffman D.C., Browne O.I. J. Inorg. Nucl. Chem., 2, 209 (1956).
404. Hoffman D.C., Ford G.P., Lawrence F.O. J. Inorg. Nucl. Chem., 4, 143 (1957).
405. Hoffman D.C. J. Inorg. Nucl. Chem., 4, 383 (1957).
406. Hoffman D.C., Ford G.P., Lawrence F.O. J. Inorg. Nucl. Chem., 5, 6, (1957).
407. Hoffman D.C., Dropicky B.J. Phys. Rev., 109, 1282 (1958).
408. Hoffman D.C., Lawrence F.O., Daniels W.R. et al. Nucl. Phys., A131, 551 (1969).
409. Hojeberg M., Malmkog S.G. Nucl. Phys., A141, 249 (1970).
410. Hollander J.M., Smith W.G., Mihelich J.W. Phys. Rev., 102, 740 (1956).
411. Hollander J.M. Phys. Rev., 103, 1590 (1956).
412. Hollander J.M., Stephens F.S. et al. (1956), cm [443-64].
413. Hollander J.M. (1957), cm [443-64].
414. Hollander J.M., Nordling C.L., Siegbahn K. Arkiv Fysik., 23, 35 (1963).
415. Hollander J.M., Holtz M.D. et al. (1963), cm [443-64].
416. Hollander J.M. (1964), cm [496-67].

417. Hollstein M., Müntzel H. et al. J. Inorg.Nucl.Chem., 32, 3159 (1970).
418. Holtz M.D., Hollander J.M. (1966), cm. [496-67] .
419. Horsch F. Z. Phys., 183, 352 (1965).
420. Horsch F. Z. Phys., 194, 405 (1966).
421. Huizenga J.R., Rao C.L., Engelkemeir D.W. Phys. Rev., 107, 319 (1957).
422. Hulet E.K., Thompson S.G. et al. Phys. Rev., 84, 366 (1951).
423. Hulet E.K., Thompson S.G., Ghiorso A. Phys. Rev., 89, 878 (1953).
424. Hulet E.K. Ph. D. Thesis, University of California, UCRL - 2283(1953), cm. [443-64] .
425. Hulet E.K., Thompson S.G., Ghiorso A. Phys. Rev., 95, 1703 (1954).
426. Hulet E.K. Phys. Rev., 102, 182 (1956).
427. Hulet E.K. (1956-1957), cm. [443-64] .
428. Hulet E.K., Asaro F. (1961), cm. [443-64] .
429. Hulet E.K., Hoff R.W. et al. Phys. Rev. Lett., 13, 343 (1964).
430. Hulet E.K., Hoff R.W., cm. [168 - 66] .
431. Hulet E.K., Ghiorso A. et al. Bul. Am. Phys. Soc., 13, 604 (1968).
432. Hulet E.K., Wild J.P., Lougheed R.W. et al. Phys. Rev. Lett., 26, 523 (1971).
433. Hummel J.P., Stephens F.S., Asaro F. et al. Phys. Rev., 98, 22 (1955).
434. Hummel J.P., Asaro F., Perlman I. Phys. Rev., 98, 261A (1955).
435. Hummel J.P. Ph. D. Thesis, University of California, UCRL - 3456 (1956), cm. [443-64] .
436. Hunt J.B., Robertson J.C., Ryves T.B. J. Nucl. Energy, 23, 705 (1969).

437. Hutchinson J.M.R. et al. Internat. J. Appl. Radiat. & Isotopes, 20, 493 (1969).
438. Hyde E.K., Studier M.H., Manning W.M. ANL - 4143, ANL-4182(1948), cm. [443-64].
439. Hyde E.K. NNES - PPR, 14B, 1435 (1949), cm. [443-64] .
440. Hyde E.K., Studier M.H. et al. NNES - PPR, 14B, 1439 (1949), cm. [443-64] .
441. Hyde E.K., Studier M.H., Ghiorso A. NNES - PPR, 14B, 1622 (1949), cm. [496-67].
442. Hyde E.K., Seaborg G.T. UCRL - 3312 (1956), cm. [496-67] .
443. Hyde E.K., Perlman I., Seaborg G.T. The Nuclear Properties of the Heavy Elements, V.II. (1964).
444. Ihle H.R. et al. Standart. of Radionuclides Proc. Symp., Vienna, 1966; IAEA, Vienna (1967).
445. Ihle H.R. et al. Ber. Kerforschungsanlage Jülich, 491, 57 (1967).
446. Inghram M.G., Hess D.C. et al. Phys. Rev., 83, 1250 (1951).
447. Jaffey A.H., Hirsch A. ANL-4286 (1949), cm. [443-64] .
448. Jaffey A.H., Hyde E.K. Phys. Rev., 79, 280 (1950).
449. Jaffey A.H., Lerner J. ANL -4411 (1950), cm. [443-64] .
450. Jaffey A.H., Lerner J., Marshall S. Phys. Rev., 82, 498 (1951).
451. Jaffey A.H., Diamond H. et al. Phys. Rev., 84, 785 (1951).
452. Jaffey A.H., Flynn K.F., Glendenin L.E. et al. Phys. Rev., C4, 1889 (1971).
453. James R.A., Florin A.E. et al. NNES - PPR, 14B, 1604 (1949), cm. [443-64].
454. James R.A., Thompson S.G., Hopkins H.H. NNES - PPR, 14B, 1634 (1949), cm. [443-64] .
455. James R.A., Ghiorso A., Orth D.A., Phys. Rev., 85, 369 (1952).
456. Jenkins E.N. Analyst, 80, 301 (1955).

457. Johansson B., Alväger T. Arkiv Fysik., 17, 163 (1960).
458. Johansson S.A.E. Phys. Rev., 96, 1075 (1954).
459. Johansson S.A.E. Arkiv Fysik, 10, 97 (1956).
460. John W., Jewell R.W. et al. Bul. Am. Phys. Soc., 13, 604 (1968).
461. Jones M., Schuman R.P. et al. Phys. Rev., 102, 203 (1956).
462. Jordan K.C., Blanke B.C. Standardiz. Radionucl., Vienna (1967).
463. Jordan K.C., Otto G.W., Ratay R.P. J. Inorg. Nucl. Chem., 33, 1215 (1971).
464. Jørgensen A.B., Polikanov S.M., Sletten G. (1969), cm [588-70].
465. Juliano J.O. UCRL - 3733 (1957), cm [443-64].
466. Kaczarowski R. et al. Rept. Inst. badan jadr. PAN, №1232/IA (1970).
467. Kamoun R., Ballini R. et al. Compt. Rend., 266, B1241 (1968).
468. Keenan T.K., Penneman R.A., McInteer B.B. J. Chem. Phys., 21, 1802 (1953).
469. Keepin G.R. J. Nucl. Energ., 7, 13 (1958).
470. Keith R.L.G. J. Nucl. Energ., 22, 471 (1968).
471. Keller H.B., Cork J.M. Phys. Rev., 79, 1030 (1950).
472. Keys J.D. Ph. D. Thesis, McGill University (1951), cm [443-64].
473. Kienberger C.A. Phys. Rev., 76, 1561 (1949).
474. Kienberger C.A. Phys. Rev., 87, 520 (1952).
475. Kinderman E.M. HW - 27660 (1953), cm [703-62].
476. Kirby H.W., Grove G.R., Timma D.L. Phys. Rev., 102, 1140 (1956).

477. Kirby H.W. J. Inorg. Nucl. Chem., 18, 8 (1961).
478. Knight G.B., Macklin P.L. Phys. Rev., 74, 1540 (1948).
479. Knight G.B., Macklin P.L. Phys. Rev., 75, 34 (1949).
480. Knight J.D., Bunker M.E. et al. Phys. Rev., 91, 889 (1953).
481. Knight J.D. (1963), см. [443-64].
482. Kooi J., Wapstra A.H. J. Inorg. Nucl. Chem., 29, 293 (1967).
483. Kovarik A.F., Adams N.A. Phys. Rev., 98, 46 (1955).
484. Kurcewicz W. et al. Rept. Inst. badan jadr. PAN, №1251/IA (1970).
485. Kusch W., Szeglowski Z. Препринт ОИЯИ №6 - 3992 (1968).
486. Landrum J.H. J. Inorg. Nucl. Chem., 32, 2131 (1970).
487. Lange P.W., Schneider H., Devilliers J.W.L. Nuovo Cim., 14, 681 (1959).
488. Lange R.C., Hagee G.H. Nucl. Phys., A124, 412 (1969).
489. Lark H.L., Sletten G., Pedersen J., Björnholm S. Nucl. Phys., A139, 481 (1969).
490. Leachman R.B., Schmitt H.W. J. Nucl. Energ., 4, 38 (1957).
491. Leang Chin-Fan. Compt. Rend., 255, 3155 (1962).
492. Leang Chin-Fan. J. Phys. (Paris), 31, 269 (1970).
493. Lederer C.M. Ph. D. Thesis, University of California, UCRL - 11028 (1963), см. [496-67].
494. Lederer C.M. (1963-1965), см. [496-67].
495. Lederer C.M., Poggensburg J.K., Asaro F. et al. Nucl. Phys., 84, 481 (1966).
496. Lederer C.M., Hollander J.M., Perlman I. Table of Isotopes, 6<sup>th</sup> ed. (1967).

497. Lederer C.M., Jaklevic J.M., Prussinan S.G. Nucl. Phys., A135, 36 (1969).
498. Lefevre H.W., Kinderman E.M., Van Tuyl H.H. Phys., Rev., 100, 1374 (1955).
499. Lefevre H.W., Kinderman E.M., Van Tuyl H.H. Bul. Am. Phys. Soc., 1, 62 (1956).
500. Leme M.P.T., Renner C., Cattani M. Nucl. Instr. a. Meth., 91, 577 (1971).
501. Lessler R.M. UCRL - 8439 (1958), cm [443-64].
502. Lessler R.M., Michel M.O. Phys. Rev., 118, 263 (1960).
503. Lindgren I. Table of Nuclear Spins and Moments in Alpha, Beta and Gamma Ray Spectroscopy, Appendix 4, edited by K. Siegbahn (1954).
504. Linev A.F., Markov B.N. et al. Nucl. Phys., 63, 173 (1965).
505. Löbner K.E.G., Goudsmit P.F.A. et al. Nucl. Phys., A122, 214 (1968).
506. Loughheed R.W., Qualheim B.J., Hulet E.K., Dupzyk R.J. Amer. Chem. Soc. Report. Symp. on Macroscopic Studies of the Actinides. San Francisco (1968).
507. Lounsbury M. Can. J. Chem., 34, 259 (1956).
508. Lourens W., Ten Brink B.O., Wapstra A.H. Nucl. Phys., A152, 463 (1970).
509. MacKenzie D.H., Lounsbury M., Boyd A.W. Phys. Rev., 90, 327 (1953).
510. MacKenzie D.R., Connor R.D. Nucl. Phys., A108, 81 (1968).
511. Macklin R.L., Pomerance H.S. J. Nucl. Energ., 2, 243 (1956).
512. MacMurdo K.W., Harbour R.M., Benjamin R.W. J. Inorg. Nucl. Chem., 33, 1241 (1971).
513. Magnusson L.B., La Chapelle T.J. J. Am. Chem. Soc., 70, 3534 (1948); NNES - PPR, 14B, 39 (1949), cm [443-64].
514. Magnusson L.B., Thompson S.G., Seaborg G.T. Phys. Rev., 78, 363 (1950).
515. Magnusson L.B., Studier M.H., Fields P.R. et al. Phys. Rev., 96, 1576 (1954).
516. Magnusson L.B., Engelkemeir D.W., Freedman M.S. et al. Phys. Rev., 100, 1237 A (1955).

517. Magnusson L.B., Friedman A.M., Engelkemoir D.W. et al. Phys. Rev., 102, 1097 (1956).
518. Magnusson L.B. (1957), cm. [443-64; 496-67].
519. Maier B.P. Z. Phys., 184, 143 (1965).
520. Malich C.W. Bul. Am. Phys. Soc., 1, 43 (1956).
521. Malmeskog G., Höjeborg M. Arkiv fys., 35, 197 (1968).
522. Manning T.E., Fred M., Tomkins T.S. Phys. Rev., 102, 1108 (1956).
523. Markin T.L. J. Inorg. Nucl. Chem., 9, 320 (1959).
524. Marrus R., Nierenberg W.A., Winocur J. Nucl. Phys., 23, 90 (1961).
525. Mazaki H., Shimizu S. Phys. Lett., 23, 137 (1966).
526. Mazaki H., Shimizu S. Phys. Rev., 148, 1161 (1966).
527. McCormick G.H., Cohen B.L. Phys. Rev., 96, 722. (1954).
528. McCoy J.D. Soc.Sci.Fennica, Comment. Phys.-Math., 30, No.4 (1965); Nucl. Sci. Abstr., 19, No. 21418 (1965).
529. McHarris W.C. Ph. D. Thesis, University of California, UCRL - 11784 (1965), cm. [496-67] .
530. McHarris W.C., Stephens F.S. et al. Phys.Rev., 144, 1031 (1966).
531. McIsaac L., Freiling E. Nucleonics, 14, 10, 65 (1956).
532. Mech J.F., Diamond H., Studier M.H. et al. Phys. Rev., 103, 340 (1956).
533. Meinke W.W., Seaborg G.T. Phys. Rev., 78, 475 (1950).
534. Meinke W.W., Ghiorso A., Seaborg G.T. Phys. Rev., 81, 782 (1951).
535. Meinke W.W., Ghiorso A., Seaborg G.T. Phys. Rev., 85, 429 (1952).
536. Meinke W.W., Wick G.C., Seaborg G.T. J. Inorg.Nucl.Chem., 3, 69(1956).

537. Melander L. Acta Chem. Scan., 1, 169 (1947).
538. Metag V., Repnow R. et al. Z. Phys., 226, 1 (1969).
539. Metag V., Repnow R. et al. Proc. Symp. on Phys. & Chem. of Fission, Vienna 1969, p. 449.
540. Metta D.N., Diamond H., Barnes R.F. et al. J. Inorg. Nucl. Chem., 27, 53 (1965).
541. Metta D.N., Moreland P.E. J. Inorg. Nucl. Chem., 29, 2822 (1967).
542. Metta D.N., Diamond H., Kelly F.R. J. Inorg. Nucl. Chem., 31, 1245 (1969).
543. Michaelis W. Z. Phys., 186, 42 (1965).
544. Michaelis W. Z. Phys., 194, 395 (1966).
545. Michel M.C., Asaro F., Perlman I. Bul. Am. Phys. Soc., 2, 394 (1957).
546. Milsted J., Rosenblum S., Valadaros M. Compt. Rend., 239, 700 (1954).
547. Milsted J., Friedman A.M., Stevens C.H. Nucl. Phys., 71, 299 (1965).
548. Milsted J., Horwitz E.P. et al. J. Inorg. Nucl. Chem., 31, 1561 (1969).
549. Mitchell A.C.G., Slotin L., Marshall J. et al. Metallurg. Lab. CP-597 (1943), CM. [496-67].
550. Mize J.P., Starner J.W. Bul. Am. Phys. Soc., 1, 171 (1956).
551. Moore R.L. Thesis, Ohio State University, AECU - 2757 (1953), CM. [443-64].
552. Multhauf R.G., Tirsell K.G. et al. Phys. Rev., C3, 1338 (1971).
553. Murri E.L., Cline J.E. Bul. Am. Phys. Soc., 6, 25 (1961).
554. Natowitz J.B., Archer J.K. Phys. Lett., 30B, 463 (1969).
555. Noal W.R., Kraner H.W. Phys. Rev., 137, B1164 (1965).
556. Neve do Mevorgniens M. Phys. Lett., 32B, 482 (1970).

557. Newton A.S. Phys. Rev., 75, 201 (1949).
558. Newton J.O., Rose F. Phil. Mag., 11, 51 (1960).
559. Newton J.O., Rose F., Phil. Mag., 11, 51 (1960).
560. Newton J.O. Nucl. Phys., 5, 345 (1957); Nucl. Phys., 5, 210 (1958).
561. Nielsen O.B., Nordby H., Bjørnholm S. (1961), CM. [443-64].
562. Nislo R.G., Stepan I.E. Nucl. Sci. & Engng., 39, 257 (1970).
563. Novakov T., Hollander J.M., Graham R.L. Nucl. Instr. Meth., 26, 189 (1961).
564. Nurmia M., Sikkeland T. et al. Phys. Lett., 26B, 73 (1967).
565. Oak Ridge Nat. Lab. Ann. Report, 1965, p. 29, CM. [243-68].
566. Oetting F.L., Gunn S.R. J. Inorg. Nucl. Chem., 29, 2659 (1967).
567. Oetting F.L. Thermodynamics of Nuclear Materials Proc. Symp. Vienna, 1967, IAEA, Vienna, (1968).
568. Ong Ping Hok, Sizoo G. Physica, 20, 77 (1954).
569. Ong Ping Hok, Kramer P. Physica, 21, 676 (1955).
570. Ong Ping Hok, Kramer P., Meijer G. et al. Physica, 21, 719 (1955).
571. Ong Ping Hok, Verschoor J.T., Born P. Physica, 22, 465 (1956).
572. Ong Ping Hok, Arbman E. Arkiv Fysik, 11, 193 (1956).
573. Orth C.J. Phys. Rev., 148, 1226 (1966).
574. Orth C.J., Daniels W.R., Erkkila B.H. et al. Phys. Rev. Lett., 19, 128 (1967).
575. Orth D.A. Ph. D. Thesis, University of California, UCRL-1059 (1951); Orth D.A., Street K. (1951), CM. [668-57; 443-64].
576. Osborne D.W., Thompson R.C., VanWinkle Q. NNES-PR, 14B, 1397 (1949), CM. [443-64].

577. Palms J.M., Wood R.E., Rao P.V. Phys. Rev., C2, 1125 (1970).
578. Peat S.W., Ross M.A.S. Proc. Phys. Soc., 68A, 923 (1955).
579. Peghaire A. Nucl. Instr. & Meth., 75, 66 (1969).
580. Penneman R.A., Treiman L.H., Bevan B. cm. [406-57].
581. Perlman I., O'Connor P.R., Morgan L.O. NNES-PPR, 14B, 1651 (1949), cm. [443-64].
582. Peterson S., Ghiorso A. NNES-PPR, 14B, 1424 (1949), cm. Rev. Mod. Phys., 25, 469 (1953).
583. Phillips L., Gatti R. et al. Phys. Rev. Lett., 1, 215 (1958).
584. Phillips L., Gatti R. et al. J. Inorg. Nucl. Chem., 25, 1085 (1963).
585. Picciotto E., Wilgain S. Nuovo Cim., 4, 1525 (1956).
586. Pilger R.C., Ph. D. Thesis, University of California, UCRL-3877 (1957), cm. [443-64].
587. Pilger R.C., Stephens F.S. et al. (1961-1962), cm. [443-64].
588. Polikanov S.M., Sletten G. Nucl. Phys., A151, 656 (1970).
589. Popplewell D.S. J. Nucl. Energ., A/B 14, 50 (1961).
590. Porter F.T., Freedman M.S. Phys. Rev. Lett., 27, 293 (1971)
591. Prestwood R.J., Smith H.L. et al. Phys. Rev., 98, 1324 (1955).
592. Qaim S.M. Nucl. Phys., 84, 411 (1966).
593. Qaim S.M. Nucl. Phys., 88, 285 (1966).
594. Rasmussen J.O., Slatis H., Passell T.O. Phys. Rev., 99, 42 (1955).
595. Rasmussen J.O., Stephens F.S. et al. Phys. Rev., 99, 47 (1955).
596. Rasmussen J.O., Canavan F.L., Hollander J.M. Phys. Rev., 107, 141 (1957).

597. Reier M., Campbell R.W. Trans. Am.Nucl. Soc., 12, 478 (1969).
598. Repnow R., Metag V. et al. Nucl. Phys., A147, 183 (1970).
599. Repnow R., Metag V., Brentano P. von Z. Phys., 243, 418 (1971).
600. Roberts J.H., Gold R., Armani R.J. Phys. Rev., 174, 1482 (1968).
601. Rose B., Milsted J. J. Nucl. Energ., 2, 264 (1956).
602. Rosenblum S., Valadares M., Bernas R. Compt. Rend., 239, 759 (1954).
603. Rosenblum S., Valadares M., Guillot M. J. Phys. Rad., 15, 129 (1954).
604. Ruiz C.P. Ph. D. Thesis, University of California, UCRL-9511 (1961),  
cm. [443-64; 579-69].
605. Russo P.A., Vandenbosch R., Meta M. et al. Phys. Rev., C3, 1595 (1971).
606. Rutledge W.C., Cork J.M., Burson S.B. Phys. Rev., 86, 775 (1952).
607. Rytz M.A. Compt. Rend., 250, 3156 (1960).
608. Saeki M., Kimura K., Ishimori T. Japan Atomic Energy Res.Inst.  
Res. Repts. No.1178, 25 (1969).
609. Schmidt-Ott W.D., Fink R.W. Z.Phys., 245, 191 (1971).
610. Schmorak M.R., Bemis C.E., et al. Phys. Rev. Lett., 24, 1507 (1970).
611. Schmorak M.R. et al. Международн. конфер. по физике тяжелых ионов, Дубна,  
1971, стр. 572; Nucl. Phys., A178, 410 (1972).
612. Schultze G., Ahlf J. Nucl. Phys., 30, 163 (1962).
613. Schuman R.P., Eastwood T.A. et al. J. Inorg. Nucl. Chem., 6, 1 (1958).
614. Seaborg G.T., McMillan E.M. et al. Phys. Rev., 69, 366 (1946);  
NNES-PPR, 14B, 1 (1949), см. [443-64].
615. Seaborg G.T., Gofman J.W., Stoughton R.W. Phys. Rev., 71, 378 (1947).
616. Seaborg G.T., James R.A., Morgan L.O. NNES-PPR, 14B,  
1525 (1949), см. [443-64].

617. Seaborg G.T., James R.A., Ghiorso A. NUREP-PPR, 14B, 1554 (1949), cm. [443-64].
618. Sebille C., Leang C.F. Compt. Rend., 266, B1049 (1968).
619. Sebille C., Compt. Rend., 267, B159 (1968).
620. Segre E. Phys. Rev., 86, 21 (1952).
621. Sellers P.A., Stevens C.M., Studier M.H. Phys. Rev., 94, 952 (1954).
622. Senftle F., Farley T., Lazar N. Phys. Rev., 104, 1629 (1956).
623. Shields W.R. (1967), cm. [566-67].
624. Sikkeland T., Ghiorso A., Thompson S.G. Bul. Am. Phys. Soc., 2, 385 (1957); UCRL-8142 (1958), cm. [443-64].
625. Sikkeland T., Amiel S., Thompson S.G. J. Inorg. Nucl. Chem., 11, 261 (1959).
626. Sikkeland T., Ghiorso A. et al. Phys. Rev., 140, B277 (1965).
627. Sikkeland T., Ghiorso A. Phys. Lett., 24 B, 331 (1967).
628. Sikkeland T., Ghiorso A. et al. Phys. Lett., 24 B, 333 (1967).
629. Silva R.J., Hahn R.L. et al. Phys. Rev., C2, 1948 (1970).
630. Skillings D.J. (1961), cm. [443-64].
631. Slater L.M., Seaborg G.T. (1951), cm. [443-64].
632. Smith H.L., Browne C.I., Hoffman D.C. et al. J. Inorg. Nucl. Chem., 3, 93 (1956).
633. Smith H.L. J. Inorg. Nucl. Chem., 17, 178 (1961).
634. Smith W.G., Hollander J.M. Phys. Rev., 101, 746 (1956).
635. Smith W.G., Asaro F., Hollander J.M. Phys. Rev., 104, 99 (1956).
636. Smith W.G., Gibson W.M., Hollander J.M. Phys. Rev., 105, 1514 (1957).

637. Soares J.O., Ribeiro J.P. et al. Compt. Rend., 273, 985 (1971).
638. Soinski A.J., Frankel R.B., Navarro Q.O., Shirley D.A. Phys. Rev., 02, 2379 (1970).
639. Spernol A., Lauer F. (1968) cm [380-69].
640. Stelson P.H., Lide R.W., Bingham C.H. Nucl. Phys., A144, 254 (1970).
641. Stepan I.E., Nisle R.G. Trans. Am. Nucl. Soc., 9, 451 (1966).
642. Stephens F.S., Hummel J.P. et al. Phys. Rev. 98, 261 A (1955).
643. Stephens F.S. Ph. D. Thesis, University of California, UCRL - 2970 (1955), cm [496-67].
644. Stephens F.S., Asaro F. (1956); UCRL - 8376 (1958), cm [443-64].
645. Stephens F.S., Asaro F., Perlman I. Phys. Rev., 107, 1091 (1957).
646. Stephens F.S., Asaro F. et al. Phys. Rev., 107, 1456 (1957).
647. Stephens F.S., Asaro F. et al. Bul. Am. Phys. Soc., 2, 394 (1957).
648. Stephens F.S., Asaro F., Perlman I. (1957), cm [443-64].
649. Stephens F.S., Asaro F., Perlman I. (1957), cm [496-67].
650. Stephens F.S., Asaro F., Perlman I. Phys. Rev., 113, 212 (1959).
651. Stephens F.S., Asaro F. et al. Phys. Rev. Lett., 15, 420 (1965).
652. Stevens C.M., Studier M.H., Fields P.R. et al. Phys. Rev., 94, 974 (1954).
653. Steyn J., Streleow F.W.E. Metrol. Radionuclides, IAEA, Vienna (1960).
654. Stone J.A., Pillinger W.L. Phys. Rev., 165, 1319 (1968).
655. Stone R.E., Hulet E.K. J. Inorg. Nucl. Chem., 30, 2003 (1968).
656. Street K., Ghiorsa A. et al. (1968), cm [443-64].

657. Street K., Ghiorso A., Seaborg G.T. Phys. Rev., 79, 530 (1950).
658. Strominger D., Rasmussen J.O. Phys. Rev., 100, 844 (1955).
659. Strominger D. Phys. Rev., 114, 502 (1959).
660. Studier M.H., Hyde E.K. Phys. Rev., 74, 591 (1948).
661. Studier M.H., Bruehlman R.J. ANL - 4252 (1949), cm [443-64].
662. Studier M.H., Fields P.R. et al. Phys. Rev., 93, 1433 (1954).
663. Studier M.H., Huizenaga J.R. Phys. Rev., 96, 545 (1954).
664. Studier M.H., Gindler J.E., Stevens C.M. Phys. Rev., 97, 88 (1955).
665. Subrahmanyam V.B. Ph. D. Thesis, University of California, UCRL - 11082 (1963), cm [443-64; 496-67].
666. Taillac J., Riou M., Desneiges P. Compt. Rend., 237, 41 (1953).
667. Temperley J.K., Morrissey J.A., Bacharach S.L. Nucl. Phys., A175, 433 (1971).
668. Thomas T.D., Vandenbosch R. et al. Phys. Rev., 106, 1228 (1957).
669. Thomas T.D. Ph. D. Thesis. University of California, UCRL - 3791 (1957), cm [443-64].
670. Thompson S.G., Ghiorso A., Seaborg G.T. Phys. Rev., 80, 781 (1950).
671. Thompson S.G., Street K. et al. Phys. Rev., 80, 790 (1950).
672. Thompson S.G., Ghiorso A. et al. Phys. Rev., 93, 908 (1954).
673. Ton H., Beena W. et al. Nucl. Phys., A155, 235 (1970).
674. Ton H., Roodbergen S. et al. Nucl. Phys., A155, 245 (1970).
675. Torgerson D.F., Macfarlane R.D. Nucl. Phys., A149, 641 (1970).
676. Tove P.A. Arkiv Fysik, 13, 549 (1958).

677. Trautmann N., Denig R. et al. Z. Naturfor., 23<sup>a</sup>, 2127 (1968).
678. Treherne J., Vieu G. Compt. Rend., 261, 3100 (1965).
679. Trojan O.A., McNeill K.G., Steenberg N.R. Nucl. Phys., A100, 609 (1967).
680. Unik J.P. Ph. D. Thesis, University of California, UCRL - 9105 (1960), CM [443-64].
681. Unik J.P., Day P., Vandenbosch S. Nucl. Phys., 36, 284 (1962).
682. Unik J.P. (1966), CM [496-67].
683. Valladas G., Bernas R. Compt. Rend., 236, 2230 (1953).
684. Valli K., Hyde E.K. Phys. Rev., 176, 1377 (1968).
685. Valli K., Hyde E.K., Borggreen J. Phys. Rev., C1, 2115 (1970).
686. Vandenbosch R. (1958), CM [496-67].
687. Vandenbosch R. Phys. Rev., 113, 259 (1959).
688. Vandenbosch R., Fields P.R. et al. J. Inorg. Nucl. Chem., 26, 219 (1964).
689. Vandenbosch R., Wolf K.L. Proc. Symp. on Phys. & Chem. of Fission, Vienna, 1969, p. 439.
690. Vandenbosch S.E., Diamond H. et al. Phys. Rev., 115, 115 (1959).
691. Vandenbosch S.E., Day P. Nucl. Phys., 30, 177 (1962).
692. Van Hise J.R., Engelkemeir D. Phys. Rev. 171, 1325 (1968).
693. Van Winkle Q., Larson R.G., Katzin L.I. J. Am. Chem. Soc., 71, 2585 (1949).
694. Vara J.M., Gaeta R. Nucl. Phys., A130, 586 (1969); Anal. fis Real. soc. espan. fis y quim. 65, 101 (1969).
695. Varnell L. Nucl. Phys., A144, 429 (1970).
696. Yartapetian H. Compt. Rend., 246, 1680 (1958).

697. Vartapetian H. Ann. de Phys., 3, 569 (1958).
698. Wagner F., Freedman M.S. et al. Phys. Rev., 89, 502 (1953).
699. Wallmann J.O. Ph. D. Thesis, University of California, UORL - 1255 (1951) CM [443-64].
700. Wallmann J.O., Graf P., Goda L. J. Inorg. Nucl. Chem., 7, 199 (1958).
701. Wapstra A.H. Nucl. Phys. A97, 641 (1967).
702. Watson R.L., Li T.K. Nucl. Phys. , A178, 201 (1971).
703. Watt D.E., Bannister F.J. et al. Phys. Rev., 126, 264 (1962).
704. White F.A., Collins T.L., Rourke F.M. Phys. Rev., 101, 1786 (1956).
705. White F.A., Rourke F.M. et al. Phys. Rev., 109, 437 (1958).
706. White P.H., Wall G.J., Pontet F.R. J. Nucl. Energ., A/B 19, 33 (1965).
707. Winter W.J.B., Wapstra A.H. et al. Nucl. Phys., A 161, 521 (1971).
708. Wish L. Nucleonics, 14, 5, 102 (1956).
709. Wolf K.L., Vandenbosch R. et al. Phys. Rev., C1, 2096 (1970).
710. Wolfson J.L., Park J.J.H. Can. J. Phys., 42, 1387 (1964).
711. Wolzak G., Morinaga H. Radiochem. Acta, 1, 225 (1963).
712. Wright H." . "yatt E.I. et al. Nucl.Sci.Eng., 2, 427 (1957).
713. Würger E., Meyer K.P., Huber P. Helv.Phys.Acta, 30, 157 (1957).
714. Yamazaki T., Hollander J.M. Nucl.Phys., 84, 505 (1966).
715. Zajac B. Phil. Mag., 43, 264 (1952).
716. Zalip T.J., Tom S., Sizoo G.J. Physica, 21, 271 (1955).

## С О Д Е Р Ж А Н И Е

	Стр.
<b>ВВЕДЕНИЕ .....</b>	<b>3</b>
<b>ТАБЛИЦА ОСНОВНЫХ ХАРАКТЕРИСТИК РАДИОАКТИВНОГО РАСПАЛА ИЗОТОПОВ .....</b>	<b>6</b>
<b>ПРИЛОЖЕНИЕ I. ЭНЕРГИИ И ИНТЕНСИВНОСТИ ИЗЛУЧЕНИЙ ПРИ РАДИОАКТИВНОМ РАСПАЛЕ (ЭКСПЕРИМЕНТАЛЬНЫЕ ДАННЫЕ) .....</b>	<b>35</b>
<b>ПРИЛОЖЕНИЕ II. СХЕМЫ РАДИОАКТИВНОГО РАСПАЛА И СХЕМЫ УРОВней ЯДЕР .....</b>	<b>99</b>
<b>ЛИТЕРАТУРА .....</b>	<b>152</b>

Технический редактор В.И.Породнова

Подписано в печать 19.06.74г. ТБ - 01719. Объем ~II,5 уч.-изд.л.  
Тираж 370 экз. Заказ 894 Цена 1 руб. 10 коп.

Подготовлено к изданию и отпечатано на ротапринте в НИИАР